

Л-153-2, ч.3-4
КОМИТЕТ ПО ГЕОЛОГИИ И ИСПОЛЬЗОВАНИЮ НЕДР
ПРИ ПРАВИТЕЛЬСТВЕ РОССИЙСКОЙ ФЕДЕРАЦИИ
ВСЕРОССИЙСКИЙ НАУЧНО-ИССЛЕДОВАТЕЛЬСКИЙ
ГЕОЛОГИЧЕСКИЙ ИНСТИТУТ им. А. П. КАРЛЯНСКОГО
(ВСЕГЕИ)

ГОСУДАРСТВЕННАЯ ГЕОЛОГИЧЕСКАЯ КАРТА

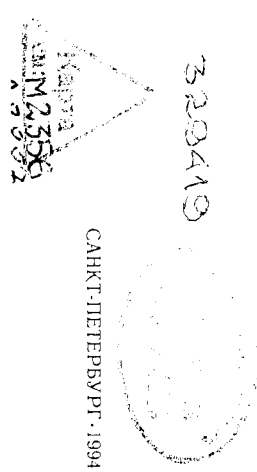
Масштаб 1 : 1 000 000 (новая серия)

Лист L-(53), (54) — Кавалерово

Объяснительная записка

323419

САНКТ-ПЕТЕРБУРГ, 1994



Государственная геологическая карта. Масштаб 1 : 1 000 000 (новая серия). Лист L-(53), (54) — Кавалерово. Объяснительная записка. С.116. 1994. 176 с. (Комитет по геологии и использованию недр при Правительстве Российской Федерации, ВСЕГЕИ)

Обобщен фактический материал по стратиграфии, интрузивным образованиям, тектонике, геоморфологии, истории геологического развития и полезнымископаемым южной части Хабаровского и северо-восточной части Приморского края, включая до Японского моря. Использованы данные геологических и геофизических скважок, разведочных и покровных работ, а также основные результаты тематических геологических исследований до 1986 г.

Книга рассчитана на широкий круг специалистов, интересующихся региональной геологией СССР.
Табл. 4, ил. 4, список лит. 132 наз.

Материалы к листу L-(53), (54) — Кавалерово рассмотрены и рекомендованы к печати на заседании Главной редакции Государственной геологической карты.

Г. Н. Шапошников (председатель), Г. П. Александров, С. В. Егоров, К. Б. Ильин, В. В. Соловьев, С. И. Стрелников

Ответственный редактор Р. И. СОКОЛОВ

Редакционная группа Главной редакции Госгеокарты:

Г. Н. Шапошников (председатель), Г. П. Александров, С. В. Егоров, К. Б. Ильин, В. В. Соловьев, С. И. Стрелников

ВВЕДЕНИЕ

Лист L-(53), (54) охватывает территорию северной и восточной частей Приморского и южной части Хабаровского края, а также юго-западную часть акватории Татарского пролива. Подробно сведения о физико-географических и экономических особенностях региона приведены в ряде опубликованных работ [2, 17, 18, 19]. Основную часть территории занимает Сихотэ-Алинская горная область, на северо-западе расположается южный край Среднеамурской депрессии. Главный водораздел — хр. Сихотэ-Алинь протягивается с юго-запада на северо-восток почти параллельно побережью Японского моря, на расстоянии 50—150 км от него. Степень расщлененности горной области наибольшая для южной Сихотэ-Алини. Относительные превышения водоразделов над днищами близлежащих долин достигают 700 м; характерны крутые склоны и обрывы, а также утесы вдоль берега моря. Абсолютные отметки отдельных вершин достигают 1933 м (гора Аник) и 2004 м (гора Ко). Береговая линия моря слабоизвилистая, местами имеются небольшие бухты в устьях рек. Реки горные. Наиболее крупные реки западного склона — Бикин, Б. Уссурка, Хор; восточного — Самара, Кема, Рудная, Зеркальная. Восточнее берега моря располагается шельф со слабонаклоненной (около 1°) ровной поверхностью. Бровка его расположена в среднем на глубине 135 м. Ширина шельфа у берега Сихотэ-Алини 20—40 км. Материковый склон в северной части оканчивается примерно на изобате 500 м, в южной — 2500 м, местами он прорезан узкими каньонами. В восточной части акватории в пределах листа выделяется Хоккайдо-Сахалинская зона подводных хребтов, впадин и банок (Мусаси) и валов (островной бордерленд). Центральную часть акватории занимает Западно-Япономорская впадина, ограниченная на юге возвышенностями Витязя и Алпатова, северные склоны которых в рельфе выражены слабо, а южные круто обрываются в Центральную глубоководную котловину Японского моря.

Климат муссонный, со среднегодовой температурой $+0,1^{\circ}$. Характерны штормы и тайфуны, приводящие к наводнениям.

Обнаженность территории в целом слабая. Обнажения встречаются в поймах террас и по гребям водоразделов. Хорошо обнажены значительные участки побережья моря.

Территория хорошо экономически освоена. Развиты лесная и рыбная отрасли. Бедущее место в экономике занимает горнодобывающая промышленность. Предприятия по добыче олова, полиметаллических руд и других полезных ископаемых расположены в основном в Кавалеровском, Дальнегорском и Красноармейском районах. Наиболее крупные районные центры — Кавалерово и Дальнегорск соединены асфальтовым шоссе с автогородом Владивосток—Хабаровск, остальные населенные пункты — группами дорогами. Вдоль побережья осущестляется морское сообщение, некоторые пункты связаны авиалиниями. В пределах территории расположены Сихотэ-Алинский государственный заповедник [14].

Подробные сведения об истории геологического изучения территории изложены в работах Э. Э. Анерта [1, 2], В. А. Обручева [48, 49], А. Н. Криштофовича [41, 42], И. И. Берсенева [7], в 32-м и 19-м томах «Геология СССР» [18, 19], в ряде выпусков «Геологическая изученность СССР», а акватории — в ряде монографий, посвященных геологическому строению дна Японского моря [13, 23, 61, 62]. Дореволюционный период изучения геологического строения территории связан с именами Д. В. Иванова, Я. С. Эдельштейна, Э. Э. Анерта. В 20—30-е годы геологические исследования проводились сотрудниками Дальневосточного отделения Геологического комитета (Дальгеглкома). Результаты этих и предыдущих работ были обобщены в монографиях Э. Э. Анерта [1, 2], А. Н. Криштофовича [41, 42], П. И. Полевого [55].

С 40-х годов Дальневосточный геологический трест (преобразованный Дальгеглкомом) приступает к геологосъемочным работам среднего масштаба (Н. П. Батурина, П. С. Бернштейна, Г. П. Воларовича и др.). Особенно широко эти работы разворачиваются с 1947 г., охватывая сначала известные горнорудные районы, а затем и всю территорию Приморского и Хабаровского краев. Этап среднемасштабных съемок практически был завершен к 1956 г. Работами Н. А. Беляевского (1952—1955), И. И. Берсенева (1949—1951), Ю. В. Вдовина (1950—1951), Г. Г. Марченко (1956), В. Г. Плахотника (1954), О. К. Чедия (1950—1952) и многих других геологов-съемщиков в этот период закладываются основы современных представлений по стратиграфии, магматизму и полезным ископаемым терригенами.

Крупномасштабная геологическая съемка была начата в 1947 г. и продолжается до настоящего времени. Эти работы проводились сначала сотрудниками Дальневосточного геологического треста, ВСЕГЕИ, ВАГТа, 4-го Геологического управления, а затем большим коллективом Приморского и Дальневосточного геологических объединений.

Помимо геологосъемочных работ, проводились и проводятся многочисленные тематические исследования по стратиграфии и палеонтологии (И. В. Бурий, В. Н. Верепагин, Г. С. Ганешин, В. К. Елисеева, А. И. Жамойда, Д. Д. Кипарисова, И. В. Коновалов, В. П. Коновалов, А. П. Никитина, В. В. Соловьев, М. И. Соснина, В. Н. Яковлев и др.), помагматизму (Е. В. Быковская, Э. П. Изюх, М. Г. Руб, В. И. Рыбалко, С. П. Соловьев, М. А. Фаворская и др.), тектонике (И. И. Берсенев, Б. А. Иванов, П. Н. Кропоткин, С. А. Музылев, С. А. Салун, А. М. Смирнов и др.), металлогении (П. Н. Антонов, Д. И. Ильин, Н. И. Лаврик, М. П. Материиков, Г. А. Мельников, Е. А. Радкевич и др.), гидрогеологии (Е. Ф. Кириллова и др.), геоморфологии (А. М. Короткий, Л. П. Карапулов, Б. П. Пода, В. К. Сохин и др.), геофизике и другим направлениям. Изучением геологии дна Японского моря занимаются сотрудники Тихоокеанского геологического института ДВНЦ АН СССР (В. Л. Безверхний, И. И. Берсенев, Е. П. Леликов и др.) Сахалинского комплексного научно-исследовательского института ДВНЦ АН СССР и других организаций.

В пределах номенклатурного листа L-(53), (54) на суше и акватории выделяется ряд районов, отличающихся особенностями геологического строения. В северо-западной части территории расположены Стрельниковский и Центрально-Сихотэалинский антиклиниории, сложенные верхнепалеозойскими, триасовыми и юрскими терригennыми и кремнисто-вулканогенными образованиями. Аналогичными образованиями сложен и Прибрежный антиклиниорий в юго-западной части территории. Центральная часть территории относится к Восточно-Сихотэалинскому синклиниорию, образованному нижнемеловыми, реже юрскими, преимущественно терригennыми толщами. Такими же отложениями представлен Вяземский синклиниорий, граничащий на севере со Стрельниковским антиклиниорием.

Вдоль побережья Японского моря, частично захватывая шельф и материковый склон, протягивается Восточно-Сихотэалинский вулканический пояс, образованный нижнemеловыми — кайнозойскими вулканическими породами риолитового, андезитового и базальтового состава.

В пределах акватории к востоку от вулканического пояса располагается Западно-Япономорской прогиб, в котором на акустическом фоне (палеозой — нижний мел) залегают палеогеновые и неогеновые терригенные осадки. На юном окончании прогиба выделяется Южно-Татарское антиклинальное поднятие. Восточнее прогиба располагается островной Хоккайдо-Сахалинский бордерленд, осложненный горстами и грабенами.

Территория листа в настоящее время полностью покрыта геологической съемкой среднего и на 2/3 крупного масштабов. Однако изза большого временного интервала проведения геологосъемочных работ (1947—1985 гг.) в процессе съемок появлялись новые данные о возрасте и взаимоотношениях геологических образований, а возникновение новых геологических концепций приводило к изменению представлений о тектоническом строении отдельных участков и района в целом. В связи с этим геологические карты, составленные в разные годы, часто не увязываются между собой не только по возрасту стратиграфических подразделений и их объемом, но и по геологическим границам и структуре. При подготовке листа использованы все имеющиеся материалы геологических съемок среднего и крупного масштабов и обобщающие работы. Проведена возрастная и структурная увязка и корреляция стратиграфических и интрузивных образований. Однако не все нежные вопросы удалось разрешить однозначно в процессе данного обобщения.

Во многом дискуссионным остается возраст кремнисто-терригенных и кремнисто-вулканических толщ, содержащих известняки. По разным группам фауны различными исследователями они относятся к палеозою (фораминиферы) или к граниту и юре (радиолярии, конодонты). Сложность расчленения литологически близких нижнемеловых терригенных отложений и невозможность достоверного сопоставления на уровне свит отводится для всей территории обусловлено выделение их на карте только в рангах ярусов. Из-за возможного налипания тектонических пластин, плохой картируемых в условиях Сихотэ-Алдая, возможно завышение мощностей для ряда нижнемеловых стратиграфических подразделений.

Степень геологической изученности территории и дна акватории в пределах листа различна. Необходимо учитывать, что представления о геологическом строении морского дна построены в основном на материалах сейсмоакустических съемок и отражают сейсмостратиграфические подразделения, возраст которых подтвержден немногочисленными данными драгирования и бурения в основном в южной части акватории. Авторами информации по геологическому строению дна Японского моря являются сотрудники Тихоокеанского геологического института ДВНЦ АН СССР В. Л. Безверхний, И. И. Берсенев, Н. Г. Ващенко, М. Г. Горовая, Е. П. Леликов. Для удобства использования записки описание геологического строения дна Японского моря выделено в отдельный раздел.

СТРАТИГРАФИЯ

Стратиграфическое расчленение распространенных в пределах листа образований базируется на данных, полученных при проведении среднечисленных и крупномасштабных геологических съемок. Возрастная датировка стратиграфических подразделений проводится на основании находок остатков фауны разных групп.

Отнесение толщ к палеозою обосновывается находками остатков фораминифер, реже радиолярий и мицелок. Однако примуровенность фораминифер только к известнякам, часть из которых, возможно, представляет олистолиты, а также совместное нахождение в ряде случаев их разновозрастных форм и присутствие во вмещающих известняках кремнисто-терригенных отложений остатков радиолярий и конодонтов мезозоя в ряде случаев ставит под сомнение достоверность отнесения отдельных разрезов к палеозою.

Триасовые и юрские кремнисто-терригенные и кремнисто-вулканогенные толщи выделяются на основании находок остатков радиолярий и конодонтов, которые пока изучены крайне недостаточно и не привязаны к стратиграфическим разрезам, возраст которых подтвержден другими группами фауны. Наиболее достоверно по морлюсам устанавливается возраст нижнемеловых отложений. Верхнемеловые и кайнозойские образования выделяются на основании остатков макрофлоры, спорово-пыльцевых комплексов и диатомей.

Общая мощность осадочных и вулканогенных образований на территории определяется в 35—40 км. По составу образований, их возрасту и структурному положению в пределах листа выделяется ряд крупных структурно-формационных зон (рис. 1).

Палеозойские и триасово-юрские терригенные, кремнисто-терригенные и кремнисто-вулканогенные формации обнаруживаются в Центрально-Сихотэалинской, Стрельниковской, Прибрежной и Южно-Татарской зонах.

Примущественно морские терригенные формации распространены в Восточно-Сихотэалинской и Вяземской зонах. Континентальные меловые, палеогеновые и неогеновые вулканогенные образования слагают в основном Алчансскую и Приморскую зоны (включая шельф Сихотэ-Алиня), а также отдельные участки в Хоккайдо-Сахалинской и Западно-Япономорской зонах. Неогеновые и четвертичные осадочные отложения наибольшее распространение имеют в Западно-Япономорской и Хоккайдо-Сахалинской зонах. На суше они приурочены к Верхнебикинской, Среднебикинской и Среднеамурской впадинам.

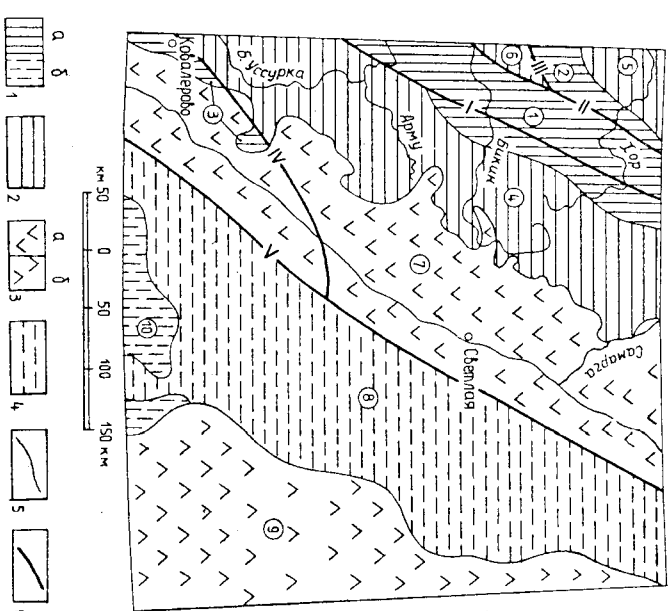


Рис. 1. Схема расположения структурно-формационных зон

I—4 — возраст структурно-формационных комплексов: 1 — палеозойско-меловой (а — в пределах суши; б — в пределах акватории); 2 — мезозойский; 3 — мезоэоцен-кайнозойский; 4 — кайнозойский; 5 — границы зон; 6 — основные разломы. Названия зон (цифры в кружках): 1 — Центрально-Сихотэалинская; 2 — Стрельниковская; 3 — Прибрежная; 4 — Восточно-Сихотэалинская; 5 — Вяземская; 6 — Алчанская; 7 — Приморская; 8 — Западно-Япономорская; 9 — Хоккайдо-Сахалинская; 10 — Альпийская. Названия разломов: I — Центральный Сихотэ-Алинский; II — Арсениевский (Дабайхинский); III — Алчанский; IV — Прибрежный; V — Приморский.

КАМЕННОУГОЛЬНАЯ СИСТЕМА

Отложения с каменоугольной фауной установлены в Центрально-Сихотэалинской и Прибрежной зонах. Однако, учитывая технические возможности масштаба, на карте каменоугольные отложения показаны только в Центрально-Сихотэалинской зоне. Ряд тел известняков, содержащих каменоугольную фауну, часть исследователей относит к олистолитам олистостромовых толщ.

Средний—верхний отделы

В Восточной части Центрально-Сихотэалинской зоны условно с редким верхнегеминогенным отложением (C_2-C_3) выделены в басс. р. Катэн. Толщи, по данным В. И. Анохина (1983), сложены песчаниками, аллюролитами, туфопесчаниками, туфоалевролитами, туфами, риолитовыми туфами. Тип разреза филишоидный, турбидитовый. Полные разрезы толщи не наблюдается. Видимая мощность отложений по данным фрагментарных разрезов и по структурным построениям не менее 2000 м.

Возраст толщи определяется условно исходя из представлений о ее залегании в ядре антиклинальной складки стратиграфически ниже верхнепермской кафэнской свиты. Найденные плохо сохранившиеся остатки мшанок, по заключению Ю. А. Дубатоловой, скорее всего указывают на позднепалеозойский возраст. Однако изучавшие эту толщу В. К. Матушкин (1979) и Н. Г. Сутурин (1983) считают, что толща слагает синклинальную складку и соответственно является более молодой, чем кафэнская свита.

В Прибрежной зоне в районе пос. Кавалерово, по кл. Санькин и Тяжнов обнажаются песчаники, алевролиты, глинистые сланцы и кремнистые породы (от 50 до 100 м мощности), включающие тела известняков с остатками фораминифер, относимых М. И. Сосиной и А. Д. Минкухомакиам к среднему—верхнему карбону. Мощность толщи 700—1000 м.

ПЕРМСКАЯ СИСТЕМА

Пермские отложения развиты в Центрально-Сихотэалинской и Прибрежной зонах. В стратиграфии перми много спорных вопросов, особенно касающихся возраста толщи и свит. По палеонтологическим данным выделяются нижняя и верхняя пермь.

Нижний отдел

Себучарская свита (*P_{sb}*) выделена Л. Б. Кривицким в 1945 г. в восточной части Центрально-Сихотэалинской зоны. Свита относились к перми (Н. А. Беляевский, 1948), верхнему карбону—нижней перми (О. К. Чедия, 1949—1950), позднему палеозою (Д. И. Варфоломеева, О. Г. Литенко, Г. Г. Марченко и др., 1950), верхней перми (Г. П. Вергунов, Г. П. Толмацев, 1952), нижней перми (Ю. Я. Громов, В. А. Ильин и др., 1952). Стратотип описан за пределами рассматриваемой территории в бас. р. Журавлевка В. Н. Сылаптьевым [19].

Свита распространена в бас. рек Дальняя, Нижняя Лимониха, Голубица, Б. Уссурка, а также в небольших тектонических блоках на других участках. Подошва свиты неизвестна. Для свиты характерны метабазальты, спилиты, кремнистые породы и ямы, алевролиты, песчаники, глинистые сланцы. Свита подразделяется на две подсвиты (В. И. Надежкин, 1981). Нижняя подсвита в бас. р. Дальня представлена метабазальтами, кремнистыми породами, алевролитами, песчаниками, туфами, туфланцами. Мощность отдельных пачек метабазальтов достигает 170 м, кремнистых пород — до 100 м. Общая видимая мощность подсвиты 1500 м. Верхняя подсвита отличается от нижней преобладанием кремнистых пород, слагающих около 1/3 разреза. Видимая мощность подсвиты 900 м. Общая мощность свиты около 2500 м.

Раннепермский возраст свиты устанавливается на основании находок в линзах известняков, обнажающихся в бас. р. Кленовка, остатков мшанок и фораминифер: *Triticites orrea* Sosn., *T. cf. siensis* Chen, *Schubertella ex gr. kingi* Dumb. et Skin., *Pseudofusulina ex gr. kroffii* (Schellw. et Duhg.) и др. По заключению А. Г. Никитиной, данный комплекс фораминифер характерен для нижней перми Приморья.

В районе горы Амба в кремнистых породах, относимых к нижней части свиты обнаружены пермские радиолярии, а несколько выше — мезозойские. На основании этих находок А. Г. Никитина считает возможным всю себучарскую свиту отнести к верхнему триасу. Однако многочисленные находки остатков фораминифер в телах известняков дают основание относить себучарскую свиту на данной стадии изученности к нижней перми.

В Прибрежной зоне (Кавалеровский район) к нерасчлененным отложениям нижней и средней перми (*P₁*) отнесены толщи, распространенные в бас. рек Устиновка и Высокогорская. Толщи сложены разнозернистыми песчаниками, алевролитами, глинистыми сланцами с горизонтами (до 50 м) кремнистых пород и телами известняков мощностью до 200 м (пос. Кавалерово). Мощность отложений 1600—2000 м (бас. р. Устиновка). Из известняков вблизи пос. Кавалерово и в бас. р. Устиновка М. И. Сосиной определены раннепермские фораминиферы [19].

Верхний отдел

Верхнепермские отложения наиболее широко распространены в Центрально-Сихотэалинской зоне, где они подразделяются на три свиты (кафэнскую, ходийскую, ариадинскую), и на отдельных участках установлены в Прибрежной зоне.

Кафенская свита (*P_{2kf}*) выделена Е. Б. Бельтеневым в 1953 г. в бас. р. Кафе. Распространена в Центрально-Сихотэалинской зоне в бас. рек Хор, Матай, Бикин, Кафе, Катэн.

По данным В. И. Анойкина и др. (1983), в Катэн-Бикинском междууречье свита без видимого несогласия перекрывает средне-верхнекаменноугольные отложения. Низы разреза сложены преимущественно туфаалевролитами и туфоаргиллитами, а остальная часть свиты — песчаниками, эфузивами и туфами базальтового состава, кремнистыми породами и конседиментационными брекчиями с телами органогенных известняков, кремнистых пород и эфузивов. В бас. р. Кафе внизу разреза преобладают песчаники и алевролиты, а вверху — туфы риолитов, туфопесчаники, туфаалевролиты. В бас. рек Сагды—Селенка среди алевролитов, песчаников и брекций обнаружены многочисленные тела известняков различного и щелочного состава и пепловыми туфами кислого состава, как рифы, биостромы и биогермы, а часть — как олистолиты. Мощность свиты около 1700 м.

В бас. рек Балаза, Лямфана, Пр. Полхоренок, Хима-2 свита представлена туфаалевролитами, туфоаргиллитами, конседиментационными брекчиями, спилитами, эфузивами и туфами базальтов нормального, субщелочного и щелочного состава и пепловыми туфами кислого состава, преобразованными в кремнистые породы. В отличие от восточных районов разрез насыщен вулканогенными образованиями. Мощность свиты не менее 2000 м.

В известняках свиты обнаружены остатки средне- и позднекаменноугольных, ранне- и позднепермских фораминифер, мшанки и кораллы. Не исключено, что часть тел известняков являются олистоцитами, чем и объясняется такой возрастной диапазон фауны. Возраст толщи как позднепермский в данной работе принимается на основании находок самых молодых групп фораминифер.

Арадинская свита (*P_{2ad}*), выделенная Н. А. Беляевским, является вероятным возрастным аналогом кафэнской свиты в бас. рек Средняя, Дудуга, Верхняя и Нижняя Лимониха. Предполагается, что в бас. р. Черемшанка свита с постепенными переходами залегает на себучарской свите.

По данным В. И. Надежкина и др. (1981), свита делится на три подсвиты. Нижняя подсвита (до 1700 м) сложена песчаниками с прослоями филлитовидных алевролитов и редко кремнистых пород и основных эфузивов. Средняя подсвита (1500 м) характеризуется повышенной туфогенностью. Среди мелко- и тонкозернистых песчаников часто встречаются туфопесчаники, туфаалевролиты и пепловые туфы. Верхняя подсвита (до 2700 м) представлена песчаниками полимиктовыми, иногда туфогенными, с прослоями алевролитов, глинистых сланцев и, редко, кремнистых пород. Для подсвиты характерно присутствие прослоев песчаников и

алевролитов со слабой сортировкой и окатанностью кластического материала и с текстурами взмучивания.

В бас. р. Нижняя Лимониха в линзах известняков из верхнеарийдинской подсвиты определены остатки фораминифер: *Schubertella* ex gr. *kingi* D u b. et S k i p., *Trilocites* ex gr. *oregas* S o s p. и др., по мнению А. П. Никитиной, указывающие на первомиллионный возраст вмещающих пород, а также поэзитивные Мицанки *Bastostomella* sp., *Fenestella* sp., *Septopora* sp.

Ходийская свита (*Rhyd*) впервые выделена в 1953 г. Е. Б. Бельтевским и параллелизовалась с отложениями у пос. Ходы, в которых еще в 1936 г. И. Г. Козловым обнаружены позднепермские фораминиферы. Свита прослеживается по западным отрогам северного Сихотэ-Алиня. Сложена преимущественно кремнистыми породами, редко встречаются кремнистые алевролиты и аргиллиты, туфоалевролиты, конгломерационные брекчии, песчаники. В бас. р. Долмы в состав свиты включается пачка алевролитов (до 300 м.). По р. Кафэ и Катэн ходийская свита почти полностью состоит из сероизвестных плитчатых кремнистых пород с резко подчиненным количеством кремнистых аргиллитов. В целом свита фациально устойчива. На водоразделе Долмы—Катэн, по данным В. И. Анойкина и др. (1983), свита согласно залегает на кафэнской. Мощность около 2250 м.

Холийская свита бедна органическими остатками. Верхнепетримский возраст принимается на основании определения в известняках формами-нифер и мшанок. В нескольких точках из кремнистых пород, относимых к холийской свите, определены мезозойские радиолярии (В. И. Аноиник и др., 1983).

Н е р а с с ч л е н е н н ы е в е р х н е п е р м с к и е о б л о ж к и (P_2) в Центрально-Сибирской зоне выделяются в бас. р. Далмы. Помимо А. Я. Гааза (1970), толща сложена переслаивающимися песчаниками и алевролитами с прослойями гравелитов, кремнистых пород, туфопесчаников, туфов среднего состава и массивами известняков (мощность до 290 м). Мощность толщи до 3500 м. В известняках обнаружены остатки *Productus asperulus* Wag. sp., *Spiriferella* cf. *raja*, *Sait.* и др. (определения Б. К. Лихарева, И. П. Черныш, Г. В. Котляр), а также фораминиферы, характерные, по заключению А. П. Никитиной, для поздней перми.

Прибрежной зоне верхнетермские отложения волиз пос. Кавалерово представлены преимущественно алевролитами и разнозернистыми песчаниками, образующими линзы и будни среди алевролитов или пачки мощностью до 30—40 м. Присутствуют силикаты и маломощные пласты спилитов, которые ассоциируют с линзами биогермных известняков. Мощность отложений до 500 м. В бас. р. Устиновка преобладают разнозернистые песчаники, в меньшем количестве присутствуют алевролиты и кремнистые породы. Отложения без видимого несогласия залегают на нижнетермских. Мощность около 850 м. Известняки содержат верхнепермские фузулиниды [36].

К палеозою нерасчлененном у (РЗ?) условно отнес-

сены образования, приуроченные в Центрально-Сихотэалинской зоне к Хорскому тектоническому блоку. Здесь, в узкой зоне, ограниченной разломами, обнажаются метаморфизованные породы, изучавшиеся многими исследователями. По данным В. И. Аноиной и др. (1979), общая промежуточность тектонического блока около 100 км при наибольшей ширине до 7 км. В пределах рассматриваемой территории входит южная часть блока, длиной около 56 км. Среди метаморфических пород по степени метаморфизма выделяются три группы: 1) гнейсы очковые биотитовые;

ПАЛЕОЗОЙ НЕРАСЧЛЕНЕННЫЙ

Среди первых писателей и публицистов Южной Америки

Средний — верхний отдельный

Триасовые отложения фрагментарно выделены в Центрально-Сихотэлинской, Прибрежной и Восточно-Сихотэлинской зонах. В пределах территории листа фаунистически обоснованных нижнетриасовых образований не обнаружено. На основании находок фауны выделяются

ТРИАСОВАЯ СИСТЕМА

Все породы, расположенные в пределах Хорского блока, интенсивно катализированы и магнитизированы.

Возраст образований Хорского блока до настоящего времени не установлен. Н. А. Беляевский и Ю. Я. Громов [15] относили их к протерозою. Такого же мнения придерживаются М. В. Мартынюк и др. (1983), изучавшие метаморфические породы блока северной, рассматриваемой территории. Е. В. Бельтевес считал их силурийскими или девонскими. В XIX томе «Геологии СССР» [18] они рассматриваются как карбоновые. Д. А. Кириков считал эти породы продуктами переработки пермских, триасовых и юрских отложений, Б. А. Иванов [32] — гранитоидов, В. И. Андрианов и др. (1979) возраст метаморфических пород определяют в пределах поздней перми—раннего мела.

По данным М. В. Мартынюка и др. [45], радиологический возраст метаморфических пород рутильно-стронциевым методом определен в 227 млн лет. Предполагается, что эта цифра определяет возраст метаморфизма. Для аналогичных пород Андриановского тектонического блока, расположенного севернее данной территории, возраст определен в пределах 433—488 млн лет [59].

2) кварциты гранатовые, полевошпатовые, слюдяные, гнейсы силимит-биотитовые; 3) филлиты, метаальвролиты, метапесчаники, сланцы альбит-актинолитовые и двуслюдяные. Каждая из групп слагает линейные зоны, взаимоотношения между группами пород не ясны.

Гнейсы очковые биотитовые приурочены к осевой части блока и слагают линзовидное тело протяженностью около 50 км при ширине до 3,5 км. В. И. Анонкиным и др. (1979) предполагается, что очковые гнейсы являются продуктом метасоматической гранитизации биотитовых гнейсов и кристаллических сланцев, реликты которых сохранились по периферии гнейсового комплекса. Б. А. Иванов [32] считает эти гнейсы типичными милюнитами и ультрамилюнитами. Кварциты и силлиманит-биотитовые гнейсы залегают в тектоническом блоке длиной в 30 км и шириной около 1 км. Гнейсы силлиманит-биотитовые приурочены к центральной части блока и имеют постепенные переходы к кварцитам, местами тонко переслаиваются с ними. Исходный состав пород не устанавливается.

1700 м. К среднему — верхнему триасу толща отнесена условно, на основании ее положения ниже верхнетриасово-юрской краснореченской свиты.

В Прибрежной зоне к среднему — верхнему триасу отнесены отложения, выделенные А. Ф. Барановым и С. А. Музлевичем в 1948 г. в Тетюхинскую свиту (Тетюхинская фауня, по Г. П. Воларовичу, 1933).

В настоящее время объем свиты достоверно не установлен, т. к. в 600-метровой толще песчаников, алевролитов и песчано-глинистых сланцев, относимых ранее к тетюхинской свите, обнаружена раннемеловая флора [39].

На карте в состав свиты включены кремнистые породы, известняки, известняковые брекчи, метаандезиты (спилиты), песчаники, алевролиты и мергели, распространенные в бас. р. Нежданка, на горах Сахарная и Большная, вблизи пос. Мономахово и по кл. Карнийский в бас. р. Высокогорская. Мощность свиты около 2000 м, при мощности отдельных тел (рифов) известняков от 100—125 м (кл. Карнийский, пос. Мономахово, р. Нежданка) до 1000 м (гора Сахарная).

Практически во всех телах известняков обнаружена многочисленная фауна брахиопод, гастropод, пелепипод, кораллов, фоламинаф, ежей, конодонтов и радиолярий, позволяющая отнести отложения к среднему (рифов) известнякам от 100—125 м (кл. Карнийский, пос. Мономахово, р. Нежданка) до 1000 м (гора Сахарная).

Верхнетриасовые отложения (T_3) выделены в Прибрежной зоне. В бас. кл. Силинский, р. Зеркальная, р. Устиновка обнаруживаются песчаники и алевролиты, иногда с маломощными прослоями и линзами известняков и кремнистых пород. Мощность отложений до 1000 м. Соотношения с подстилающими отложениями не установлены. Предполагается, что на ряде участков (кл. Силинский) отложения образуют тектонические покровы. В алевролитах, известняковых песчаниках и известняках А. И. Бураго, Г. Б. Нарбутом, А. Н. Калягным и др. обнаружены остатки фауны, позволяющие по определению Н. К. Жарниковой, относить вмещающие их отложения к карнийскому и норийскому ярусам.

ВЕРХНИЙ ТРИАС — НИЖНЯЯ ЮРА

Отложения, относимые к верхнему триасу — нижней юре, распространены в Центрально-Сихотэалинской зоне и выделяются в краснореченскую и джаурскую свиты.

Красночехская свита (T_3 — J_{1-kr}) приурочена к западной части зоны и обнаруживается в бас. рек Коломи, Мафана, Магай, Пр. Подхоронек, Хима-З., Хор. Свита, по данным А. А. Козлова и др. (1972), В. И. Анойкина и др. (1979, 1983), сложена кремнистыми породами и кремнисто-глинистыми сланцами с подчиненным количеством песчаников, алевролитов, спилитов, известняков. Свита характеризуется резкой фаунистой изменчивостью. В бас. р. Пр. Подхоронек известняки совместно с кремнистыми породами слагают пачку мощностью до 200 м. В бас. рек Мафана и Мафана в разрезе преобладают кремнистые породы (до 80 %), а в бас. р. Хор в составе свиты отмечаются маломощные прослои туфоресчаников и покровы метабазальтов. Суммарная мощность свиты по отдельным разрезам в бас. рек Мафана и Мафана 1800 м, в бас. р. Хор — до 2500 м.

Верхний отдел

Джуарская свита (T_3 — J_{1-dz}) восточной части зоны является по-видимому, возрастным аналогом краснореченской свиты. Распространена в бас. рек Чукен, Катэн, Сукпай. В отличие от краснореченской, в разрезах джаурской свиты преобладают кремнистые породы при подчиненном значении кремнистых алевролитов и аргиллитов. Встречаются единичные прослои песчаников и хемогенных известняков. Мощность свиты в бас. р. Катэн 2200 м.

В бассейне среднего течения р. Бикин (Н. Г. Мельников, Н. Г. Сутурин и др., 1983) выделяются олистостромовых — нижнетриасовых радиолярий. В бас. алевролитами, песчаниками, кремнями и кремнисто-глинистыми сланцами. Для толщи характерны брекцииевые текстуры алевролитов и присутствие в них многочисленных обломков кремней, спилитов, алевролитов и разновозрастных палеозойских известняков.

Возраст отложений устанавливается на основании многочисленных находок в известняках из нижней части разреза выделены конодонты *P. Cabulina* в известняках из нижней части разреза выделены конодонты *Erigondolella primata* *Mashet*, *E. avperpis* (Н. С. К. Г. Е.), *E. cf. avperpis* (Н. С. К. Г. Е.), характерные по заключению Т. В. Клен, для триаса (норийского яруса), обломки двустворок напоминающих *Halobia* верхнетриасового возраста (определения Е. П. Брудникой). Выше по разрезу Л. Б. Тихомировой определены многочисленные радиолярии, встречающиеся в юрских отложениях Болгарии. На прилегающей с севера терриtorии в разрезах кремнистых пород обнаружены верхнетриасовые фораминиферы, многочисленные радиолярии, киселевского и тетюхинского комплексов (В. И. Анойкин и др., 1979, 1983; В. А. Дымович и др., 1979).

ЮРСКАЯ СИСТЕМА

Нижний — средний отделы

Осложнения нижней — средней юры (J_{1-2}) выделены на севере Центрально-Сихотэалинской зоны и в южной части Восточно-Сихотэалинской.

В Центрально-Сихотэалинской зоне, в бассейнах Сон, Немпту, Силимки к нижней — средней юре отнесена толща алевролитов, глинистых и кремнисто-глинистых сланцев, кремнистых пород, песчаников, метабазальтов и туфов основного состава с линзами известняков. Предполагается согласное залегание толщи на краснореченской свите (В. И. Анойкин и др., 1979). По данным Н. Г. Осипова, в бас. рек Дурмин и М. Сидими внизу (около 400 м) преобладают песчаники, переслаивающиеся с алевролитами, кремнисто-глинистыми и кремнистыми породами. Присутствуют маломощные прослои подводно-оползневых брекций. В средней части (600 м) увеличивается количество прослоев и мощность алевролитов. В верхней части (200 м) преобладают кремнистые породы. В бассейнах Немпту, Сон и Хулгичи алевролиты слагают до 80 % разреза и среди них появляются туфы основного состава. Южнее в разрезах увеличивается количество кремнистых пород, слагающих иногда до 50 % толщи. В бас. рек Сакбяза, Сон, Коломи среди алевролитов присутствуют линзы и слои мощностью до 100 м пачек известняков, переслаивающихся с кремнистыми породами. Общая мощность толщи определяется в 1750 м.

Толща к нижней — средней юре отнесена условно, на основании ее залегания на краснореченской свите и редких находок остатков радиолярий киселевского комплекса (нижняя — средняя юра).

На юге Восточно-Сихотэалинской зоны в бас. рек Зеркальная, Высо-

ролитами и песчаниками с линзами кремнистых пород, туфлитов, туфов основного состава и спилитами. Как правило, биотинство более или менее выдержаных горизонтов кремнистых пород подстилаются залежами метабазальтов и спилитов или их миндалекаменных разностей.

Терригенные и кремнистые породы часто содержат примесь прокластитического материала [29]. Толща залегает на отложениях верхнего триаса и несогласно перекрываются валанжином. Общая мощность разрезов радиолирий в кремнистых породах и аммонита *Oxitoceras* sp. (определене-

ние И. В. Коноваловой из сборов А. Н. Калигина). В 1954 г. Г. П. Вергуновым в верховьях р. Уссури были найдены остатки *Ammonites germanii* Ogb., *Trigonia costata* L. et C. (определене- ния В. И. Бодылевского). Однако эти органические находки не привя- заны к разрезу и последующими работами не подтверждены.

Средний—верхний отделы

К середине — в **важнейшей** юре (J_{2-3}) отнесены отложения, выделяемые ранее в горбулинскую свиту или серию. Толща развита в бас- рек Горбуша, Рудная. Сложена песчаниками, алевролитами, кремнистыми породами, спилитами, седиментационными сланцами, яшмами, чешуями, спилитами, образующими породы и яшмы тыре ритма. Кремнисто-глинистые сланцы мощностью до 100 м. Эффузии слагают довольно выдержаные горизонты мощностью до 100 м. Эффузии приурочены к нижней части толщи и образуют пластовые залежи мощностью до 40 м. Мощность толщи, по И. Т. Гурулеву, достигает 2500 м. Толща несогласно залегает на средне-верхнетриасовых отложениях и трансгрессивно перекрывается нижним мелом. В кремнистых породах обнаружены юрские радиолирии.

В последние годы отнесение данной толщи к средней—верхней юре подвергается сомнению, т. к. на разных участках ее развития, в различных частях разреза и в разных породах обнаружены остатки радиолирий и конволютов, датирующих возраст в пределах от раннего триаса до раннего мела (Л. Ф. Назаренко и др., 1986). Обнаруженный Ю. Т. Гурулевым в 1959 г. в разрезе аммонит, определенный Ю. М. Худолеевым (1960) как байосский *Stephanoceras ex gr. umbilicus* (Quensel), определен И. И. Сей и Е. Д. Калачевой (1986) и отнесен к меловому роду *Olcostephanus*. В связи с этим в настоящее время рядом исследователей — О. Л. Смирновой, Л. М. Олейник, И. В. Коноваловой и др. предполагается, что разрез толщи представлен серией повторяющихся покровов или является олистостромой. Некоторые исследователи [12] считают горбушинскую свиту возрастным аналогом тетюхинской (T_{2-3}).

Верхний отдел

Берриасский—валанжинский ярусы. **Берриас-валанжинская отложенность** (K_{1-2}) в Вяземской зоне распространены в бас. рек Плодородной, Матай, Катэн, где они выделяются в пионерскую свиту, которая расщепляется на три пачки: глинисто-сланцевую (300 м), алевролито-песчаниковую (400 м) и алевролито-глинисто-сланцевую (300—500 м). Общая мощность свиты 1100—1500 м. Возраст установлен на основании находок остатков берриасских и нижневаланжинских букий (определение В. Н. Верещагина и В. П. Коновалова).

В Восточно-Сихотэалинской зоне берриас-валанжинские отложения в основном приурочены к ее восточной части. На юге в Кавалеровском и Дальнегорском районах, по данным Л. Ф. Назаренко и В. А. Бажанова (1986) и других исследователей, толща (таухинская свита) сложена алевролитами и песчаниками (более 1600 м). Наблюдаются олистостромовые тела, образованные алевролитами, включающими глыбы известняков, кремнистых пород, спилитов, песчаников палеозойского, триасового и юрского возраста. В бас. рек Дальней, Оморочка, Арму в составе толщи, кроме алевролитов, песчаников, гравелитов и конгломератов, появляются прослои миндалекаменных метабазальтов, туфов, яшм. В бас. рек Чукен и Дальнего среди терригенных отложений встречаются прослои кремнистых пород и кремнистых алевролитов и резко возрастают объем седиментационных брекчий. Местами в бас. р. Чукен в алевролитах присутствует углефицированный растительный дегрит. Мощность толщи 1600—2000 м.

В верховьях р. Кабули и в бас. р. Самарга (В. А. Дымович и др., 1985) в низах толщи преобладают крупноалевритовые, иногда песчанистые разности алевролитов. В средних частях разреза распространены тонкослоистые, а в верхних — массивные мелкоалевритовые разности. По всему разрезу встречаются единичные прослои песчаников и линзы гравелитов. Мощность толщи в бас. р. Кабули около 1100 м.

В бас. рек Самарга и Кабули найдены остатки букий, относящиеся, по заключению Е. А. Калинина и В. П. Коновалова, к берриасу и, возможно, к нижнему валанжину.

Залегают берриас-валанжинские отложения на подстилающих обра- зованиях, как правило, с азимутальным и угловым несогласием, но на не-

кремнистых пород и брекчий с алевролитовым цементом. В бас. р. Хор пре- обладают базальты, среди которых имеются пачки туфов, лавобрекчий и алевролитов. Мощность толщи 1400 м. По данным В. И. Аноинина и др. (1979) общая мощность толщи около 1600 м. Эффузивы толщи представ- лены базальтами, пикритобазальтами и пикритами с повышенной пе- лочностью.

К **верхней** юре толща отнесена на основании ее сопоставления с верхнеюрской погской свитой, распространенной в более южных участках Центрально-Сихотэалинской зоны. В. И. Аноинин (1979) относит свиту к верхнему триасу.

МЕЛОВАЯ СИСТЕМА

Меловые осадочные и вулканогенные образования распространены на всей территории листа, однако наибольшее развитие осадочные морские и континентальные отложения имеют в Вяземской и Восточно-Сихотэ- алинской зонах, а вулканогенные — в Приморской зоне. В возрастном от- ношении они охватывают все века меловой системы.

Нижний отдел

которых участках устойчивого осадконакопления видимого несогласия не наблюдается (водораздел рек Чукен—Делого).

Валанжинский ярус. В а л а н ж и н с к и е о т л о ж е н и я (*K_{IV}*) распространены там же, где и берриас-валанжинские и, как правило, залегают на последних согласно.

В Вяземской зоне в бас. рек Полхоренок и Матай к валанжину отнесена пиванская свита, сложенная песчаниками и алевролитами, местами встречаются седиментационные брекции, гравелиты и глинистые сланцы.

Мощность разреза до 600 м. В отложениях обнаружены остатки *Neocalcarites cf. punctoides* Ch a s h l., *Equisettites punctatus* R u p., *Baiera pulchella* Н е е г и д р.

В Восточно-Сихотэалинской зоне валанжинские отложения преобладают в ее восточной части, где выделяются под названием ключевской свиты. На юге зоны, в бас. р. Рудная внизу разреза (60—500 м) прослеживаются разнозернистые полимиктовые песчаники, среди которых присутствуют пачки алевролитов и глинистых сланцев. Для средней части разреза (35—350 м) характерно переслаивание песчаников и глинистых сланцев, а для верхней (800—1600 м) — песчаников с редкими пачками алевролитов и глинистых сланцев. Суммарная мощность разрезов от 1500 до 2000 м. Возможно, что в разрезы частично входит и отложение берриаса.

Севернее, в бас. р. Б. Уссурука, по данным Ю. Н. Размахина (1966), нижние части разреза (300—500 м) представлены полимиктовыми песчаниками, гравелитами и конгломератами с галькой кремнистых пород, песчаников, аляскитовых гранитов, гранодиоритов и габбро. Выше залегают алевролиты, переслаивающиеся с песчаниками. Вверху разреза преобладают песчаники. Общая мощность около 2500 м.

В бас. р. Дальния В. И. Надежкин (1981) отмечает резкое угловое несогласие между валанжинскими и палеозойскими толщами, а с берриасом — транстресивное соотношение.

В основании разреза залегают конгломераты с галькой песчаников, кремнистых пород и гранитоидов. Выше по разрезу развиты крупнозернистые песчаники с прослоями гравелитов и алевролитов. Встречаются пачки седиментационных брекций с обломками осадочных пород и миндалекаменных порфиритов. Мощность отложений около 2000 м.

На севере территории, в бас. рек Бикин, Катэн, Кафэ, Сукпай, Кабули, по данным В. А. Дымович и др. (1985), толща залегает без видимого несогласия на берриас-валанжинских отложениях. Внизу разреза (до 1400 м) преобладают алевролиты и песчаники, в меньшем количестве присутствуют аргиллиты, а в линзах — гравелиты и конгломераты. Вверху разреза (1300 м) преобладают алевролиты и аргиллиты с редкими прослоями песчаников, пачками и линзами седиментационных брекций, гравелитов, конгломератов и, редко, спилитов.

В целом разрезы валанжинских отложений однообразны по составу слагающих пород, но на разных участках изменяется их количественное соотношение. Валанжинские разрезы практически на всей площади их разведения содержат обильные остатки ископаемой фауны, среди которой, по определению В. Н. Верещагина и В. П. Коновалова, присутствуют валанжинские: *Buchia cf. istictoides* (P a v l.), *B. cf. kessleri* (L a h.), *B. cf. volgensis*, (*L. a. h.*), *B. sibirica* (S o k.), *B. inflata* (T o u l a), *B. fischeriana* (O r b.), *B. tolli* (S o k.) и др.

Готеривский—барремский ярус. Г о т е р и в - б а р р е м с к и е о т л о ж е н и я (*K_{IV}—Br*) наиболее широко распространены в Восточно-Сихотэалинской зоне и фрагментарно обнажаются в других зонах. Взаимоотношения с валанжинскими отложениями недостаточно ясны. В бассейне верхнего течения р. Б. Уссура к этому возрасту отнесена нижняя подсвита аниекской свиты. По данным Е. Д. Касяна (1967), она с угловым несогласием перекрывает валанжинские отложения. Для толщи характерно ритмичное, часто флишиоидное переслаивание песчаников и

алевролитов, местами в разрезе встречаются гравелиты. На водоразделе ключей Травянский и Николаевский в основании залегают конгломераты с галькой порфиритов, выше которых имеется прослой (10—15 м) известняков, перекрытых песчаниками. В бас. р. Дигититовка в песчаниках отмечается примесь туфового материала. Мощность разрезов 1800—2200 м.

Северо-восточнее, в бас. рек Пещерная, Таежная, Кема внизу разреза (1500 м) наблюдается ритмичное переслаивание песчаников, алевролитов, гравелитов и конгломератов. Мощность ритмичных пачек до 200 м. Средняя часть (500 м) представлена преимущественно алевролитами с конкремициями кремнисто-глинистого состава, иногда с пиритом и марказитом. В верхней части разреза (450 м) сложены песчаниками с полининсными отложениями. В разрезе преобладают алевролиты, среди которых имеются пачки тонкого переслаивания песчаников и алевролитов и редкие прослон кремнистых алевролитов и кремнистых пород, мощностью до 100 м.

(Р. Березовая). В бас. р. Кема восточнее туфы среднего состава, а по р. Валинку — линзы гравелитов и конгломератов и конкреции известковистых алевролитов. Видимая мощность разреза до 2000 м.

В бас. р. Чукена и Катэн к готериву—баррему отнесена устькоулунская и приманкинская свиты. Первая представлена песчаниками, туфопесчаниками, алевролитами с редкими пачками переслаивающихся гравелитов, конгломератов и седиментационных брекций. Мощность разреза до 1800 м. Залегающая согласно выше приманкинская свита сложена аргиллитами и алевролитами с единичными прослоями песчаников и пачками ритмично переслаивающихся песчаников, алевролитов и аргиллитов. В разрезе встречен пласт (около 100 м) кремнистых туфоалевролитов с радиоляриями. Мощность свиты около 1500 м, а всего разреза — около 3000 м.

На севере территории, в бас. рек Тагэму, Боленку, Пухи, Сагды-Джава, по данным В. А. Дымовича и др. (1985), в составе отложений, залегающих, по-видимому, несогласно или с размытом на валанжинских, преобладают песчаники и алевролиты с редкими линзами гравелитов, седиментационных брекций, конгломератов и углистых алевролитов. Мощность до 1200 м.

Возраст отложений устанавливается на основании большого количества находок ископаемой фауны иономерамов и аммонитов, по мнению В. П. Коновалова, позволяющих относить вмещающие их отложения к готериву—баррему и, возможно, альту.

В Центрально-Сихотэалинской зоне, в бас. рек Дальняя, Леснуха, Кленовка к готериву—баррему отнесены косослоистые песчаники, гравелиты, конгломераты, часто туфогенные, залегающие несогласно на валанжинских толщах или в тектонических блоках среди палеозоя.

Алтский ярус. А л т с к и е о т л о ж е н и я (*K_V*) распространены преимущественно в Восточно-Сихотэалинской зоне и в меньшей степени, в Вяземской зоне в бас. рек Хор, Обор, Дурмин. Матай к этому возрасту отнесены песчаники, гравелиты, конгломераты и алевролиты, переслаивающиеся с глинистыми и глинисто-кремнистыми сланцами. В бас. р. Обор в разрезе присутствуют пачки туфопесчаников. Суммарная мощность определяется А. А. Козловым и др. (1977) в 1500—1600 м. В бас. р. Обор Г. В. Масирбода обнаружила отпечатки растений, по заключению В. А. Вахромеева, раннемелового возраста (никанский

комплекс), а в бас. р. Хасами — остатки аулелли и неопределенных аммонитов.

На юге Восточно-Сихотэалинской зоны, в бас. р. Б. Уссурка, по данным Е. Д. Касьяна (1967), толща сложена алевролитами и песчанистыми алевролитами с плохой сортировкой обломочного материала. Характерны косая слоистость и наличие многочисленных внутриформационных размызов. В алевролитах встречается галька песчаников. Мощность разреза до 1100 м.

В бассейне среднего течения р. Б. Уссурка к этому возрасту отнесена верхняя подсвита аниексской свиты (Ю. Н. Размахин, 1966). Здесь внизу разреза наблюдается грубо-членование пачек и слоев конгломератов и песчаников с редкими прослоями алевролитов. В выше залегающей переслаивающейся алевролиты, конгломераты, гравелиты и песчаники, иногда туфогенные. Встречаются линзы (до 25 м) пахучих известняков. Мощность толщи до 1100 м.

Севернее, в бас. рек Кема, Пещерная, Лагерная, по данным В. К. Мостового и др. (1984), отложения анита (среднеуктурская подсвита) согласно залегают на гетерив-барремских. Толща сложена песчаниками, алевролитами, конгломератами. Присутствуют андезиты (от 0,9 до 9 м), туффиты, туфы и туфобрекции. В бас. р. Пещерная — седиментационные брекции. В алевролитах имеются прослой гидротектонитов. Внизу разреза обнаружена линза битуминозных известняков (4 м). В конгломератах галька кремнистых пород, андезитов, базальтов, роговиков, песчаников. Мощность в бас. р. Пещерная 900 м, в бас. р. Кема — до 1400 м. Общая мощность определяется в пределах 2400 м.

В бас. рек Кема, Березовая, Бикин преобладают песчаники, алевролиты. В бас. рек Тавасицки и Валинку увеличивается количество гравелитов и конгломератов. Мощность толщи 1250—1500 м. В бас. р. Катенка отнесена каталевская свита (В. И. Аноянин и др., 1983), для которой характерно преобразование песчаников с редкими прослоями алевролитов и пачками переслаивающихся алевролитов и песчаников. Отмечается повышенная туфогенность пород, наличие растительного детрита и конкреций сидерита. В редких линзах конгломератов галька кремнистых пород, эфузивов среднего и кислого состава, гранитоидов. Мощность около 2000 м. В северной части района, по данным В. А. Дымовина и др. (1985), в бас. рек Таэму, Сагда, Джава, Пухи, Суклай в разрезах преобладают алевролиты (до 60—80 %) с подчиненным знамением песчаников, аргиллитов, гравелитов, конгломератов и седиментационных брекций. В бас. рек Бя и Пр. Я присутствуют пачки базальтов и их туфов мощностью от 10 до 400 м при протяженности до 12 км. В песчаниках отмечается повышенная туфогенность. Мощность толщи до 1800 м, а в участках развития вулканогенных пород (р. Бя) — до 3000 м.

Возраст отложений устанавливается на основании находок кальцитовых, аулеллинов, иономерамида, относимых В. П. Коноваловым к аммонитов, аулеллину, иономерамиду, относимым В. П. Коноваловым к альтину — позднему албу.

Альбский ярус. Альбские осадочные отложения (Kal) распространены в основном в Восточно-Сихотэалинской зоне и в отдельных тектонических блоках в Вяземской зоне. Вулканогенные толщи альба приурочены к Альчанской зоне, где они выделены в альчансую свиту.

В Восточно-Сихотэалинской зоне в бас. рек Б. Уссурка, Арму, Пещерная (Е. Д. Касьян и др., 1967) распространены песчаники, ритмично переслаивающиеся с алевропесчаниками и алевролитами. Ориентированная мощность 1200 м. Такой же состав толщи установлен и в бас. рек Таежная. Западная Кема, где, по данным В. К. Мостового и др. (1984), толща залегает согласно на альтинских отложениях и в ее составе появляются редкие линзы туфов альтинитов и битуминозных известняков (0,5 м). Мощность толщи определяется в 800—900 м.

В бас. рек Валинку и Бикин к альбу отнесена верхнеуктурская подсвита (В. И. Надежкин и др., 1981), сложенная в основном алевролитами и песчаниками. В бас. рек Обильная и Кема мощность определена в пределах 800—1800 м. Более высокие части разреза — средний — верхний альб — В. И. Надежкин и др. (1981) выделяет в лужинскую свиту в бас. рек Березовая, Террасная, М. Светловодная и Валинку (верховье). Предполагается, что свита местами залегает с размывом на подстилающих альбских (нижнеальбских) отложениях, иногда с конгломератами в основании (водораздел рек М. Светловодная — Террасная). Свита представлена внизу песчаниками с прослоями и линзами гравелитов, конгломератов и ракушниками. В средней части преобладают алевролиты с редкими прослоями песчаников, туфов порфиритов и пелитовых туфов, а в верхней — алевролиты (преобладают), переслаивающиеся с песчаниками. Мощность свиты, вычищенная путем графических построений — от 2800 до 4500 м. Мощности, повидимому, завышены из-за недостаточной изученности внутренней структуры толщи. По находкам остатков ископаемой фауны возраст толщи определяется в пределах среднего — позднего альба.

На севере территории в бас. рек Суклай, Я (В. А. Дымович и др., 1985) толща сложена в основном песчаниками, в меньшем количестве присутствуют алевролиты, гравелиты, седиментационные брекции и конгломераты. Встречаются пачки (до 60 м) переслаивающихся алевролитов и песчаников. В бас. р. Я мощность тел конгломератов и седиментационных брекций достигает 100 м и более при протяженности до 3 км. Здесь же присутствуют локально развитые пачки базальтов и их туфов. Мощность отложений в бас. р. Суклай 850 м, а в бас. р. Я за счет вулканогенных пород мощность увеличивается до 1200 м.

Альбский возраст отложений принимается на основании многочисленных находок тригоналии, аммонитов и др. и растительных остатков. В некоторых разрезах отложений по фауне определяется в интервале поздний альб — ранний альб.

Альчанская свита (Kal^c), выделенная Б. Я. Чернышом в 1969 г., распространена в бас. рек Альчан, Заломая, Тахало, Магай. Представлена туфами, итнимбритами дацитового и риодиатового состава, дацитами, реже андезитами и их туфами. В нижней части разреза присутствуют прослой и линзы туфопесчаников, туфа-алевролитов, туффицитов и туфоалевролитов, переслаивающиеся с туфопесчаниками и туфами. Условно к альчанской свите В. И. Аноянин и др. (1983) относит пачку туффицитов с пластами бурых углей (1—1,5 м), вскрытых карьером в бас. р. Бикин. По данным В. И. Надежкина (1981), в бас. р. Бикин на подстилающих отложениях свита залегает с угловым несогласием и несогласно перекрывается отложениями нижнего — верхнего мела. Мощность альчанской свиты не менее 1200 м.

Альбский возраст свиты обосновывается находками в истоках р. Матай в низах разреза остатков пелитов и аммонитов, которые, по заключению В. П. Коновалова и Е. А. Калинина, имеют альбский возраст. Находки листовой флоры; по заключению М. М. Кошман и С. А. Шорховой, также подтверждают альбский возраст свиты.

Нижний — верхний отделы

образования петрозуевской и синанчинской свит в Приморской зоне, включающие альбский, сеноманский и туронский ярусы.

В Алчанской зоне *книже мут в речему от дела м* (K_{1-2}) отнесена щедринская серия (Б. А. Кабанов, 1983), залегающая несогласно на алчанской свите. Серия образована переслаивающимися конгломератами, гравелитами, песчаниками, алевролитами и аргиллитами общей мощностью около 1000 м. Обнаруженные в гортали нижней части разреза растительные остатки, по мнению С. И. Неволиной, характерны для альба—сеномана, а в верхней — для сантона—кампана. В Приморской зоне к этому возрасту отнесены петрозуевская и синанчинская свиты и их аналоги общей мощностью свыше 2000 м.

Петрозуевская свита ($K_{1-2/pf}$) (200—800 м) выделена Н. С. Подгорной и Р. И. Соколовым в 1956 г. на соседней с юга территории на водоразделе падей Петрозуевская и Сухая Речка. На описываемой территории она принимает участие в строении инверсионных прогибов в верховьях рек Рудная и Черемуховая. Незначительные по площади выходы известны вблизи пос. Терней. Свита с угловым несогласием залегает на подстилающих образованиях и характеризуется фациальными изменениями. Чаще всего она начинается конгломератами, конгломерато-брекчиями, песчаниками, туфопесчаниками, которые выше смешиваются туфлитами, туфоалевролитами, андезитовыми и дацитовыми туфами, андезитами. Возраст ее определяется по растительным остаткам, обнаруженным В. В. Ветренниковым (1968) и В. И. Рыбалко (1963) к югу от м. Страшный и в бас. р. Черемуховая. Характерной особенностью флоры, по мнению С. И. Неволиной (1970), является наличие большого количества папоротников, широко распространенных в сеноман-туронских отложениях Тихоокеанского побережья. Присутствие корекционнелловых реликтов свидетельствует о возможном начале формирования свиты еще в раннем мелу.

В северной части Приморской зоны с петрозуевской свитой спославляется бурмаговская толща (А. В. Олейников, 1979), обнажающаяся в бас. р. Кабанья. Нижняя часть толщи (250—325 м) состоит из переслаивающихся песчаников, алевролитов, туфлитов и туров андезитов, и лавами андезитов и дацитов с прослоями и линзами туфоконгломератов, туфопесчаников и алевролитов. Суммарная мощность толщи достигает 1000 м. В средней части разреза установлен спорово-пыльцевой комплекс позднеальбского возраста (по заключению В. С. Маркевич).

В бас. р. Самарга с верхней частью петрозуевской свиты коррелируется песчано-алевролитовая сабинская толща (200 м), аналогом нижней части свиты является толща алевролитов, песчаников, реже гравелитов, туфлитов, туров кислого состава (700 м) (Л. Ф. Назаренко, В. А. Бажанов, 1986).

По фацистическим остаткам, определенным С. И. Неволиной, возраст сабинской толщи датируется сеноманом. По данным А. А. Якушиной (геллицподы), М. Н. Грамма (остракоды), Е. К. Трусовым (филлоконхостраки) и И. Д. Сукачевой (домики ручейников), возрастно-интervал формирования толщи, содержащей эти ископаемые остатки, вероятнее всего альб—сеноманский.

Сианчинская свита (K_{1-2-sn}) (400—800 м) слагает линейно вытянутые вулканические зоны, а также отдельные стратовулканы в бас. рек Черемуховая, Серебрянка Заболоченная, Кабанья и Самарга. С петрозуевской свитой имеет постепенные переходы, местами залегает несогласно на более древних образованиях. Ее нижняя граница проводится по массовому появлению в разрезе вулканогенных пород. В бас. р. Самарга, по данным А. В. Олейникова (1984), синанчинская свита и ее аналоги имеют двуслойное строение с преобладанием грубоблочистых лигокристаллитов

кальтических андезитовых туфов, реже андезитов, с линзами и прослоями туфлитов и туфоконгломератов в нижней части разреза и базальтами, андезито-базальтами, андезитами, андезитами и их туфами, реже андезидитами и дацитами — в верхней. Постепенные переходы с отложениями петрозуевской свиты и угловое несогласие с перекрывающимися вулканитами Приморской серии турон-сантонального возраста, дают возможность для отнесения синанчинской свиты к сеноману — турону. Учитывая то, что не всегда синанчинская свита четко отделяется от петрозуевской, в данной работе она отнесена к нижнему — верхнему мелу.

Верхний отдел

Верхнемеловые отложения представлены континентальными вулканогенными, реже осадочно-вулканогенными толщами, образующими в Приморской зоне самую крупную наложенную структуру *Сихотэ-Алиня* — Восточно-Сихотэалинский вулканический пояс (вулканоген) и более мелкие вулкано-тектонические структуры в пределах Восточно- и Центрально-Сихотэалинской зон.

К турону — коньяку — сантону отнесены вулканогенные и осадочно-вулканогенные кислые и умеренно кислые вулканиты большой мощности и высокой эксплозивности, выделенные в Приморскую серию.

Приморская серия (*Крг*) залегает в основании Восточно-Сихотэалинского вулканогена и слагает значительную часть его разреза. В состав серии включены кисинская, аразамовская, монастырская, приморская свиты и кислые вулканиты, ранее относимые к ольгинской серии. Появление огромных масс (более 22 000 км³) кислых продуктов вулканизма не является закономерной сменой предваряющего его малообъемного андезитового вулканогена. Отсутствует и генетическая связь между кислыми вулканитами вулканогена и меловыми андезитовыми толщами складчатого основания.

Образования приморской серии с резким угловым несогласием залегают на более древних отложениях.

В Восточно-Сихотэалинском вулканогене и в других зонах Сихотэ-Алиня фиксируется двуслойное (реже трехслойное) деление Приморской серии. В качестве стратотипа нижней части серии Е. В. Быковской и Н. С. Подгорной в Ольгинском районе в 1959 г. была выделена аразамовская свита (400—800 м), аналог которой прослеживается до бас. р. Самарга. Для свиты характерны: а) пестрый фациальный состав с преимущественным развитием туфов (грубоблочистых вблизи центров извержения); б) заметная роль в разрезе вулканогенно-осадочных пород как кратерного, так и нормально-озерного генезиса; в) изменение состава вулканических продуктов от дацитов (Дальнегорский район) до риодитов и риолитов (Горненский район).

В вулканогенно-осадочных отложениях из нижних частей серии южнее описываемой территории, а также в бас. р. Единка и кд. Сохатый неоднократно собирались различными исследователями остатки ископаемой флоры, известной под названием «партизанской», устанавливающей возраст вмещающих отложений, по мнению В. А. Красильова, С. Н. Неволиной, в пределах турина или турина — коньяка.

Верхняя часть приморской серии (по Е. В. Быковской и Н. С. Подгорной, 1959 — монастырская свита), лежащая согласно на нижней, широко развита в бас. рек Максимовка, Соболевка, Кузнецова, Светловодная, Кема. Она состоит преимущественно из итиморитов и итиморитовых туфов, туфов с матомочистыми прослоями риодитов и дацитов и линзами вулканогенно-осадочных пород. В береговых обрывах к северо-востоку от устья р. Зеркальная в низах разреза обнажаются туфы

от псевдитовых до паммитовых (преобладают) квари-плагиоклазовых риолитов. В средней части преобладают туфлиты, вулканомиктовые песчаники и туфоалевролиты. Верхнюю, большую по мощности часть разреза, слагают итнимбриты квари-ортоклазовых риолитов, образующих, как правило, «пояса больших объемов». Общая мощность толщи 600—800 м, а всей приморской серии на разных участках от 1000 до 2000 м.

Образование приморской серии в Кемском районе, в бас. рек Максимовка и Светловодная и на других участках несогласно перекрыты маастрихтскими вулканическими толщами. В районе бухты Пластина (гора Джигитская), по мнению С. И. Неволиной, указывающие на коницк-санктинский возраст вмещающих отложений. По решению III Регионального стратиграфического совещания [56] приморская серия отнесена к турону—санктину.

Гатаринская свита ($K_{2(t)}$) в Вяземской зоне прослеживается в бас. р. Магай из Нижнего Приамурья, где был выделен ее стратотип (А. Ф. Майдорода, 1961; З. Г. Погатова, 1962). Она представлена туфами дашитов и базокварцевых риолитов (до 700 м). Возраст свиты принят условно на основании стратиграфического положения ее между флювиистически локализованными свитами турон-конинской болбонской и маастрихтской осадочно-вулканогенной маломихайловской.

Ногенные образования от андезибазальтов до риолитов с преимущественным развитием андезитов и дацитов (самаргинская, левоболбовская, сининовская, болотогорская, маломихайловская свиты). На листе эти образования показаны как самаргинская и маломихайловская свиты, характеризующиеся вещественной изменчивостью по простирации.

Самаргинская свита ($K_{2(s)}$) выделена в 1946 г. В. А. Ярмольюком в бас. р. Самарга. Стратотипом свиты является разрез на побережье Японского моря к западу от м. Золотой. В нижнем течении р. Самаргала, в бас. р. Кабань, по данным В. А. Ярмольюка (1946), А. В. Олейникова (1975), Е. В. Быковской (1984), разрез самаргинской свиты начинается агломератовыми туфами смешанного состава с маломощными горизонтами андезитов и их лавобрекций. Выше залегают чередующиеся туфы и туфоглавы андезидиалитового и дацитового составов. Завершается разрез андезитовыми туфами и андезитами. Лахаровые и вулканогенно-осадочные отложения с ископаемыми листовыми спиральками встречаются по всему разрезу. Общая мощность свиты 800—1200 м.

В бас. рек Джильтовка, Пластун и Рудная внизу разреза залегают дацитовые туфы и туфоглавы с пачкой туфлитов и туфопесчаников, а вверху — андезиты, андезидииты и туфы. В бас. пади Болотогорская в разрезе преобладают дацитовые туфы и туфоглавы. Общая мощность 1200—1400 м.

Свита с разрывом и угловым несогласием залегает на отложениях приморской серии (западнее м. Золотой, верховье р. Соболевка, левобережье р. Быстрая и другие участки) и перекрывается риолитами и итнимбритами — датско-палеоценовой болотогорской свиты (северо-восточнее оз. Известник, юго-западнее бух. Пластун и другие участки). Маастрихтский возраст отложений обоснован многочисленными флювиистическими комплексами, по мнению С. И. Неволиной, сходными с основным составом августовской флоры Сахалина, которую В. А. Красилов (1973, 1975) датирует поздним маастрихтом, параллелизуя ее с флорой Хакобучи Японии и флорой нижней свиты Эдмонт Западной Канады. Маломихайловская свита ($K_{2(m)}$) в Вяземской зоне в бас. р. Магай слагает приразломные прогибы и кальдеры проседания. По данным А. Б. Разживина и др. (1960), свиты с первым и структурным несогласием залегают на кислых вулканических свитах и перекрываются датскими кислыми вулканитами тахобинской

свиты. Свита сложена андезитами, андезидиитами, дацитами, их туфами и туфоглавами, туфлитами, вулканомиктовыми и туфовыми песчаниками.

Мощность отложений 300—650 м.

Растительный комплекс, обнаруженный в туффидах левого берега р. Верхний Магай, по мнению Т. Н. Байковской и М. М. Кошман, близок к шаганско-му и сходен с маломихайловским Нижним Приамурьем.

Последний, по мнению В. А. Красилова, характерен для низов днища, а по М. А. Ахметьеву, указывает на маастрихт-датский возраст вмещающих их отложений.

ПАЛЕОГЕНОВАЯ СИСТЕМА

Палеогеновые образования представлены вулканогенными и, реже, континентальными осадочными толщами. По возрасту они подразделяются на палеоценовые, эоценовые и олигоценовые. Местами эоценовые и олигоценовые отложения образуют непрерывные разрезы.

Нижний отдел — палеоцен

К датскому ярусу отнесены вулканогенные и туфогененно-осадочные образования, обделенные в болотогорскую свиту и свиту Кандаха.

Болотогорская свита ($P_{1(b)}$) выделена в 1955 г. Е. В. Быковской в бас. р. Зеркальная. Свита широко распространена в Приморской зоне. Она слагает сложные фестонированные кальдеры (Болотогорскую, Шандуцкую, Верхнекемскую, Кюмскую и др.) и крупные грабены. Типа Якутийского, определенные к простирации вулканогена и выходящие за его пределы. Общий состав свит устарев, но разрезы заметно меняются по мере удаления от центров извержения. Соотношение поклонных, экструдивно-субвулканических и субвулканических фаций лавовых и пирокластических потоков; образования пальцев туч, лахаров, кальдерно-озерные и проловиальные отложения.

В стратиграфическом разрезе болотогорской свиты низы слагаются риолитовыми и риолитовыми туфами различной размерности с потоками плагиориолитов и вулканических стекол. Выше следуют витро- и фельзитовые извержения отрицательные структуры. Завершается разрез риолитовыми туфами. Кальдерно-озерные и лахаровые отложения тяготеют к местам извержений как центрального, так и линейного типа. Мощность свиты 200—900 м. Редкие комплексы ископаемых растений, обнаруженные в болотогорской свите в бас. р. Оуни (Гернейский район), в Устиновском карьере (Кавалеровский район), к югу от оз. Известняк (Ольгинский район), указывают, по мнению С. И. Неволиной, на датский возраст вмещающих их отложений.

К тахобинской свите ($P_{1(t)}$) (до 600 м), параллелизумом симметрических отложений с болотогорской, в Вяземской зоне, в бас. р. Магай, залегают туфы, туфоглавы, туфоконгломераты, конгломерально-осадочные отложения маломихайловской свиты с шаганским комплексом флоры.

Свита Кандахе ($P_{1(k)}$) (до 1200 м) в зоне Центрального Сихотэ-Алинского разлома, в бас. р. Хор сложена туфоконгломератами, конгломератами, гравийковыми песчаниками, туфогравийными туфами, бурьми углами. Несколько западнее в составе свиты появляются андезиты и туфы. Характерна приуроченность свиты Кандахе к узким линейным тектоническим блокам.

Средний—верхний отделы — эоцен—олигоцен

Эоцен-олигоценовые образования (P_{2-3}) представлены континентальными осадочными толщами, выплющенными салибезской толщей, выделенной в пределах Восточно-Сихотэ-Алинского вулканического пояса (Приморская зона).

В Светловоднинской и Зеркальинской впадинах толщи образованы песчаниками, конгломератами, алевролитами, бурьми углами. В Зеркальинской впадине они включают туяновскую (500—600 м) и выше лежащую возновскую (100—150 м) свиты, содержащие эоценовые (определение Р. С. Климовой) и эоцен-олигоценовые (определение Р. С. Климовой) комплексы ископаемых растений. Р. С. Климова допускает более длительный временной интервал формирования возновской свиты вплоть до начала миоцена.

В Средне- и Верхнебикинской впадинах отложения представлены конгломератами, песчаниками, алевролитами и аргиллитами с пластами бурых углей. Мощность угольных пластов до 6 м. Внизу разреза mestами наблюдается переслаивание мелко- и среднегалечниковых и валунных конгломератов. Галька и валуны (1,5 см—0,8 м) представлены песчаниками, алевролитами, диоритами. Мощность отложений в Верхнебикинской впадине (по В. И. Надежкину, 1978) — 1200 м, в Среднебикинской — до 900 м. Угленосные отложения в Среднебикинской впадине залегают на крае выветривания палеозойских пород мощностью до 27 м (В. И. Надежкин, 1981).

Комплекс растительных остатков, обнаруженный в этих толщах, по заключению А. Н. Криштобовича, Р. С. Климовой, М. О. Борсук, определяет возраст отложений как эоцен—олигоцен.

Салибезская толща (P_{2-3s}) в Приморской зоне выделена В. И. Рыбалко, Р. С. Климовой в 1980 г. в Соболевско-Светловоднинской и Максимовской вулкано-тектонических депрессиях. Представлена толща базальтами, андезибазальтами, редко их туфами, среди которых присутствуют прослои и линзы конгломератов, песчаников, алевролитов, аргиллитов, лингнитов, галечников. Мощность 150—400 м.

В алевролитах В. Н. Овекинским собраны остатки ископаемой флоры, которая, по мнению Р. С. Климовой, близка к флоре свиты Искученбайской серии Исики и свиты Харутори серии Урахоро о-ва Хоккайдо (Тапаи, 1970) и флоре нижнедуйской свиты о-ва Сахалин (М. О. Борсук, 1956). Наиболее вероятным возрастом вмещающих отложений может быть поздний эоцен—ранний олигоцен.

В южной части Приморской зоны в Зеркальинской депрессии аналогом салибезской толщи является Суворовская свита (P_{2-3sv}). По данным скважин (Л. М. Руднянский, 1950—1952), в строении свиты выявляется пять ритмов мощностью от 16 до 70 м. Первый, третий и пятый (снизу) представлены в основном лавами базальтов и андезибазальтов, а второй и четвертый — туффирами и туфами андезитов и андезит-дацитов. Мощность свиты 180—200 м. Спорово-пыльцевой комплекс из туфоалевролитов, по мнению М. А. Седовой, характерен для эоцена. Аналогом салибезской толщи в бас. р. Хор является Кузнецова свита (N_{kz}) и андезитов и андезибазальтов (300 м).

Верхний отдел — олигоцен

Борисовская свита (P_{3br}) в пределах Приморской зоны

выделена Е. В. Быковской (1960) в бас. р. Зеркальная. Как правило, свита слагает отдельные вулкано-тектонические структуры — Якутию, Брусиловскую, Соболевскую-Светловоднинскую и др. В состав свиты входят

дайки, трахидаиты, риолиты, обсидианы, перлиты, туфы, туффиты, линниты. Мощность свиты 200—400 м. Свита залегает с перекрытием на салибезских базальтах. На юге территории верхний возрастной предел не установлен, на севере она перекрыта миоценовыми андезитами.

ПАЛЕОГЕНОВАЯ — НЕОГЕНОВАЯ СИСТЕМЫ

К олигоцену — миоцену ($P_3—N_1$) отнесены осадочные отложения, приуроченные в основном к впадинам.

В Вяземской зоне эти образования выделены А. А. Козловым и др. (1972) в чечнореченскую свиту. Они выполняют отдельные (Гольдинский, Кутузовский и Оборицкий) прогибы в пределах Среднеамурской впадины. Свита перекрыта миоценовыми и четвертичными образованиями общей мощностью от 40 до 200 м и обнажается фрагментарно в бас. р. Дарека. Строение изучено по скважинам. В центральных частях прогибов разрез сложен в основном глинами, переслаивающимися со слабосцепленными песчаниками и алевролитами. Местами в средней и нижней частях разреза присутствуют прослои известняков. Верхняя часть свиты содержит многочисленные маломощные прослои углистых глин и пласти буровых углей мощностью 0,3—2 м, в редких случаях до 20—30 м. К периферии прогибов возрастает роль грубобобломочных пород, появляются брекции, конгломераты, гравелиты. Общая мощность отложений в Гольдинском приблизительно 1600—2000 м, в Оборском — 500—700 м, в Кутузовском — 300—700 м.

Для средних частей разреза характерны олигоценовые спирально-пильцевые комплексы, для верхних — олигоцен-миоценовые и миоценовые (определенные В. Ф. Морозовой и П. Н. Соколовой). В скважинах обнаружены единичные остатки пресноводных моллюсков, по определению Г. Г. Мартинсона, характерные для олигоцена и миоцена.

Олигоцен-миоценовые отложения в Приморской зоне известны на лебовережье р. Максимовка (Максимовская свита) и на побережье Японского моря к северо-востоку от устья р. Самарка. Они представлены песчаниками, алевролитами, глинами, опоками, галечниками, бурьими углами (200—450 м). В оторном разрезе свиты в долине р. Максимовка Р. С. Климовой определен олигоцен-миоценовый комплекс ископаемых растений.

НЕОГЕНОВАЯ СИСТЕМА

Нижний отдел — миоцен

Миоценовые отложения, представленные кизинской свитой, наиболее широко развиты в северной части Приморской зоны. Они слагают базальтовые плато в верховьях рек Бикин, Кузнецова, Единка и в междуречье Самарга—Ботчи.

Кизинская свита (N_{kz}) в верховье р. Кузнецова пепосредственно слагает на андезибазальтовых туфах зонена — олигена и риолиты, опоки, глины, пески, галечники (от 150 до 500 м). По ископаемым растительным остаткам (определения Р. С. Климовой), собранным в бас. р. Амгу, и палинологическим данным свита отнесена к миоцену.

Верхний отдел — плиоцен

Плиоценовые отложения развиты преимущественно в Вяземской зоне, где они выделены в суйфунскую свиту.

Суйфунская свита (N_2-Q_1sf), залегающая с размывом на всех более древних образованиях, сложена аллювиальными галечниками, гравийниками и уплотненными песками с линзами глин. Мощность свиты до 160 м. На соседней территории в ней обнаружены спорово-пыльевые комплексы и диатомы плиоцена [22].

НЕОГЕНОВАЯ — ЧЕТВЕРТИЧНАЯ СИСТЕМЫ

Плиоцен — нижнечетвертичное звено

(Вяземская и Стрельниковская зоны) свиты.

Шуфанская свита (N_2-Q_1sf) образована потоками оливиновых и оливин-гиперстеновых базальтов от 2 до 15 м мощности, разделенных прослоями галечников или дресвино-глинистыми корами выветривания. К базальтовым плато приурочены обширные по площади коры выветривания. Мощность коры выветривания на базальтах в зоне среднегорья Сихотэ-Алиня составляет 1—4 м, а в депрессиях — до 30 м (В. В. Соловьев, 1959; В. С. Коренбаум и др., 1963). Мощность свиты на разных участках меняется от 20 до 300 м. С суйфунской свитой имеет сложные соотношения. Местами базальты перекрывают суйфунскую свиту, местами наблюдается замещение осадочных пород верхней части суйфунской свиты базальтами.

Совгаванская свита (N_2-Q_1sv) распространена в северной части Приморской зоны. Она залегает на всех подстилающих образованиях с размывом, иногда через коры выветривания, достигающих мощности 70 м. Сложенна свита потоками базальтов. Суммарная мощность от 50 до 400 м. В основании свиты под базальтами местами присутствуют выклинивающиеся горизонты и линзы галечников, песков и суглинков.

В песчано-галечниковых отложениях, залегающих под базальтами, в бас. рек Бикин, Зева, Соболевка, Самарга обнаружены спорово-пыльевые и диатомовые комплексы М. А. Ахметьевым (1968), В. А. Исполиновым и Б. Г. Матвеевым (1968), А. В. Олейниковым (1977), М. Д. Болотниковой (1970) и др. к плиоцену.

Верхний возрастной предел шуфанской и совгаванской свит точно не установлен. Можно предполагать, что последние излияния базальтов происходили и в раннечетвертичное время.

ЧЕТВЕРТИЧНАЯ СИСТЕМА

Четвертичные отложения распространены практически повсеместно, за исключением острогрибных отрогов хребта Сихотэ-Алиня и крутосклонных участков речных долин.

Среди различных по возрасту и генезису четвертичных отложений преобладают склоновые образования гравитационного ряда. Их распространение и мощность, изменяющаяся в одном разрезе от нескольких сантиметров до десятков метров, контролируется рельефом и отражает ландшафтно-структурные особенности территории.

Стратиграфия четвертичных отложений Среднего Сихотэ-Алиня, благодаря трудам И. И. Берсенева, Ю. М. Вдовина, Ю. И. Сохина, Б. П. Пода, А. М. Короткого, Л. В. Голубовой, Л. П. Карапуловой и др., разработана достаточно хорошо.

Так, нижнечетвертичные отложения делятся на два горизонта — уссурийский и рудневский. Среднечетвертичные отложения содержат четырех горизонта: ханкайский, шмаковский, сунгачский и вяземский, каждый из которых условно сопоставляется соответственно с межледниковым и ледниковым. Верхнечетвертичные отложения расщеплены на находкинский и черноручинский (отвечающие казанцевскому времени) и лазовский и партизанский (отвечающие стадии зырянского оледенения).

Однако следует подчеркнуть, что перечисленные стадии осадконакопления (главным образом по крупным депрессиям) в результате проведения (главным образом по крупным депрессиям) в результате проведения большого количества палеопалинологических анализов, иногда подтверждены палеоботаническими данными и результатами определения радиологического возраста.

Достаточно устойчивых критериев для осуществления такой дробной стратификации в горных областях, где преобладают склоновые образования, а террасовые комплексы имеют ограниченное распространение, нет.

Метод дальних аномалий, который иногда допускается при крупномасштабной съемке по отношению к четвертичным отложениям, не может быть признан удовлетворительным, так как скудность спорово-пыльевых анализов и разноречивость интерпретации их делают такой подход малоубедительным. Поэтому описание четвертичных отложений в данной записке для всей территории дается с расщеплением их лишь до звена.

Нижнее звено

Отложения нижнего звена представлены аллювиальными, делювиальными, озерными и озерно-аллювиальными образованиями.

Аллювийные отложения (al) образуют аккумулятивный чехол наилболее высоких террас (40—70 м) крупных рек в горной части Сихотэ-Алиня. Представлены они в основном глинами, песками, гравийниками, галечниками с преобладанием грубообломочного материала в верхних частях долин. Мощность отложений до 8 м.

Возраст аллювиальных отложений нижнего звена основывается их гипсометрическим положением, завышением мощностью руслового ритма, по сравнению с современным и наличием выветрелого покрова террас.

Делювийные отложения (dl) выделяются с большой долей устойчивости в связи с тем, что в отдельных случаях устанавливаются фациальное замещение озерными и аллювиальными осадками (погребальным швам высоких террас).

Озерные отложения (11) распространены в Бейчуинской и Канихской депрессиях. Границы их распространения достаточно условны, так как их трудно отделить от перекрывающего делювия.

Озерные отложения обычно представлены глинами, реже суглинками с очень редкими линзами песков. Мощность их колеблется от 2—5 до 20—35 м в центральных частях депрессий.

Озеро-аллювийные отложения (1al) занимают незначительные участки на западе территории в основном в междуречьях Пашино—Полхоренок—Гольда, в бассейнах рек Обор, Б. и М. Сидими, по правобережью р. Кия. Представлены они монтморилонитовыми и бейделлитовыми с гидрослюдой глинами, иногда встречаются маломощные прослои и линзы песков. Для отложений характерна как горизонтальная, так и косая слоистость. Озерно-аллювиальные отложения иногда залегают с размывом на базальтах совгаванской свиты. Мощность отложений до 20 м.

По заключению В. Ф. Морозовой и Н. Н. Соколовой произошло

ливших спорово-пыльцевой анализ по керну скважин, в нижней части толши редко преобладает пыльца древесных пород: сосны, ели, пихты, лиственницы и др. с примесью пыльцы неогеновых форм — пуги, бука. В верхней части разреза палинологический комплекс значительно беднее и указывает на замстное похолодание, которое связывается с концом ранне-четвертичного времени.

Нижнее — среднее звено

Нерасчлененные нижне-среднеплейстоценовые алювиальные отложения (ал-II) выделяются на участках, где их расщепление затруднено сходством литологического состава и стабильной геоморфологической выраженностью террас. Преобладание галечникового и песчано-галечникового материала обусловило плохую сохранность спор и пыльцы, поэтому нет возможности их более дробного стратиграфического расчленения. Мощность отложений 10—15 м.

Среднее звено

Отложения этого звена представлены осадками аллювиального, озерно-аллювиального и морского происхождения, а также покровными дельтовидно-проливиальными образованиями.

Алювиальные отложения (алI) слагают третью и вторую надпойменные террасы высотой 15—20 и 8—12 м. Наиболее обширные площади они занимают в Среднебикинской впадине и на небольших участках по долинам наиболее значительных рек (Самарга, Б. Сохатка, Иссимы и др.) и их притоков в западной низкогорной части территории. Они представлены гравийно-галечным материалом с прослойями суглинков, супесей и глин. Мощность отложений в среднегорье Сихотэ-Алиня составляет 5—15 м. Возраст обосновывается детальным палинологическим изучением разрезов скважин по сопредельным депрессиям в предгорьях Сихотэ-Алиня.

Делювиальные отложения (длII) приуочены преимущественно к склонам средней крутизны и нередко перекрыты покровными суглинками позднечетвертичного возраста. Представлены шебнистым обломочным материалом с суглинками и супесчаным заполнителем. Мощность до 6 м.

Морские отложения (млII) представлены песчано-галечниковым материалом третьей и второй морской террас высотой 20—25 и 5—10 м, а также незначительно распространены в приусьевых частях рек, впадающих в море (р. Зеркальная).

Образования третьей морской террасы у пос. Русский (по А. Б. Разкибину) представлены песками, содержащими гравий и гальку размером 3—5 см в поперечнике. Мощность отложений 1—1,5 см. Отложения второй морской террасы выделяются на побережье бухты Удобная.

Озеро-аллювиальные отложения (алIII) характеризуются ясно выраженным двучленным строением. Вверху повсеместно распространены глины и суглинки, которые на глубинах 5—15 м подстилаются песком с прослойями и линзами супеси и галечника. Нижний горизонт слагают галечники с песчано-гравийным заполнителем с прослойми (0,5—2 м) мелкозернистых песков и линзами глин мощностью 6—13 м. Мощность озерно-аллювиальных отложений составляет 25—30 м.

Отложения верхнего звена на площади представлены осадками аллювиального, озерно-аллювиального, дельтовидного и ледникового генезиса, в меньшей степени покровными, проливиальными и проливально-дельтовидными комплексами.

Алювиальные отложения (алIII) распространены в долинах крупных и малых рек, где они образуют аккумулятивный чехол первой и второй надпойменной террасы высотой от 2—6 до 8—15 м. Представлены галечниками, песками, глинами, суглинками мощностью от 0,5 до 12 м. Для них общична резкая фациальная изменчивость на коротких расстояниях. Спорово-пыльцевые комплексы свидетельствуют о формировании осадков в верхнем плеистоцене.

Пролювиальные отложения (прлIII) имеют значительное распространение при выходе мелких притоков в крупные долины бас. рек Амур, Углегорская, Кема и др. Они перекрывают аллювиальные отложения надпойменных террас, а иногда слагают днища низкотопковых долин. Представлены преимущественно грубообломочными плоскоокатанными отложениями (реже глыбами) в плотном глинистом песке или суглиннистом цементе.

Делювиальные образований (длIII) представлены шебнисто-глыбовыми и шебнисто-суглинистыми отложениями и перекрывают средний комплекс террас.

Ледниковые образования (ллIII) имеют крайне ограниченное распространение и выделены лишь в истоках рек Кафа и Чангли. Дзава на абсолютных отметках 1500 м. Их формирование связано с горным оледенением. Выражены они долинами и боковыми моренами, состоящими из глыб с подчиненным количеством супеси и шебня. Обломочный материала представлен преимущественно гранитоидами, реже встречаются роговики по алевролитам и песчаникам. Сортировка материала плохая. Мощность отложений 10—15 м.

Палинологические данные о возрасте ледниковых отложений отсутствуют. Считается, что горные оледенения имели место в средне- и позднечетвертичное время. Учитывая хорошую сохранность форм, возраст отложений принимается позднечетвертичным.

Морские отложения (млIII) прослеживаются на отдельных участках Японского моря, где слагают 6—8-метровую террасу (севернее устья р. Ботчи). Представлены песками, валунниками, галечниками. Сюда же отнесены галечники первой морской террасы высотой 2—4 м на побережье бух. Джигит. Мощность отложений до 12 м.

Позднечетвертичный возраст, помимо геоморфологического положения террас, подтверждается и данными палинологического анализа, проведенного В. Ф. Гапоновой.

Озеро-аллювиальные отложения (алIII) развиты на междуречье Капитоновка—Подхоренок—Хор. Представлены двумя литологически разными горизонтами, верхний из которых существенно глинистый с отдельными прослойями слюдистых и песчанистых глин. Мощность глин (до 8 м) к северо-востоку уменьшается, а вблизи долины Р. Хор глины выклиниваются, замещаясь галечниками.

Делювиально-пролювиальные отложения (прлIII) развиты по долине р. Самарга, в приусьевой части ручьев Болотный и Б. Куниса наблюдается террасовидный уступ с высотой бровки 8—10 м. Поверхность ровная с равномерным уклоном в сторону русла р. Самарга под углом 5—10°. Конус выноса сложен слабоуплотненными бурыми суглинками со шебнем. В отдельных участках установлены конусы выноса ручьев со значительным уклоном продольного профиля. Возраст отложений устанавливается на основании находки фрагмента

Верхнее звено

зуба мамонта *Mammuthus primigenius* (Вицт.), обнаруженного в отложениях конуса выноса небольшого левобережья растительности. П. В. Алексеева определила находку как «верхнекоренное правый зуб взрослой особи», обитавшей на территории Евразии с конца среднего плейстоцена.

Верхнее — современное звенья нерасщепленные

Для значительной части территории расщепление отложений различных генетических типов верхнего и современного звеньев затруднено и поэтому они описываются как нерасщепленные.

К о л л о в и а л ь н ы е о б р а з о в а н и я (сIII—IV) представлены в основном шебнем и гальбами. На резко расщепленных участках развиты слабозакрепленные глыбовые осипы. Мощность склоновых образований в среднем составляет 2 м, на крутых склонах уменьшается, а у основания склонов достигает 3—4 м.

А л л ю в и а л ь н ы е о т л о ж е н и я (алIII—IV) в основном слагают первую надпойменную террасу в северо-западной равнинной части территории. Верхние части разрезов сложены переслаивающимися супесими, суглинками, мелко- и средне-крупнозернистыми песками пойменной фации, а нижние — галечниками, гравием, средне-крупнозернистыми песками, редко супесями. Характерны линзовидное и карманообразное залегание различных групп пород, и косая слоистость. Мощность аллювия иногда достигает 15 м. Возраст его определяется геоморфологической приуроченностью к первой надпойменной террасе. В спорово-пыльцевых спектрах из верхних горизонтов аллювия присутствует пыльца, очень близкая к современной.

Д е л ю в и а л ь н ы е о б р а з о в а н и я (дIII—IV) распространены на участках пологих слаборасчлененных склонов гор. На уступах, разделяющих разновысотные поверхности, повсеместно наблюдаются небольшие по площади делювиальные шлейфы. В составе отложений преобладают суглинки. Мощность — 6 м, местами до 10 м.

Э л ю в и а л ь н ы е о б р а з о в а н и я (элIII—IV) покрывают плоские водоразделы и склоны на значительной части территории. Представлены они в основном шебнем, супесью и суглинком. Гранулометрический состав образован во многом зависит от субстрата, на котором они развиты. В поле развития андезитов Кузнецкой свиты они представлены шебнисто-глинистым материалом. Суглинистый делювий развит на гранитоидах Ороченского массива. В пределах ороговиковых пород возрастает роль шебня. Мощность описанных образований достигает 1,5—3 м. Кроме того, с элювиально-делювиальными образованиями в пределах Обдорского и Малосидиминского интрузивных массивов связаны коры выветривания начальной стадии развития мощностью до 5 м. Они представлены дресванистыми образованиями, сохранившими текстуру материнских пород.

О г л о ж е н и я д е л ю в и а л ь н ы х ш л е й ф о в (оглIII—IV), представлены в бассейнах рек Кадимы, Соболевка, Сортролитка и широко распространены в умеренно крутых горных склонов. И окатанность обломочного материала пологие и зависят от дальности транспортировки и состава разрушаемых пород. Мощность отложений составляет 4,5—5 м (р. Ко), в предгорных впадинах больше 10 м (истоки р. Кадими).

Д е л ю в и а л ь н ы е о б р а з о в а н и я (длIII—IV) распространены в пределах умеренно крутых горных склонов. Они представлены шебнем со значительной примесью мелкозема. Формирование покрова делювиально-коллювиальных отложений, по мнению

большинства исследователей, началось в связи с усилившимся процессом выветривания в период максимального походления на Дальнем Востоке в конце позднечетвертичного времени и продолжается до настоящего времени.

Современное звено

Голоценовые отложения включают колловиальные, аллювиальные, пролювиальные, золовые, биогенные, морские, озерно-болотные, аллювиально-пролювиальные и аллювиально-морские разности.

К о л л о в и а л ь н ы е о т л о ж е н и я (колIV) слагают небольшие участки на вершинах и склонах гор крутизной 30° и более (в основном верхние части крутих склонов). Они представляют собой беспорядочно нагроможденные глыбы и шебни незакрепленных и полузакрепленных каменных областей.

А л л ю в и а л ь н ы е о т л о ж е н и я (алIV) представлены русловыми и пойменными фациями в большинстве рек Сихотэ-Алиня. В верхней части горных долин преобладают однородные галечниковые и валунно-галечниковые отложения. В средней и нижней частях — грубоблломочные отложения, супеси и пески с гравием, галькой, валунами — в основании разреза. Мощность аллювия увеличивается от верховьев к низовым рек от 1—3 до 12 м, а в отдельных случаях до 23 м (по данным сказки в устье р. Нельма). Возраст аллювия охарактеризован многочисленными спорово-пыльцевыми спектрами, указывающими на состав растительности, не отличающейся от современной флоры Приморья.

П р о л ю в и а л ь н ы е о т л о ж е н и я (прIV), слагающие конусы выноса, распространены повсеместно. Они сложены валуно-галечно-песчаными породами со слабой сортировкой материала мощностью до 10 м. Формируются они временным русловыми потоками.

Э о л о в и ю н ы е о б р а з о в а н и я (элIV) распространены на морском побережье в нижних частях долин рек Джигитова, Серебрянка, Зеркальная. В ряде случаев (буухты Джигит, Терней, Самарга) их образование обусловлено деятельности человека: уничтожение растительности и начинается ветровая эрозия морских валов, террас, свободный перенос песков ветром на значительные расстояния в глубь материала на 3—5 км. Эоловые отложения представлены мелко-среднезернистыми песками, слагающими невысокие (3—4 м) дюны.

Б и о г е н и ч е с к и е о б р а з о в а н и я (биIV) занимают незначительные площади в основном в устьевых участках рек Желтая, Кема, Тохника, а также на поверхности пойм и террас и на платообразах совтаванской свиты. Они представлены торфами и заторфованными илами. Мощность достигает 2 м и более.

С о в р е м е н н ы е м о р с к и е о б р а з о в а н и я (мIV), протягивающиеся узкой прерывистой полосой вдоль берега Японского моря, слагают морские террасы различных уровней, береговые валы, пляжи и косы шириной 2—10 м. Пляжи вдоль подножия береговых обрывов сложены валунами и гальбой. Пляжи, пристающие к бухтам Терней, Улбона, Голубичная, Дживи и др., состоят из песков, содержащих гравий и мелкую гальку. Из пляжных песков бухты Джигит, отобранных В. В. Бетренниковым, М. А. Головицким определила пыльцу спорово-пильцевого комплекса, характеризующего современный возраст отложений.

О з е р н о - б о л о т н ы е о т л о ж е н и я (озIV) встречаются в основном на побережье и на предгорных равнинах западной части исследуемой территории. Они представлены иловатыми суглинками и торфян-

ками мощностью до 1 м, залегающими на озерных иловатых глинах. Мощность достигает нескольких метров.

В устьях рек на морском побережье развиты смешанные алювиальные морские (амв) отложения с хорошо развитой мощной фацией. Формирование этих отложений связано с последовательной голоценовой морской ингрессией, в результате которой устья рек оказались подпружеными и превратились в лиманы.

Отложения нерасщепленные

На большей части территории имеются четвертичные образования, не поддающиеся взаимному расщеплению.

К ним относятся элювиальные, коллювиальные (коллювиальные с выходами коренных пород), солифлюкционные, пролювиальные, дельвиальные и целый ряд смешанных отложений: элювиально-дельвиальные, аллювиально-пролювиальные, аллювиально-коллювиальные, аллювиально-морские, дельвиально-пролювиальные, дельвиально-коллювиальные, дельвиально-солифлюкционные, коллювиальные и солифлюкционные.

Элювия обра зована (e) распространены главным образом на утепленных водоразделах, на поверхностях базальтовых плато неоген-четвертичного возраста и на выровненных поверхностях высоких скульптурных террас. На вулканических плато они обычно образуют глинистую кору выветривания (мощность 2 м), формированную с моментом излияния плагиобазальтов до настоящего времени. Состав элювия зависит от состава материнских пород. Это в основном суглинистый материал со шебнем и древесью, а на поверхностях базальтового плато — красновато-бурые глины и тяжелые суглинки, постепенно переходящие в горизонтальные дробленые материалы. Для участков, сложенных гранитами, характерен суглинок с большим количеством древесины. Коллювии на кольюне (c) наблюдаются на отдельных участках верхних частей крутых склонов гор ($30-40^\circ$). Обычно это незакрепленные каменные осадки, сложенные беспорядочно напроможденными обломками и глыбами с примесью шебня. Мощность до 10—15 м. На отдельных участках коллювий чередуется с выходами коренных дочетвертичных пород (c).

Солифлюкционные обра зования (s) формируются за счет массового смещения щека переклащенного обломочного материала, покрывают очень пологие склоны. Представлены суглинками, включающими дресву и шебень. Мощность образований составляет несколько метров, возрастая в нижней части склона.

Проливные накопления (p) приурочены главным образом к уступовым частям мелких водотоков и образуют в крупных долинах многочисленные конусы выноса шириной 200—250 м. Состав проливных характеризуется преобладанием обломков шебня с суглинком и супесью. Мощность изменяется от 2—5 до 10—20 м в долинах рек Бикин и Зеава.

Дельвияльные отложения (d) распространены повсеместно как в горной части района, так и в предгорьях и внутригорных понижениях. Пояс дельвиального накопления располагается обычно в нижней части пологовогнутых склонов близи речных долин. Наибольшей мощности ($6-8-12$ м) дельвиальные отложения достигают в шовной части древних речных террас (бассейн р. Рудная и др.). Обычно мощность дельвия не превышает 6—7 м. Гранулометрический состав дельвия определяется как крутизной поверхности, в пределах которой происходит накопление материала, так и величинным составом постилающих почв.

рол. Так, на гранитах в бас. р. Волчанка дельвий представлен суглинками, а на роговиках — суглинистым шебнем.

Элювии и алювио-делювиальные отложения (ad) развиты на очень пологих склонах поверхности денудационного выравнивания, где представлены суглинистыми шебнями. На слаборасщепленных склонах вулканических плато развиты существенно мелкозернистые образования (ed). Мощность образований составляет 2—4 м на расщепленных участках и 4,5—13 м — в центральных частях плато.

Алювии и алювио-коллювии отложены (acs) развиты в виде относительно маломощных покровов в верховых горных рек с интенсивным эрозионным врезом. Представлены грубообломочным, обильно слабосокатанным щебнисто-глыбовым материалом.

Алювии и алювио-шебенистые отложены (apr) слагают небольшие конусы выноса в устьях коротких и крутосклонных горных долин. Они сложены слабосортированным щебнем с примесью плохо окатанных галек и валунов.

Алювии и алювио-шебенистые отложены (ad) представляют днища пологосклонных долин в верховьях рек. По простиранию происходит постепенное замещение дельвия аллювием.

Дельвиально-пролювиальные отложения конусов выноса характеризуются отсутствием сортировки и окатанности материала. Гранулометрический состав этих отложений схож с очень неровной поверхностью с образованием впадин. Примером могут служить отвалы глинистого материала с крупными глыбами базальтов размежем от 10 см до первых метров. Мощность этих отложений может составлять несколько десятков метров.

Дельвиально-пролювиальные отложения конусов выноса характеризуются отсутствием сортировки и окатанности материала. Гранулометрический состав этих отложений варьирует в очень широких пределах — от глинистых частиц до крупных глыб.

Дельвио-коллювии отложены (ds) сплошным чехлом покрывают умеренно крутые склоны гор и возвышенностей, в большинстве случаев закрепленные растительностью. Представлены шебнем и глыбами, включенными в глинистый песок, супесь, суглинок. Мощность отложений 2—25 м.

Дельвио-солифлюкционные отложены (ds) приурочены к пологим склонам ($10-12^\circ$) ступенчатых участков водоразделов, сложенных осадочными породами. Главными процессами, формирующими дельвиально-солифлюкционные отложения, являются течением грунта и дельвиальный смыв. В предгорьях Сихотэ-Алиня к категории дельвиально-солифлюкционных образований отнесены бурые пологие суглинки. Встречающиеся в суглинках следы солифлюкционного перемещения говорят о том, что формирование их происходило в перигляциальной обстановке этих четвертичных отложений. Дельвиально-солифлюкционные отложения представлены суглинками и супесями, включающими дресву, шебень и мелкие глины. Мощность отложений до 10 м.

Коллювии и солифлюкционные отложены (n) распространены на территории ограниченно, представлены шебнисто-суглинистым материалом с отдельными глыбами и приурочены в основном к склонам платообразных возвышенностей.

в плане эллиптическая. По геофизическим данным предполагается, что мелкие выходы ультрабазитов левобережья р. Перевальная являются апофизами единого plutona. Интрузии прорывают и слабо метаморфизуют пермские отложения сечуарской и ариадинской свит, а галька серпентинитов в районе пос. Олон найдена в ниорийских конгломератах.

Большинство массивов сложено серпентинитами по гарноконгломератам (преобладают) и дунитам, среди которых иногда полосами и небольшими неправильными зонами располагаются диаллагиты, лернолиты и верлиты.

Вероятнее всего, диаллагиты, лернолиты и верлиты это метасоматически переработанные под влиянием габброидов породы ряда гарноконгломератов — дунита, так как встречаются они в ультрабазитовых массивах, прорваных габбро (юго-восточная часть Олонского массива, бас. р. Заломная).

Серпентиниты сложены лиазардитом, антиортитом, хризотилом и имеют разнообразные волокнистые, петельчатые и пластинчатые структуры. Нередкоbastиты, пегматиты, дуниты, присутствует равномерно рассеянная вкрапленность хромита, магнетита, сульфида, шпинели. Неполностью серпентинизированные гарноконгломераты и дуниты встречаются редко. Лернолиты и верлиты образуют полную гамму пород от гарноконгломерата до верлиты с самыми разнообразными содержаниями моноклинного (преобладает) и ромбического приокситов и оливина. Приокситы представлены диаллагитами.

С позднепалеозойскими (?) ультраоснововыми интрузиями связаны проявления никеля.

Амфиболизированные габбро, габбро-диабазы, кварцевые диориты, кварцевые диориты, магматогенные брекчи (Центрально-Сихотэалинская зона); 2) южные субвуликанические диабазы (Стрельниковская и Центрально-Сихотэалинская зона); 3) раннемеловые апопарагибургиты, аподуниты, серпентиниты, верлиты, габбро, габбро-нориты, габбро-диориты, габбро-диабазы, габбро-пироксениты, вебстериты, граниты, биотитовые, биотит-мусковитовые, кордиеритсодержащие, гранито-биотитовые, субвуликанические базы (Вяземская, Стрельниковская и Центрально-Сихотэалинская зона); 4) позднемеловые габбро, габбро-диориты, габбро-монцониты, монцониты, монцодиориты, диоритовые порфириты, гранодиориты, монцогранодиориты, гранодиорит-порфириты, граниты амфибол-биотитовые, биотитовые, лейкократовые, аляскитовые, шелочные, гранит-порфириты; граносиениты; субвуликанические андезиты, андезибазальты, риолиты, риолиты, дациты, дациты, кварцевые диориты (Прибрежная, Приморская, Центрально-Восточно-Сихотэалинская зона); 5) позднепалеогеновые кварцевые габбро, диориты, кварцевые гранит-порфириты (Приморская зона); 6) палеогеновые субвуликанические риолиты, дациты, дациты, андезидациты, гранит-порфириты (Восточно-Сихотэалинская и Приморская зоны); 7) позднепалеогеновые — раннечетвертичные субвуликанические базальты, андезибазальты, андезиты (все зоны, кроме Вяземской). Среди выделенных возрастных групп преобладают позднemеловые образования.

ИНТРУЗИВНЫЕ ОБРАЗОВАНИЯ

Интрузивные и субвуликанические образования расположаются на территории неравномерно, занимая в восточной части региона иногда до 30—40 % площади, во многом определяя характер отдельных структурно-формационных зон и их насыщенность полезными ископаемыми. Интрузии обычно группируются в широкие протяженные пояса и цепочки, вытянутые в северо-восточном направлении, часто приуроченные к зонам разломов и повышенной трещиноватости. По возрасту среди них выделены:

- 1) позднепалеозойские (?) серпентиниты, перидотиты, дуниты, приокситы, амфиболизированные габбро, габбро-диабазы, кварцевые диориты, магматогенные брекчи (Центрально-Сихотэалинская зона); 2) южные субвуликанические диабазы (Стрельниковская и Центрально-Сихотэалинская зона); 3) раннемеловые апопарагибургиты, аподуниты, серпентиниты, верлиты, габбро, габбро-нориты, габбро-диориты, габбро-диабазы, габбро-пироксениты, вебстериты, граниты, биотитовые, биотит-мусковитовые, кордиеритсодержащие, гранито-биотитовые, субвуликанические базы (Вяземская, Стрельниковская и Центрально-Сихотэалинская зона); 4) позднemеловые габбро, габбро-диориты, габбро-монцониты, монцониты, монцодиориты, диоритовые порфириты, гранодиориты, монцогранодиориты, гранодиорит-порфириты, граниты амфибол-биотитовые, биотитовые, лейкократовые, аляскитовые, шелочные, гранит-порфириты; граносиениты; субвуликанические андезиты, андезибазальты, риолиты, риолиты, дациты, дациты, кварцевые диориты (Прибрежная, Приморская, Центрально-Восточно-Сихотэалинская зона); 5) позднепалеогеновые кварцевые габбро, диориты, кварцевые гранит-порфириты (Приморская зона); 6) палеогеновые субвуликанические риолиты, дациты, дациты, андезидациты, гранит-порфириты (Восточно-Сихотэалинская и Приморская зоны); 7) позднепалеогеновые — раннечетвертичные субвуликанические базальты, андезибазальты, андезиты (все зоны, кроме Вяземской). Среди выделенных возрастных групп преобладают позднemеловые образования.

Позднепалеозойские (?) интрузии

Позднепалеозойские (?) интрузии присутствуют только в Центрально-Сихотэалинской зоне и условно могут быть разделены на две, видимо, разновозрастные группы: 1) серпентиниты, перидотиты, дуниты, приокситы, магматогенные брекчи, 2) амфиболизированные габбро, габбро-диабазы, кварцевые диориты, магматогенные брекчи.

Серпентиниты и перидотиты, дуниты, приокситы слагают небольшие (до 10 км²) массивы и лайкобразные тела в бас. рек Заломная, Кленовка, Быстрая, Голубица, на левобережье рек Средняя и Перевальная. Форма тел — шток- и пластиобрзаная,

большинство массивов сложено амфиболитовыми габбро. В Олонском массиве, кроме того, присутствуют амфибол-гипертеневые габбро, изменившие кварцевые диориты, андезиты, а в Кафэнском и других небольших массивах — габбро-диабазы и магматогенные брекчи. Последние приурочены обычно к краевым частям массивов или слагают дайкодободные тела, залегающие как в габброидах, так и во вмешающих породах.

Мощность таких тел колеблется от первых метров до 10—20 м и более, границы с вмешающими породами резкие и постепенные. Цемент брекций по составу близок к амфиболиту, а обломки представлены габброидами, известниками, кварцитами и другими породами (В. И. Андёйкин, 1983).

Каких-либо закономерностей в размещении отдельных разностей этой

Сихотэалинской зоны и условно могут быть разделены на две, видимо, разновозрастные группы: 1) серпентиниты, перидотиты, дуниты, приокситы, магматогенные брекчи, 2) амфиболизированные габбро, габбро-диабазы, кварцевые диориты, магматогенные брекчи.

Серпентиниты и перидотиты, дуниты, приокситы слагают небольшие (до 10 км²) массивы и лайкобразные тела в бас. рек Заломная, Кленовка, Быстрая, Голубица, на левобережье рек Средняя и Перевальная. Форма тел — шток- и пластиобрзаная,

группы пород не отмечено, фазовые взаимоотношения между ними достоверно не установлены.

Габбро амфиболизированные — крупно- и среднезернистые породы с блестогаббровой катаклазической структурой, массивной и гнейсовидной текстурами. Минеральный состав: амфибол (сине-зеленая роговая обманка) — 40—60 %, плагиоклаз № 40—50 (30—50 %), альбит 5—8 %, а также сфен, лейкосен, хлорит, ильменит, магнетит, апатит (суммарно 2—5 %). В незначительных количествах присутствуют оливин и авгит, зашлаковый уралитовой роговой обманкой.

Гипертеновые габбро обладают призматической зернистой структурой. Сложенены равным количеством гиперстена и плагиоклаза. Присутствуют зеленая роговая обманка и актинолит, замещающий гиперстен. Аксессорные: апатит и магнетит.

Габбро-диабазы амфиболизированные отличаются от габбро мелкозернистым и более однородным строением. Состоят из плагиоклаза (60—70 %) и актинолита, хлорита, эпилита и цоизита. Кварцевые диориты из-за вторичных изменений трудно отличить от габбро и устанавливаются только по химическому составу. Содержат сильно сернистизированый плагиоклаз (60—70 %), роговую обманку (25—30 %), кварц (5—10 %); последний присутствует и как вторичный, образуя микрографобластовые выделения.

Юрские субвулканические образования

Юрские субвулканические диабазы, диабазо-вие порфириты, метапорфиты, тахилиты, габбро-диказы (βJ) выделены в северных частях Центрально-Сихотэалинского и Стрельниковской зон, где они связаны с вулканитами основного состава, входящими в состав красногорецкой и джарусской свит. Они слагают ряд небольших, с извилистыми очертаниями и даек, большинство которых вытянуто в северо-восточном и меридиональном направлении и имеют крутые, близкие к вертикальным контакты с вмещающими породами.

Раннемеловые интрузии

Хунгарийский комплекс. Интрузии комплекса выделены в Вяземской, Стрельниковской и Центрально-Сихотэалинской зонах и по составу и возрасту разделяются на три фазы: 1) апогабрибургиты, аподуниты, серпентиниты, верлиты; 2) габбро, габбро-нориты, габбро-диориты, габбро-диабазы, габбро-пироксениты, вебстериты; 3) граниты биотитовые и биотит-мусковитовые кордимеритолеркации, гранодiorиты биотитовые. Некоторые исследователи (Э. П. Изюх и др., 1967, 1973) относят эти образования к трем близким по возрасту интрузивным комплексам, образующим единую серию гипербазит-габбро-гранитного состава.

Апогабрибургиты, аподуниты, серпентиниты, верлиты, габбро-нориты, габбро-диориты, габбро-диабазы, габбро-пироксениты, вебстериты, габбро-кордимериты, габбро-диориты, габбро-диабазы, габбро-пироксениты (vK_1) тесно связаны друг с другом, слагают небольшие тела в бас. р. Кафе, междууречье Хор—Матай, в верховых Аргонгара и часто приурочены к разломам северо-восточного и близмеридионального простирания. Слагают небольшие изометрические или узкие вытянутые (до 30 км) тела. В наиболее крупных телах отмечено совместное нахождение ультраосновных и основных пород, причем ультраосновные породы обычно приурочены к центральным частям массивов, а основные разновидности — к периферийским. В Верхнекафенском и ряде других массивов установлено полосчатое чередование дунитов и пироксенитов, пироксенитов и габбро с расплывчатыми и резкими границами

между ними. Помимо полосчатых текстур наблюдаются и пятнистые, обустроенные шлиривидными выделениями габбро в пироксенитах. В юльгансовских породах отмечены небольшие обособления, сложенные кортландитами и оливинитами. Небольшие тела в среднем течении рек Туломи, Скуба, М. Сидими и на левобережье р. Катэн сложены аподунитами или пироксенитами.

Секущий характер контактов между ультрабазитами и габбро описан в смежных районах Северного Сихотэ-Алиня [20, 54], а сложные соотношения между ними, отмеченные выше, связаны, видимо, с метасоматическим преобразованием гипербазитов более молодыми основными породами. С последними связаны дайки пироксенитов, габбро, покрытых и дигабазовых порфиритов в бас. рек. Матай, Кафе, Були, Катэн, Пр. Полхренок. Простирание их северо-восточное и близмеридиональное, углы падения — 20—70°, мощность 5—50 м, протяженность 100—300 м.

К выходам ультрабазитовых и габброидных массивов приурочены локальные положительные магнитные аномалии от 500 до 6000 нТл, по которым устанавливается крутое падение контактов на восток и юго-восток и предполагается зональность по вертикали (В. И. Анохин и др., 1983).

Гипербазитовые и габбровые интрузии прорывают валанжинские отложения и, в свою очередь, интрудированы раннемеловыми гранитоидами третьей фазы. Ультрабазиты имеют обычно тектонические «сорваные» контакты, а в эндоконтактах габбровых интрузий возникают зоны пироксен-плагиоклазовых и других роговиков шириной от нескольких метров до 200 м. Породы часто расщеплены, катаклизированы, амфиболизированы и серпентинизированы.

Апогабрибургиты — породы массивной и полосчатой текстуры, состоящие из серпентинизированного оливин, ромбического пироксена или бастита, хромита и магнетита. Аподуниты встречаются реже и состоят из серпентинизированного оливинита, ряда форстерита, и хромита, магнетита, титаномагнетита. Серпентин в этих породах представлен антигоритом, лизардитом, хризотилом, баститом. По апогабрибургитам и аподунитам развиваются новообразования моноклинного и ромбического пироксенов и амфибала, в результате чего возникают верлиты, лернолиты, присгеймины и кортландиты, для которых характерно присутствие в той или иной степени серпентинизированного оливина или серпентина по нему и долвольно свежие ромбический и моноклинный пироксены, амфибол и рудные минералы.

Габбро — породы средние, реже крупнозернистые с массивной и полосчатой текстурой, аллотриоморфной зернистой структурой, состоящие из моноклинного (50—60 %), реже ромбического (до 5 %) пироксена и соссюритизированного плагиоклаза (40—50 %). В некоторых разновидностях присутствует оливин (до 30 %) и роговая обманка (до 30—40 %). Габбронориты состоят из призматических зерен зонального плагиоклаза (30—60 %), гиперстена (10—20 %), авгита (10—40 %), бурой роговой обманки (8—10 %) и рудных минералов (до 10 %). В троктолитах содержится до 25 % оливина. Из вторичных минералов присутствует серпентин, альбит, карбонат, пренит, хлорит. Для габбро-диоритов характерен более кислый (№ 40—45) плагиоклаз, пониженное (до 10—20 %) содержание пироксенов и повышенное (до 30—40 %) — амфибола. Вторичные минералы: альбит, кальцит, цоизит, пренит, хлорит. Габбронориты имеют характерную орфитовую структуру и состоят из призматического лабрадора, моноклинного и ромбического пироксенов, рудного минерала. Вторичные образования представляют амфиболитом, кальцитом, амфиболом. Габбро-пироксениты — метанократовые породы, состоящие из моноклинного и ромбического пироксенов (75—85 %) плагиоклаза ряда лабрадор-битовитита (15—25 %) и рудного минерала. Вторичные минералы: актинолит, хлорит, цоизит. Вебстериты — темно-серые до черных,

средне-крупнозернистые породы, массивные и полосчатые. Состоят из ромбического (55—60 %) и моноклинного (35—40 %) пироксенов и магнетита (3—5 %).

Граниты биотитовые, биотит-мусковитовые, кордиерит-доломитовые, гранат-биотитовые, гранат-мусковитовые. Граниты биотитовые, гранат-биотитовые, гранат-мусковитовые, кордиерит-доломитовые, гранат-мусковитовые, граниты с зональностью, образуя разрозненные штоки площадью 0,2—12 км², трещинные интрузии дайки в бас. рек Катэн, Магай, Кафэ, Кия, Хор, Долми и др. Часть массивов имеет полифазальное строение с зональностью, образуемой породами двух-трех типов: от лейкогранитов в центре до меланократовых — по периферии. Подхоренковский массив построен в обратной последовательности: в центре — биотитовые меланократовые граниты, редко гранодиориты, а по периферии — биотитовые и двуслюдянные граниты. Переходы между породами постепенные, резко преобладают среднезернистые разности. В количественном отношении среди раннемеловых гранитоидов преобладают мелано- и мезократовые биотитовые и двуслюдянные граниты. Остальные разности — гранодиориты, лейкограниты, гранит-порфиры составляют подчиненные по объему фации, редко образуют лишь полигенные мелкие штоки и дайки. Исключение составляют лишь полигенные Верхне- и Нижнекаэнский массивы, в которых аллюгитовые граниты прорывают ультраосновные и основные породы ранних фаз комплекса.

Для гранитоидов Хунгарийского комплекса характерна структурная однородность массивов, независимо от уровня эрозионного среза. Массивы четко фиксируются на гравиметрических картах пониженными значениями силы тяжести, а на местности — пониженными формами рельефа и усиленной гидросетью из-за слабой эрозионной устойчивости пород, обусловленной содержанием слюд.

Гранитоиды прорывают уктурскую свиту и раннемеловые тела габбро и гипербазитов. В верховьях р. Пр. Подхоренок на метаморфизованные ими породы налегают альб-альбовые отложения, радиогеологический возраст по гранитам и гранодиоритам — 140, 125, 97, 84, а по лейкогранитам — 129, 124, 107 млн лет (В. Ф. Смирнов, 1963; В. И. Аноин и др., 1979, 1983); по другим данным [20, 54], возраст гранитов — 145—110 с максимумом в интервале 130—120 млн лет. Конакты Подхоренковского массива (кроме южного тектонического) пологие (10—15°), что подтверждается широким (2—3, иногда до 5 км) ореолом ороговиковования вокруг массива. В мелких массивах падение контактов более крутое (до 70°) в сторону от массива (Н. Ф. Смирнов, 1963). Вмещающие терригенные породы превращены в кордиерит-биотит-каварцевые и биотит-полевошпат-каварцевые роговики; кремнистые породы перекристаллизованы в кварциты и кварцево-слюдяные сланцы, а ультраосновные — в амфиболиты. Граниты в зоне эндоконтакта грязенизированы на ширину нескольких метров, а также образуют неширокую оторочку, сложенную мелкозернистыми и порфировидными разностями.

Граниты биотитовые — средне-, реже крупно-равномернозернистые породы с гипидиоморфозернистой (при идиоморфизме биотита и плагиоклаза, иногда порфироидной и микролегматитовой) структурами. Состав из кварца (25—35 %), ортоклаза или микроклина (25—40 %), плагиоклаза № 25—35 (30—40 %), биотита (до 10—20 %). Встречаются единичные зерна кордиерита, андалузита, силиманита, граната, циркона, ортита, апатита, турмалина, сферена, анатаза, лейкоксена, шеелита, кассiterита, ксенотима, монацита, рутина и ильменита. Вторичные минералы: серцит, хлорит, эпидот, лейкоксен, альбит, мусковит. Двуслюдянные граниты отличаются от биотитовых наличием первичного мусковита, обычно в сростках с биотитом. Наблюдается вторичный мусковит по биотиту и полевым шпатам, что затрудняет отличие первичного двуслюдянного гранита от грязенизированных разновидностей. Суммарное содержание слюд

3—17 %. Гранодиориты и меланократовые граниты отличаются от более кислых аналогов повышенным содержанием биотита (до 20—30 %), более основным составом плагиоклаза, обычно зонального строения, пре-

обладанием его над калишпатом и пониженным содержанием кварца (20—25 %). Для них также характерно присутствие автометаморфического мусковита, развивающегося по полевым шпатам. Лейкограниты и альбитовые граниты — равномернозернистые с скоплениями мусковита или биотита. Гранит-порфиры состоят из тонкокристаллической кварц-полевошпатовой основной массы порфировых выделений кварца и плагиоклаза размером от 1 до 5 мм, слагающих до 40 % объема породы. Структура основной массы микрогранитовая, фельзитовая.

Дайки представляют диоритовыми порфиритами, гранодиоритами, гранит-аплитами. Преобладающая часть даек удалена от массивов. Наиболее

существуют ортоклаз, олигоклаз, мелкие гнейсобобразные скопления мусковита или биотита. Гранит-порфиры состоят из тонкокристаллической кварц-полевошпатовой основной массы порфировых выделений кварца и плагиоклаза размером от 1 до 5 мм, слагающих до 40 % объема породы. Структура основной массы микрогранитовая, фельзитовая.

Дайки представляют диоритовыми порфиритами, гранодиоритами, гранит-аплитами. Преобладающая часть даек удалена от массивов. Наиболее существоует ортоклаз, олигоклаз, мелкие гнейсобобразные скопления мусковита или биотита. Гранит-порфиры состоят из тонкокристаллической кварц-полевошпатовой основной массы порфировых выделений кварца и плагиоклаза размером от 1 до 5 мм, слагающих до 40 % объема породы. Структура основной массы микрогранитовая, фельзитовая.

Бажним петротипическим признаком всех гранитных пород является сплошная оранжево-красная окраска биотита в шлифах, а при выветривании пород — в образцах. Это позволяет легко диагностировать гранитоиды хунгарийского типа в массивах, даже удаленных друг от друга.

Дайки представляют диоритовыми порфиритами, гранодиоритами, гранит-аплитами. Преобладающая часть даек удалена от массивов. Наиболее существоует ортоклаз, олигоклаз, мелкие гнейсобобразные скопления мусковита или биотита. Гранит-порфиры состоят из тонкокристаллической кварц-полевошпатовой основной массы порфировых выделений кварца и плагиоклаза размером от 1 до 5 мм, слагающих до 40 % объема породы. Структура основной массы микрогранитовая, фельзитовая.

Гранитоиды характеризуются сильной пересыщенностью глиноzemом и постоянным преобладанием калия над натрием. По сравнению со следующим типом гранита в ряде массивов отмечается повышенное содержание титана, железа, марганца и кальция, бедность шелоподами и кремнеземом. Гранитоиды связаны проявлениями вольфрама, олова и золота.

Раннемеловые субвулканические дайбы, дайки, базальты, базальты (βK₁) распространены в Восточно-Сихотэалинской зоне в связи с вулканогенным позднегеосинклинальным образованием. Приурочены они обычно к вулканическим центрам и представлены дайками, небольшими штокогодобными массивами и пластовыми телами. По составу породы относятся к субшелочным разновидностям. Как правило, ороговикованы, интенсивно амфиболизированы и биотитизированы.

Позднемеловые интрузии

Среди позднемеловых интрузий выделено пять интрузивных комплексов, имеющих разный возраст, состав и рудную специализацию. Среди них различаются комплексы начала — нижнеамурский и татибинский, середины — бачелзкий и ольгинский и конца — приморский — позднего мела.* Отнесение отдельных интрузий к конкретному комплексу не всегда безусловно из-за их пространственной совмещенностии и схожести состава.

Нижнеамурский комплекс. Породы комплекса выделены в северной части территории в бас. рек Хор и Суктай, где они образуют вытянутые в северо-восточном направлении тела площадью от 1—50 до 400 км². Крупные тела обычно многофазные с преобладанием в них гранодиоритов или гранитов, более мелкие — чаще однофазные. В составе

* В литературе нередко упоминаются такого же названия серии. Кроме того, в последних публикациях употребляются названия дальнинская (сийин татибинская) и ключевская (бачелзская) серии [33, 50, 51, 52].

комплекса выделяются породы пяты (на карте из-за масштаба показаны только три) интрузивных фаз: 1) габбро, габбро-диориты; 2) диориты, кварцевые диориты; 3) гранодиориты амфибол-биотитовые, гранодиориты-порфирь; 4) граниты амфибол-биотитовые и биотитовые, плагиограниты; 5) лейкограниты субшелочечные, гранит-порфирь. Диориты, плагиограниты, гранодиорит- и гранит-порфирь встречаются лишь как фациальные разновидности, не образуя отдельных тел.

Интузии габбро-диоритов ($\delta\text{dK}_2\text{I}$) известны на водоразделе рек Кабули—Суктай и междууречье Кабули—Самарга, где они прорывают гетерияльбосные отложения и сами прорваны гранодиоритами и гранитами более поздних фаз комплекса. Массивы имеют площадь до 15 km^2 , вытянуты в северо-восточном направлении, имеют крутые контакты и широкие зоны экзоконтактовых изменений, вытягивающиеся в перекристаллизации и биотитизации вмещающих пород. Тела сложены среднезернистыми габбро и габбро-диоритами, переходящими в эндоконтактах в мелкозернистые. В этих зонах часто встречаются ксенолиты роговиков, обособления габбро-пегматитового состава и полосчатость, обусловленная планпараллельным расположением зерен пироксена.

Среднезернистое амфибол-пироксеновое габбро имеет габбро-офитовую структуру. Средний состав: плагиоклаз — 46,4 %, пироксен (авгит) — 42 %, роговая обманка — 8 %, биотит — 1,3 %, оливин — 1,5 %, акцессорные — 0,8 % (магнетит, апатит, сфеен, циркон, пирит). По химизму отличается от аналогичных средних типов пород низкими содержаниями шелочей и титана, высокими — извести. Габбро-диориты отличаются от габбро лишь по химическому составу.

Диориты и кварцевые диориты ($\delta\text{K}_2\text{I}$) биотит-пироксен-роговообманковые средние и мелкозернистые слагают мелкие (от 1 до 5 km^2) тела, прорывающие в бас. рек Кабули и Суктай берриас-валанжинские отложения, а в бас. рек Тагму и Саглы-Джава — гетеривальбес. Интрузируются гранодиоритами и гранитами, имеют вертикальные или круглоуподобные контакты. В экзоконтактовых зонах шириной 300—800 м алевролиты и песчаники содержат вкрапленности сульфидов, обломочный материал перекристаллизован. По цементу развивается хлорит, серидит и карбонат. Центральные части интрузий сложены среднезернистыми кварцевыми диоритами и диоритами, а зоны эндоконтакта шириной 100—200 м — их мелкозернистыми разностями. На контакте с гранитами они окварцированы, альбитизированы и приобретают полосчатую текстуру, иногда содержат тонкие актинолит-альбит-кальцитовые прожилки.

Кварцевые диориты обладают промагматично-зернистой структурой. Средний состав пород: плагиоклаз — 51,6 %, роговая обманка с реликтами приксена — 24,9 %, кварц — 10,7 %, биотит — 9,2 %, калишпат — 2,8 %, акцессорные минералы — 0,8 % (апатит, циркон, турмалин, рутиловые). В диоритах содержание кварца — 0—5 %, пироксена — от 5 до 15 %.

Породы последующих фаз слагают разнотипные по форме и строению массивы. Их общим признаком является количественное преобладание гранодиоритов и гранитов, прием последнее по химизму соответствует, в большинстве своем, меланократовым гранитам, а по минеральным ассоциациям — плагиогранитам и амфелитам.

Гранодиориты и граниты в составе Суктайского, Гранодиориты-порфирь (уб $K_2\text{P}$) входят в состав Суктайского, Цафантайского и других массивов, а также образуют отдельные интрузивы в междууречье Боленку—Тагэму и на правобережье р. Саглы. В составе Суктайского массива гранодиориты слагают локализованные участки суммарной площадью в сотни km^2 , а также пристыковуются в виде ксенолитов в гранитах. Радиологический возраст гранодиоритов (9 определений) — 115—74 млн лет (В. И. Анохин, 1979).

Большинство тел имеют кругопадающие контакты. Ширина зон ороговикования в осадочных породах варьирует от 0,7 до 1,5 км, а в меловых вулканитах не превышает 500 м. В междууречье Боленку—Тагэму ширина поля ороговикования до 3 км, что указывает на пологое падение контакта интрузии. В эндоконтактах образуются пятнистые роговики по алевролитам и кварциты по песчаникам и кремнистым породам. В вулканитах Приморской серии возникают новообразования биотита и сериита.

В эндоконтактах гранодиориты часто содержат небольшие (до 0,6 м)

меланократовые шлировые обособления, по составу соответствующие диориту. В зонах разломов (Суктайский массив) гранодиориты преобразуются в гнейсовидные разновидности (в зоне $16 \times 2 \text{ km}$) с отчетливой порфировидностью, рассланцовываются и катаклизируются.

В крупных массивах гранодиориты обычно имеют среднезернистое сложение. Мелкозернистые разности и гранит-порфирь отмечаются в зоне эндоконтактов или слагают мелкие тела и лайки. Лайки обычно имеют северо-восточное простирание, реже (бас. р. Суктай) — широтное и СЗ. Мощность даек 1—30 м, протяженность — 0,5—3 км.

Гранодиориты — породы с гипидиоморфозернистой структурой и хорошо выраженным идиоморфизмом плагиоклаза и биотита. Средний минеральный состав: кварц (29,2 %), калишпат (20,7 %), плагиоклаз № 27—43 (37,8 %), биотит (11,1 %), роговая обманка (1,4 %), акцессорные — магнетит, ильменит, апатит, циркон, ортит, сфеен, пирит (0,1 %). Отмечаются мицмекитовые и перититовые вrostки, иногда микроклиновая решетка. Гранодиорит-порфирь имеют микрозернистую основную массу с составом, идентичным гранодиоритам. Порфировые выделения размером 8—20 мм, представленные кварцем, плагиоклазом, роговой обманкой, составляют до 50 % объема породы. Гранодиориты относятся к классу пересыщенных кремнеземом, богатых или умеренно богатых шелочными пород, с незначительным преобладанием калия над патрием и высокой глиноzemистостью.

Граниты амфибол-биотитовые и биотитовые, плагиограниты, лейкограниты, гранит-порфирь ($\delta\text{K}_2\text{I}$) слагают самостоятельные тела площадью 60—180 km^2 (бас. рек Сидмы, Цафантай, Кабули, Самарга, междууречье Суктай—Пухи) или входят в состав сложно построенных массивов (Суктайский). Кроме того, известны многочисленные самостоятельные мелкие тела площадью от 1 до 5, иногда до 10—15 км².

Массивы гранитов вытянуты в северо-восточном направлении и контролируются зонами крупных разломов (Суктай-Верхнехорским, Боленку-Пухинским и др.). Мелкие тела имеют изометричную в плане форму.

Интрузии прорывают осадочные и вулканогенные породы от раннепермского до туров-санитонского (Приморская серия) возраста включительно и породы более ранних интрузивных фаз. В свою очередь, они интрузированы позднемеловыми лейкократовыми гранитами и эоценовыми интрузиями (за пределами территории). Радиологический возраст гранитов (11 определений) — 102—76 млн. лет (В. А. Дымовиц и др., 1985). На контактах с гранитами терригенные породы превращены в кордимерит-биотит-кварцевые роговики с гранобластовыми структурами, кремнистые скарны. В ороговиковых породах образуются турмалин, гранат, хлорит, цинозит и скопления биотита и мусковита.

Граниты биотитовые, среднезернистые имеют гипидиоморфозернистую структуру с высоким идиоморфизмом плагиоклаза. Минеральный состав: кварц (26,7—38,3 %), калишпат (22,4—34 %), плагиоклаз № 28—34 (30—39,4 %), биотит (2,1—12,6 %), акцессория — апатит, циркон, ортит, ильменит, магнетит (до 0,4 %). Вторичные минералы:

серцит, альбит, хлорит, сфеен, доизит и ильменит. В роговообманково-биотитовых гранитах и плагиогранитах появление амфибола (0,9—3,4 %) сопровождается увеличением содержания плагиоклаза (34,1—45 %) за счет сокращения кварца и калиевого полевого шпата. Содержание биотита более стабильное (5—9,3 %). По минеральному составу порода является переходной к гранодиориту, встречается преимущественно в эпиконтактных зонах гранитных тел и отличается от гранодиорита предшествующими фазами отсутствием амфибола. В целом, все разности пород этой группы характеризуются близкими содержаниями калиевого полевого шпата и биотита при аналогичном видовом составе акессорных и вторичных минералов. По составу относятся к пересыщенным кремнеземом, умеренно щелочным с повышенной глиноzemистостью породам.

Дайковый комплекс этой интрузивной фазы развит слабо. Дайки мелкозернистых гранитов и гранит-порфиров мощностью 10—20 м наибольшие части в между речь Кабулун—Самарга и по периферии самых крупных массивов, где они имеют северо-западную ориентировку, вертикальные или кругопадающие контакты. Характерным для них является частое присутствие единичных зерен роговой обманки при значительной лейкократовости состава.

Лейкограниты субшелочные и гранит-порфирь встречаены по левобережью р. Хор между устьями рек Суктай и Чукен. Они слагают один крупный массив (45 км²) и несколько мелких штоков, прорывающих валанжинские и нижне-верхнемеловые терригенные породы, позднемеловые гранодиориты и субвуликанические риолиты. В краевой части массива на контакте с гранодиоритами лейкограниты приобретают мелкозернистое аplitовидное строение.

Лейкограниты состоят из кварца (25—30 %), калиевого полевого шпата (50—55 %), плагиоклаза № 27—30 (12—20 %), биотита (4—5 %) и роговой обманки (1—2 %). Акессорные — апатит, ортит, циркон, рутины.

По розовой окраске пород, зеленому цвету биотита, равномерной зернистости и щелочному составу данные граниты хорошо сопоставляются с лейкогранитами нижнеамурского комплекса в более северных районах Сихотэ-Алиня (Э. П. Илох и др., 1960; В. В. Русс, 1966).

С интрузивными образованиями рассматриваемых комплексов связана редкие металлы.

Татибинский комплекс. Породы комплекса слагают несколько массивов в центральной части территории на левобережье среднего течения р. Бикин, в верховьях р. Дальняя, в бас. р. Голубойка, площадью от 0,07 до 83 км² (massивы Бисерный, Дальний, Восток-2 и др.). Форма массивов — клино-, веретено- и амебообразная. В строении тел участвуют от 1 до 5 интрузивных фаз (на карте показаны только две, отразить которые позволяют масштаб). Среди них выделяются: 1) габбро, габбро-диориты, кварцевые диориты; 2) диориты, монцодиориты, гранодиорит-порфирь (УК₂); 3) граниты амфибол-биотитовые и блоковые, плагиограниты субшелочные, гранит-порфирь.

Породы Татибинского комплекса прорывают пермские, триасово-юрские и валанжинские отложения, сами же прорваны гранитолами бачелазского комплекса и перекрыты несогласно вулканитами маастрихтской самаргинской свиты. Радиологический возраст татибинских гранитолов — 89—116 млн лет.

По минеральному и химическому составу породы татибинского и описанного выше нижнеамурского комплексов очень близки и поэтому петрографическая характеристика пород татибинского комплекса не приводится. С татибинским комплексом связана золото-вольфрамовая и оловянная минерализация.

Массив Бисерный (площадь 60 км²) в плане имеет форму клина, расширяющегося к северо-востоку. Западный и юго-восточный контакты заливы и выступами. Сложен массив в основном порфировидными (с мелко- и среднезернистыми основной массой) биотитовыми гранитами. Выделения калиевого полевого шпата в них достигают 3 см, обычно 1,5—2 см. Среди порфировидных гранитов встречаются небольшие тела лейкократовых мелкозернистых и пегматоидных биотитовых гранитов. На контакте с известняками нижнепермской субчарской свиты порфировидные биотитовые граниты сменяются амфибол-биотитовыми и мелкозернистыми гранитами и плагиогранитами [28].

Дальнинский массив (площадь 83 км²) расположен в верховых р. Дальниня. Форма массива в плане неправильная с многочисленными заливами и выступами, согласные простирации вмещающих пород, что обусловлено положением падением контактов массива и налицием кровесов. Глубина залегания кровли массива 2—3 км. Массив сложен преимущественно среднезернистыми амфибол-биотитовыми гранодиоритами, которые прорваны небольшими штоками и дайками мелко- и среднезернистых биотитовых гранитов. Вмещающие массив песчано-сланцевые отложения интенсивно метаморфизованы.

Шток Восток-2 (площадь 0,07 км²) расположжен между массивами Дальнин и Бисерный. Имеет неправильную, вытянутую в северо-западном направлении форму. Контакты его с вмещающими породами неровные, осложненные апофизами. Сложен он биотитовыми гранодиоритами и плагиогранитами, между которыми установлены постепенные переходы. В центральной части штока наблюдается конусообразное, выклинивающееся на глубине тело эксплозивной брекции гранодиоритов и шеллитоносных скарнов. Вмещающие терригенно-карбонатные первичные отложения вблизи штока превращены в биотитовые роговики, мраморизованные известняки и кварциты.

Бачелазский комплекс. Представлен большим числом массивов, расположенных вдоль Центрального Сихотэ-Алинского разлома и опоясывающих его разломов северо-восточного и близширотного направлений. Комплекс объединяет наиболее полно дифференцированный непрерывный ряд от габбро-пироксенитов до аляскитовых гранитов.

В целом, в данной возрастной группе выделяются не менее пяти фаз внедрения: 1) габбро, габбро-диориты, габбро-монцониты, монцодиориты, диоритовые порфириты; 2) граниты, кварцевые диориты, монцодиориты, гранодиорит-порфирь; 3) граниты монцогранодиориты, граниты лейкократовые, аляскитовые и двуслюдянные, гранит-порфирь (УК₂b).

Габбро, габбро-диориты, габбро-монцониты, габбро-пироксениты, габбро-диориты, гранодиорит-порфирь (УК₂b) слагают мелкие тела, как правило, застекающие в удалении от гранитоидных массивов. Породы габброидного ряда выявлены на правобережье р. Гучная, в между рече Дальняя—Бикун, Превальная—Б. Уссурка, близ пос. Тернистый и Молодежный, большинство из них прорывает альт-альбакие отложения. Среди пород этой фазы в подчиненном количестве отмечаются габбро-пироксениты и оливиновые габбро. Это среднезернистые или неравномернозернистые породы с офтитовой, габбровой пойкилитовой или гипидиоморфнозернистой структурами. Минеральный состав: плагиоклаз—лабрадор—биотитит № 64—72 — (50—60 %), роговая обманка (20—30 %), пироксен—авант—энstatит — (10—20 %), в габбро-пироксенитах до 55 %). Акессорные: сфеен, апатит, ильменит, цирит. В оливиновых габбро содержание оливина до 18 %.

Диориты, квачаревые диориты, монцодиориты,

диоритовые порфириты ($6K_2b$) образуют небольшие 0,3—6 км², реже до 12 км², тела, как самостоятельные (бас. рек Матай, Бикин, Тахало, район горы Снежная), так и входящие в состав многофазных массивов (бас. рек Катэн, Ключевая, Тигринка, Дальняя, Арму, Колумбе и др.). Они имеют штобокобразную форму с изометричными или неправильными очертаниями в плане. Состав пород даже в одном массиве, как правило, непостоянен и варьирует в широких пределах — от монцонитов до кварцевых диоритов. Характерно соплоождение диоритов с габброидами и пироксенитами в пределах одного и того же массива. Все разновидности отличаются непостоянством структур и состава. Ниже приводится описание двух детально изученных массивов комплекса [60].

Сыс-Мижулинский массив площадью 0,5 км² расположен на юге Сибири, в пределах Красноярского края. Он прорывает песчано-сланцевые толщи валанжинской фации. Массив имеет сложную структуру, состоящую из различных блоков и зон, различающихся по составу и структуре. В эзоконтактах развиты маломощные зоны дробления, окварцевания и карбонатизации. Массив рассечен тонкими (до 5 см мощностью) жилами мелкозернистых гранитов и фельзитов.

Ловлягинский массив (5 км²), расположенный в верховыхьях ключа Ловлягина (левый приток р. Б. Уссурка), сложен в основном диоритами и монцодиоритами. В его части встречаются породы типа габбро-пироксенитов, а в южной — кварцевые монцониты. В этом массиве габбро и пироксениты присутствуют среди монцонитов в виде меланократовых полос и, возможно, являются их дифференциатами. Все породы Ловлягинского интрузива содержат повышенное количество роговой обманки. Массив рассекается дайками риолитов.

Диориты — средние, реже крупнозернистые породы с гипидноморфно-зернистой, участками монцонитовой структурой. Состав: плагиоклаз (50—70 %), пироксен (5—20 %), биотит (5—15 %), амфибол (0—10 %), кварц (1—5 %), кальевый полевой шпат (0—10 %). Диоритовые порфириты — породы порфирового строения с микроплициоморфно-зернистой структурой основной массы. Фенокристаллы (1—5 мм), составляющие 20—40 % объема породы, представлены плагиоклазом, пироксеном, роговой обманкой, биотитом, реже кварцем. Основная масса сложена зернами этих же минералов. Кварцевые диориты отличаются от диоритов повышенным количеством кварца (10—15 %) и меньшим пироксеном (3—5 %). Характер роговая обманка. Вторичные минералы в диоритах, диоритовых порфиратах и каэрцевых диоритах: хлорит, актинолит, альбит, карбонат и эпидот, из акцессорных — апатит, циркон, сфен, гранат и рудные.

Гранодиориты, монцогранодиориты, гранодиориты и гранодиориты (уфК₂b) выделяются в составе крупных многофазных массивов (бас. рек Ключевая, Дальняя, Арму, между речеи Катунь—Бийкин), а также образуют отдельные изометрические или вытянутые в северо-восточном направлении тела площадью 0,2—10 км² как вблизи рек, так и на значительном удалении (бас. рек Ключевая, Катунь, Арму, Колумба). Наиболее крупным является Пилахтинский массив (20 км²) на водоразделе Верхний Долмы—Кедровый, ориентированный в широтном направлении, дикоранто пермско-триасовым складчатым структурам.

Судя по различной ширине контактовых ореолов роговиков, достигающих нескольких метров, тела гранодиоритов имеют нестационарные круглые контакты. В эзоконтактовых зонах среднезернистые гранодиориты сменяются порфиродиоритами и мелкозернистыми разностями второй фации. Гранодиориты прорывают и метаморфизуют диориты второй фазы (массив Веретено-II) и вулканиты приморской серии. Согласно данным геофизических исследований Р. Г. Кулинича (1969), мелкие

штоки гранодиоритов, образующие самостоятельные тела в междуречье Арму—Б. Уссурука, имеют трубообразную форму и прослеживаются на глубину до 15 км. Гранодиориты состоят из плагиоклаза (37—54 %), калишпата (8,5—27 %), кварца (18—30 %), биотита (8,5—13,5 %), роговой обманки (4,2—12,2 %), акцессорные минералы — магнетит, апатит, орбит, циркон, монацит. Текстура массивная, участками такситовая, очень редко (на контактах) полосчатая. Структура гипидноморфозернистая, в различиях, обогащенных калишпатом, — соответственно пойкилитовая и монционитовая. По количеству содержащегося калишпата выделяются две разновидности пород — серые и розовато-серые. В розово-серых моногранодиоритах его содержание в 1,5—2 раза выше, чем в породах серого цвета. При этом закономерно

уменьшается количество плагиоклаза и темноцветных минералов и увеличивается — кварца [60].

Гранодиорит-порфирь преобладают в составе крупных гипабиссальных интрузий площадью в 200—350 км², образующих цепочку сближенных тел северо-восточного простирания в междуречье Бикин—Хор. В краевых частях интрузий гранодиорит-порфирь переходит в субволканические дациты, андезидациты или риолиты. Вмешавшиеся породы проготовикованы слабо, в эндоконтактах часто наблюдаются многочисленные включения обломков вмещающих пород. Гранодиорит-порфирь характеризуются криптовой и гломеропорфировой структурами. Основная масса микротипоморфно-зернистая, микропризматично-зернистая и микраплитовая. Фенокристаллы, составляющие до 40 % объема породы, представлены обычно идоморфным, часто зональным плагиоклазом № 30—40, пелитизированным калишпатом перитового строения, ксеноморфным кварцем, а также биотитом, роговой обманкой, реже моно- и клинитом пироксеном. Основная масса сложена мелкими зернами тех же минералов. Аксессорные минералы: сфен, гранат, ортит, ромбический и моноклинный пироксены, рудные минералы.

Радиологический возраст пород гранодиоритовой группы 83—94, 96, 100, 108 млн лет [35, 60].

Гранитоиды поздних фаз бачелазского комплекса образуют непрерывный ряд от кислого до ультракислого состава: граниты биотит-амфиболовые, лейкократовые, аляскинты (уK₂b), граниты-порфирь (уK₂b). Из перечисленных разностей только граниты образуют отдельные небольшие пегматиты в бас. рек Катэн, Ключевая, Бикин, Арму, Тигринка и др. Остальные породы этой группы установлены только в многофазных массивах. Массивы прорывают меловые осадочные и вулканогенные образования, включая эфузивы при-морской серии (бас. р. Бикин). Судя по широким ореолам роговиков около интрузивов, можно предполагать пологий характер контактов и слабую эродированность массивов. В бас. р. Ключевая обширное поле ороговикованных пород совпадает с гравиметрической зоной разуплотнения, что может указывать на наличие на глубине крупного батолита, отдельные выступы которого обнажены на поверхности. Однако многие массивы (Левоканзинский, Янзинаван и др.) на гравиметрических картах не выделяются, что, по-видимому, связано с плито- или грибообразной формой тел (В. И. Анойкин и др., 1983).

В большинстве случаев наибольшая доля в массивах приходится на сочетание гранитов с лейкогранитами, либо гранитов с гранодиоритами. Аляскинские граниты широки представлены как фашиально-разности лейкогранитов, а двуслоистые — как продукты автометаморфической перекристаллизации в зонах повышенной трещиноватости (массивы Нижнеперевальский, Дальне-Арминский, Водораздельный).

Дайковые породы, сопровождающие все фазы внедрения, представлены (кроме упомянутых) спессартитами, диабазовыми и диорито-

так, диоритовых порфиритов и квартцевых диоритов. Хлорит, альбит, пироксен, ландит, гранат и эпидот, из аксессорных — апатит, циркон, сферулит, гранат и эпидот.

Гранодиориты, монцогранодиориты, гранодиориты (у_BK₂B) выделяются в составе крупных многофазных массивов (бас. рек Ключевая, Дальняя, Армур, между речею Катэн—Бичин), а также образуют отдельные изометрические или вытянутые в северо-восточном направлении тела площадью 0,2—10 км². Как правило, они и на значительном удалении (бас. рек Ключевая, Катэн, Армур, Колумб). Наиболее крупным является Пилахтинский массив (20 км²) на водоразделе Верхний Долми—Кедровый, ориентированный в широтном направлении, дискорданто пермско-триасовым складчатым структурам.

Судя по различной ширине контактовых прецессов роговиков, доказывающих несколько метров, тела гранодиоритов имеют неупакованный, краевые контакты. В эндоконтактовых зонах средиземнине гранодиориты сменяются порфировидными и мелкозернистыми разностями краевой фации. Гранодиориты прорывают и метаморфизуют диориты второй фазы (массив Веретено-II) и вулканиты приморской серии. Согласно данным геофизических исследований Р. Г. Кулинича (1969), мелкие

выми порфиритами, тоналитами, мелкозернистыми гранодиоритами и гранитами, гранодиорит- и гранит-порфирами, аplitами, риолитами. Дайки имеют различное простирание, разную мощность и протяженность.

Многочисленные радиологические (К-Аг) определения возраста различных пород комплекса — 58—108 млн лет. Для пород комплекса в целом характерно заметное преобладание калия над натрием (кроме альбитизированных и монцонитоидных разностей). Все дифференциаты гранитоидов имеют несколько пониженные содержания кальция и общую железистость.

С бачатзским комплексом связана оловянная и олово-вольфрамовая минерализация.

Приморский комплекс по составу и морфологии массивов почти столь же многообразен, как и предшествующие позднемеловые интрузии. Образование приморского комплекса сосредоточено, за редким исключением, в пределах Восточно-Сихотэалинского вулканогенного пояса. Небольшая группа plutонов (преимущественно основного и щелочного состава) расположена в Восточно-Сихотэалинской зоне. Приморский комплекс является многофазным с дифференциацией пород от габбро до аляскитовых и щелочных гранитов. Общая относительная возрастная последовательность: 1) габбродиориты, габро, монцогабро (vK_2p); 2) диориты, монцониты, кварцевые диориты ($\delta\text{K}_2\text{p}$); 3) гранодиориты и гранодиорит-порфиры ($\gamma\delta\text{K}_2\text{p}$); 4) граниты биотитовые, биотит-амфиболовые (yK_2p); 5) граниты лейкократовые и аляскитовые, гранит-порфиры ($\text{yL}\text{K}_2\text{p}$); 6) граносиениты, щелочные граниты ($\text{yS}\text{K}_2\text{p}$). Заметно преобладают породы третьей и четвертой фаз. Наименее распространены дифференциаты щелочной группы. Интрузии комплекса прорывают прибрежную серию, а также самаргинскую и маломихайловскую свиты и перекрыты олигоценовыми и юоценовыми эфузивами. По радиогенным данным возраст комплекса 40—91 млн лет (с максимумом значений 58—79 млн лет) по породам и 89—94 млн лет по биотиту.

В. В. Ветренников и др. (1972) считают, что формирование приморского комплекса было прерывистым и чередовалось с вулканическими процессами; на этом основании в его составе выделяют интрузии позднемелового и раннепалеогенового времени. Среди этой группы выделяются интрузии малых глубин и приповерхностные. Первые из них являются дискордантными трещинами, плитообразной формы, характеризуются 2—3-фазным строением массивов и более крупными размерами (до 300—400 км²). Приповерхностные относятся к моногенному типу и не превышают 1—3 км² в поперечнике. Они представлены штоками, имею резко выраженные зоны закалки и интенсивные ореолы ороговивания, турмалинизации и биотитизации, часто с зонами дробления. Наряду со штоками частицы причудливой формы массивы с переходами от жерловин и даек к покровам субэффузивного облика. Наиболее основные дифференциаты, а также лейкократовые и аляскитовые граниты образуют самостоятельные plutоны в 3—5 км², а также входят в состав более крупных тел гранитов.

Интрузии приморского комплекса западной и восточной частей Приморской зоны несколько отличаются по геологическому положению и породным ассоциациям. Для западной части зоны характерна габбродиорит-гранитная ассоциация, плутоны которой размещаются преимущественно в Самаргинском и Тернейском районах, где нередко слагают центральные части вулканических структур — массивы Караки (55 км²), Аник (70 км²), Вузэля-Кеманский (39 км²), или располагаются по периферии вулканических депрессий — массивы Сахатинский (38 км²), Бугу (40 км²), Джигит (65 км²), Исаковский (30 км²) и др. [28]. К восточной части Приморской зоны относятся массивы габбро-

гранодиорит-гранофировой ассоциации — Пугдо (40 км²), Бакланый (25 км²), Светлый (50 км²), Тернейский (385 км²) и др.

Породы щелочного ряда выделены в Прибежной зоне в бас. рек Караванная, Красная Речка и верховий р. Б. Уссурка, где ими сложена группа небольших массивов, из которых наиболее крупный — Санчазкий [58].

Санчазский массив (около 50 км²) расположен в бас. р. Караванной и приуочен к стыку Березовской и Якутинской вулкано-тектонических структур. Отдельные выходы щелочных пород к юго-западу от интрузии позволяют предполагать возможное погружение ее к югу в этом направлении (Н. К. Цесарский, 1978). В юго-восточной части массива заканчивается апофизой (протяженность около 4 км, мощность до 100 м) щелочных долеритов. Массив многофазный, сложен щелочными долеритами, монцосиенитами, сиенитами (первая фаза), монцогабро (вторая фаза), гранит-порфирами (третья фаза), гранит-порфирами (четвертая фаза).

Породы Санчазской интрузии прорывают туфы дацитов и риолитов самаргинской свиты. Вмешивающиеся породы ороговикованы и хлоритизированы; в качестве новообразований отмечается апатит, сфен и ильменит. Среди дайковых пород различаются гранит-порфиры, спессартиты, андезитовые и диоритовые порфиры, риолиты, мелкозернистые гранодиориты и граниты, щелочные долериты. Протяженность даек от нескольких десятков метров до 3 км. Дайки основного состава имеют северо-восточное и близкозмеридиональное простирание и крутое падение при мощности 0,2—5 м. Дайки аplitов имеют мощность, не превышающую 0,5 м, и пологое залегание. Дайки остальных пород обладают значительной мощностью (до 15—20 м), разнообразными простирациями и крутизной падения.

Все выделенные дифференциаты близки к средним типам, по Р. Дээли, кроме некоторых пород ранних фаз, среди которых габбро-диориты близки по составу к кварцевому габбро, а монцодиориты — к кварцевому диориту. Общая железистость, низкая или средняя в ранних фазах, в последующих дифференциатах повышается. Количество окисного железа в породах ранних фаз и гранодиоритах имеет низкие значения в западных частях зоны распространения комплекса и средние или высокие — в восточных. Для кислых и ультракислых пород оно везде значительно. По содержанию щелочей гранит между натриевыми и калиевыми типами пород проходит в западной части зоны распространения между кварцевыми диоритами и гранодиоритами, а в восточном — между гранодиоритами и лейкогранитами.

С интрузивными образованиями приморского комплекса связано оловянное, олово-вольфрамовое, олово-полиметаллическое, серебро-полиметаллическое и медно-молибденовое оруднение.

Олынский комплекс выделен только в южной части Приморской зоны (бас. р. Зеркальная), где представлен небольшими (до 20 км²) немногочисленными массивами, сложенными преимущественно биотит-амфиболовыми и аляскитовыми и гранитами и гранитопорфрами (yK_2p). В виде незначительно проявленных фаз и фаций в составе массивов присутствуют диориты и гранодиориты. За пределами территории с породами комплекса связаны магнетитовые скарны.

Позднемеловые субвулканические образования присутствуют практически во всех зонах. Среди них выделяются андезиты, андезиды и андезиты, а также эзимбазальты (aK_2p), связанные с вулканитами сибирской, самаргинской и маломихайловской свит, и риолиты, риодачиты, дациты (dK_2p), связанные с вулканитами татаркинской свиты и приморской серии. Они представлены куполами, штоками, дай-

ками, силлами, некками изометричной, кольцевой, трубообразной и овальной формами, простыми или полигенными по строению и нередко хорошо выраженным в современном рельефе. По химизму значительно преобладают породы нормального ряда.

С вулканитами самаргинской свиты связаны своеобразные субвулканические тела в междуречье Серебрянка—Южная. Они имеют до 2,5 км в Поперечнике и сложены агломератовыми и лапиллевыми туфами андезитового состава, сильно гидротермально измененными. Залегают они в дислоцированных нижнemеловых отложениях, имеют вертикальные эруптивные контакты и представляют собой, вероятно, жерновиты глубоко зеродированных вулканов. Okolo субвулканических базальтов, андезитов и дацитов, многие из которых имеют зональное строение.

К вулканитам приморской серии приурочены экструзии риолитов, риоладицтов, дацитов. Среди них присутствуют породы интрузивного облика, лавы, кластические породы, слагающие моно- или полигенные тела. Бриннеровская полигенная экструзия описана В. И. Рыбако (1986) к югу от устья р. Рудная. Она залегает среди крупноглыбовых агломератовых туфов приморской серии. Ее центральная часть сложена глыбовой тонкофлюидальной лавой риолитов (первая фаза), прорванных штоками черных витродицтов с вертикальной полосчатостью (вторая фаза) и тонкофлюидальных дацитов (третья фаза). Одно из тел дацитов третьей фазы, в свою очередь, прорвано двумя стекловатыми риолитами, имеющими в плане форму диаметром 50 и 200 м и представляющими собой иглотоподобные купола выжимания.

Экструзия в междуречье Рудная—Лидовка, сложенная однородными белыми флюидальными риолитами, внедрилась вдоль гребня кальдеры вулкана Русалка. Форма тела в плане подковообразная, протяженность более 25 км, контакты с вмещающими породами вертикальные или наклонены внутрь подковы [44].

Крупное лакколитообразное тело описано В. Н. Овечкиным (1979) в бас. р. Кема. Экструзия диаметром около 5 км имеет грубоокруглую форму с извилистыми границами и сложена массивными крупнопорфировыми гранит-порфирами, в краевых частях переходящими во флюидальные риолиты. Несколько трехдинах субвулканических тел крупнопорфировых и флюидальных риолитов расположено в верховьях р. Брусланчна, где они образуют в плане почти кольцо диаметром около 4 км. Пребывают риолиты нормального ряда, но присутствуют и другие породы — от дацитов до субшелочных риолитов.

С вулканитами самаргинской и маломихайловской свиты связаны экструзии, сложенные различными породами (от риолитов до базальтов), которые нередко участвуют в строении одного тела. Субвулканические, часто многофазные, тела представляют собой весьма существенную часть вулканических построек, занимая на некоторых участках до половины их площадей. Один из таких массивов — Брусланчевский — описан В. В. Ветренниковым (1968) в бас. р. Брусланчевка. Он состоит из нескольких тел, образующих почти замкнутый кольцевой массив диаметром около 20 км с разрывом в южной части. В его строении участуют массивные и сферолитовые гранофирсы, флюидальные риолиты, переливчатые лавы, между которыми наблюдаются как постепенные переходы, так и рывущие контакты. Выделяется по меньшей мере четыре фазы становления тела, но точное их количество определить трудно из-за базалькового состава пород и наличия взаимопереходов между породами. Самостоятельные тела образуют наиболее поздние флюидальные дациты.

С субвулканическими образованиями, приуроченными к вулканитам приморской серии, связан своеобразный оловянно-порфировый тип мине-

рализации в некках, штоках и трещинных телах риолитов и их брекций [14].

Позднепалеогеновые интрузии

Прибрежный комплекс. К нему относятся интрузии среднего и кислого состава, распространенные в северной части Приморской структурно-формационной зоны (бассейн нижнего течения р. Самарга). По преобладанию пород в составе комплекса выделены три фазы: 1) диориты, кварцевые диориты, кварцевые монцониты, кварцевые габбро (δРзрг); 2) гранодиориты (γРзрг); 3) граниты, гранит-порфирсы (ηРзрг). В подчиненных количествах встречаются габбро, лейкократовые и шелочные граниты. Часто породы этих фаз присутствуют в одном интрузивном массиве и реже слагают самостоятельные тела.

Крупные массивы имеют неправильную форму: Самаргинский (45 км²), Золотой (64 км²), Чепецкий (35 км²), Сонье-Неминский (35 км²) и др. Вмещающими породами являются вулканогенно-осадочные породы и эфузивы среднего, реже кислого состава самаргинской, тахобинской и кузнецковской свит. Перекрываются интрузивы базальтоидами кизинской и совгаванской свит.

Контактовое воздействие выражается в ороговиковании, окварцевизации и редко пиритизации пород. Кистевые вулканиты превращаются в кварцево-полевошпатовый агрегат с болотшим количеством мелкочешуйчатого зеленовато-бурового биотита. По андезитам и дацитам образуются биотит-альбитовые, амфибол-альбитовые, пироксен-альбитовые и кварцево-альбитовые роговики. Нередко на контактах с интрузиями вулканиты превращены в кварцево-серicitовую агрегат, иногда с флюоритом и турмалином. Ширина ореола контактовых изменений в осадочных породах 2—3 км, иногда до 4 км, а в эфузивах — 0,1—0,5 км.

Первая фаза, связанная с внедрением габбро-диоритовой магмы, проявлена незначительно во многих массивах. Вторая фаза, в основном гранит-гранодиоритовая (с незначительной долей кварцевых диоритов и кварцевых монцонитов), заливает более 90 % площади всех выходов. Довольно редко встречаются в пределах массивов дайки аplitов и гранодиорит-порфиров.

Наиболее полидифференцированным является Самаргинский массив, расположенный в нижнем течении рек Самарга и Единка в центральной части интрузивно-купольной структуры. Контакты с вмещающими породами активные, местами тектонические. Экзоконтактовые роговники достигают ширины 0,5—0,8 км. Роговики по составу биотит-альбитовые и кварц-альбитовые по эфузивам среднего состава и биотитовые по туфам кислого и умеренно кислого составов. В строении массива участвуют породы двух фаз внедрения. Первая фаза представлена диоритами и кварцевыми габбро, приуроченными в основном к краевым частям. Ко второй фазе относятся кварцевые диориты, гранодиориты, кварцевые монцониты и граниты [21].

4—Зак. 926

Кварцевые диориты — средне- и мелкозернистого сложения породы с гипидиоморфно-зернистой, участками микрокристаллической структурой. Главные минералы представлены плагиоклазом № 36—44 (50—65 %), иногда зонального строения, и темноцветными — моноклинным пироксеном, роговой обманкой и биотитом (суммарно 30—40 %). В небольших количествах присутствует кварц (5—7 %, редко до 10 %) и кальевый полевой шпат (1—5 %). Встреченные процессы развиты слабо. Аксессорные — сフェн и апатит. Гранодиориты отличаются от кварцевых диоритов присутствием более кислого плагиоклаза № 28—32, большим содержанием кварца и кальевого полевого шпата (15—

20 %). Темноцветные минералы представлены роговой обманкой и биотитом; проксен, редол. Граниты и гранит-порфирь — мелко- и среднезернистые породы. Го. содержанию главных минералов: калиевого полевого шпата (50 %), кварца (30–35 %), олигоклаза № 20 (около 15 %), биотита (1–2 %) соответствуют лейкограниты.

По петрохимическим параметрам позднепалеогеновые гранитоиды обнаруживают большое сходство с приморским комплексом и по этому признаку практически неразличимы. Формирование их происходило на небольшой глубине, о чем свидетельствует преобладание порфировидных разностей, широкое развитие микропегматитовых структур, а также наличие зональных плагиоклазов. Эрозионный срез плутонов не глубокий, а залегание контактов пологое, что подтверждается извилистыми очертаниями их контуров, наличием множества мелких тел вблизи массивов, представляющими, по-видимому, апикальные выступы, а также широкими ореолами контактовых изменений, вмещающих пород.

Палеогеновые субвулканические риолиты, риодашиты, андезиты (ДР) генетически связаны с различными палеогеновыми вулканогенными образованиями. Более дробное возрастное расщеление субвулканических образований затруднено из-за отсутствия четких криперив связей с разновозрастными вулканитами. Заметно преобладают среди них сложные субвулканические тела кислого состава, связанные с Богопольской свитой.

Богопольский массив (В. И. Рыбалко, 1986), расположенный в бас. р. Зеркальная у д. Богополь, является сложным полигенным телом площадью около 25 км². В первый этап образовались небольшие штокообразные тела флюидальных риолитов, стекловатые в краевых частях; во-второй — флюидальные серые афиевые риодашиты; в третий — крупная экструзия массивных и слабофлюидальных дацитов; в четвертый, заключительный этап — изолированное тело андезидаитов в центре массива. На различных участках известны многочисленные дациты, трещинные, реже штокоподобные тела, сложенные андезитами, базальтами, диабазовыми порфиритами, риолитами, которые можно рассматривать как подводящие каналы при формировании вулканитов Салдинской и Кузнецковской свит. Преобладают андезиты нормального ряда. Поздненеогеново-раннечетвертичные субвулканические базальты, а н д е з и б а з а л ь т ы, а н д е з и т ы ($\beta\text{N}_2-\text{Q}_1$) связаны с вулканитами кизинской, совгаванской и шуфанской свит. Из-за большого сходства состава, структурных и текстурных признаков, выделение их среди излившихся разновидностей весьма затруднительно. Субвулканические образования представляют обычно дацитами и дацитоподобными телами, реже встречаются серии штокоподобных тел, приуроченные к трещинам. В субвулканических базальтах в бас. рек Бикин и Зева встречается большое количество вкраплений ультраосновных пород, преимущественно периллитов. По химическому составу базальты и долериты субвулканических тел относятся к щелочным и субшелочным породам норильского ряда и очень близки к базальтам молодых платформ.

Некоторые особенности интрузивных и субвулканических образований

На территории листа с той или иной степенью достоверности выделены позднепалеозойские, позднеюрские, ранне- и позднемеловые, ранне- и позднепалеогеновые и неогеновые интрузивные и субвулканические образования. Характер их проявления, петрографический и химический состав, минерализация, с ними связанная, заметно различаются. Магматизм проявлялся на всех этапах тектонического развития. Резко преобладают кислые гранитоидные породы орогенной стадии

и стадии тектono-магматической активизации, менее распространены ультраосновные, основные и кислые городы позднегеосинклинального и инверсionного этапов.

Размещение интрузивных масс обычно происходит: а) вдоль глубинных разломов и их отвествий, конформно или вкrest простирации структур в виде продольных и поперечных пептоэзий; б) среди небольшой глубине, о чем свидетельствует преобладание порфировидных разностей, широкое развитие микропегматитовых структур, а также наложение контактовых плагиоклазов. Эрозионный срез плутонов не глубокий, а залегание контактов пологое, что подтверждается извилистыми очертаниями их контуров, наличием множества мелких тел вблизи массивов, представляющих собой ореолы контактовых изменений, вмещающих пород.

Палеозойский геосинклинальный цикл завершился внедрением предположительно позднепалеозойской интрузии ультраосновных и основных пород, относящихся к дунит-перidotитовой и габбро-диабазовой формациям. Вместе с основовыми и средними вулканитами пермских вулканогенно-осадочных образований они слагают уже четко проявленную офиолитовую ассоциацию Центрально-Сихотэалинской зоны. Разнообразие состава ультраосновных пород связано, вероятно, с метасоматическим воздействием более поздних габбровых тел.

В позднетриасовое время мезозойский геосинклинальный цикл начался с формирования основных вулканитов лжаурской и краснореченской свит. Завершает геосинклинальную стадию формирование раннепалеогенного хунгарийского комплекса, интрузивные тела которого приурочены преимущественно к глубинным разломам. Кроме ультраосновных и основных пород, важную роль в его составе играют разнообразные гранитоидные породы, с поздней лейкократовой фазой которых связаны промышенные скопления вольфрама. Характерными особенностями этих гранитоидов, которые, возможно, связаны с тем, что формирование мезозойской геосинклинальной зоны происходило на коре континентального типа, являются: а) преобладание меланократовых и двуслойных гранитов; б) высокая глиноzemистость и постоянное содержание ранненемагматических минералов — кордиерита, граната, анидита и силланитита; в) обширный видовой комплекс акессорных минералов (гапак, г) отсутствие в породе амфибола и характерная оранжево-красная окраска биотита; д) низкая плотность пород.

В орогенный этап в начале позднего мела, в период усиления дифференцированных тектонических движений, формировались многофазные гомодромные интрузивные комплексы (татининский, нижнеамурский, бачелазский). Для первых двух характерно широкое развитие гранодиоритов, присутствие плагиогранитов и субшелочных лейкогранитов, пестрый фациальный состав в пределах каждой фазы, устойчивая ассоциация биотита и амфибола во всех гранитоидных породах вплоть до лейкократовых, золотая и золото-вольфрамовая минерализация.

В бачелазском комплексе, дифференцированном от габбро-пироксенитов до аляскитов, резко возрастают объемы мезократовых и лейкократовых аляскитовых гранитов, иногда двуслюдяных, часто встречаются порфировые и пироксиевые структуры, повышено количество пироксенов и амфиболов, присутствует дымчатый кварц и розового-голубой полевая шпат, калий преобладает над натрием. С поздними фазами комплекс связана оловянная, олово-вольфрамовая и оловянно-полиметаллическая минерализация.

По направлению с запада на восток устанавливается омолаживание возрастка комплексов (радиологические данные), уменьшение глубины становления массивов, увеличение количества калиевых разностей гранитоидов, более четкая связь интрузий с вулканогенными образованиями. В конце позднего мела территория, примыкающая к побережью, была захвачена процессами тектono-магматической активации. На структурах Восточно-Сихотэалинской зоны формируется вулканический

пояс, сложенный большими массами вулканических и субвулканических образований и гранитоидов приморского комплекса. Возникновение многочисленных разнообразных вулканоструктур (полигенные стратовулканы, кальдеры, вулканические грабены и др.), связанных с мозаичноблоковым строением фундамента вулканического пояса, обусловили сложный характер размещения и морфологическое разнообразие plutонов и провинциальные различия вещественных ассоциаций.

Массивы западной части Приморской зоны по петрографическим типам и большинству других признаков сходны с plutонами бачелазского комплекса в Верхнебикинском районе.

Для интрузий восточной части зоны характерным является прерывистость магматической эволюции, что отражается в складке измениния составов от гранодиоритов с повышенной кремнисто-литостальностью до лейкогранитов. В западной части пояса этот скачок выражен менее отчетливо. На востоке зоны, кроме того, меньше распространены порфировидные граниты, практически отсутствуют монцонитоиды, часто появляются итольгатовая роговая обманка, гастигит, мышьяковые пустоты в лейкогранитах. Эти признаки сближают гранитоиды приморского комплекса с более поздними интрузивными образованиями прибрежного комплекса, который, по-видимому, представляет собой провинциальный аналог первого в северной части вулканогенного пояса.

В свою очередь, для прибрежного комплекса характерно наличиешелочных дифференциатов пород, большое количество амфибола в составе лекса с более поздними интрузивными образованиями прибрежного комплекса, который, по-видимому, представляет собой провинциальный аналог первого в северной части вулканогенного пояса.

В своем происходило в приповерхностных условиях или на незначительной (1–3 км) глубине. С данными комплексами связана оловянная и полиметаллическая минерализация.

Самым поздним проявлением магматизма в регионе являются дайки, трещинные и штокоподобные тела пильсон-раине-шертичных базальтоидов, явившиеся подводящими каналами при излиянии сублатформенных платобазальтов.

ОСОБЕННОСТИ ОТБРАЖЕНИЯ ГЕОЛОГИЧЕСКОЙ ИНФОРМАЦИИ НА ДНЕ МОРЯ

Ко времени подготовки комплекта карт листа L-(53), (54) к изданию отсутствовали документы, регламентирующие составление мелкомасштабных карт геологического содержания морского дна. Поэтому авторы в своей работе руководствовались лишь самыми общими положениями, логически вытекающими из теории и практики геологической картографии. По мнению авторов, важнейшим методологическим принципом составления геологических карт морского дна является принцип преемственности по отношению к аналогичным картам суши [16], так как на протяжении геологической истории уровня океана изменяется и береговая линия мигрировала, вследствие чего в настоящее время морские образования часто располагаются в пределах современной суши, а континентальные — на дне моря. Преемственность предполагает как единство принципов картирования суши и дна акватории, так и единство информации картирования, т. е. выделение способым возрастных подразделений. Единство же принципов построения геологических карт суши и морского дна предполагает и единообразное использование изобразительных средств, в первую очередь цвета, края и т. д.

Важным представляется вопрос об отображении степени достоверности построений на геологической карте. Поскольку дно моря скрыто от непосредственного наблюдения слоем воды, а дочетвертичные образования, кроме того, еще и покровом рыхлых осадков, мощность которого бывает иногда весьма значительной, морские геологи основной объем информации получают посредством использования геофизических методов. Однако установление характера конкретных связей между свойствами геологических тел и регистрируемыми физическими параметрами представляет собой сложную задачу, не имеющую однозначного решения, поскольку четко геологическая интерпретация геофизических материалов часто носит условный вероятностный характер. Эта уверенность должна найти отражение на геологической карте: следует различать конкретные геологические тела, изученные в естественных подводных обнажениях или по данным бурения, и гипотетические объекты, выделяемые геофизическими методами. С этой целью на геологической карте дочетвертичных образований возрастной индекс объектов, выделенных по косвенным критериям, заключен в круглые скобки.

Для карт четвертичных покровов не существует общепринятой генетической классификации морских четвертичных образований, удовлетворяющей потребности мелко- и среднемасштабной геологической картографии. Поэтому авторы в порядке опыта разработали для листа L-(53), (54) собственную классификацию, используя опыт предшествующих работ Г. С. Ганешина, М. А. Спирилова, В. Т. Фролова, А. А. Чистякова, Ф. А. Щербакова и др. [3]. Классификация включает четыре основных генетических ряда — терригенный, вулканогенный,

биогенный и хемогенный, которые, в свою очередь, могут подразделяться на генетические типы и подтипы. Эта классификация и использована при подготовке карты к изданию. При работе над картой четвертичных отложений авторы в качестве эксперимента разработали и систематизировали способы, которыми можно показать геологическую ситуацию на дне моря. Исторически сложилось так, что в качестве «генетического» цвета за морским образоманиями закреплен синий цвет; все другие цвета основной цветовой гаммы используются для обозначения генезиса различных континентальных образований. Поэтому, исходя из принципа преемственности, при разработке системы условных обозначений для карт четвертичных отложений морского дна авторы могли оперировать только с этим «морским» цветом.

На карте площасти развития четвертичных отложений морского генезиса на дне Японского моря закрашены синим цветом, но не сплошной заливкой, а штриховкой. Густотой штриховых линий — зрительно это воспринимается как разная тональность синего цвета — показаны разновозрастные отложения (древние более темные). Различная же ориентировка штриховки позволяет показать образования основных генетических рядов. Генетические типы осадков в пределах рядов обозначаются дополнительными индексами, присоединяемыми к основному «морскому» индексу — *m*. При необходимости выделения подтипов на буквенным индексам добавляются штрихи. Таким путем на дне моря показаны отложения динамического (волнового и потокового) типа *m_{dy}*, с выделением волнового подтипа *m_{dy, e}*; отложения отстойного (медленное осаждение из взвеси) типа — *m_{dr}*; непасчененные отложения отстойного и эдафогенного (подводно-элювиального) типа — *m_{du, e}*; непасчененные отложения динамического и отстойного типа — *m_{dg, ru}* и биогенные образования зоогенного генетического типа *m_z*. Дочетвертичные породы показаны, как и на суше, фиолетовым цветом, но не сплошной заливкой, а штриховкой.

ГЕОЛОГИЧЕСКОЕ СТРОЕНИЕ ДНА СЕВЕРО-ЗАПАДНОЙ ЧАСТИ ЯПОНСКОГО МОРЯ

В пределы листа L-(53), (54) входит северная часть Японского моря, ограниченная на западе побережьем Приморья, а на востоке, за пределами площасти листа, островами Хоккайдо и Сахалин.

В рассматриваемом регионе отчетливо выделяются: щельовая зона и материковая ступень Приморья, а также Западно-Япономорская, Хоккайдо-Сахалинская и Южно-Татарская зоны. В юго-западной части в пределы площасти листа входит небольшой участок Центрально-Япономорской зоны.

Представления о геологическом строении дна Японского моря основываются на интерпретации сейсмоакустических съемок, проведенных в 1971—1980 гг. [23], нескольких профилей МОВ [63] и ОГТ и материалов сейсмостратиграфии в комплексе с данными геологического опробования путем драгирования в рейсах НИС «Каллисто» и «Первенец», с учетом результатов океанографических исследований японских геологов [24]. На основании интерпретации донного опробования и геофизических материалов предполагается, что акустический фундамент представлен метаморфическими, осадочными, интрузивными и вулканогенными образованиями от среднепалеозойских до раннемеловых включительно. Акустическая проникаемая часть разреза сложена осадочными и магматическими породами позднемелового—плейстоценового возраста, которые перекрыты на большей площасти четвертичными осадками.

Образования среднего—верхнего палеозоя (PZ_2-Z_3) выделены в Южно-Татарской зоне на возвышенностях Аллатова и Витязя и в Хоккайдо-Сахалинской — на хр. Окусири. Они представлены темно-серыми или темно-зелеными рассланцованными, иногда микроплойчатыми породами с шелковистым блеском на плоскостях сланцеватости. Среди них отстоятельно устанавливаются породы магматического и осадочного происхождения.

Магматические породы представлены метабазальтами, амфиболитами, амфиболитовыми микросланцами, албит-эпилит-хлорит-актинолитовыми и альбит-биотит-хлоритовыми сланцами. Метаэффициты и микросланцы отвечают составу ультраосновных вулканитов и базальтов, относящихся к образованию натрового типа. По соотношению титана и калия, титана и железа, кобальта и никеля, рубидия и стронция они принадлежат к сложной ассоциации магматических образований, сходных с вулканитами океанических островов и абиссальных плато (Лутти, 1980) и близки к палеозойским метабазитам Сусунайского хребта, слагающим метаморфический фундамент о-ва Сахалин (Гранник, 1984). В целом по исходному составу они отвечают океаническим толятам. По характеру метаморфизма это типичный зональный комплекс с различной степенью преобразования пород от проявления хлоритизации основной массы базальтов до их изменения в зеленосланцевой ступени метаморфизма с появлением албит-амфиболового парагенезиса.

Среди осадочных пород, распространенных на возвышенности Витязя, преобладают пелитовые разности, превращенные в филлиты и филлитовые сланцы, а также олигомиктовые и аркозовые песчаники и кварцевые грауваксы. Осадочная составляющая этой толщи сформировалась за счет размыва и переотложения пород типа микрокинновых гранитов, роговиков и филлитов, обычно развитых в пределах структур, обладающих континентальной корой. Сиалические блоки, по-видимому, находились в палеозое на небольшом удалении от возвышенностей Витязя и Аллатова и, возможно, в пределах современного Прибрежного антиклиниория Сихотэ-Алиня.

Радиологический возраст отдельных образцов метаморфизованных пород по данным калий-аргонового метода определяется в 355, 270, 240 млн лет.

В е р х н е м е л о в ы е в У л к а н о г е н н ы е о б р а з о в а н и я
(K_2) установлены в Хоккайдо-Сахалинской зоне на хр. Окусири и возвышенности Мусаси. Они представлены слоистыми туфами дацитов, афанитовыми риолитами и андезидитами. Радиологический возраст пород на возвышенности Мусаси по данным калий-аргонового метода — 77,8 млн лет.

В е р х н е м е л о в ы е — э о ч е н о в ы е т о л ь щ а (K_2-P_2) выделена в Западно-Япономорской зоне предположительно (только на разрезах) на основе сравнительного тектонического анализа с геологией прилегающей суши. Толща имеет мощность до 2 км, в северных районах возможно до 6 км. Трансгрессивно перекрывает акустический фундамент. Кровля ее не поднимается выше абсолютных отметок — 3 км. Предполагается, что толща сложена вулканогенными образованиями разного состава (от кислых до основных) и осадочными терригенными породами, образовавшимися за счет разрушения пород, слагающих соседние складчатые системы, в основном Сихотэ-Алинскую.

О л и г о ц е н - м и о ц е н о в ы е — о б р а з о в а н и я н е р а с ч л ененные (P_3-N_1) представлены вулканогенными толщами, по видимому, развитыми локально и слагающими отдельные вулканоструктуры. Они обнаружены на возвышенностях Витязя и Мусаси и представлены оливин-тироксеновыми базальтами и гиалобазальтами, пироксен-плагиоклавовыми андезобазальтами, долеритами, пироксеновыми и рогово-

обманковыми андезитами, андезидицитами, агломератовыми и псаммитовыми туфами основного и среднего состава, эффузивами и лавобрекчиями риолитов, туфами кислого состава. В целом среди вулканического комплекса преобладают грубосломочные туфы смешанного состава. Время формирования вулканитов на основании радиоизотопного анализа андезитов (24–53 млн лет, калий-argonовый метод) соответствует интервалу эоцен—ранний миоцен (Евланов, 1978). По набору пород (резкому преобладанию туфов смешанного состава) и возрасту вышеписанные вулканиты соответствуют олигоцен-нижнемиоценовым зонам зеленых туфов Японии и сходны с шелочными вулканитами юго-восточной части Японского моря.

Миоценовая толща (N_1) в разрезе акустически проницаемого чехла выделяется практически на всей площади акватории. Она согласно перекрывает верхнепелитовые юшечные отложения и трангрессивно причищается к образованием акустического фундамента. С вулканитами образованиями того же возраста, по-видимому, имеет фашиальные переходы. Макромальтина общая мощность толщи в Западно-Япономорской 1 км.

Состав нижней части толщи определен драгированием на западном склоне хр. Окусири. В базальной части, на контакте с акустическим фундаментом обнаружены конгломераты. Галька из конгломератов имеет размер 8–15 см, окатана и полукатана. Представлена кислыми эфузионными, их туфами, кварцитами, кварцевыми порфирами и ороговицистый, плохо сортированный песчаник. В выше конгломератов залегают алевритистые аргиллиты, содержащие линзовидные прослои алевропесчаников с большим количеством мелкого растительного детрита. В аргиллитах обнаружен палинспектр, содержащий органические, баритовые, ильмовые, сосновые, таксодиевые и др. По мнению М. Т. Горюховой, палинфлора характеризует умеренный и влажный климат и сходна с палинфлорой конца олиоцена — первой половины миоцена восточного сектора Азии.

Среднемиоценовые отложения выявлены драгированием в Южно-Татарской зоне на возвышенностях Витязя и Аллатова и на материковом склоне. Они представлены известковистыми алевролитами, туфитами, туфодиатомитами и глинами, в том числе и диатомовыми. В породах встречаются обломки (гравий) андезитов, андезибазальтов, кислых фузинов, вулканического стекла и пемзы, зерна глауконита.

Состав палинфлоры свидетельствует об умеренном влажном климате и сходен с палинспектром верхнемиоценовых отложений о-ва Сахалин и Хоккайдо. В туфитах, кроме палинфлоры, обнаружены спикулы губок, остатки радиолярий и диатомей. Диатомовые близки к среднемиоценовой ассоциации.

Верхнемиоценовые отложения на западном склоне хр. Окусири и на возвышенности Аллатова представлены глинами, диатомовыми глинами, глинистыми диатомитами, диатомитами. Комплексы диатомовых аналогичные верхнемиоценовым из отложений шельфа и материкового склона Приморья.

Неогенические базальты ($\beta N-Q_1$) слагают отдельные вулканические постройки. Они обнаружены на отдельных участках и драгированы южнее возвышенности Витязя. По составу относятся к трахибазальтовой серии, распространенной южнее, в Центральной котловине Японского моря, и сходны с базальтами известково-щелочной серии островных дуг. По данным радиогеологических определений калий-argonовым методом (18–35 млн лет) время формирования базальтов соответствует миоцену — плиоцену.

На дне моря четвертичные отложения представлены главным образом терригенные и морскими осадками. В прибрежной зоне материкового шельфа бурением установлено наличие погребенных континентальных образований. Четвертичные отложения развиты практически на всей плошади дна, за исключением отдельных участков в районе подводных возвышенностей.

Отложения предположительно нижнего звена представлены элювиальными и элювиально-делювиальными образованиями, вскрытыми буровыми скважинами в заливах и бухтах. Мощность их изменяется от первых метров до десятков метров. Так, в бухте Пластун на вулканитах дношних пород и галечно-шебнистые отложения с супесчаным заполнителем. На гранитоидах развита дресва и супесь с дресвой. Мощность отложений 2–6 м.

Среднее звено (?). Аллювиальные образования этого возраста разбросаны в переуглубленных долинах перед устьями рек в прибрежной части приморского шельфа. Представлены песчано-галечными, гравийно-никлическими и песчаными отложениями мощностью не более нескольких метров. Их возраст принимается условно среднепелитоценовым на том основании, что они залегают на элювиально-делювиальных образованиях и перекрыты фаунистически окартизованными осадками верхнего плистоцена [62].

Верхнее звено. Отложения этого возраста перекрыты, как правило, более молодыми голоценовыми осадками. Лишь на шельфе Приморья непосредственно на поверхности дна закартированы верхнепелитоценовые галечники. Кроме того, отдельные позначительные по площади выходы верхнепелитоценовых отложений встречаются на крутых участках материкового и острогового склонов и на подводной возвышенности Витязя. Поскольку границы этих выходов точно не установлены, на карте они показаны вместе с голоценовыми осадками как нерасчлененные.

Аллювиальные образования вскрыты бурением в палеодолинах рек прибрежной зоны материкового шельфа. Они представлены галечно-шебнистым и галечным материалом с песчаным заполнителем. Мощность их 4–5 м.

Лагунные илы, глинистые алевриты с прослойми торфа и бурого суглинка вскрыты скважинами на шельфе Приморья на глубинах до 100 м в северной части площади. Мощность образований — первые метры. Из морских отложений верхнечетвертичного возраста, вскрытых грунтовыми трубками в более глубоководных частях акватории, следует отметить терригенные осадки отстойного и лавинного (турбидитового) генетических типов. Последние встречены у основания материкового и островного склонов. Это переслаивающиеся прослой песков, алевритов и глин серого и голубовато-серого цвета. Мощность прослоев от первых миллиметров до десятков сантиметров. Границы между ними как четкие, так и размытые. Отстойные отложения представлены глинами и алевритами серого, голубовато-серого цвета. В их составе содержится до 5 % Fe и до 9 % аморфного SiO_2 , количество CaCO_3 не превышает 10 %.

На поверхности дна материкового шельфа закартированы значительные по площади выходы морских отложений и дина мицеского волноногого генетического типа (m_w III), которые формируют так называемый «галечниковый пояс Приморья». Отложения представляют гальку размером 3—6 см, но встречаются и валуны размером до 20 см. В целом крупность материала уменьшается по мере удаления от берега. Петрографический состав галечников характеризуется преобладанием кислых эфузивов (риолитов, фельзитов), подчиненную роль играют окварцованные осадочные и вулканогенно-осадочные породы, граниты, диориты. По существующим представлениям, галечники сформировались в берговой зоне во времена низкого стояния уровня моря, однако в их составе велика доля и материала ледового разноса. Этот материал встречается как на поверхности, так и в разрезе верхней части отложений практически на всей изученной площади морского дна, но особенно много его на материковом шельфе, где в ряде случаев формируются бронирующие покровы толщиной в один слой гальки. Такие покровы могут залегать на алевролинах, алевритах и других мелкобломочных и глинистых осадках голоценового возраста.

Ранее считалось, что галечники залегают на шельфе в виде параллельных берегу полос, маркирующих древние береговые линии определенных батиметрических уровней. Однако работы последних лет показали, что галечники образуют площадные скопления. Возраст их установлен по аналогии с более южными районами приморского шельфа, для которых выполнены радиоуглеродные определения [15, 38]. Согласно этим данным, радиоуглеродные отложения, залегающие на глубинах свыше 45 м, имеют верхнеплейстоценовый возраст, а в более мелководных частях шельфа — голоценовый.

Мощность толщи верхнеплейстоценовых отложений на материковом шельфе, по данным сейсмоакустики, составляет 10—15 м в прибрежной части и увеличивается до 30—40 м вблизи бровки шельфа. На островном шельфе их мощность первые десятки метров, в глубоководных частях Татарского пролива она не установлена. Возраст толщи определен как верхнеплейстоценовый на основании изучения диатомовой фауны [62].

Верхнее и современное звенья нерасчлененные. Отложения этого возраста представлены морскими осадками преимущественно терригенного ряда, лишь на подводной возвышенности Мусаси закартированы биогенные образования [61, 62].

О теплоожиженный динамического волнового и потокового генетического типа (m_w III—IV) развиты на материковом шельфе и в юго-восточной части акватории, на склонах возвышенности Мусаси и вблизи о-ва Ребун. На шельфе Приморья эти отложения

представлены несортированными глинисто-алевропесчаными связанными осадками (по классификации ТОИ ДВНЦ-минеритами) зеленовато-серого цвета с примесью мелкой гальки и гравия, количество которых может достигать 15—20 %. Обычна примесь ракушечного дентрия. Как правило, они тонким (20—40 см) слоем залегают на подстилающих галечниках, гравийно-галечниковых отложениях, алевроглинах. В районе мысов Золотой—Крестовоозовиненский среди этих осадков выделяется полоса мелких и средних песков шириной 10—12 км, которая протягивается параллельной берегу на глубинах около 100 м. По составу алевропесчаной составляющей этих отложений их можно отнести к полевошпатовым грауваккам.

На островном шельфе и на возвышенности Мусаси отложения этого генетического типа представлены серыми плохо сортированными алевритовыми песками грауваккового состава, сложенными обломками пород (до 53 %), полевым шпатом (22—31 %) и квартцем (16—19 %). В составе минералов тяжелой фракции доминируют ромбические пироксены, роговая обманка и эпидот, встречаются также лейкосен, монохлинный широкс, магнетит, циркон. На возвышенности Мусаси в осадках в заметных количествах присутствуют раковины фрагментинифер.

Отложение озерного и элафогенного генетического типа в нераصلенные (типов m_{pa}, el III—IV) закартированы на уплощенной поверхности возвышенности в глубинах около 1300 м. Отстойная составляющая осадков представлена глинями и алевролинами серого, голубовато-серого цвета. Элафогенная составляющая, сформировавшаяся за счет разрушения подстилающих конгломератов до четвертичного возраста, представлена гравием и галькой. Галька мелкая, сложена кислыми вулканитами, андезибазальтами, окварцизованными породами. В составе отложений тонкообломочный и глинистый материал, как правило, преобладает над грубообломочным. Секретная грунтовыми трубками мощность этих образований колеблется от 10—15 до 180 см.

Биогенные
типа ($m_{\text{III}}-I$)
Мусаси. Это средне-м
с примесью вулкано
ческого глауконита, и

шельфе, по данным сейсмокуплий, составляет 10—15 м в прибрежной части и увеличивается до 30—40 м вблизи бровки шельфа. На островном шельфе их мощность первые десятки метров, в глубоководных частях Татарского пролива она не установлена. Возраст толщи определен как верхнеплейстоценовый на основании изучения диатомовой фло-ры [62].

Верхнее и современное звенья нерасщепленные. Отложения этого возраста представлены молекулярными осадками преимущественно ряда; лишены на подводной возвышенности Мусаши закартированы биогенные образования [61, 62].

Отложения динамического волнового и потокового генетического типа (m_4 III—IV) развиты на материковом шельфе и в юго-восточной части акватории, на склонах возвышенностей Мусаси и вблизи о-ва Ребун. На шельфе Приморья эти отложения

фракции 2:1, сортировка умеренная. Осадки сложены обломками пород (29—45 %), полевыми шпатами (33—50 %) и кварцем (17—26 %), по составу их можно отнести к полевошпатовым грауваккам. В прибрежной зоне отмечаются повышенные количества минералов тяжелой фракции (до 16 %), мористее их содержание снижается до 1,5 %. В составе тяжелой фракции преобладают ромбические пироксены, эпидот, амфиболы, ильменит.

О т л о ж е н и я о т с т о й н о г о г е н е т и ч е с к о г о типа ($m_{\text{ru}} \text{IV}$) представлены алевролинами и глинами. Алевролинны покрывают основание материкового и островного склонов, а глины — большую часть площади дна Татарского пролива. Это вязкие пластичные осадки серого, иногда с зеленым или голубым оттенком, цвета, монотонные, нередко с запахом сероводорода. Глины сложены преимущественно частичками пелитовой размельченности (80—85 %), алевроловых частиц 12—17 %, песчаных — менее 2 %. В алевролинах пелитовая фракция составляет в среднем 63 %, алевролитовая 33 % и песчаная 4 %. Как правило, встречаются единичные мелкие гальки и гравийные зерна. Глинистые минералы представлены монтмориллонитом, гидрослюдой и хлоритом. В собственно глинах содержится до 19 % аморфного SiO_2 , до 4,5 % Fe, до 4 % CaCO_3 и до 2,2 % органического C.

О т л о ж е н и я д и на м и ч е с к о г о и о т с т о й н о г о г е н е т и ч е с к и х т и п о в н е р а с ч л е н е н и и ($m_{\text{du}}, m_{\text{ru}} \text{IV}$) в виде узкой полосы развиты на материиковом и островном склонах. Это глинистые алевриты, которые, по существу, являются переходными промежуточными разностями между песчано-алевролитовыми осадками шельфа, формирующимися в динамической активной водной среде, и тонкообломочными и глинистыми отстойными отложениями глубоководных частей акватории.

Мощность голоценовых отложений в прибрежной части акватории, заливах и бухтах может достигать 30 м. Мористее она быстро уменьшается и уже на глубинах 60—70 м не превышает 1 м. На материиковом и островном склонах их мощность составляет первые десятки сантиметров, а местами голоценовые осадки отсутствуют полностью. В центральной части Татарского пролива вскрытая прямоточными трубками мощность голоценовых глин 2—2,5 м, действительная же их мощность не установлена. Возраст голоценовых отложений определен по результатам диатомового и спорово-пыльцевого анализов [62].

ТЕКТОНИКА

Тектоника региона подробно охарактеризована в работах Н. А. Беляевского, И. И. Берсенева, П. Н. Кропоткина, Л. И. Красного, Н. Г. Мельникова и Л. А. Изосимова, А. О. Мазаровича, Ю. Н. Олейникова, С. А. Салюна, А. М. Смирнова и многих других исследователей [5, 6, 8, 32, 40, 43, 59].

Территория охватывает значительную часть Сихотэ-Алинской складчатой системы, входящей в Амурскую [18] или Дальневосточную [19] складчатую область Тихоокеанского подвижного пояса. Особый характер

имеют структуры в пределах акватории Японского моря. Рассматриваемый фрагмент Сихотэ-Алинской складчатой системы гетерогенен по своему тектоническому строению. Здесь выделяются слегка крупные структурные элементы: Стрельниковский, Центрально-Сихотэалинский и Прибрежный антиклиниории, Вяземский и Восточно-Сихотэалинский синклиниории. Восточно-Сихотэалинский вулканический пояс, Аланский наложенный проти и наложенные впадины или их части — Верхнебикинская, Среднебикинская, Среднеамурская и др.

Наиболее крупной положительной структурой является Сихотэалинский антиклиниорий, который с соседними структурами почти

на всем протяжении соединяется по зонам разломов. Гравитационное поле, по данным Г. З. Гуария, положительное. Простирания локальных гравитационных аномалий от северо-западных до северо-восточных, отмечаются и широтные. Магнитное поле близко к нормальному. Положительные локальные максимумы обусловлены, по данным Г. К. Шило и В. В. Кучука (1965), интрузиями основного состава. Мощность континентальной коры около 30 км. В пределах антиклиниория в основном распространены позднепротерозойского (?) -палеозойским, позднепротерозойским (?) -палеозойским, позднепалеозойским и мезозойским, а также комплексами активизации: мезозойско-кайнозойским и кайнозойским (рис. 2).

Наиболее крупной положительной структурой является Центрально-Сихотэалинский антиклиниорий, который с соседними структурами почти на всем протяжении соединяется по зонам разломов. Гравитационное поле, по данным Г. З. Гуария, положительное. Простирания локальных гравитационных аномалий от северо-западных до северо-восточных, отмечаются и широтные. Магнитное поле близко к нормальному. Положительные локальные максимумы обусловлены, по данным Г. К. Шило и В. В. Кучука (1965), интрузиями основного состава. Мощность континентальной коры около 30 км. В пределах антиклиниория в основном распространены позднепротерозойского (?) -палеозойским, позднепалеозойским (?) -палеозойским, позднепалеозойским и мезозойским, а также комплексами активизации: мезозойско-кайнозойским и кайнозойским (рис. 2).

К первому комплексу условно могут быть отнесены метаморфогенные образования Хорского блока. Позднепалеозойско-мезозойским комплексом сложены основные структуры антиклиниория. Этот комплекс может быть разделен на два подкомплекса. Нижний подкомплекс, ставящий наибольшую глубоко эродированные срединные части антиклиниория, по формационному составу в свою очередь может быть расщеплен на два этажа. Нижний этаж сложен кремнисто-терригентой и кремнисто-вулканогенной спилит-диабазовой формацией карбона и нижней порции. Характерно наличие олистостромовых тел значительной мощности с большим количеством крупных олистолитов терригенных пород и известняков. Верхний этаж образован песчано-алевролитовой флишиоидной формацией верхней перми. С нижним подкомплексом связано проявление

блоках, среди структур нижнего и верхнего подкомплексов, расположаются фрагменты мезозойского геосинклинального комплекса и комплексов активизации.

Центрально-Сихотэалинский антиклиниорий осложнен складчатыми структурами более мелкого порядка, расщепленными протодельми и попечинами разломами. Описание структур приводится по материалам Ю. П. Размахнина, В. Н. Силантьева и др.

В антиклиниории образования позднепалеозойско-мезозойского комплекса смыты в крупные складки северо-восточного простирания ($40-45^\circ$), протяженностью $30-50$ км, редко до 100 км (междуречье Бикин—Магад) и шириной до $10-15$ км. Шарниры складок в большинстве погружаются на северо-восток. Складки узкие линейные, часто линейные, углы наклона крыльев от 30 до 80° , отмечается запрокидывание складок. В целом характерно веерообразное падение осевых поверхностей складок — юго-восточное на западном крыле и северо-западное на восточном [43].

В северной части антиклиниория в бассейне рек Бикин, Кагэн, Чукен, Хор, Матай преимущественно развит верхний подкомплекс (триас—юра), складчатые структуры которого осложнены разломами типа «конского хвоста» [6]. Складки узкие, часто запрокинуты на юго-восток и разорваны продольными взбросо-надвигами с участками залегания плоскостей под углами $15-20^\circ$. Часть складок приобретает почти меридиональное направление. Ширина складок до $4-5$ км. Крылья обычно осложнены изоклинальной складчатостью.

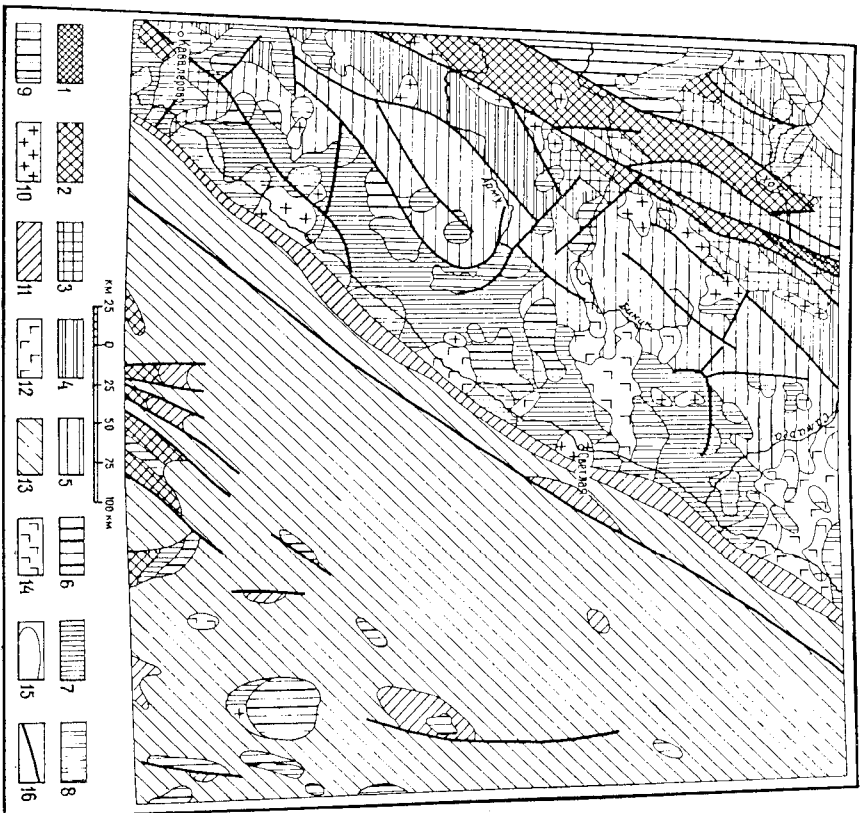


Рис. 2. Тектоническая схема. Составил Р. И. Соколов

1—5 — геосинклинально-складчатые комплексы: 1 — позднепротерозойско (?)-палеозойский; 2—3 — позднепалеозойско-мезозойский; 2 — нижний подкомплекс (карбон и пермь), 3 — верхний подкомплекс (триас и юра); 4 — нижний этаж (берниас и валанжин); 5 — верхний этаж (готерив, апт и альб); 6 — орогенный комплекс (септоман и турон ?); 7—14 — комплексы активизации: 7—10 — мезозойско-кайнозойской; 7 — нижний этаж (турон, коньяк и сантон), 8 — средний этаж (маастрихт и палеоцен), 9 — верхний этаж (оцен, олигоцен и нижний миоцен), 10 — гранитоиды; 11 — нижний этаж (кайнозойский); 11 — нижний этаж (мюденец), 12 — мюденовые базальты; 13 — верхний этаж (плиоцен—нижечетвертичное звено), 14 — плиоцен—нижечетвертичные базальты. 15 — геологические границы; 16 — крупные разломы

ние сложного интрузивного комплекса, включающего породы от гипербазитов до плагиогранитов.

Верхний подкомплекс, залегающий, по-видимому, с большим перерывом и структурным несогласием, приурочен к крыльям и участкам погружения шарира антиклиниория. Внизу подкомплекс сложен кремнистовулканогенно-терригенной формацией (триас—нижняя юра), а вверху (верхняя юра?) — существенно вулканогенной — субшелочных базальтов. Возможно, что базальтоиды слагают самостоятельный этаж.

На отдельных участках антиклиниория, обычно в узких тектонических

крязьях $70-80^\circ$, реже $30-40^\circ$, на западных — $20-50^\circ$. Характерна мелкая складчатость с общим запрокидыванием на юго-восток.

Стрельниковский антиклиниорий на юго-западе граничит с Алчансским прогибом, а на востоке по системе северо-восточного и меридиональных разломов соединяется с Центрально-Сихотэалинским антиклиниорием. Антиклиниорий сложен в основном кремнисто-вулканогенной формацией верхнего подкомплекса позднепалеозойско-мезозойского комплекса. Верхний подкомплекс и нижний этаж мезозойского комплекса располагаются, как правило, в узких тектонических блоках, образующих клавишную систему горстов и грабенов. Складки обычно узкие асимметричные, часто запрокинутые. Углы наклона слоев на крыльях $50-70^\circ$, в ядрах складок $20-40^\circ$.

Прибрежный антиклиниорий расположается в юго-восточной части территории. На западе ограничен Прибрежным разломом, сопровождаемым большим количеством надвиговых структур с опусканием на восток и юго-восток под углами $5-30^\circ$. Присутствуют чешуйчатые и местами покровные структуры. Восточная часть антиклиниория перекрыта комплексами мезозойской и кайнозойской активизации Восточно-Сихотэалинского вулканогенного пояса. Антиклиниорий характеризуется повышенными значениями силы тяжести и положительным магнитным полем. Мощность земной коры $20-25$ км.

Антиклиниорий сложен позднепалеозойско-мезозойским комплексом, нижний этаж которого (карбон—пермь) представлен кремнисто-терри-

теннай, а верхний (триас—юра) кремнисто-вулканической, терригенный и карбонатной (рифовой) формациями. На значительных площадях развит мезозойский комплекс (нижний мел), сложенный песчано-сланцевой формацией.

Складки узкие, протяженные, сложные, разбиты сбросами и надвигами. Длина складок 10—20 км, ширина 2—4 км, отмечается запирание складок к северо-западу. В мезозойском комплексе складки более простые, иногда брахиформные.

Основную часть территории занимает Восточно-Сихотэалинский синклиниорий. С соседними структурами часто сопрягается по разломам. Гравитационное поле неоднородно, но в целом отрицательное, с обширными областями локальных аномалий. Магнитное поле нормальное, осложенное на участках развития наложенных позднемеловых вулкано-структур, присутствием в разрезах эфузивов основного состава (бас. рек Кема, Самарга и др.). Мощность коры 30—35 км. Из-за плохой обнаженности и однообразия вещественного состава разреза, мощность которого оценивается в 18—20 км [18, 19], внутренне тектоническое строение синклиниория изучено слабо. В последние годы высказываются предположения о том, что структура синклиниория осложнена чешуйчатыми надвигами, образующими покровные структуры. В этом случае может оказаться, что мощность приводимого разреза нижнего мела завышена.

В юго-западной части синклиниория, по-видимому, обнажается верхний подкомплекс позднепалеозойско-мезозойского комплекса, который представлен преимущественно песчано-сланцевой формацией, иногда с кремнистыми породами триаса и юры. Аналогичный комплекс может быть обнаружен в бортовых частях синклиниория и в антиклинальных ядрах внутри синклиниория. Выполнен в основном образование геосинклинального мезозойского структурного комплекса, расположенного на два этажа. Выделение двух этажей внутри мезозойского комплекса во многих случаях условно, т. к. складчатые структуры однотипны, а несогласия между ними фиксируются, как правило, только в краевых частях синклиниория близи граници с антиклиниориями.

В нижний этаж объединены отложения берриаса и валанжина. На ряде участков между берриас-средневаланжинскими и верхневаланжинскими толщами отмечается трансгрессивное несогласие, что позволяет выделить два подэтажа. Нижний подэтаж образован, в основном, песчано-алевролитовой, иногда флишовой формацией. В бас. рек Самарга и Дальняя в разрезе выделяется формация базальтоидов субшелочного ряда. Местами в верхнем подэтаже преобладает алевролитовая формация. С нижним этажом связано внедрение интрузий хунгарийского комплекса.

Верхний этаж объединяет отложения гортерива, апта и альба. Этаж трансгрессивно, с перерывом, и, возможно, с небольшим угловым несогласием, залегает на нижнем. Весь этаж сложен преимущественно терригенными формациями. Внизу (гортерив—баррем) преобладает песчано-алевролитовая флишиодная формация, выше (апт и, возможно, частично альб) флишиодная, граувакко-флишиодная, турбидитовая и флишевая. Верхние части этажа (верхний альб) сложены песчано-алевролитовой флишиодной формацией. В бас. рек Самарга, Елинка, Гордеевка, Кема в составе этажа присутствует антезибазальтовая формация. На отдельных участках (бассейн среднего течения р. Бикин и др.) предполагается, что между верхним альбом и нижележащей частью разреза существуют трансгрессивные соотношения, а бас. р. Рудная — угловое несогласие. Эта часть разреза (верхний альб — возможно низы сеномана — лужинская свита) представлена морской молассой и терригенным флишем.

Отложения Восточно-Сихотэалинского синклиниория подверглись

сильной складчатости в конце альба или в сеномане. Этими движением были захвачены и соседние антиклинальные и синклинальные зоны. В результате метовой складчатости миогеосинклинальные отложения были смяты в складки преимущественно северо-восточного простирания и только на широком участке к югу от р. Бикин наблюдалось разворот складок к востоку, вплоть до широтных, что обусловлено, по мнению В. И. Надежкина и др. (1981), наличием приподнятого массива, отражающегося в аномальном магнитном поле и поле силы тяжести. На южной границе зоны близширотных складок устанавливается гравитационная ступень, к северу от которой фиксируются отрицательные значения поля силы тяжести. В пределах синклиниория преобладают прямые, узкие, иногда асимметричные складки с преимущественным направлением СВ 20—40°. Протяженность крупных складок до 70—100 км (Валинку-Самаргинская синклиниаль), преобладают складки яйцевидной 15—30 км. Ширина обычно не превышает 10 км. Реже встречаются сундукообразные и корытообразные складки. В восточной части осевые площадки часто наклонены на юго-восток. В северной части синклиниория наблюдается запрокидывание складок на юго-восток. Углы наклона крыльев от 40 до 90°. Складки осложнены продольными и поперечными разрывами, а также более мелкой складчатостью, вплоть до микроплойчатости. В центральных частях крупных синклинальных складок углы наклона уменьшаются до 20—40° (Сагда-Джагласинская синклиниаль).

В Вяземском синклиниории в мезозойском комплексе также выделяются два структурных этажа: нижний — берриас-валанжинский и верхний — гортерив-альбский, смяты в одинаковые линейные складки протяженностью в 6—8 км, крылья, как правило, осложнены разломами. Углы наклона слоев на крыльях от 50 до 90°, в ядрах от 10 до 40°, складки часто асимметричны и запрокинуты на северо-запад.

Алчанская меловая прогиб с севера, востока и юга ограничен разломами. Характеризуется склонодифференцированным положительным аномальным магнитным полем. Основание прогиба сложено триасово-юрскими и, возможно, более древними, включая протерозойские, образованиями. Максимальная глубина прогиба, по гравиметрическим данным, около 1400 м. В пределах прогиба выделяется верхний этаж мезозойского комплекса. Этот этаж внизу (альб) представлен андезит-алевролитовой, а вверху (альб—сеноман) песчаной молассоидной формацией, разделенной географическим несогласием. Этаж перекрыт комплексом кайнозойской активизации, отделенного от нижележащего угловым несогласием и большим временным перерывом. Комплекс представлен андезитовой формацией.

Складчатость прясово-юрского подкомплекса линейная с углами падения крыльев от 50 до 80°. В меловом этаже складки брахиформные, в бас. р. Змеиная брахиосинклиният имеет размер 10×45 км. Углы наклона на крыльях до 50°, в центральной части складки — 10—30°.

В процессе развития Сихотэ-Алинской складчатой системы неоднократно проявлены процессы активизации, захватывавшие ранее консолидированные участки. С палеозойской активизацией предполагается поднятие ультраграфитовых, мафитовых и кислых магм в зонах Центрального Сихотэ-Алинского и Арсеньевского разломов и, возможно, гранитизация и метаморфизм в Хорском тектоническом блоке.

К структурам мезозойской-кайнозойской активизации отнесен Восточно-Сихотэалинский вулканический пояс, расположенный в восточной прибрежной части территории. Пояс наложен на складчатые сооружения дополнительного возраста и ориентирован косо по отношению к их простианию. На востоке пояс ограничен Восточно-Сихотэалинским (Приморским) швом. Гравитационное поле в целом положи-

тельное, а магнитное — отрицательное. Магнитное поле имеет мозаичный рисунок, пилообразный особенно на участках развития кайнозойских базальтов. В продольном направлении пояс неоднороден; в нем выделяются поперечные блоки, ограниченные зонами повышенной трещиноватости (Иманский, Бикинский, Анинский и др.) и отличающиеся между собой характером и строением фундамента и особенностями вулканической деятельности.

В пределах Восточно-Сихотэалинского вулканического пояса и на отдельных участках вне его распространены мезозойско-кайнозойский и кайнозойский комплексы активизации. Эти комплексы подразделяются на ряд более мелких структурных единиц, отделенных временными перерывами в проявлении вулканической деятельности и отличающимися составом вулканических продуктов и их пространственным размещением.

В мезозойско-кайнозойском комплексе выделено два подкомплекса. К нижнему подкомплексу отнесены образования петрозуевской и синанчинской свит, накапливавшихся в крупных, но локально развитых вулкано-тектонических депрессиях. Подкомплекс сложен внизу осадочно-вулканогенной Молассовой формацией, а вверху — андезитовой. Воздействие подкомплекса может быть связано с орогенным этапом развития Сихотэ-Алинского складчатой системы. По времени этому подкомплексу соответствует становление нижнеамурского интрузивного комплекса.

К верхнему подкомплексу отнесены основные массы вулканогенных пород, слагающих вулканический пояс. В этом подкомплексе условно выделены три этажа, соответствующие трем крутым вулканическим этапам развития.

Нижний этаж — главный — занимает обширные площади в пределах пояса и слагает отдельные вулканические структуры вне его. От нижнего подкомплекса отделен временным перерывом, в который разрушились ранее образовавшиеся вулканические постройки. Этаж представлен риолитовой формацией приморской серии с преобладанием игнимбритов. Характерны крупные стратовулканы и вулканы трещинного типа. С этажом связано образование басалтского интрузивного комплекса.

В средний этаж включены раннепалеогеновые образования самаргинской и богословской свит и их аналогов. От нижнего этажа он отделен перерывом в вулканической деятельности и эрозией предыдущих вулканических структур. Вулканизм был связан с этапом образования новых депрессий. Характерны андезитовые и риолитовая формации. Последняя в значительной степени представлена туфоловами, приуроченными к стратовулканам. Широко проявлены интрузии приморского комплекса от габбро до гранитов, при преобладании гранодиоритов.

Верхний этаж отделен от среднего небольшим временным перерывом и представлен андезитовой и риолитовой формацией кузнецковской и брусиловской свит. Этаж распространен локально, в основном в бас. рек Зеркальная (на юге), Максимовка, Соболевка, Кузнецова и др. (на севере). Для этажа характерен контрастный состав пород — от базальтов до риолитов, с преобладанием эфузивной фации. С этажом связано проявление близповерхностного интрузивного магматизма прибрежного комплекса в основном в субвуликанических фациях.

За пределами вулканического пояса верхний этаж существует в строении Верхне- и Среднебикинской, Верхнеамурской и других межгорных владин. Здесь он сформирован континентальной угленосной молассой. Комплекс кайнозойской активизации сложен платоизальтами шуфранской и совгаванской свит, образовавшихся за счет деятельности вулканов, близких к шитовым, приуроченных к разломам близиоригинального и северо-восточного направлений. В грабенобразных структу-

рах совместно с базальтами, обычно предшествуя им, в состав комплекса входят континентальные молассовые толщи.

Внутренняя структура Восточно-Сихотэалинского пояса очень сложна и до конца не изучена. Кроме крупных линейных разрывов, контролировавших проявления вулканализма в целом, в пределах пояса широко проявлены локальные специфические структуры, характерные для областей вулканической деятельности. Наиболее широко в вулканическом поясе развиты кальдеры проседания и вулкано-тектонические депрессии, характеристика которых приводится по материалам В. И. Рыбалко и др. (1986).

Кальдеры проседания образуются в результате дефицита массы магматического очага под вулканической постройкой. Для этих структур характерны кольцевые и лугобобразные разломы, по которым вулканические постройки или их части опущены по отношению к окружающему фундаменту. Такие кальдеры могут объединять группу сближенных вулканов, имевших единий магматический очаг. Кальдеры проседания отличаются относительно пониженным значением силы тяжести, а зоны опускания сопровождаются эструдизией купола, а в кольцевых разломах дайки. Амплитуды опускания определяются в 300—500 м. Простые очаговые кальдеры имеют поперечник 20—30 км (Богословская и др.) и обычно ограничены лугобобразными, реже кольцевыми ступенчатыми разломами с крутым центроклинальным наклоном плоскостей смесятеля. Характерны опирающиеся разломы и разломы внутрикальдерные. Отмечается центриклинальное падение пород по периферии, горизонтальное — на удалении и периклинальное (иногда) — в центре. До половины объема пород в кальдерах занимают игнимбриты и туфоловы. В центральных частях обычны грубоблочные туфы. В центре кальдер распологается один или несколько неккив и якструзивных куполов, а по периферии — кольцевые интрузии. Амплитуда проседания до 800 м. Сложные очаговые кальдеры характеризуются большими размерами — до 40—50 км в диаметре и наличием дополнительных внутренних кальдер или поднятий (Бриннеровская, Куруманская и другие кальдеры).

Более крупными структурами являются вулкано-тектонические депрессии шириной в 10—20 км при протяженности 30—40 км и более. Практически это области проседания, ограниченные ступенчатыми прямолинейными разломами и выполненные вулканогенно-осадочными породами небольшой мощности, а мощность выплескающих вулканических пород, обычно кислого состава, превышает 2000 м. К зонам разломов, ограничивающих депрессии, часто приурочены дайки, купола, штоки эструдизивных пород. Амплитуды опускания депрессий вдоль разломов достигают 2—2,5 км. В сложных депрессиях наблюдается присутствие многих вулканических кальдер проседания.

Кроме описанных структур, В. И. Рыбалко и др. (1986) в пределах вулканогенного пояса выделяют интрузивно-купольные, а вблизи побережья Японского моря — гравитационно-оползневые структуры, однако они еще плохо изучены.

Большое значение в тектонике района имеют разрывные нарушения,

среди которых наиболее крупными и доложившими являются разломы северо-восточного простирания и некоторые поперечные, влияющие на расположение бассейнов осадконакопления и изменение фаций внутри них.

Наиболее крупным доложившим разломом является Центральный Сихотэ-Алинский, выделенный Н. А. Беляевским и Ю. Я. Громовым [5] и в дальнейшем изучавшийся многими геологами. Детально разлом описан Б. А. Ивановым [32]. В пределах территории разлом юго-западной части является границей между Центрально-Сихотэалинским антиклиниорием и Восточно-Сихотэалинским синклиниорием. Севернее Тигрика он рассекает антиклиниорий. Разлом хорошо выражен морфологически в рельфе, к нему приурочены прямолинейные отрезки рек Перевальная, Дальняя и Хор. В аномальном магнитном поле и поле силы тяжести выражен слабо. Представлен зоной сближенных разломов, иногда образующих клины (Хорский клин). Ширина зоны разломов, зон дробления, брекчирования, катаклаза, милонитизации, окварцевания достигает нескольких километров. Зона нарушения сопровождается опициальными разрывами, отходящими от главного пологого угла. В северо-восточной части разлом расщепляется, образуя структуру типа «конского хвоста». На разных участках плоскости отдельных разрывов зоны наклонены на северо-запад или юго-восток под углами 70—80°. Заложение разлома как глубинной структуры, по-видимому, произошло в конце позднего палеозоя на границе палеозойских структур и юрско (?) раннемелового многосинклинального прогиба. Неоднократные вертикальные и горизонтальные подвижки в зоне разлома происходили до позднего палеогена, а местами и позднее. Разлом определяется как левосторонний свив с горизонтальным смещением от 80 до 150 км [32]. Амплитуды вертикальных смещений различны и достигают местами 3 км. Зона разлома магмопроницаема. К ней приурочены многочисленные палеозойские и мезозойские интрузии разного состава.

Одним из наиболее важных оперяющих разломов является Дальнинский (Тунганинский), по которому в бас. р. Дальняя антиклиноприй граничит с синклиниорием. Разлом выражен зоной дробления, брекчирования и милонитизации шириною до 600 м. К зоне приурочены даики фельзитов, андезитов. В гравитационном поле разлом выражается ступенью. Севернее разлома значения поля положительные, южнее — отрицательные. Падение плоскостей смещителей на северо-запад под углом 50—70°.

В северо-западной части территории расположен Арсеньевский (Даубихинский) разлом (по В. И. Надежкину и др., 1981, — Тахалинский), ограничивающий Амурский прогиб и Стрелниковский синклиниорий от Центрально-Сихотэалинского антиклиниория. Разлом характеризуется интенсивными магнитными аномалиями, особенно на участках распространения интрузивных пород основного состава. Разрыв В. М. Чмыревым трактуется как налив с падением отдельных плоскостей на юго-восток под углами от 25 до 40°. Отдельные мелкие разломы вертикально. Общая мощность зоны дробления, катаклаза и милонитизации около 1000 м.

Крупным разломом является Прибрежный шов, разделяющий Восточно-Сихотэалинский синклиниорий и Прибрежный антиклиниорий. Кроме круговых разрывов здесь фиксируются наливы (бас. рек Зеркальная, Рудная и др.) с падением плоскостей смещителей на восток и юго-восток под углами до 30°.

Кроме указанных, на территории широко распространены более мелкие разломы, относящиеся к сбросам, сбросо-сдвигам, взбросам и надвигам. Простирание их северо-восточное, меридиональное, северо-западное и широтное. Предполагается наличие большого числа надвигов в пределах крупных синклиниорных и антиклиниорных структур, трактуемых иногда как области скучивания.

Недостаточно изучены ослабленные зоны широтного простирания, влияющие на строение бассейнов осадконакопления, а в постескладчатый период на расположение вулканических полей и депрессий. Наиболее четко обособляется Бикинская зона широтных дислокаций, описанная Э. П. Изюмом (1966), М. А. Фаворской и др. (1969). Зона хорошо выражена в гравитационном и магнитном полях. Предполагается наличие под зоной приподнятого блока палеозойского фундамента.

По данным И. И. Берсенева и В. Л. Беверхнего, в пределах акватории Японского моря выделяются: Приморская материковая струпинь, Западно-Япономорский прогиб, возвышенности Южно-Татарского поднятия, северная часть Центральной котловины и хр. Окусири, входящий в состав Хоккайдо-Сахалинского бордерленда. Все перечисленные структуры, кроме последней, имеют северо-восточное простирание, параллельное сихотэ-алинидам. Хребет Окусири ориентирован в субмеридиональном направлении в соответствии с преобладающим простиранием структур Хоккайдо-Сахалинской складчатой зоны.

По данным ГСЗ, земная кора Приморья и о-ва Хоккайдо относится к континентальному типу [25]. Кору южной части Татарского пролива следует, по-видимому, считать субконтинентальной, поскольку между «базальтовым» и седиментным слоями здесь залегает слой с «гранитными» скоростями сейсмических волн. В восточной части пролива он имеет мощность около 5 км и характеризуется скоростями 5,0—5,7 км/с, в западной его мощность лежит в интервале 5—10 км, скорости — 6,0—6,5 км/с (В. М. Ковылин, 1973). «Гранитный» слой отсутствует лишь в Центральной котловине между возвышенностью Витязя и хр. Окусири. Указанные разнотипные блоки земной коры разделяются зонами глубинных разломов: Восточно-Приморской и Северо-Япономорской (последняя расположена южнее рассматриваемой области). С первой связаны участки резкого повышения скоростей продольных сейсмических волн у подошвы границы Моко. Положительные магнитные аномалии и остаточные аномалии силы тяжести. Магнитово-зумущающие и гравитирующие объекты, соответствующие указанным аномалиям, обычно интерпретируются как интрузивные тела основного иультрабазового состава, залегающие на глубинах от 4 до 25—30 км (М. Л. Красный, 1969; Р. Г. Кулинич и др., 1974). С Восточно-Приморской зоной связан тепловой поток (Ю. В. Шевалдин, 1975) и ряд эпицентров землетрясений с глубиной очага 300—400 км (В. Л. Безверхий, Н. Г. Сушкин, 1980).

В пределах указанных структур выделяются те же возрастные структурно-формационные комплексы, что и на суще, но внутренняя структура их пока не изучена.

ГЕОМОРФОЛОГИЯ

Рельеф рассматриваемого региона делится на две крупные категории: субаэральный и субаквальный. Для субаэрального рельефа характерно преобладание денудационных и эрозионно-денудационных процессов на фоне длительных, преимущественно восходящих движений. Для субаквального рельефа существенные процессы морской аккумуляции и абрации на фоне дифференцированных исходящих движений.

Морфоструктурные особенности региона, обусловленные его неотектническим режимом, определяют главнейшие черты рельефа как суши, так и морского дна.

Субаэральный рельеф

В континентальной части региона, на крайнем северо-западе, расположена низкая аккумулятивная равнина, образующая современное положение Среднеамурской грабен-синклинальной депрессии. На структурно-геоморфологической схеме (рис. 3) представлен только юго-восточный край этой депрессии. Депрессия граничит с предгорьями Сихотэ-Алиня, особенностю рельефа которых является сочетание низких хребтов-горстов с владинами-грабенами. Грабены в своей совокупности образуют протяженную рифтогенную систему, которая не только обрамляет на периферии Среднеамурскую депрессию, но и расположена в основании ее южного чехла.

Горное сооружение Сихотэ-Алиня в морфоструктурном отношении об разовано совокупностью тесно сближенных изометрических сводово-блочных поднятий, достигающих высоты 200—250 м. Структура отдельных сводов подчеркивается расположением речных долин и местных хребтов — водоразделов. Их ориентировка нередко подчиняется радиально-концентрическому плану, характерному для поднятий, развивающихся в условиях длительного вздымания.

В распределении геоморфологических категорий существенное значение имеют и крупные разломы. Так, Центрально-Сихотэалинский разлом обуславливает резкую орографическую границу, к западу от которой преобладает низкогорный рельеф, а к востоку — среднегорный. Зона Приморского разлома предопределяет простирание и прямолинейность континентального склона, шельфа и береговой линии. Зоны других разломов, в том числе и концентрических, контролируют размещение внутригорных впадин, отдельных хребтов и распространение вулканогенного рельефа.

Денудационный рельеф обеляет склоны горных гряд и хребтов, приводраздельные выровненные поверхности, поверхности выравнива-

ния, приуроченные к периферии межгорных и внутргорных впадин и т. д. (рис. 3). В процессе орогенного развития территории отчетливо выявилась структурно-литоморфная преодолеленность склонов, на шедшая отражение в их морфологии. Так, на крупных граничных масивах формируются слабовыпуклые склоны, крутизна которых меняется от $10-15^\circ$ в верхней части до $25-35^\circ$ — в нижней. Соединяясь в приводораздельной части, они обычно образуют куполоидные вершины и ровные, почти плоские, седловины. Склоны, расчленяющие мел-палеогеновые эфузивы, окружают остановые возвышенности с абсолютными отметками, превышающими 1000 м. Вершины таких возвышенностей уплощенные или конусообразные, склоны — крутые (до $30-40^\circ$), часто покрытые осипьями.

Выровненные поверхности на вулканитах и в обрамлении депрессионных структур имеют различную природу. В первом случае — это поверхности, развитые на слаборасчлененных эфузивах мел-палеогенового возраста, где элементы голывовой пластины сочетаются с первоначально уплощенным рельефом вулканических покровов. В обрамлении депрессий развиты поверхности выравнивания, синхронные накопления осадочных образований в самих депрессиях. Наиболее значительные плоскости уплощенных водоразделов распространены лишь в центральной части региона, в бассейнах Самары, Единки, Катэн.

Структурно-денудационный рельеф представлен крутыми прямолинейными склонами, приуроченными к крупным разрывным нарушениям. Местами крутизна склонов достигает $35-40^\circ$. Наиболее отчетливо выражены в рельефе доложившие разломы, такие, как, например, Центрально-Сихотэалинский, позиция которого подчеркнута также куплоной гипсометрической ступенью и прямолинейными долинами рек Хор и Катэн.

Литоморфный рельеф представлен гребневидными приводораздельными частями некоторых хребтов, сложенных плотными эфузивными породами, чаще всего лавами.

Вулканогенный рельеф связан с кайнозойской вулканической деятельностью. В основном это обширные поля платообразальных плиоцен-четвертичного возраста, развитые вдоль побережья Японского моря и в среднем течении р. Бикин, а также небольшие участки базальтовых плато с отдельными вулканическими конусами в бассейне рек Хор и Б. Уссурка. Местами в рельефе хорошо выражаются лавовые плато миоценового возраста. Базальтовые плато бронируют древние водоразделы и перекрывают добазальтовые речные системы. Современная поверхность плато находится на высоте $700-1100$ м. Склоны плато всегда очень крутые и обычно рассечены многочисленными промонами, а основанием их расположаются крупноглыбовые осипы, иногда отмечаются оползни (бас. р. Зелинка).

Эрозионный и аккумулятивный рельеф представлен речными долинами, комплексом речных, озерных и прибрежно-морских террас.

Речные террасы распространены во всех долинах. Террасы восточного склона Сихотэ-Алиня имеют в общем большие относительные высоты, чем на западе территории, что связано с большей глубиной эрозионного вреза суши, приближенной к главному базису денудации — морю.

Раннечетвертичные террасы распространены в бассейне рек Пещеная, Кема, Единка и в других крупных долинах. Относительные превышения террас над днишами долин составляют $30-80$ м. Поверхность террас равная с уклоном до 7° в сторону водотока.

Среднечетвертичные террасы сохранились от размыва фрагментарно. Относительные превышения их составляют $20-40$ м. Уклон площадок в сторону русла достигает 5° . Тыловые швы описываемых террас, обычно перекрыты делювиальными шлейфами, выражены плохо.

Позднечетвертичные террасы сохранились в долинах таких крупных

рек, как Самарга, Елинка, Бикин и др., в виде непрерывных плющиков высотой 4—15 м над уровнем воды. Поверхность террас ровная, с уклоном в сторону русла 4—8°.

Современные террасы, представленные, как правило, аккумулятивными низкой и высокой поймами, встречаются во всех речных долинах. Низкая пойма имеет высоту 0,5—1,5 м, высокая — 1,5—2 м. Пойменные террасы обладают ровной поверхностью, иногда заболоченной с многочисленными старцами и протоками. Поймы рек, впадающих в море, в их устьевых частях сливаются с прибрежными озерно-болотными низменностями. Такая измененность шириной 0,5—5 км, например, расположена в устье р. Вентковка. От моря она отделена береговым валом. Высота ее над уровнем моря 4—5 м.

Озерно-аккумулятивные равнины представлены тремя разновысотными и соответственно разновозрастными уровнями.

Раннесчетвертичные равнины, расположенная в прибрежной части Среднеамурской депрессии, имеет абсолютную высоту 80—100 м.

Среднесчетвертичные аккумулятивные поверхности с абсолютной высотой 60—80 м развиты на ограниченной площади на западе территории в районе р. Подхоренок. Поверхность обычно ровная, заболоченная.

Озерно-аллювиальная равнина позднесчетвертичного возраста занимает значительную площадь на западе территории. Ее абсолютные высоты 60—70 м. Поверхность заболочена, прорезана редкими долинами.

Рельеф побережья Японского моря предопределен абразионно-аккумулятивной деятельностью. В основном он представлен скульптурными формами. Среди них наиболее представительны клиф высотой 100—250 м, бенч шириной 20—70 м.

Категории абразионно-аккумулятивных форм рельефа относятся морские террасы высотой 25 и 6—7 м соответственно средне- и позднесчетвертичного возраста.

К аккумулятивным формам относятся пляж и береговые валы, расположенные преимущественно вдоль бухт и заливов.

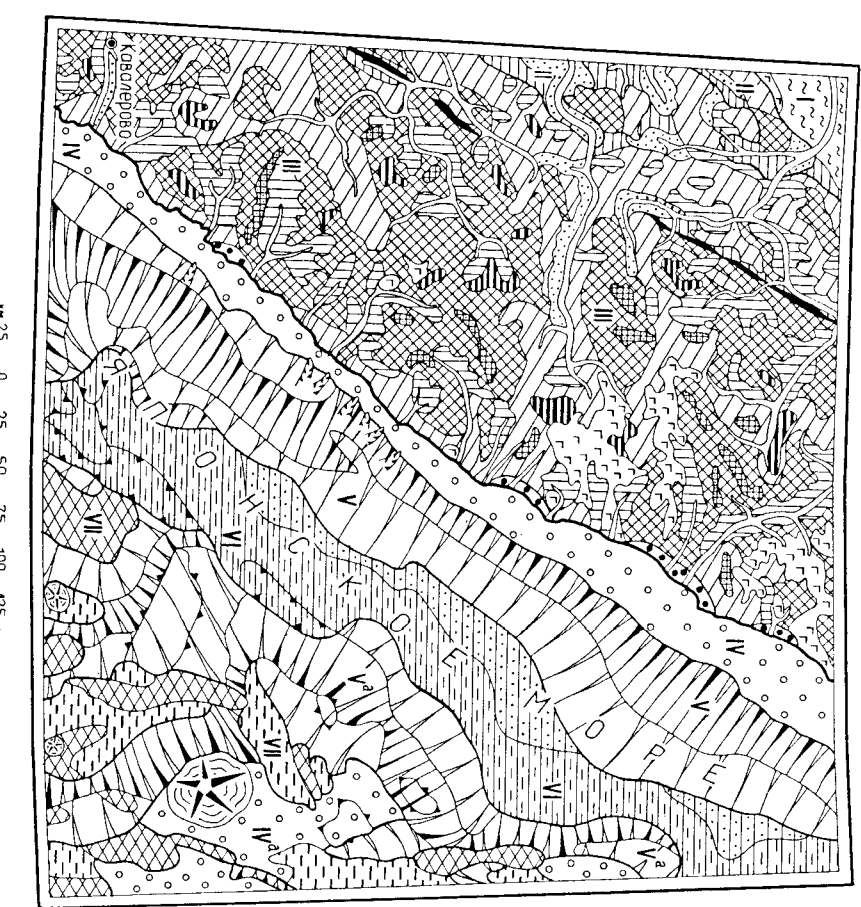
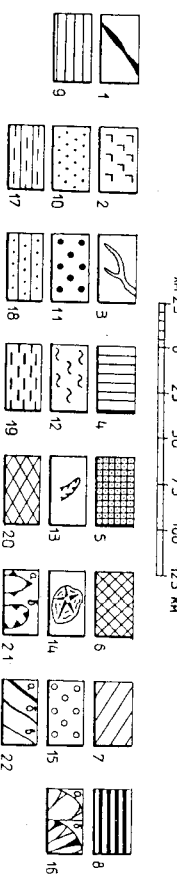


Рис. 3. Структурно-геоморфологическая схема. Составили: О. Р. Коробова, Н. И. Степанов

Морфоструктурное районирование. I — Среднеамурская грабен-сниклинальная впадина (аккумулятивная равнина); II — Уссурийская рифтогенетическая система грабенов и горстов (впадины и хребты Западно-Сихотэ-Алинской системы склоново-блочных среднегорных поднятий); III — Сахалинско-Аянская система склоново-блочных среднегорных поднятий; IV, IVa — шельфовые мелководные абразионно-аккумулятивные равнины; IV — континентального шельфа; IVa — островные мелководные абразионно-аккумулятивные равнины; V — континентальная флексура (акумулятивный стопон) — наклонные ступенчатые равнины; V — материковая; V_a — островная; VI — лесо-рифтогенетической впадины Татарского пролива (полуводная аккумулятивная равнина); VII — Хоккайдо-Сахалинский бордерлэнд (система горбено-образованных впадин); VIII — горбово-островного шельфа и склонов). Субзарельвый рельеф. I — структурно-денудационный: склоны, претопороденные разрывными нарушениями; 2 — вулканогенно-денудационный: лавовые плато; 3—4 — эрозионно-денудационные: 3 — днища долин и придолинные пединенты; 4 — крутые склоны глубоко врезанных долин; 5—9 — денудационные: 5 — крутые склоны приводораздельных частей хребтов, 6 — склоны горных гряд и хребтов средней крутизны, 7 — пологие склоны изогородных гряд и нижней части хребтов, 8 — пологосклонные приводораздельные панов



Субакавальный рельеф

Рельеф морского дна хотя и менее разнообразен в морфогенетическом отношении, в морфоструктурном — он более контрастен и неоднороден. Наряду с равнинными морфоструктурами приматериковой и островной части морского дна, центральное место занимает крутная впадина Татарского пролива. Ряд более мелких впадин и сопутствующих им хребтов расчленяет островной шельф и склоны, образуя своеобразную геоморфологическую область — Хоккайдо-Сахалинский бордерлэнд. Континентальный и островной шельфы с их мелководными (от 0 до 200 м) абразионно-аккумулятивными равнинами контрастно сопределяются с горным рельефом суши. Эти почти горизонтальные ($0^{\circ}15' - 0^{\circ}20'$) поверхности осложнены очень пологими понижениями и возвышенностями. Понижения, нередко прослеживающиеся на продолжении речных долин, с горным рельефом сущи. Эти почти горизонтальные ($0^{\circ}15' - 0^{\circ}20'$) поверхности осложнены очень пологими понижениями и возвышенностями. Понижения, нередко прослеживающиеся на продолжении речных долин, с горным рельефом сущи.

Субакавальный рельеф. I — речные террасы; II — морские террасы; III — озерные равнины; IV — аккумулятивная, равнина: а — пологая, б — крутая; V — реликтовые вулканические юго-западные аккумулятивные, равнины: а — пологая, б — крутая; VI — мелководная, преимущественно аккумулятивная, равнина; VII — аккумулятивная слабонаклонная равнина континентального побережья; VIII — склоны и дно грабенообразных впадин; IX — склоны горстообразных хребтов.

Границы геоморфологических подразделений: 21 — локальных подводных возвышенностей (а) и впадин (б); 22 — субзарельвого и субакавального рельефа (а), морфоструктурных подразделений (б), прочих подразделений рельефа (в).

лии, совпадают с вершинами подводных канонов, а возвышенности, расположенные большей частью в пределах островного шельфа, отражают продолжение складчато-разрывных дислокаций близлежащей суши. На континентальном шельфе, вблизи побережья, выявлены также субпараллельные берегу уступы, предполагаемых морских террас, сформировавшихся здесь в период плейстоценовых колебаний уровня моря.

Рассматриваемые шельфы со стороны моря граничат с континентальным склоном (или континентальной флексурой). Континентальный склон представляет собой наклонную ступенчатую равнину, достигающую местами ширины 100 км, которая спускается от бровки шельфа к впадинам Японского моря и Тагарского пролива. По крутизне континентальный склон подразделяется на две части: относительно крутое (до 8°) и пологую (около $1^{\circ}30'$). В некоторых местах склон разбит разломами, которые в рельфе образуют достаточно крутые (до 15–20°) уступы. Верхняя часть склона расчленена подводными каньонами. Многие неровности рельфа континентального склона замаскированы современными и более древними осадками, достигающими мощности в несколько сот метров. Характерно, что пласти осадочных толщ, слагающих континентальную флексуру, имеют падение, близкое или согласное рельсу ее поверхности [63].

Акумулятивное дно желобообразной впадины Тагарского пролива имеет ширину 25–70 км. В плане дно впадины имеет сложное извилистое очертание. Общее простирание его меняется от северо-восточного в южной части до меридионального в северной. Западный край дна впадины, примыкающей к континентальному склону, сочленяется с последним посредством слабонаклонных аккумулятивных равнин континентального подножия, тогда как к восточному краю тяготеют локальные понижения дна. Равнины континентального подножия, большей частью образованы снесеннымми со склона осадками и слившимися конусами выноса подводных каньонов. Дно впадины ступенями спускается к югу в сторону Япономорской глубоководной котловины. Современная впадина Тагарского пролива, по данным Л. С. Мартулиса и др. (1977), частично наследует более древний прогиб, максимум осадочного заполнения которого приходится на зону присахалинского шельфа. Многими исследователями: Г. Н. Кропоткиным и К. А. Шахвартовой (1965), И. И. Бересневым (1973), Г. И. Худяковым (1977) и др., впадина Тагарского пролива, наряду с глубоководной котловиной Японского моря, рассматривается в качестве рифтогенной структуры.

Восточный борт впадины, обозначенный островным склоном, и прилегающий к нему островной шельф интенсивно расчленены на ряд тектонических блоков, выраженных в рельфе хребтами — горстами и грабенообразными впадинами. Длина отдельных впадин и хребтов достигает 600 км при ширине 20–25 км. Относительная высота хребтов и глубина впадин местами превышает 1 км. Расположены эти морфоструктуры частично кулисообразно и ориентированы в соответствии с зонами региональных разломов.

Сочетание хребтов и впадин вместе с отчлененными ими участками островного склона и шельфа образует своеобразную геоморфологическую область, названную бордерлендом. Бордерленд по своим морфоструктурным особенностям напоминает область развития впадин и хребтов Нижнего Приамурья, только образующие его грабены и горсты, вследствие отсутствия субаэральной денудации, имеют более резкие разломные очертания. Это обстоятельство, конечно, образом указывает на относительно недавнее происхождение названных структур, поскольку они не потеряли отчетливость очертаний под влиянием постоянно действующей подводной аккумуляции.

Среди форм подводного рельефа следует отметить также вулкани-

ческие постройки, приуроченные к зонам разломов бордерленда. Крупнейшей из них является значительная разрушенная вулканическая постройка, образующаяся в рельфе дна банку Месаси, которая возвышается над прилегающим дном более чем на 100 м.

Основные этапы развития рельефа

Становление главных черт рельефа рассматриваемого региона проходило в связи с завершением позднемезозойского орогенеза в западной части региона и началом процессов рифтогенеза в его восточной части. В пределах современной суши, начиная с позднего мела, вслед за внедрением гранитоидов бачелазского и приморского комплексов, начался рост складово-блочных поднятий Сихотэ-Алиня. Он происходил неравномерно: обособливались прежде всего блоки, насыщенные гранитоидами. В понижениях между ними закапывалась речная сеть. В дальнейшем, возникший горный рельеф, поддерживаемый на протяжении всего кайнозоя силами изостазии, приобретал с течением времени все более гармоничный характер, который тем не менее нарушился вследствие изменения тектонической и климатической обстановки.

Иная точка зрения, согласно которой горный рельеф Сихотэ-Алиня подвергался неоднократному выравниванию, высказана в работах Г. С. Ганешина (1956), В. В. Соловьева (1968) и др. В основу их представлений положен факт существования уплощенных водоразделов горных хребтов, интерпретируемых как реликты исходной поверхности выравнивания. В последние годы работами Г. И. Худякова, Р. И. Никоновой, А. М. Короткого и др. показана невозможность сохранности реликтов древних поверхностей выравнивания в вершинном поясе гор. Согласно названным авторам, поверхности выравнивания характерны в основном для приледниковальных зон, где они, развиваясь, определяют облик современного рельефа.

Вулканическая деятельность позднемелового—раннекайнозойского времени в пределах Сихотэ-Алинского вулканического пояса способствовала формированию рельефа вулканических нагорий, который в олигоцен-миоценовое время в результате интенсивной эрозии и денудации воздымавшихся блоков, был значительно разрушен. От вулканических пост-рек и лавовых полей того времени сохранились только уплощенные поверхности на современных водоразделах. В то же время происходило накопление глинистых озерных и озерно-болотных отложений во многих впадинах-грабенах, расширяющейся Среднеамурской депрессии. Осадконакоплением были охвачены и внутригорные впадины: Среднебикинская, Бейчухинская и др. В обрамлении депрессионных зон происходили процессы денудационного выравнивания, формировавшие холмистый и низкогорный рельеф.

В плиоцен-раннеплейстоценовое время произошло общее вздымание Сихотэ-Алинской горной страны и измение базальтов в ее периферических частях. В результате прекратилось осадконакопление во многих внутренних впадинах и образовались обширные лавовые плато. Влияние на облик рельефа оказали также и климатические изменения ледниковых эпох, способствующие процессам нивального выветривания и аллювиального в горах, а также агрегации долин в предгорьях. Колебания уровня моря в период плейстоценовых оледенений, наряду с тектоническими движениями и излияниями базальтов, неоднократно приводили к перестройке низкоторoidalной речной сети. Широкое распространение получило явление речных перехватов. В восточной части региона, по данным геологических исследований последних лет, с начала кайнозоя (Васильев и др., 1977) или же

с позднего мела (И. И. Берсенев, 1973) проявились первые признаки рифтогенеза, завершившегося в плиоцен-четвертичное время образованием современной котловины Японского моря и впадин Татарского пролива. По-видимому, сопряжено с ними сходные процессы развивались и на крайнем северо-западе региона, где происходило формирование Среднеамурской депрессии и сопутствующих ей грабенов.

Совместно с прогибанием впадин акватории происходило становление материкового склона и образование континентального и островного спрэйфов. В процессе развития субаквального рельефа осуществлялось непрерывное обновление его аккумулирующихся поверхностей, стягивающих первичные неоднородности формирующихся структурных форм. В глубоководной части дна, по всей вероятности, сохранились первичные (миоценовые?) формы вулканических построек.

Таким образом, в истории развития континентальной части региона можно выделить три этапа рельефообразования, каждый из которых характеризовался преобладанием определенных типов рельефа. Первый — позднемеловой—эоценовый этап, в ландшафте которого преобладал низко-среднегорный денудационно-тектонический рельеф и рельеф вулканических нагорий, близкий по своему облику к современному рельефу некоторых районов Камчатки [34].

Второй этап — олиоцен-миоценовый, характеризовался развитием

аккумулятивных и денудационных поверхностей в депрессионных и околовулканических зонах. В их ландшафте преобладали равнины и холмогорья. Для прибрежной части территории характерны были расщлененные лавовые плато.

Третий этап — плиоцен-четвертичный, который ознаменовался, при общем сохранении главных черт рельефа предыдущих этапов, омоложением и увеличением контрастности большинства его форм. Возникли также новые формы рельефа, такие, как лавиновые плато, стадившие расщлененный рельеф прибрежных районов, ледниковые — придавшие альпинотипный характер некоторым вершинам, и эрозионные формы, возникшие под влиянием тектонических движений, колебаний уровня моря и излияния базальтов.

О ранних этапах рельефообразования субаквальной части региона, вследствие пока еще слабой ее изученности, можно говорить только предположительно. Более уверенно намечается плиоцен-четвертичный этап, в течение которого и завершилось образование главных форм рельефа акватории.

Территория располагается в основном в горно-таежной ландшафтной зоне с муссонным климатом. Это, в сочетании с особенностями геологического строения, определяет условия и направления стока поверхностных и подземных вод, инфильтрацию атмосферных осадков, характер скоплений и циркуляции подземных вод [30, 31].

Выделяется девять водоносных комплексов (табл. 1). Среди водоносного комплекса четвертичных аллювиальных, аллювиально-морских, морских и эллювиально-делювиальных отложений наиболее водообильными являются аллювиальные (мощность от 3 до 100 м), слагающие днища долин и террасы крупных рек, а также аллювиально-морские и морские, развитые в устьевых частях долин рек, владеющих в Японское море. Элювиально-делювиальные отложения, развитые на склонах горных сооружений, обволочены спорадически в пределах линз супесей и суглинков, включающих большое количество обломочного материала. Мощность линз достигает 5—6 м. Водоносность этих отложений низкая (дебит источников около 0,05 л/с).

Питание водноносных линз в делювии и водоносных горизонтов аллювиальных и морских отложений происходит в основном за счет инфильтрации атмосферных осадков и, в меньшей степени, за счет дренирования подстилающих водоносных горизонтов и подпитывания поверхностными водами. Водоупором для этого комплекса служат прослон глин и нетрещиноватые коренные породы. Воды обычно беззапорные, но там, где комплекс перекрывается глинами и базальтами, воды приобретают напор до 10—15 м, а на отдельных участках — до 30—50 м.

Наиболее пригодны для водоснабжения воды аллювиальных отложений. Они пресные (до 0,1—0,15 г/л), мягкие, гидрокарбонатные кальциевые. В морских отложениях побережья минерализация вод увеличивается до 0,5 г/л, а состав их становится хлоридным натриевым. При интенсивных откатах возможен подток морских вод.

Водоносный комплекс базальтов, андезибазальтов и их туфов плиоцен-нижнечетвертичных соваванской и шуфанской свит распространен в северной части территории, где мощность отдельных покровов базальтов колеблется от нескольких метров до 10—15 м, а мощность всей толщи достигает 400 м. Покровы часто представляют собой выветривания, к которой приурочены трещинные воды. Наиболее обводнены базальты. Ниже базиса эрозии в них известны явления напорных вод (напор составляет от 5 до 30 м). Воды пресные с минерализацией до 150—250 мг/л, гидрокарбонатные кальциевые. Питание комплекса происходит за счет инфильтрации атмосферных осадков и вод аллювиальных отложений рек, пересекающих данные породы. Разгрузка подземных вод осуществляется в виде родников, выходящих в подошве покровов.

Водоносный комплекс песков, супесей, галечников сунгирской свиты плиоценена распространен в долинах рек Хор, Обор и др. Водовмещающие отложения слагают плиоценовые террасы или выполняют древние переу-

Таблица 1

Характеристика гидрогеологического разреза

Водоносные комплексы	Индекс возраста	Изученная мощность, м	Преобладающий тип скопления вод	Глубина до воды, м	Дебиты			Минерализация воды, мг/л	Преобладающий состав вод
					скважин		источников		
					Q, л/с	S, м	Q, л/с		
Аллювиальных, аллювиально-морских, морских и элювиально-делювиальных отложений (пески, супеси, суглинки, гравийно- и валунно-галечные отложения)	Q	3—100	Порово-пластовые	0,5—3,5	4—10	0,5—8	0,01—2	50—500	$\text{HCO}_3\text{--Ca}$, $\text{HCO}_3\text{--Na}$, Ca--Mg , $\text{HCO}_3\text{--Cl}$, Na--Ca--Mg ; в прибрежно-морских Cl Na
Базальтов, андезибазальтов и их туфов совгаванской и шуфанско-ой свит	N ₂ —Q ₁	10—400	Порово-трещинные покрововые	От 1—30 до 50—150	2—30	0,2—12	0,01—2	50—250	$\text{HCO}_3\text{--Ca}$
Песков, супесей, галечников суйфунской свиты плиоценена	N _{2sf}	До 130	Порово-пластовые	10—50	0,2—12	8—35	—	До 350	$\text{HCO}_3\text{--Ca}, \text{Mg}$
Базальтов, андезибазальтов и их туфов кизинской свиты миоцена	N _{1kz}	До 530	Порово-трещинно-покрововые	15—70	0,01—2	—	0,1—0,5	77	$\text{HCO}_3\text{--Na}$
Алевролитов, аргиллитов, песчаников, конгломератов, углей олигоценово-нижнемиоценового возраста	P _{2—3} —N ₁	До 400	Порово-пластовые и порово-трещинно-пластовые	До 40	0,03—10	—	—	От 200—300 до 500—1000	$\text{HCO}_3\text{--Na}$
Зон трещиноватости базальтов, андезибазальтов и их туфов позднего мела и палеогена	K ₂ —P ₃	До 100	Трещинные воды зоны выветривания и трещинно-жильные	От 2—20 до 40—70	0,5—15	—	0,01—2,0	30—50	$\text{HCO}_3\text{--Na}$, $\text{HCO}_3\text{--Cl--Ca--Mg--Na}$
Зон трещиноватости песчаников, алевролитов, глинистых сланцев, аргиллитов, конгломератов, базальтов и их туфов, мела	K	—	Трещинные воды зоны выветривания и трещинно-жильные	30—40	0,01—4	—	0,01—0,5	14—130	$\text{HCO}_3\text{--Ca}$
Зон трещиноватости песчаников, алевролитов, андезитов, базальтов, карбонатных пород позднепалеозойско-ранне-среднемезозойского возраста	C _{2—3} , P _{1—2} , T _{2—J}	до 420	Трещинные воды зоны выветривания, пластово-трещинные, трещинно-карстовые	От 2—55 до 378	0,12—0,23 до 1	62—84	0,03—2	27—300	$\text{HCO}_3\text{--Mg--Ca}$
Зон трещиноватости разновозрастных гранитов, гранодиоритов, гранито-гнейсов, габбро	—	—	Трещинные воды зоны выветривания и трещинно-жильные	40—160	От 0,5—5 до 10—12	—	0,1—5	200—250	$\text{HCO}_3\text{--Ca}, \text{Na}$

Водоносный комплекс базальтов, андезибазальтов и их туфов кизинской свиты миоцена распространен в северной части вулканического пояса. Водообильность комплекса невелика (дебит скважин до 2 л/с). Воды беззапорные, порово-трещинно-покрововые. По данным одного химического анализа, воды гидрокарбонатные кальциевые, реже магниевые.

Водоносный комплекс алевролитов, аргиллитов, песчаников, конгломератов, угли, относящиеся к чернореченской свите и эоцен-олигоценовым толщам. Водообильность этих образований неравномерная: дебит скважин в центральных частях впадин не превышает 0,03—1,5 л/с, а на окраинах 5—10 л/с. Воды обладают напором от 5 до 80 м, по характеру скопления порово-пластовые и порово-трещинно-пластовые. Режим вод устойчивый. Воды верхних горизонтов пресные с минерализацией 200—300 мг/л, по составу гидрокарбонатные натриевые, воды глубоких горизонтов имеют минерализацию до 500—1000 мг/л.

ний верхнего мела и палеогена наиболее широко распространены в Восточно-Сихотэ-Алинском вулканическом поясе. В вулканогенных породах содержатся трещинные воды зоны выветривания (дебит скважин от 0,5 до 3 л/с) и трещинно-жильные (дебит скважин до 15 л/с) воды. По химическому составу воды в основном гидрокарбонатные натриевые, гидрокарбонатно-хлоридные, натриево-магниево-кальциевые. Воды пригодны для питья, но запасы их ограничены. К зонам разломов в данном водноносном комплексе приурочены источники золотых термальных вод.

Водноносный комплекс зон трещиноватости пещерников, алевролитов, глинистых сланцев, аргиллитов, конгломератов, базальтов, андезитов, дацитов и их туфов раннемелового возраста широко распространен на Восточном Сихотэ-Алине. К этим отложениям приурочены трещинные водные зоны выветривания и трещинно-жильные воды, глубина залегания которых составляет от нескольких метров на склонах до 30—40 м на водоразделах. Питание комплекса происходит в основном за счет инфильтрации атмосферных осадков. Воды пресные, по химическому составу гидрокарбонатные кальциевые.

Водноносный комплекс зон трещиноватости геосинклинальных вулканогенно-осадочных отложений позднепалеозойского, триасового и юрского возраста содержит трещинные воды зоны выветривания, пластово-трещинные и трещинно-жильные типы скопления вод. В зонах разломов водообильность пород комплекса, как правило, увеличивается. К ним иногда приурочены выходы угленосных минеральных вод с минерализацией до 1390 мг/л. Трещинно-карстовые воды распространены локально и приурочены к карбонатным породам. Водообильность их пестрая. Наиболее водообильны верхнепалеозойские известняки. Они обычно обводнены ниже местных базисов эрозии, а выше, как правило, сдренированы. Дебиты одиночных скважин до 2—5 л/с, редко более. По составу трещинно-карстовые воды гидрокарбонатные кальциевые с минерализацией до 100—250 мг/л.

Водноносный комплекс зон трещиноватости интрузивных пород изучен слабо. Он включает трещинные воды зоны выветривания и зон разломов. В зоне выветривания дебиты источников от 0,1 до 0,3 л/с. Более обводнены зоны разломов, с дебитами источников до 3—5 л/с, а скважин — до 10—12 л/с. По химическому составу воды гидрокарбонатные кальциевые или натриево-кальциевые.

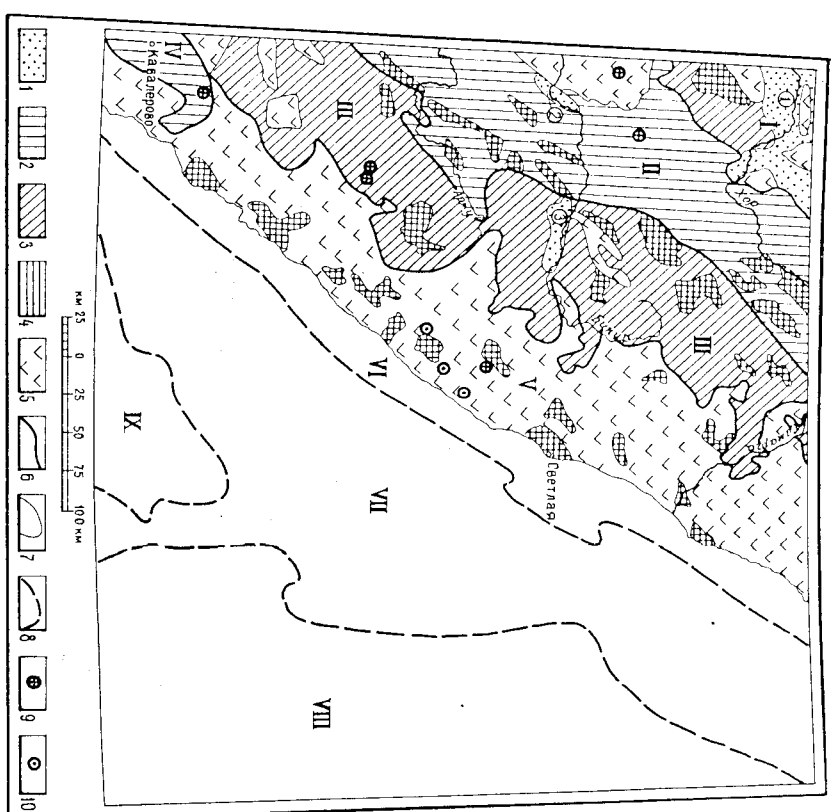
В пределах номенклатурного листа выделено девять структурно-

гидрогеологических районов (рис. 4).

Вяземский гидрогеологический район (I) представляет собой систему гидрогеологических массивов, артезианских бассейнов и вулканогенных супермасивов. Гидрогеологические массивы содержат трещинные воды зоны выветривания, вулканогенно-осадочные дислокированные отложения, мелового возраста и интрузивных пород. Мощность водноносной зоны трещиноватости коры выветривания от 5 до 35 м. Дебиты источников от 0,01—0,15 л/с из глинисто-сланцевых пород до 1 л/с из песчаников и эфузивов. Дебиты скважин от 0,03 до 2—3 л/с при понижениях 20—50 м. Воды гидрокарбонатно-кальциевые с минерализацией до 100 мг/л. Трещинно-жильные воды приурочены к зонам разломов и к kontaktам интрузивных пород. Воды иногда напорные. Дебиты источников до 1,5—3,5 л/с. Дебиты скважин 0,3—0,5 л/с при понижениях до 48 м (вне зон разломов) и до 12,5 л/с при понижении на 9,5 м (в зонах разломов). Минерализация вод 190—266 мг/л (А. А. Козлов и др., 1972).

К басс. рек Хор и Обор приурочен наложенный Хорский артезианский бассейн (I) второго порядка, входящий в сложный Среднегамурский бассейн. Хорский бассейн образован главным образом водноносными комплексами рыхлых, преимущественно аллювиальных, четвертичных отложений

Рис. 4. Схема гидрогеологического районирования и распространения преобладающих типов скопления подземных вод. Составил С. Н. Суриков



ний и слабоуплотненных отложений суйфунской и чернореченской свит, содержащих порово-пластовые и порово-трещинно-пластовые напорные воды. Величина напора в верхних горизонтах 5—80 м. Мощность осадочного чехла в центральной части бассейна превышает 1000 м. Дебиты неглубоких скважин в центральных частях бассейна 0,1—1,5 л/с, а по периферии — до 5—10 л/с. В верхних горизонтах воды пресные с минерализацией 200—300 мг/л, гидрокарбонатные смешанные по катионному

составу. В аллювиальных отложениях местами присутствуют железистые воды с содержанием закисного железа до 2—10 мг/л. Предполагается, что в более глубоких горизонтах (700—1000 м) этого бассейна содержатся термальные и более минерализованные (до 500—1000 мг/л) воды.

В наложенных вулканогенных супермассивах содержатся порово-трещинно-покрововые воды. Мощность трещиноватой зоны от 10 до 100 м. Глубины до воды от 6—30 до 30—60 м. Эти воды иногда имеют напор. Дебиты скважин 7—30 л/с при понижениях 0,2—6 м и 2—3 л/с при понижениях 7—12 м. По химическому составу воды пресные с минерализацией 50—250 мг/л, гидрокарбонатные магниево-кальциевые.

Центрально-Сихотэалинский гидрологический район (II) характеризуется преимущественным развитием трещинных вод зонны выветривания, плашово-трещинных и трещинно-жильных вод, содеряющихся в вулканогенно-осадочных отложениях позднего палеозоя и мезозоя. Подземные воды изучены слабо. Мощность обводненной зоны трещиноватости 20—70 м, редко более. Дебиты немногочисленных скважин 0,1—0,2 л/с. Наиболее водообильны песчаники и контгломераты, в которых дебиты скважин увеличиваются до 3—4 л/с. Подчиненное значение имеют трещинно-карстовые воды в известняках. К зонам разломов приурочены источники с дебитами 0,1—0,2 л/с. Воды комплекса пресные, с минерализацией от 30 до 300 мг/л. С зонами разломов связаны холодные углекислые источники, типа нарезана. К зонам выветривания интрузивных пород приурочены пресные грунтово-трещинные воды. Дебит скважин не превышает 1 л/с.

В западной части гидрологического района располагаются крупный наложенный вулканогенный супермассив пластовых порово-трещинно-покрововых вод и межгорный Среднебикинский артезианский бассейн (2). К вулканогенному супермассиву до глубин 20—50 м приурочены пресные безнапорные воды. Дебиты источников от 0,05 до 0,5 л/с. Среднебикинский артезианский бассейн содержит порово-плашевые и порово-трещинно-плашевые напорные, часто самоизливающиеся, воды с дебитом скважин до 0,8 л/с. Мощность водоносных горизонтов от первых метров до 30—50 м.

В долинах наиболее крупных рек (Бикин, Б. Уссурика, Дальняя и др.) распространены водоносный комплекс аллювиальных четвертичных отложений с порово-плашевыми водами. Мощность аллювиальных отложений достигает 10—15 м. Воды безнапорные, реже слабонапорные. Дебиты источников 0,2—0,5 л/с, а скважин и колодцев — 0,4—0,8 л/с. Воды пресные гидрокарбонатно-кальциевые с минерализацией от 20 до 200 мг/л. В аллювиальных отложениях долины р. Бикин отмечаются повышенные содержания железа — до 1,4 мг/л.

В Восточно-Сихотэалинском гидрологическом районе (III) преимущественно разработан водоносный комплекс вулканогенных и осадочных методов отложений. Комплекс изучен слабо. По имеющимся данным мощность обводненной зоны трещиноватости до 40 м. Дебиты единичных скважин от 0,1 до 1 л/с, а источников — 0,2—0,3 л/с. Воды пресные, гидрокарбонатные кальциевые и магниевые. С зонами разломов иногда связанные холодные углекислые гидрокарбонатные источники. Местами до глубин 30—40 м содержатся трещинные воды выветривания. Дебиты источников от 0,01 до 1 л/с. Воды гидрокарбонатные кальциевые пресные с минерализацией до 50 мг/л. В наложенных вулканогенных супермассивах развит волнососточный комплекс позднемелового—палеогенового возраста. Дебиты источников 0,01—0,5 л/с. Воды ультрапресные (30—40 мг/л), гидрокарбонатные кальциевые. В бас. р. Бикин расположена наложенный Верхнебикинский артезианский бассейн с порово-плашевыми и, возможно, порово-трещинно-плашевыми водами олигоцен-нижнемиоценового водно-комплекса. Данных о его водоносности не имеется.

В долинах крупных рек водоносный комплекс аллювиальных чет-

вертичных отложений имеет дебиты скважин 0,2—0,6 л/с, реже до 3—5 л/с. Воды пресные (70—250 мг/л) гидрокарбонатные кальциевые.

В Прибрежном гидрологическом районе (IV) распространены трещинные воды зоны выветривания, трещинно-карстовые и трещинно-жильные воды. Водообильность пестрая, дебиты скважин находятся в зависимости от состава, водовмещающих пород и увеличиваются от глинистых сланцев к песчаникам (от 0,001 до 2 л/с и более). Минерализация этих вод обычно не превышает 100 мг/л при гидрокарбонатном кальциевом составе. К известнякам приурочены трещинно-карстовые воды. Известняки выше уровня местных базисов эрозии слабо обводнены или сдrenированы. Ниже воды вскрываются в карстовых пустотах, которые зачастую дают значительные водопритоки [27]. Как правило, запасы обводненных карстовых пустот после их отработки не востоиняются. По химическому составу карстовые воды гидрокарбонатные магниево-кальциевые с минерализацией 100—300 мг/л. К зонам разломов приурочены выходы трещинно-жильных вод. Например, такие самоизливающиеся воды (дебит до 1 л/с) вскрыты в зоне разлома в районе Дальнегорска. Воды субтермальные (до 18 °C) углекислые, гидрокарбонатные натриевые с минерализацией до 1300 мг/л.

Приморский гидрологический район (V) представлен системой наложенных вулканогенных супермассивов и супербассейнов и гидрологическими массивами, приуроченными к интрузивным телам. Вулканогенные гидрологические структуры образованы водоносными комплексами с порово-трещинно-покрововыми скоплениями подземных вод. Водоносные комплексы совгаванской и кизинской свит образуют вулканогенные супермассивы. Дебиты источников до 1—10 л/с, скважины дают притоки до 10—15 л/с при понижениях 0,2—12 м. Глубина до воды от 1—30 м в долинах и от 20 до 100 м на водоразделах. Воды гидрокарбонатные кальциевые с минерализацией 50—250 мг/л, реже более, иногда с повышенным содержанием железа (до 9—13 мг/л). Залегающие ниже водоносные комплексы эффективных разрывов позднего мела—палеогена также обладают высокой водообильностью. Дебиты скважин до 10—15 л/с. Наиболее высокие дебиты отмечаются в скважинах, пройденных в зонах разломов. К зонам разломов приурочены термальные азотные источники Амгинской группы с водой гидрокарбонатного кальциевого состава. Трещинные воды зоны выветривания гидрологических массивов распространены обычно до глубины 40—60 м. Дебиты источников 0,2—2,0 л/с. В долинах и устьевых частях крупных рек развит водоносный комплекс четвертичных аллювиальных отложений. Мощность их редко превышает первые метры. В них содержатся безнапорные порово-плашевые воды. Наряду с пресными гидрокарбонатными водами, в прибрежно-морской полосе могут встречаться воды повышенной минерализации хлоридного состава за счет процессов морского засолонения.

В большинстве гидрологических районов преобладают трещинные воды зоны выветривания, распространенные до глубин 50—70 м, реже более, и трещинно-жильные воды зон разломов. Менее распространены порово-плашевые и порово-трещинно-плашевые воды в артезианских бассейнах и в долинах крупных рек. Подчиненное значение имеют трещинно-кастевые воды. Режим подземных вод определяется главным образом количеством выпадающих атмосферных осадков, преобладающая часть которых уходит на поверхностный сток, не образуя значительных запасов подземных вод. Только в немногих артезианских структурах и наиболее крупных речных долинах со значительными мощностями аллювия создаются благоприятные условия для накопления напорных подземных вод. В горных районах наиболее стабильным режимом обладают водоносные зоны разломов, содержащие трещинно-жильные скопления подземных вод. Использование подземных вод зоны выветривания с их неустойчивым ре-

жимом для создания крупных водозаборов возможно только в случае строительства сооружений для искусственного востолисия их запасов и регулирования подземного стока.

Параллельно побережью Японского моря протягивается субаквальная система гидрогеологических структур Приморского шельфа (VII). В этих структурах, по аналогии с прилегающей сушей, по-видимому, содер-жатся такие же типы скоплений подземных вод, что и в пределах При-морского гидрогеологического района (V). По химическому составу под-земные воды Приморского шельфа, очевидно, отвечают современным морским водам, проникающих на глубину по зонам тектонической тре-шиноватости.

Западно-Япономорской гидрогеологический район (VII) представляет собой субаквальный артезианский бассейн с порово-пластовыми солены-ми хлоридными натриевыми водами в толще слабоуплотненных терри-гених отложений кайнозоя, мощностью до 2 км.

Хоккайдо-Сахалинский гидрогеологический район (VIII) представ-ляет собой, видимо, стоковую систему артезианских и алартезианских бассейнов с порово-пластовыми, порово-трещинно-пластовыми и трещин-но-пластовыми водами, адмассивов с пластово-трещинными и трещинно-жильными водами и вулканогенных супермассивов с порово-трещинно-покрововыми водами в осадочных. Вулканогенно-осадочных и вулканоген-ных мезозойско-кайнозойских отложениях. В нижних частях этих структур, по всей видимости, содержатся азотные (и, возможно, метановые) соле-вые седиментогенные воды, а в верхних — современные морские. Южно-Татарский гидрогеологический район (IX), возможно, характе-ризуется трещинными и трещинно-жильными водами морского облика.

ИСТОРИЯ ГЕОЛОГИЧЕСКОГО РАЗВИТИЯ

Территория охватывает только часть Сихотэ-Алинской складчатой системы и прилегающих к ней с востока структур дна Японского моря. В связи с этим в данной записке рассматривается история геологи-ческого развития определенного интервала времени и лишь для района, входящего в рамки листа L-(53), (54).

По геофизическим данным предполагается, что в пределах материко-вой части развита кора материкового типа, а в пределах акватории — переходного. Поэтому можно предполагать, что ниже выходящих на днев-ную поверхность комплексов залягают более древние, возможно, раннепа-леозойские и докембрийские образования. Косвенно это подтверждается выходами метаморфизованных пород в Хорском тектоническом блоке, имеющем возраст метаморфизма в 227 млн лет [45]. Существуют данные и о радиологическом возрасте аналогичных пород в 433—488 млн лет в Аянском блоке, расположенному севернее данного листа [59].

Заложение Сихотэ-Алинской геосинклиниали относят к среднему палеозою [19, 59], когда между Ханкайским и Япономорским массива-ми образовался геосинклинальный бассейн. В бортовых частях бассейна существовали рифовые постройки, на что указывает наличие крупных олистолитов известняков с ранне-, средне- и позднекаменноугольными фораминиферами и другой фауной в субучарской свите, вблизи запад-ной окраины Центрально-Сихотэалинской зоны. В восточной части При-брежной зоны известен крупный ранне-позднекаменноугольный (вплоть до ранней перми) риф горы Зарод, вблизи южной границы территории [46]. Накопление каменноугольных и пермских отложений происхо-дило в условиях относительно глубокого моря, частично на материковом склоне и у его подножия, вдоль которого, по-видимому, проходил крупный разлом (Проарсаньевский). Это обусловило накопление сначала пород терригенной, а затем базальт-кремнисто-терригенной формации. В позднепермскую эпоху осадки отлагались также вблизи континенталь-ного склона, о чем можно судить по развитию песчано-глинистой флише-вой и филионитовых формаций, а местами «дикого флиша» с олистостро-мовыми комплексами. О проявлении вулканической деятельности сви-детельствует наличие обильного туфового материала в каменноуголь-ных и пермских отложениях. Снос обломочного материала в бассейн происходил с запада и юго-востока из областей срединных массивов. Характер для центральных частей моря (Восточно-Сихотэалинская и Западно-Япономорская зоны) и тип осадков не установлен. Можно предполагать, что в пределах современного Татарского пролива, во всяком случае его южной части, накапливались песчано-глинистые и оса-дочно-вулканогенные (базальтовые) отложения, устанавливаемые по вы-ходам метаморфизованных пород на возвышенностях Аллатова, Витязя и хр. Окустри.

А. И. Бурдэ [9, 10] каменноугольные — раннепермские отложения относит к олиголитовому комплексу, а интрузивные породы ко второму

слого коры океанического типа. Верхнепермские отложения рассматриваются им как аккреционная призма. Осадочно-вулканогенный комплекс сопровождается ультрамафитами и габбройдами, местами дифференциация магматических пород доходит до плагиогранитов. Металлогеническое значение этого времени изучено слабо.

В середине поздней перми по крайней мере западный и восточный участки геосинклиналии вовлекаются в поднятие, а породы подвергаются складчатости. Возможно, происходит лифференциация и внутри бассейна и возникают поперечные зоны поднятий (Бикинская).

Недостаточно ясна история раннегорюсовой эпохи из-за отсутствия находок отложений этого времени на данной территории. Судя по седиментам более южным и восточным районам, в это время существовали мелководные морские бассейны или заливы, расположавшиеся за пределами рассматриваемого района.

Активизация тектонической деятельности относится к среднему или позднему триасу. Оживляются движения по крупным разломам северо-восточного простирания — Арсеньевскому, Центрально-Сихотэалинскому, Прибрежному и др. [59]. Вдоль краев антиклинальных поднятий, возможно в результате раздвига, возникают глубоководные бассейны, повторяющие к палеозойскому этапу. В этих бассейнах происходит формирование кремнисто-вулканогенных и песчано-глинистых толщ с большим количеством олистостромовых комплексов — крупных линз седиментационных брекций. Характер отложений сохраняется по крайней мере до середины юры включительно, когда в более спокойной обстановке накапливались песчано-глинистые и кремнисто-глинистые осадки.

В юго-восточной части территории (бас. рек Рудная, Зеркальная) в среднем—позднем триасе и юре отлагаются кремнистые, глинистые и карбонатные осадки, прилегающие к крупным рифовым постройкам (гора Сахарная), у подножия которых образуются известняковые брекции [11, 12].

В центральных частях бассейна, по-видимому, происходит накопление песчаных, глинистых и кремнистых осадков, на что указывают выходы триасовых и юрских толщ на юге территории (бас. рек Зеркальная, Павловка, Рудная и др.) и находки юрских (?) радиолярий в кремнистых породах на некоторых участках Восточно-Сихотэалинской зоны.

О развитии территории в позднеюрское время сведений крайне мало. На северо-западе (Стрельниковская зона), возможно, в результате рифтогенеза, возникает цепь вулканических островов с субшелочным вулканизмом. На существование в этом районе вулканических построек указывают субвуликанические тела того же состава. По аналогии с более южными районами можно предполагать перспективность комплекса щелочных базальтов на редкоземельную минерализацию.

В предберриаское время вновь происходит инверсия в краевых частях Сихотэ-Алинского прогиба и окончательно формируются Центрально-Сихотэалинский и Прибрежный антиклинории как консолидированные области. Обширной складчатостью охватываются палеозойские и триасово-юрские образования, оживляются движения по крупным разломам. Основной бассейн осадконакопления смешается на восток и северо-запад.

В берриас-валанжинское время в краевых (шельфовых) частях бассейна отлагается песчано-галечный и гравийный материал, а в более глубоких — песчано-глинистый и глинистый, образующий флишиевые и флюидные толщи. Близи подножия континентального склона вблизи южной бассейн осадконакопления смещается на восток и северо-запад.

В берриас-валанжинское время в краевых (шельфовых) частях бассейна отлагается песчано-галечный и гравийный материал, а в более глубоких — песчано-глинистый и глинистый, образующий флишиевые и флюидные толщи. Близи подножия континентального склона вблизи южной бассейн осадконакопления смещается на восток и северо-запад.

Центрально-Сихотэалинского шва возникают вулканические острова с базальтовым вулканизмом. Активность тектонических подвижек вызывает срывы осадков со склонов и образование крупных тел седиментационных брекций. С магматической деятельностью этого времени связано формирование интрузий хунгарийского комплекса [20, 54].

Предгорией складчатости многими исследователями признается большое значение [18, 19, 59]. Однако ее проявление отчетливо фиксируется только в западной, красной части Восточно-Сихотэалинской зоны и практически не устанавливается восточнее — в зоне основного осадконакопления.

Безусловно только то, что в начале горизива происходит поднятие части территории Центрально-Сихотэалинской зоны и областей берриас-валанжинского осадконакопления, прилегающих к ней, и глубокий разрыв не только домовых, но и берриас-валанжинских образований. На это указывает наличие в гальках конгломератов горизив-барремских отложений интрузивных пород, отождествляемых с породами хунгарийского комплекса.

Основной бассейн осадконакопления в горизив-барремское время сместился к востоку и северу, но отдельные узкие заливы или проливы существовали и в пределах Центрально-Сихотэалинского поднятия. Характер осадконакопления существенно не изменился по сравнению с Валанжинским временем.

В существовавших прогибах отлагались преимущественно песчано-глинистые осадки и только вблизи краевых и внутристабильных поднятий образовались линзовидные тела контломератов, гравелитов и седиментационных брекций.

В альбе происходит последовательное сокращение границ

главного бассейна морского осадконакопления (Восточно-Сихотэалинская зона). В альбе в основном в альбе в восточной части бассейна (бас. рек Таежная, Кема, Самарга) образуется цепь вулканических островов с андезитовыми и базальтовыми вулканами.

В северо-западной части района, в Альчанская зоне, в альбе между Центрально-Сихотэалинским и Стрельниковским поднятиями возникает крупная вулканическая зона с проявлением стоянного по составу вулканизма — от андезитов до риолитов. Характерно проявление как эфузивных, так и пирокластических фаций, общая мощность которых, по данным геофизики, достигает 1400 м.

В конце альба и, возможно, в начале сеномана, морское осадконакопление происходит в остаточных прогибах Восточно-Сихотэалинской зоны. Осадки в основном песчаные, алевритовые и глинистые, которые можно отнести к молассе. Только на отдельных участках (верхнее течение р. Бикин) в основании разреза присутствуют линзовидные тела конгломератов, указывающие на трангрессивное залегание. Аналогичные трангрессивные соотношения наблюдаются и в ряде других участков (бас. рек Рудная, Зеркальная и др.). В Альчанской зоне во внутреннем водореме в это время накапливаются преимущественно грубообломочные породы — пески, гравий и галечник с большой примесью растительных остатков. Отложения близки к континентальной молассе.

В туроне или в конце сеномана происходит главная складчатость, в результате которой рассматриваемая территория, как и весь Сихотэ-Алинь, превращается в складчатую систему. Этой складчатостью были охвачены не только раннепермские, но и ранее консолидированные палеозойские и мезозойские сооружения.

В результате тектонических движений вся область материка испытала интенсивное сжатие. Формируются сжатые, косые и опрокинутые складки, осложненные многочисленными разломами: надвигами, свингами, шарьяжами. А. И. Бурдэ [9] предполагает, что в это время вся Сихотэ-Алинская складчатая система представляла собой крупную аккрецию призму. С этого времени регион вступает в орогенный режим [59], вовлекающий в общее поднятие и подвергающий глубокому размыву. К началу орогенного этапа И. И. Береснев (1986) относит заложение Восточно-Приморского разлома, отделившего современный материкиовый склон Сихотэ-Алиня от расположенной к западу суши. К востоку от разлома развивается

Западно-Япономорский прогиб. В результате растяжения, еще в орогенный этап, западнее Восточно-Приморского разлома в отдельных разрозненных тектонических депрессиях возникают вулканические сооружения андезитового состава (Петрозаводская и синандинская свиты). В некоторых депрессиях вулканизму предшествует (или происходит одновременно с ним) накопление грубобломочных Молассоидных толщ. С этим этапом связано проявление интрузивного магматизма нижнемурского и татибинского комплексов.

После некоторого перерыва во времени, в конце турона происходит активизация тектонических движений и в условиях сжатия возобновляются перемещения по продольным и поперечным разломам. К этому времени относится наиболее мощное проявление вулканизма кислого состава (приморская серия), охватившее всю прибрежную территорию и приведшее к формированию Восточно-Сихотэ-Алинского вулканического пояса. Стратовулканы располагались отдельно или группами, образуя простые и сложные кальдеры или вулкано-куполные структуры как в пределах вулканического пояса, так и в удалении от него. Отдельные вулканические постройки существовали, по-видимому, и в пределах современной акватории (банка Мусаси, возвышенность Аллатова, хр. Окусири и др.). Среди вулканических пород преобладали итнимбриты риолитового состава. И. И. Берсенев и др. (1986) предполагают, что в это время весь Япономорский регион представлял собой горную или холмистую сушу. С риолитовым вулканизмом связывают образование интрузий оливинского, бачелазского и, частично, приморского комплексов.

Следующий цикл активизации вулканизма приурочен к концу позднего мела и началу палеогена (датский век), когда в условиях растяжения и нисходящих движений происходило формирование вулканов с продуктами андезитового и андезидацитового состава (самаргинская свита). Отдельные депрессионные структуры заполнялись вулканогенной магмой. Поступавший затем риолитовый вулканизм (богопольская свита) был приурочен или к тем же структурам вулканического пояса, или к новым вулканическим депрессиям северо-западного и широтного про странства за его пределами. С вулканизмом этого этапа связано образование части интрузий приморского комплекса и субвулканических тел, некров и даек.

После этого этапа вулканизма, по мнению С. А. Салуна [59], и установления влажного и теплого климата, кор выветривания. По-видимому, суша располагалась и в пределах современной акватории Японского моря.

Новое оживление вулканической деятельности, связанной с тектонической активностью, приходится на эоцен—олигоцен. В это время вначале происходит изливание базальтов (салебская толща и ее аналоги) в пределах разрозненных вулканических центров, в основном в северной части вулканического пояса, а затем риолитов (брюсиловская свита). Риолитовый вулканизм в ряде случаев проявлялся вне пределов вулканического пояса в тектонических блоках северо-западного и близширотного простирания. Отдельные крупные вулканические центры существовали в пределах современной акватории (банка Мусаси и др.). В удалении от вулканического пояса возникают отдельные депрессионные (тектонические) впадины — Верхне- и Среднебикинская, Нижнесамурская и др., выполненные континентальными, иногда угленосными осадочными толщами. Наличие таких крупных впадин предполагается и в пределах акватории. Этому этапу тектально-магматической активизации сопутствует формирование сложного прибрежного интрузивного комплекса.

Миоценовый андезитовый и базальтовый вулканизм (казанская свита) активно проявился только в северной части территории, где был приурочен к рабенообразным структурам. В пределах акватории в конце

олигоцена — начале миоцена происходит слабое растяжение и опускание отдельных участков суши. В прогибах накапливаются континентальные осадки, а на отдельных участках происходит изливание базальтов.

В среднем миоцене трансгрессия охватывает весь район Западно-Японской зоны, что было вызвано глобальным повышением уровня Мирового океана с одновременным погружением дна Японского моря. Море затопило значительную часть приморского щельфа и Хоккайдо-Сихалинского бордюрленда. Морские песчано-глинистые осадки отлагаются практически по всеместно в Западно-Япономорском проливе. Предполагается, что в это время происходит изливание трахибазальтов на возвышенностях. В позднем миоцене на суше формируются коры выветривания.

В пределах Сихотэ-Алинской суши последняя вспышка вулканализма приходится на плиоцен и, возможно, захватывает раннечетвертичное время. Вулканы в основном приурочены к тектонически ослабленным зонам близширотного простирания. Извержения были как трещинного типа, так и из вулканов, близких к щитовым. Продукты вулканизма относятся к субщечочным базальтоидам (согаванская свита). Среди продуктов вулканизма преобладали лавы, при практически полном отсутствии туфов. Этими базальтами образованы обширные плато, месами они заливали древние речные долины.

Считается, что эпилатформенный режим в Сихотэ-Алине начался с эоцена и продолжается до настоящего времени. Наиболее интенсивные восходящие движения с амплитудой в 800—1000 м происходили в северной части территории в блоке, ограниченном на западе Хорской зоной, на юге — широтной зоной в бас. рек Бикин и Катэн. К этому блоку приурочены и наибольшие современные высоты.

В пределах акватории в плиоцен-четвертичное время накапливались и накапливаются преимущественно морские песчано-глинистые осадки. Только на некоторых участках вблизи побережья и внутренних поднятий в море появляются галечники и гравийники.

В четвертичное время неоднократно происходит смена эпох похолодания и потепления. Эвстатические колебания уровня моря и неравномерное поднятие отдельных участков суши обусловили образование морских и речных террас с различным врезом речевых долин.

ПОЛЕЗНЫЕ ИСКОПАЕМЫЕ

Территория листа богата разнообразными полезными ископаемыми.

Размещены они крайне неравномерно по площади, что обусловлено геологическим строением, разной степенью изученности, а также различной освоенностью отдельных районов как Приморского, так и Хабаровского края с прилегающей акваторией Японского моря.

В пределах листа известны многочисленные месторождения и проявления бурых углей, торфа, различных металлов, строительных материалов, проявления пьезоэлектрических материалов, химического и керамического сырья, абразивных материалов, горнотехнического сырья, поделочных и технических камней, минеральных удобрений и источников.

ГОРЮЧИЕ ИСКОПАЕМЫЕ

Нефть и горючие газы. Прямые нефтепроявления на территории неизвестны. В олигоцен-нижнемиоценовых отложениях (чернореческая свита) у с. Екатеринославка в отдельных прослоях аргиллитов и алевролитов отмечено присутствие битумов в количестве до 2 %, а к угольным пластам приурочены незначительные газопроявления с тяжелыми углеводородами, что указывает на наличие процессов нефтеобразования.

В. Г. Баринавский считает одной из наиболее перспективных структур в отношении нефтегенности небольшую брахиантиклиналь, расположенную в 5 км юго-восточнее с. Переяславка [67].

Каменные и бурые угли. Месторождения и проявления углей приурочены к впадинам и выявлены среди осадочных и вулканогенно-осадочных отложений мелового, палеогенового и неогенового возраста. Наиболее крупными являются: Переяславско-Ануйский прогиб (южная окраина Среднеамурской межгорной впадины), Среднебикинская, Верхнебикинская, Зеркальненская (Талушинская) впадины.

Угли формировались в склоновых обстановках — в бассейнах с лимническими условиями угленакопления. По качеству они разделяются на каменные и бурые. Степень углефикации уменьшается от меловых углей к неогеновым. Промышленное значение имеют палеогеновые и неогеновые угли.

Известно три месторождения каменных углей — Ганцинское, Ташанзовское и Шимухинское, выявленные в пределах Верхнебикинской впадины и представляющих, по-видимому, единую угленосную площадь. М-ние Ганцинское (III-2-1) расположено в приуставной части р. Оморошка, где среди гравелистых песчаников, аргиллитов и алевролитов олигоценового возраста обнаружены пластины и пропластки каменного угля. Мощность угленосной толщи около 90 м. Промышленное значение по предварительным данным имеет пласт «Первонец» средней мощностью 1,0—1,1 м, прослеженный на 35 км. Уголь каменистый, длиннопламенный, примыкающий к бурому. По результатам поисково-разведоч-

ных работ месторождение условию отнесено к категории малых, сведений о запасах нет.

М-ние Ганцинское (III-2-9) находится на левобережье р. Бикин в 20 км к северо-западу от пос. Охотничий. В углистых аргилитах олигогенового возраста вскрыты два пласта угля — верхний пласт «Спиртовый» и нижний «Первонец». Пласт «Спиртовый» мощностью 6,0 простижен на 1,5 км, имеет сложное строение и содержит включения сидеритовых конкреций и янтаря. Пласт «Первонец» мощностью 1,0 м сложен каменным, длиннопламенным, примыкающим к бурому. Зольность в среднем до 10 %, выход летучих от 4 до 50 %. Калорийность — 8000 ккал/кг. Содержит V и Ge 0,01 %. Месторождение условно отнесено к категории малых. Сведения о запасах нет.

Аналогичную характеристику имеет М-ние Шимухинское (III-2-11), которое расположено на южной окраине депрессии в 18 км северо-восточнее горы Широкая, где пласт «Спиртовый» имеет более сложное строение, выражющееся в верхней части угольного ритма более частой перекристальностью угольных и безугольных слоев. Месторождение также условно отнесено к категории малых.

В вулканогенно-осадочных и осадочных отложениях раннемелового возраста каменные угли обнаружены в бас. кл. Ближний (III-1-22, 23) и р. Б. Уссурика (V-1-9), на водоразделе р. Березовая и кл. Дорожный (VI-1-25), а также кл. Звериный и р. Дорожная (VI-1-31), где они образуют единичные прослои мощностью от 0,1 до 1,5 м и линзы черно-бурого, сажистого, как правило, сильно выветреного угля, не представляющего промышленного интереса.

В алевролитах позднемелового возраста в бас. р. Огротовая выявлены три пласти каменных углей мощностью 0,3—0,7 м каждый (III-1-2). Угли черные, блестящие, разрушены до шебня и сажистой пыли, нередко содержат гнезда стигматов. Проявление бесперспективно.

Среди аллювиальных отложений руч. Борисова (II-1-47) В. И. Малыгином в 1955 г. обнаружено несколько обломков каменного угля, имеющих линзовидную полосчатую текстуру. По данным анализа, он относится к витреновой разновидности и содержит большое количество смолы хвойных деревьев. Геологическая позиция проявления неясна, вероятно угленосность приурочена к отложениям палеогенового возраста эрозионного ока.

Месторождения бурых углей известны в Переяславско-Ануйском прогибе (М-ние с. Екатеринославка), в Среднебикинской и Зеркальненской впадинах.

М-ние с. Екатеринославка (I-1-4) находится на правобережье р. Хор, где в олигоцен-миоценовых отложениях в скважине № 9 подсечены шесть угольных пластов, из которых два имеют мощность 23,1 и 30,8 м и находятся на глубине 223 и 267 м соответственно. В скважине № 7 в 3,5 км к северо-востоку подсечено 23 угольных пласти и прослои, из которых один имеет мощность 5,4 м. Угли бурые, гумусовые, марки Б2. Качественные показатели: Ас — 34,1 %, Wa — 12,79 %, Vr — 53,92 %, Cr — 69,74 %, Hr — 5,56 %, S_o — 55,9 %, Q_e — 6667 ккал/кг.

По данным А. А. Козлова (1972), запасы угля для юго-западной части Обор-Уссурийской угленосной площади до глубины 500 м по категории C₂ составляют 1,8 млрд. т, из них на описываемую площадь приходится около 350—400 млн. т.

М-ние Среднебикинское (III-1-9) находится в среднем течении р. Бикин в районе поселков Олон и Нижнее Село. Палеогеновые угленосные отложения месторождения представлены обломочными породами разных литологических типов, переслаивающимися друг с другом и с пластами и пропластками угля. Угленосные отложения мощностью 500—750 м подраз-

деляются на три толши: нижнюю угленосную, среднюю безугольную и верхнюю угленосную, содержащие более 50 пластов и пропластков угля мощностью от 0,05 до 20 м, из которых девять пластов рабочих. Пласти изменичивы как по простирию, так и по падению, часто выклиниваются и расщепляются. Угли кларапеновые, бурые, переходящие к каменным, высококалорийные (5598—7831 ккал/кг), малосернистые (0,27 %), с относительно малым содержанием влаги (19,62 %) и с большим выходом летучих веществ, зольность 2,43—35,12 %. Запасы месторождений оцениваются по категориям C_2 для полезной разработки в 234,01 млн т, для открытой разработки — 14,64 млн т [69]. Ввиду небольших запасов, пригодных для открытой разработки, месторождение законсервировано.

М-ние Талушинское (VI-1-127) находится в среднем течении р. Эсркальная в районе пос. Боготоль, где на площади в 10 км² выявлено и частично разведано десять участков с промышленной угленосностью. Наиболее значительными из них являются: Крушинской с прогнозными ресурсами 5 млн т [79] и Вознинской с запасами по категории $C_1+C_2=1,22$ млн т [113]. Рудное поле месторождений представлено терригенной угленосной толщей палеоген-неогенового возраста мощностью более 50 м, содержащей до 10 пластов и пропластков бурого угля, из которых пять пластов имеют рабочую мощность. Наиболее изученными являются: пласт I (нижний) средней мощностью 0,65 и пласт 2 (верхний) средней мощностью 0,68 м. Уголь черного цвета, полублестящий или матовый, кларапен-дюренового типа, на отдельных участках дюреновый, переходный от бурого к каменному, приближающийся к марке Д. Качество угля: $W_p = 15,91 \%$, $A_p = 26,41 \%$, $A_c = 32,01 \%$, $V_r = 55,28 \%$, $S_{oob} = 0,26 \%$, $C_r = 72,92 \%$, $H_r = 6,32 \%$, $Q_r = 7229$ ккал/кг, кокс порошкообразный. Промышленное значение месторождения не определено из-за недостаточной изученности отдельных его участков, условно отнесено к категории малых.

Помимо перечисленных месторождений, на площади листа выявлен ряд углепроявлений, приуроченных к эрозионным окнам. Так, на левобережье р. М. Заломная (II-1-73) в раннемеловых отложениях (альчанская свита) в дорожных карьерах, отстоящих друг от друга на расстоянии 100 м, вскрыт угольный пласт мощностью 1—1,5 м, прорванный дайкой субвуликанических гранодиорит-порфиров позднего мела. Близи дайки угли каменные, на удалении — бурые. Каменные угли черные, блестящие, бурые — матовые. В пласте угля присутствуют сульфидные конкреции размером до 30 см в диаметре и углефиксированные обломки древесины. Качественные показатели углей: $W_a = 14,0 \%$, $A_c = 21,1 \%$, $V_r = 63,2 \%$, $N_r = 0,66 \%$, $Q_o = 8296$ ккал/кг, $C_r = 80,61 \%$, $H_r = 7,18 \%$.

С позднемеловыми осадочными связью проявление бурых углей в нижнем течении р. Тахало (II-1-65), где картировочными скважинами на глубине 20—25 м вскрыто пять пластов угля мощностью до 1 м. Распространение на площади и качественные характеристики угля не выяснены. С олигоцен-миоценовыми вулканогенно-осадочными отложениями связаны проявления: устья р. Пухи (I-3-1), верховья р. Лев-Сагды-Джаласу (I-3-7), Мужинский (I-4-3) на левобережье р. Муя, на правобережье р. Бикин (III-2-10), Власовское (IV-3-16) в бас. р. Щербатовка. Все они характеризуются единичными пластами бурых углей мощностью от 0,25 до 3 м, содержащих многочисленные малоносные прослои вмещающих пород. Качество углей низкое, как правило, они сильно выветренные, трещиноватые со значительным содержанием смол. Промышленного интереса данные проявления не представляют ввиду ограниченного распространения угленосных отложений.

Торф. На территории листа известно Контузаское м-ние торфа (III-1-17), расположенное в пределах Среднебикинского угольного месторождения. Площадь торфяников со-

ставляет 16—17 км² при мощности торфов 0,5—3 м. Торф слаборазложившийся, рыхлый, бурого и буровато-черного цвета, содержит болотное количество полуразложившихся стеблей и корней растений. Прогнозные ресурсы месторождения около 17 млн м³ [69]. В настоящее время месторождение находится в стадии дознуждения.

Небольшие по площади залежи торфа распространены в пределах верховых болот, на полях в долине р. Хор, по левобережью р. Гольда, в междуручье Хор—Матай. В верховых р. Опасная, в приступьевых частях рек Тохтина и Ботчи (I-5-1), а также вдоль побережья Татарского пролива от устья р. Единка до р. Венюковка. Мощность торфяников от 0,5 до 3 м, часто торф перекрыт слоем (10—20 см) суглинка и обводнен. Общие запасы торфа значительные, но разведочные работы не проводились или проведены на ограниченных площадях. Местным населением торф не используется.

МЕТАЛЛИЧЕСКИЕ ИСКОПАЕМЫЕ

Черные металлы

Железо. Магнетит отмечается в большинстве пород магматических комплексов как аксессорный минерал. Большая часть известных проявленных сосредоточена в Восточно-Сихотэалинской структурно-минералогической зоне и относится к гидротермальному типу. Для Кавалеровского и Дальнегорского рудных районов характерны проявления kontaktового метасоматического (скарнового) типа, в северной части листа — собственно магматические и осадочно-метаморфогенные. Особое место занято россыпные проявления магнетита в прибрежной полосе и на щельевой Японского моря.

Магнетитовая морская россыпь известна в районе бухты Тохтина (I-5-2) в пределах берегового вала протяженностью 1,1 км, шириной 150—200 м и высотой 4—5 м, сложенного песчаниками, реже песчано-галечными отложениями. Помимо магнетита с содержанием до 25 кг/м³, в нем присутствуют: ильменит — 7,4 кг/м³, гранат — 0,6 кг/м³, циркон — 50 г/м³, шеелит — до 250 г/м³. Общие запасы магнетита составляют 21,6 тыс. т [94]. Россыпь практического интереса не представляет из-за низких содержаний полезных компонентов и небольших размеров. Современные морские россыпи магнетита выявлены на щельце Японского моря напротив устья р. Максимовка (III-3-20) площадью свыше 25 км² с содержанием до 13 кг/м³, а также в районе пос. Кузнецово и севернее (III-4-8), где в толще осадков мощностью 2 м до изобат 40—50 м установлены повышенные его концентрации (от 1 до 13 кг/м³). В приусильевых частях крупных рек на этой площади выявлены врезы в дно моря, где мощность осадков увеличивается до 30 м. Запасы магнетита в блоках с содержанием более 1 кг/м³ составляют 177 тыс. т с меньшими концентрациями — 53,3 тыс. т [98]. Самостоятельный промышленный интерес россыпи не представляет ввиду малых концентраций магнетита.

Проявления гидротермального типа представлены маломощными в мезозойских риолитах и измененных порфиритах. В бас. кл. Железистый (VI-1-72) в осадочных породах триаса и юры вскрыто два горизонта гематитизированных песчаников и алевролитов мощностью 12 и 17 м с содержанием $Fe_2O_3 = 6,67—14,67 \%$, в единичных пробах до 19,09 %. В перекрывающих их порфиритах, пропитанных окислами Fe и Mn, содержание Fe_2O_3 до 10,92 %. Параметры зоны гематитизации окончательно не установлены.

Линзовидная залежь бурого железняка мощностью 0,6—1 м и протяженностью 8—10 м обнаружена в кремнистых и глинистых сланцах ранней перми в верховых кл. Кедровник (VI-1-124).

Проявления скарнового типа известны в бас. кл. Ганинственный (V-1-29) и в бас. р. Рудная (Ахобинское VII-1-27), где выявлена серия небольших по размерам линзообразных тел и жил магнетит-тейденбергит.

С палеозойскими ультраосновными породами (перидотиты, пироксениты) связаны собственно магматические проявления железа: Малосидиминское (I-2-6), Ороченское (I-2-10) и кл. Магнитный (IV-1-13). Они представлены гипогенным и гнездами титаномагнетита с содержанием Fe до 15 %, Ti — 0,1—1 %, редко больше, Ni — 0,01—0,1 %.

К проявлениям осадочно-метаморфического типа относятся гнезда и линзы сидеритизированных пород правого борта р. Янга (III-1-10). Проявление расположено в пределах Среднебикинской депрессии в отложениях палеогенового возраста. Мощность сидеритовых образований 10—30 см и до 1,5 м, содержание Fe_2O_3 — 50,42—53,4 %.

Марганец. Повышенные содержания марганца установлены на свинцово-цинковом м-нии Цептунское в минерализованных зонах преимущественно кварцевого, кварц-адулярового состава, на м-нии Приморское, золото-серебряном проявлении Бурматов Ключ, желеzорудных проявлений Мутухинской и кл. Железистый. К кремнистым отложениям верхнего палеозоя и нижнего мезозоя приурочены пять проявлений и ряд пунктов минерализации марганца. Все они тяготеют к тектоническим зонам и образовались в результате гидротермально-метасоматических процессов, хотя ряд пунктов минерализации (II-1-46, 68, 71) могут иметь промежуточно-осадочный генезис. Наибольший интерес представляют промежуточные пункты марганца, приуроченные к северо-восточной зоне брекчирования и окварцевания кремнистых пород мезозойского возраста (Лжаурская свита) прилежащности 4 км и шириной 0,1 км, где присутствуют обломки кварц-псиломелан-тиролюзитовых и кварц-тиролюзит-родонитовых пород с брекчииевидной и прожилково-вкрашенной текстурой. Спектральный анализ штуфных проб из зоны установлено более 5 % Mn и в одной пробе 50,8 % окиси марганца. Зона засушивания дает доизучения. Остальные проявления (II-1-4; II-2-3; VII-1-100) и пункты минерализации имеют только минералогический интерес.

Хром. Известно пять проявлений и пунктов минерализации хрома, большая часть которых связана с ультраосновными породами мезозайского возраста. Проявления III-1-3, 7, 11 сосредоточены в пределах Олонского массива дунитов, перидотитов и серпентинитов. Содержание хрома в них превышает 1 %. Аналогичное содержание хрома отмечено и в пункте минерализации кл. Травянинский (V-1-83), приуроченного к контакту дайки спессартитов с песчаниками раннемелового возраста. Хром в количестве 0,003 % содержится в пиритизированных гранитах мыса Мосолова (V-2-20). В верховьях р. Лев. Приточная излученая литотехнический ореол площадью около 13 км² (V-1-7) с содержанием хрома до 0,1 %, в бас. ореола — 0,005 %.

В верховьях р. Колумб в шлиховом ореоле (IV-2-11) хромит содержится в знаковых количествах. Из-за низких содержаний и небольших размеров проявления представляют только минералогический интерес.

Титан. Коренные проявления титана в большинстве своем связаны с разновозрастными и ультраосновными породами. Проявление Кадиминское (II-2-14) приурочено к раннемеловому гипербазит-габбровому массиву на правобережье руч. Листвиничный. Вкрапленные ильменитовые руды установлены преимущественно в габбро, реже в пироксенитах. По данным штуфного опробования выделено семь рудных тел с содержанием двуокиси титана 3,43—8,49 %, прослеженных по длине на 500—4500 м.

С раннемеловыми линзообразными телами перидотитов в бас. р. М. Сидими связаны проявления Малосидиминское (I-2-6) и Ороченское (I-2-10) с содержанием титаномагнетита до 20 %.

Титан количеством 1 % присутствует в рудопроявлениях р. Б. Уссурка (IV-1-13), Медное (IV-2-49) и кл. Петрованова (IV-2-59) в виде примеси в сульфидных жилах, зонах минерализации и дробления. Практического значения указанные проявления не имеют из-за низких содержаний и малых масштабов рудных зон.

В осадочных породах ариадинской свиты и перекрывающих их палеогеновых базальтах в бас. р. Олонка (III-1-14) содержание титана превышает 1 %, а в кремнисто-железистых сланцах юрского возраста на проявлении руч. Пуговодный (V-1-92) оно достигает 11,44 % (единичные пробы).

В результате размыва коры выветривания габброродов мелового возраста в верховых ручьев Хакы, Гыгдымы, Уончи образованы россыпи рудовых запасы по долине руч. Уончи составляют 288 тыс. т ильменита (М. Ф. Кохановский, 1975). По аналогии с этой россыпью подсчитаны прогнозные ресурсы по группе Р₂ для двух других россыпей, составляющие 75 тыс. т ильменита [77]. Как уже отмечалось, в прибрежноморской магнетитовой россыпи бух. Гохтника содержание ильменита достигает 7,4 кг/м³.

Ильменит широко распространен в аллювиальных основных волоток терриории в количестве от знаковых до весовых, иногда достигая 1,5 кг/м³ в ореолах (II-1-4; II-2-7; IV-2-18), а в нижнем течении р. Караванная (V-1-24) в отдельных шлихах 116,8 кг/м³.

Ванадий. Повышенное содержание ванадия (0,06 %) выявлено на побережье Японского моря в районе мыса Мосолова в пиритизированных позднемеловых гранитах (V-2-20). Ванадий, как попутный компонент, отмечен также в ряде проявлений (III-2-78; V-2-12, 33), где его содержание достигает 0,006—0,01 %.

Цветные металлы

Медь. Известно два месторождения, ряд проявлений и ореолов расеяния меди. Месторождения и проявления относятся либо к гидротермальной, либо к скарновой генетической группе.

Елизаветинское м-ни (V-2-43) находится на левобережье руч. Ветровой и представлено двумя рудными полями — с существенно медными и существенно свинцово-цинковыми рудами (описано в разделе «Свинец, цинк»). Рудные тела, несущие медную минерализацию, приурочены к метаморфизованным андезитам синанчинской свиты, прорванных интрузией габбро-диоритов Башелазского комплекса, и представлены 14 кварц-сульфидными жилами протяженностью 20—190 м и мощностью от 0,2 до 4,0 м с содержанием меди от 0,06 до 8,45 %, среднее — 0,53 %. Запасы меди по категории В — 3765 т, С₁ — 7965 т [129].

М-ние Гильдовское (Ахобинское) (VII-1-96) на водоразделе рек Рудная и Лидовка приурочено к полю развития скарнов и скарнированных терригенно-карбонатных пород триасового и мелового возраста протяженностью 1700 м при ширине 500—800 м, находящегося на пересечении карбонатных пород с зоной крупного разлома. В пределах рудного поля выявлено девять рудных тел протяженностью 20—200 м и мощностью от 0,2 до 15 м. Тела прослежены на глубину от 14 до 260 м. Руды содержат неравномерную вкрапленность сфалерита, галенита, халькопирита, борнита и примазки азурита и малахита. Содержания: Cu — 0,1—3,0 %, Pb — 0,2—4,0 %, Zn — 0,01—4,58 %, Ag — до 220 г/т.

Медно-молибденовый тип минерализации с убогим содержанием проявлен в центральной части рудного поля на свинцово-цинковом м-нии Каменское, на флангах золото-серебряного м-ния Думминское. Запасы медди подсчитаны для вольфрамового месторождения Восток-2 по категориям $B + C_1 + C_2 = 43$ тыс. т, для Тернистого оловорудного м-ния по категориям $B = 65$ т, $C_1 = 1313$ т и $C_2 = 144$ т.

Подавляющая часть проявлений меди относится к гидротермальному типу. Содержание меди в них редко превышает 1 %. Она, как правило, ассоциирует со свинцом, цинком, серебром, золотом, реже с оловом в различных количественных соотношениях. Более высокими концентрациями меди отличаются проявления: Малютка ($\Pi\text{-}3\text{-}4$) — 3,74 %, Чудное ($\Pi\text{-}3\text{-}4$) — 5,24 %, р. Арму ($\Pi\text{-}2\text{-}69$) — 4,5 %, Нестеровское ($\Pi\text{-}3\text{-}21$) — до 9,2 %, Чинское ($\Pi\text{-}3\text{-}6$) — до 3 %.

К скарновому типу принадлежит проявление кл. Двойной (VI-1-90), которое представляет собой скарновую залежь мощностью 6,5 м, прослеженную на 220 м, с содержанием $\text{Cu} = 0,74\%$, $\text{Pb} = 0,78\%$, $\text{Zn} = 0,04\%$.

Прогнозные ресурсы залежи по группе P_2 составляют 600 т меди и 1500 т свинца [113].

В верховых р. Лиственная находится шлиховая ореол халькопирита Шомский ($\Pi\text{-}3\text{-}7$) со знаковыми содержаниями. В качестве элемента-примеси медь встречается в рудах практически всех свинцово-цинковых и оловянных месторождений и проявлений.

Свинец. Проявления и пункты минерализации свинца относятся к гидротермальному высоко- и среднетемпературному типу и связаны с разновозрастными гранитоидами. Они представляют собой либо кварцевые жилы с повышенным содержанием, либо зоны гидротермального изменения и дробления с вкрапленностью и линзовидными обособлениями галенита.

Кварцевые жилы приурочены к гранитным массивам (V-2-29) либо расположены во вмешающих породах (IV-1-58 ; IV-2-11 , 35, 64; V-1-12 , 14). Зоны гидротермально измененных и дробленых пород с вкрапленностью галенита встречаются в пределах интрузивных массивов ($\Pi\text{-1-13}$, 35; IV-2-50 ; VI-1-47 , 122), в эндо- и экзоконтакте гранитоидов и вмещающих пород ($\Pi\text{-1-24}$, 32) и подавляющее большинство — в самих вмешающих породах.

Наряду с повышенным содержанием свинца (от 0,01 до 1,5 %, редко выше), для проявленных характерно наличие олова, серебра, редко молибдена, меди, вольфрама, золота (тысячные и сотые доли процента).

Наиболее высокими концентрациями отличаются проявления Ильмо (IV-2-50) — Pb до 13,78 % и р. Монастырка (IV-1-122) — Pb до 20 %. В россыпи кл. Базальтовый (IV-1-28) содержится галенит до 1—1,5 г/м³. Большая часть пунктов минерализации (I-3-3 , 6; III-2-24 , 64, 80; V-1-3) представлена штуфными пробами с повышенным содержанием свинца и сопутствующими элементами.

Кроме проявлений и пунктов минерализации выявлены незначительные по размерам литогеохимические ореолы с содержаниями свинца 0,005—0,1 % и шлиховые ореолы рассеяния со знаковыми содержаниями галенита.

Свинец и цинк. Известно 26 месторождений свинца и цинка, большое количество проявлений, сосредоточенных главным образом в южной и в меньшей мере в прибрежной частях, в пределах Восточно-Сихотэ-алинского структурно-минералогической зоны. Они относятся к трем генетическим типам: гидротермальному, скарново-гидротермальному и смешанному. Кроме того, галенит и сфалерит присутствуют во многих оловорудных месторождениях и проявлениях.

К гидротермальному высоко-среднетемпературному типу относятся месторождения Каменское, Южное, Кирилловское, Иерусалимское, Утесное, Безымянное, Елизаветинское, Озерковское, Пластунское, Шептунское, Жильное, Опричиненское, Лидовское, Монастырское. Подавляющее большинство их расположено в Дальнегорском рудном районе.

М-ние Каменское (V-1-63)

находится на водоразделе рек Базовая и Черемуховая. На его площади развиты раннемеловые осадочные породы, смытые с синклинальную складку и прорванные небольшими интрузиями среднего и кислого состава. В пределах рудного поля проявлены минерализации нескольких типов. Основную часть слагают свинцово-цинковые руды с серпоколлоидной минерализацией [101].

М-ние Южное (V-1-86)

расположено в верховых ключей Сухой и Соседний. В районе месторождения развиты осадочные породы юры и раннего мела, которые слагают юго-восточное крыло антиклинали и прорываются дайками диоритовых порфиритов и штоками кварцевых диоритов бачелазового комплекса. Рудные тела приурочены к трещинам широкого простирания и представлены трещинными жилами выполнены слабо минерализованными зонами дробления. Они прослежены по простиранию на 40—700 м и имеют мощность 0,2—0,87 м до глубины 400 м. В составе руд кроме сульфидов значительное место принадлежит сульфатам свинца и карбонатам марганца. Содержания свинца — 0,46—9,08 %, цинка — 0,3—6,98 %, серебра — до 1065,6 г/т, олова — до 0,36 %. Запасы по категории C_1 : свинца — 1900 т, цинка — 900 т; по категории C_2 : свинца — 5,7 тыс. т, цинка — 2,8 тыс. т, сурьмы — 1,4 тыс. т [124].

М-ние Кирилловское (V-1-93) находится в верховых р. Черемуховая и приурочено к висячему боку тектонического разлома. Рудные тела, представленные минерализованными зонами дробления, расположены в вулканогенно-осадочных породах верхнего мела. Месторождение относится к свинцово-цинковому полиметаллическому типу, в котором помимо сульфидов отмечается присутствие сульфостанатов свинца. Распределение свинца и цинка в рудах крайне неравномерное. Содержание свинца — 0,01—34,9 %, цинка — до 9,5 %. В первичных рудах содержатся галлий, иттрий, кадмий в количествах до 0,01 %.

М-ние Иерусалимское (V-2-39) расположено в среднем течении р. Черемуховой, где среди гранитов, гранодиоритов и диоритов бачелазского комплекса вскрыто более 10 зон прожилково-вкрапленной свинцово-цинковой минерализации, маломощные линзы и гнезда сульфидов. Содержание свинца и цинка — десятые доли процента, в единичных пробах Pb — до 4,17 %, Zn — до 21,71 %. Прогнозные ресурсы, подсчитанные по группе P_2 (по геохимическим данным), составляют для свинца — 20 тыс. т, цинка — 26 тыс. т [113].

М-ние Утесное (V-2-40) в 8 км северо-западнее пос. Пластун, на водоразделе р. Джигитовка и руч. обнаженных и артиллитизированных пород, обраzuvannых по амфиболитам, андезитолитам и дацитам синанцинской свиты. В пределах рудного поля вскрыто и прослежено на расстояние до 1,5 км 14 минерализованных зон мощностью до 20—37,6 м. Содержание свинца в рудах — 0,1—6,72 % (среднее 0,5 %), цинка — около 1 %, серебра — до 22—35 г/т. Прогнозные ресурсы по группе P_2 : свинца — 70 тыс. т, цинка — 120 тыс. т [113].

М-ние Безымянное (V-2-42) находится в бас. р. Джигитовка, где среди андезитов синанцинской свиты, прорванных дайками гранит-порфиров и штоком диоритов, вскрыто 12 минерализованных зон дробления мощностью 0,2—12,6 м с содержанием свинца 0,2—3,98 %, цинка —

0,02—2,5 %, иногда меди — 0,2—0,6 %, а также зона прожилково-вкра-
ленной сульфидной минерализации мощностью 66 м со средним содержанием свинца 0,5—0,7 %. В пределах рудного поля предполагается обнаружение еще трех рудных зон объемом 500×50×100 м со средним содержанием Pb — 0,6 %, Zn — 1 %, Ag — 20 г/т. Прогнозные ресурсы месторождения по группе Р₂: свинца — 250 тыс. т, цинка — 300 тыс. т [113].

М-ние Елизаветинское (V-2-43) на левобережье руч. Ветродуй, как уже отмечалось ранее, приурочено к андезитам синанчинской сви-
ты, прорванных интрузивным массивом габбро-диоритов бачелазового комплекса. В эндо- и экзоконтакте интрузии с вмещающими породами вскрыто и прослежено на расстояние до 300 м 10 рудных тел мощностью 0,2—14 м с прожилково-вкрашенным свинцово-цинковым ору-
дением. Содержание свинца до 2,6 %, цинка — до 0,3 %, редко вольфра-
ма — до 0,8 %, золота — до 5 г/т, в единичных случаях олова — до 8,48 %. Прогнозные ресурсы месторождения по группе Р₂: свинца — 50 тыс. т, цинка — 80 тыс. т [113].

М-ние Озерковское (V-2-49) расположено на водоразделе р. М. Оленья и руч. Кедровый. На площади месторождения широко раз-
виты кристаллокластические туфы риолитов приморской серии, прорван-
ные дайками порфириотов. Рудное поле представлено восемью минера-
лизованными зонами дробления с прожилково-вкрашенной минерализа-
цией мощностью 1—10 м и протяженностью от 360 до 900 м. Они раз-
веданы до глубины 150 м, при этом выклинивания не наблюдаются.
Содержание свинца — 0,2—7,54 % (среднее 1,2 %), цинка — 0,2—7,42 %
(среднее 1,55 %), серебра — до 84 г/т, редко — до 166 г/т. Балансовые запасы свинца составляют 10,8 тыс. т, цинка — 15 тыс. т [129].

М-ние Пластунское (V-2-50) находится на побережье Японского моря, южнее мыса Якубовского. Район месторождения сложен туфо-
песчаниками и туфоалевролитами петрозаводской свиты и приокластами
приморской серии, к границе между которыми и приурочено оруденение,
локализованное в пластообразных и линзовидных телах различных раз-
меров. Минерализация представлена равномерной обильной вкрашен-
ностью или гнездами и линзовидными скоплениями пирротина, халько-
пирита, пирита, магнетита, галенита, сфalerита. Содержание металлов в отдельных гнездах, по данным спектрального анализа, составляет:
меди — 1 %, свинца и цинка — более 10 %, олова — до 1 %. Среднее содержание меди 0,1 %. Запасы свинцово-цинковой руды около 100 тыс. т [126].

М-ние Шептунское (Малосинанинское) (VI-1-16) расположено в верховых одиночной реки среди осадочно-вулканогенных пород при-
морской серии, прорванных линзовидных зонами и маломощными (0,2—2,05 м)
кварцевыми жилами с вкрашенностью сульфидов в измененных туфах.
Наиболее мощная зона № 1 прослежена по простианию на 100 м и в глубину на 35 м. Содержание свинца на месторождении 0,6—10,6 % (среднее 1,8 %), цинка — 4,8—17,0 % (среднее 5,6 %), серебра — до 40 г/т. Прогнозные ресурсы месторождения по группе Р₂ составляют: свинца — 46,5 тыс. т, цинка — 71,5 тыс. т.

М-ние Жильное (VI-1-33) находится на левобережье р. Лидовка в долине кл. Жильного. Район месторождения сложен песчаниками валанжина, смятыми в антиклиналь складку, несогласно перекрытыми эффективами приморской серии. В пределах рудного поля прослежена на расстояние 1200 м, другие — на 100—120 м. Содержание свинца в зонах — 0,01—30,07 % (среднее 0,5 %), цинка — 0,02—1,67 % (среднее 0,1 %), среднее содержание олова — 0,03 %, иногда золота до

0,2 г/т, серебра — до 587 г/т. Прогнозные ресурсы по группе Р₂: свинца — 29 тыс. т, цинка — 25 тыс. т, олова — 2100 т [113].

М-ние Опричненское (Мутуинское) (VI-1-40) расположено в верховьях левого притока кл. Первый. На площади месторождения развиты туфы кварцевых порфирий приморской серии, перекрытые андезитовыми порфиригитами самаргинской свиты. Рудные тела приурочены к зоне текто-
нических нарушений северо-западного простирания шириной 80—100 м. В пределах зоны породы осветлены сильно окварцованны, притерты, прорваны и содержат рассеянную вкрашенность галенита и сфалерита. Рудные тела представлены маломощными кварц-сульфидными жилами и зонами дробления мощностью до 1,5 м. Содержание свинца в рудах достигает 6,99 %, цинка — до 8,7 %. Прогнозные ресурсы по группе Р₂: свинца — 20,6 тыс. т, цинка — 32,6 тыс. т [113].

М-ние Лидовское (Ахобинское) (VI-1-87) находится на водоразделе рек Лидовка и Рудная. Рудное поле приурочено к гравелитовым песчаникам и сланцам валанжина, перекрытым верхнемеловыми эфузивами и прорванных мелкими интрузиями гранодиорит-порфириями, дайками риолитов, кварцевых порфириев и диабазовых порфириев. Рудные тела локализуются в ядре синклинальной складки в зоне повышенной трещиноватости. Они представлены жилами выполнения или зонами дробления мощностью 8—10 м (среднее 1—1,7 м). В глубину они разведаны до 530 м. Мощность зоны окисления 5—15 м. Среднее содержание свинца в первичных рудах 8,0 %, цинка — 6,4 %, в окисленных рудах свинца 12,3 %. Помимо свинца и цинка в них отмечается наличие кадмия, висмута, серебра, индия, иногда олова до 0,1 %. Запасы по категориям В+С₁+С₂: свинца — 61,1 тыс. т, цинка — 44,7 тыс. т; Забалансовые: свинца — 6,1 тыс. т, цинка — 4,7 тыс. т [113]. Месторождение эксплуатируется.

М-ние Монастырское (VI-1-118) расположено на левобережье р. Монастырка среди верхнетриасовых песчано-глинистых отложений и вулканогитов приморской серии, прорванных дайками основного состава. В пределах рудного поля вскрыто 10 рудных зон вкрашенного и прожилково-вкрашенного оруденения, приуроченных к дайкам и вулканитам. Мощность зон от нескольких десятков сантиметров до 1 м. Они прослежены на расстояние до 150 м. Содержание свинца и цинка 0,6—1,2 %. Запасы по зонам № 1 и 3 по категории С₂: свинца — 982 т, цинка — 1140 т. Прогнозные ресурсы месторождения по группе Р₂ свинца и цинка 37—43 тыс. т (В. А. Сапожников, 1978).

К скарново-гидротермальному типу относятся месторождения Дальнегорского рудного района: Горобушинское, Довгалевское, Верхнее, Малышевское, Нижне, Восточный Партизан, Второй Советский рудник, Средний Партизан, Западный Партизан и Светлый Отвод.

М-ние Горобушинское (VI-1-19) находится в верховьях р. Лидовка среди скарнированных песчаников и известняков верхнего триаса и юры. Оруденель скарны содержат в среднем свинца — 4,5 %, цинка — 2,2 %. Месторождение изучено слабо. Запасы свинца, по данным 1942 г., составляют 230 т, цинка — 1010 т.

Недостаточно изученным является и м-ние Довгалевское (VI-1-21), которое находится также в верховьях р. Лидовка, в 2,5 км юго-западнее с. Горобушинское, где в вулканогенно-осадочных породахмелового воз-
раста вскрыты линзы скарнов с содержанием свинца — до 2,37 %, цинка — до 8,8 %, редко олова — до 0,23 %. По данным 1939 г., запасы свинца составляют 227 т, цинка — 1022 т.

Остальные месторождения скарново-гидротермального типа приурочены к известнякам тетюхинской свиты и осадочным породам горбо-
морской серии, частично перекрытыми вулканогенными породами при-

М-ние Верхнее (Верхний рудник) (VI-1-35) находится в среднем течении р. Рудная, в окрестностях Дальнегорска и представлено трубообразными телами геденбергитовых скарнов. С глубиной появляется акснит, содержание свинца и цинка падает. Главное рудное тело расположено на глубину 1000 м и имеет площадь поперечного сечения на поверхности 2800 м², ниже горизонта 162 м — 5700 м². Содержание свинца — 0,5—12,8 %, цинка — 5,3—15,0 %, висмута — 0,005—0,35 %, серебра — 120—900 г/т, галлия, таллия, индия — от следов до 100 г/т, редко германий — 10—100 г/т. Запасы руды по категории А+B+C₁ — 3 499 578 т при содержании Pb — 2,17 %, Zn — 6,34 %, по категории C₂ — 432 356 т при содержании свинца — 1,40 %, цинка — 5,0 % [126]. Месторождение эксплуатируется.

М-ние Малышевское (IV-1-38) севернее Дальнегорска представлено линейно вытянутыми близмеридиональными телами протяженностью 360—2080 м и мощностью 1—13 м. Содержание свинца — 3,8—35,63 %, цинка — 2,09—41,18 %. Запасы руды, по данным В. В. Берлизова (1966), составляют 797,05 тыс. т, в том числе свинца — 34 346 т, цинка — 30 996 т. Прогнозные ресурсы группы Р₁: свинца — 20 тыс. т, цинка — 25 тыс. т [113]. Месторождение эксплуатируется.

М-ние Нижнее (Первый Советский рудник) (VI-1-42) в окрестностях Дальнегорска представлено трубообразными рудными телами с поперечным сечением 20—600 м². Некоторые из них вытянуты вдоль контактов и нарушенный в виде жилообразных залежей. В известняках скарны геденбергитовые, на контакте с алевролитами, песчаниками и эфузивами — гранатовые, эпидотовые и аксинитовые. Выделяются три группы тел: северо-восточная, центральная и юго-западная, причем для северо-восточной характерно уменьшение содержания полезных компонентов с глубиной. Запасы руды по категории А+B+C₁ — 263 761 т при содержании свинца — 2,77 %, цинка — 5,55 %, по категории C₂ — 10 230 т при содержании свинца — 2,77 %, цинка — 4,86 %. Помимо свинца и цинка, в рудах содержится галлий, индий, селен, таллий, серебро и висмут. Месторождение отработано.

М-ние Второй Советский рудник (VI-1-48) находится также в окрестностях Дальнегорска. Рудное поле представлено пятью трубообразными телами геденбергитовых и ритмично-полосчатых скарнов. Площадь сечения тел 330—440 м², содержание свинца — 2,9—4,8 %, цинка — 4,0—6,7 %. Запасы месторождения, по данным 1958 г.: свинца — 9,1 тыс. т, цинка — 11,5 тыс. т, эксплуатируются.

М-ния Партизанской группы: Восточный Партизан (VI-1-46), Средний Партизан (VI-1-49), Западный Партизан (VI-1-53) расположены в одном блоке известняков, местами перекрыты андезитами к югу от Дальнегорска, и представляют собой по существу рудные поля одного месторождения. Рудные тела трубообразной формы сложены геденбергит-гранатовыми, геденбергит-транат-аксинитовыми, аксинит-гранатовыми, реже волластонитовыми скарнами с сульфидной вкрапленностью. Запасы по месторождениям: Восточный Партизан — свинца — 14,1 тыс. т, цинка — 19,7 тыс. т, висмута 12 т; Западный Партизан — свинца — 4,7 тыс. т, цинка — 6,3 тыс. т [75]. Месторождения в значительной мере отработаны.

Близкую характеристику имеет м-ние Светлый Отвод (VI-1-58), расположенные в 2 км южнее Дальнегорска в пределах контакта интрузии гранофиров и известняков, с запасами свинца — 11,7 тыс. т и цинка — 10,6 тыс. т.

К смешанному типу относятся месторождения Николаевское и Садовое.

М-ние Николаевское (VI-1-17) выявлено в верховых одноминной пади (правый приток р. Горбуша) и приурочено к многофазному Нико-

лаевскому палеовулканическому аппарату. Месторождение представлено сложными пластообразными скарново-сульфидными залежами, локализованными на контакте известняков тетюхинской свиты с перекрывающимися их верхнемеловыми туфами риолитов, а также жильными рудными телами и штокверкотодобными телами прожилково-вкрашенного орудения в эндо- и экзоконтакте некка риолитов и Николаевского интрузива габбро-диоритов.

К скарновому типу оруденения относятся семь рудных тел. Основное (Восток-1) имеет сложное пластообразное строение с многочисленными жило- и трубообразными ответвлениями. Оно залегает на глубине 750—1500 м и простягнуто на 1350 м, предполагаемая протяженность 1800 м. Мощность его от 0,5 до 40—50 м, средняя — 20—25 м. Среднее содержание свинца — 3,18 %, цинка — 3,26 %. Залежь Нижняя имеет аналогичное строение и прослежена на 1200 м, средняя мощность 19 м. Среднее содержание свинца — 1,19 %, цинка — 2,08 %, олова — 0,1 %. Пять других рудных тел длиной 100—500 м, поперечным сечением от 80 до 4570 м², аналогичны по содержанию залежи Восток-1.

По минералогическому составу скарновые залежи не отличаются от руд других месторождений Дальнегорской группы. Основную массу собственно скарнов слагают геденбергит, кальцит и кварц. Главные рудные минералы — сфалерит и галенит ассоциируют с пирротином, халькопиритом, арсенопиритом и др. Жильные и штокверкотодобные тела сосредоточены в гидротермально измененных породах, превращенных в метасоматиты преимущественно кварц-серпентитового состава с переменным количеством хорита, кальцита, гидрослюд и турмалина, несущих вкрапленность сульфидов. Содержание свинца в них достигает 2 %, цинка — 0,9 %, серебра — 5—6 г/т.

М-ние Садовое (VI-1-68) находится на правобережье р. Рудная в среднем течении. В районе развиты терригенно-карбонатные отложения тетюхинской свиты, надвинутые на породы юрского возраста (трубогипсовая свита) и прорванные дайками андезитовых и диоритовых порфиритов. Скарново-сульфидные пласти, трубо- и линзообразные тела (группы Мартовская, Галенитовая, Нижняя) залегают в карбонатных породах, а жилы и вкрапленное оруденение (Гужкая) — в вулканитах или приконтактовых частях даек с вмещающими их породами. Основную ценность представляют Мартовская группа рудных тел длиной 500 м и шириной 128 м. Вертикальный размах оруденения 250 м. Минералогический состав руд близок к рудам Николаевского м-ния. Среднее содержание свинца — 3—7 %, цинка — 3,7—9 %. Запасы на 1985 г. свинца — 117 тыс. т, цинка — 170 тыс. т [113].

Проявления и пункты минерализации относятся к тому или иному из описанных типов минерализации и, как правило, пространственно ассоциируют с месторождениями. Большая часть их характеризуется неизначительными размерами и содержаниями свинца и цинка 0,01—13,78 %. По некоторым проявлениям Дальнегорского рудного района по геохимическим данным произведен подсчет прогнозных ресурсов по группе Р₂: Западное (VI-1-72) свинца и цинка 242,4 тыс. т [101]; Высокое (VI-1-3) — свинца — 28 тыс. т, цинка — 70 тыс. т; Осеннее (VI-1-6) — свинца и цинка 20—25 тыс. т; Магнитное (VI-1-12) — свинца — 56 тыс. т, цинка — 75 тыс. т, олова — 8 тыс. т; Южно-Солонцовское (VI-1-69) — свинца — 52 тыс. т, цинка — 156 тыс. т; Половинка (VI-1-70) — свинца (VI-1-70) — свинца — 26 тыс. т, цинка — 31 тыс. т; Кл. Двойной (VI-1-90) — свинца — 10 тыс. т, молибден — 600 т; Кедровое (VI-2-3) — свинца — 35 тыс. т, цинка — 50 тыс. т, молибден — 3 тыс. т [113]. По проявлению руч. Второй Ключ (VI-2-6) запасы по категории C₁ свинца — 2 тыс. т (А. И. Крякин, 1984), прогнозные ресурсы группы Р₁: свинца — 8 тыс. т, цинка — 10 тыс. т.

В литогеохимических ореолах содержание свинца и цинка — 0,005—1 %.

Цинк. Выявлено два самостоятельных проявления и один пункт минерализации цинка в бас. рек Бикин (III-1-19; III-2-17) и Рудная (VI-1-61). В первом случае он связан с небольшими кварцевыми жилами в осадочных породах, а в бас. р. Рудная с прожилками пирофиллитового состава в кварцевых порфирах позднемелового возраста.

Содержание цинка 1,0—1,2 %. В качестве сопутствующего элемента цинк содержится во многих оловянных и свинцово-цинковых месторождениях, проявлениях и пунктах минерализации, в количестве до 0,01 % в литогеохимических ореолах (I-3-21, IV-1-11).

Никель. Известно пять проявлений и ряд пунктов минерализации, два литогеохимических и один гидрохимический ореол рассеяния никеля. Проявления и пункты минерализации приурочены к разновозрастным основным и ультраосновным массивам, к корам выветривания амфиболов и базальтов. В интрузивных массивах минерализация, как правило, сопровождается гидротермальным изменением вмещающих пород, серпентинизацией, реже оталкливанием и др. В проявлениях (I-2-7, 13; III-1-1, 21; IV-1-5) и пунктах минерализации (II-1-63, 64; II-2-7, 20; III-1-34) содержание никеля 0,001—0,3 %, редко 1 %. В большинстве случаев никель ассоциирует с хромом и кобальтом.

В литогеохимических ореолах никеля и хрома в бас. р. Колумбе (IV-2-14, 15) его содержание до 0,03 %, а в гидрохимическом ореоле бас. р. Кафэ (I-2-19) содержание никеля 0,02—0,05 %. Возможность обнаружения интересных объектов никеля в пределах листа маловероятна.

Кобальт. Повышенные концентрации кобальта установлены в никелевых проявлениях Заломи (III-1-21), Маревское (III-1-34) и к. Но-восток (IV-1-5) в количестве 0,01—0,03 %, а также в литогеохимических ореолах в бас. р. Колумбе — до 0,02 %.

Молибден. Обнаружено одно месторождение и ряд проявлений, пунктов минерализации и литогеохимических ореолов рассеяния молибдена. В качестве примеси он содержится в некоторых полиметаллических оловорудных месторождениях и проявлениях.

Минне Озерковское (V-2-52) находится на побережье Японского моря, в 13 км юго-западнее пос. Пластун и связано с интрузией гранитов приморского комплекса, прорывающей песчаники юрского возраста и кислые пирокластиты приморской серии. Молибденовая минерализация приурочена к секущим гранитам малошкольного проявления, кварплленности и гнейзами молибдита. Реже кварплленность молибдита наблюдается в самих гранитах. Содержание молибдена 0,01—0,28 %, золота — 0,4 г/т, серебра — 1 г/т. В рудах установлено наличие олова, ниobia, титана, вольфрама, галлия. Отмечается свинцово-цинковое оруденение в виде маломощных кварцевых прожилков с кварплленностью и гнейзами молибдита, либо к экзоконтактам этих интрузий с ориентированными вмещающими породами, где представлены кварц-мolibденитовыми жилами и минерализованными зонами дробления. Запасы молибдена [129].

Проявления молибдена приурочены либо к интрузиям кислого состава (I-2-3, 5, 15; I-4-1; IV-1-2, 40; IV-2-3, 8; V-2-1, 14, 32, 34, 48), где представлены зонами грейзенизации и кварцевыми жилами с кварплленностью и гнейзами молибдита либо к экзоконтактам этих интрузий с разновозрастными вмещающими породами, где представлены кварц-мolibденитовыми жилами и минерализованными зонами дробления. Запасы молибдена 2,5 т. молибдена.

В литогеохимических ореолах (I-2-17; IV-3, 5, 16; V-1-1, 27; V-2-17) содержание молибдена 0,001—0,002 %.

Вольфрам. Выявлено два месторождения вольфрама, большое количество проявлений и ореолов рассеяния. В качестве элемента-спутника вольфрам встречается в рудах многих оловянных месторождений, редко металльного месторождения Партизанское.

Месторождения и подавляющее число проявлений относятся к скарново-гравелоновой шебелитовой формации.

Минне Кафэн (I-2-16) находится в бас. руч. Военный и приурочено к зонам повышенной трещиноватости, пересекающим складку, сложенную кремнисто-терригенными породами триасового возраста и с пермскими вулканитами основного состава. Осадочно-вулканогенный комплексы прорван дайками диабазов, габбро-диабазов и небольшим штоком гранитов. В пределах рудного поля обнаружено 32 рудных тела, сосредоточенных в полосе трещиноватости шириной 150—320 м и длиной 500 м. Они представлены кварцевыми жилами, зонами прожилкового окварцевания штокверкового типа, зонами дробления и метасоматических зонами с кварцевыми прожилками и гнейзами. Оруднение развито как в гранитах, так и во вмещающих их породах. Среднее содержание вольфрама — 0,29 %, олова — 0,01—0,2 %, меди — 0,01—0,3 %, цинка — 0,01—0,1 %, серебра — 0,01—10 г/т, висмута — 0,01 %. Прогнозные ресурсы месторождения составляют 9 тыс. т трехокиси вольфрама [77].

Минне Восток-2 (III-1-18) находится в бассейне одноименного ручья, правого притока р. Дальняя. На плошади месторождения развиты позднепермские и гриасовые кремнисто-терригенные отложения, прорваные сложным по составу штоком гранитоидов и серией даек кислого и сульфидными залежами и минерализованными зонами дробления. Главная залежь имеет длину промышленной части 500—650 м, мощность 4—30 м и прослежена на глубину свыше 400 м. Близи штока гранитоидов руды шеелит-кварцевые, по мере удаления от него сменяются шеелит-сульфидно-кварцевыми. Содержание трехокиси вольфрама — 0,72—2,73 %, меди — 0,19—0,93 %, висмута — 0,023—0,097 %, серы — 0,2—12,98 %. К месторождению приурочены две россыпи: элювиальная и аллювиальная руч. Восток-2 с запасами, соответственно, 0,2—1,25 т [123].

На площади Нижнеколоджского оловянно-вольфрамового месторождения (V-1-45) (см. гл. «Олово») вольфрамовое оруденение развито в пределах субинтрузии риолитов (грейзеновый тип) и во вмещающих осадочных отложениях (кварцево-сульфидный тип). Вольфрамовое оруденение расположено гипсометрически ниже оловянного. Содержание вольфрама в единичных пробах достигает 7,34 %. На глубине возможно обнаружение промышленных рудных тел.

Описание остальных оловянно-вольфрамовых месторождений (Тигриное, Усть-Микулинское) дано в гл. «Олово».

Запасы вольфрама на М-ниях Тигрино — 9260 т, Усть-Микулинское — 83 т, Партизанское — 4500 т, Забытое — 5 тыс. т трехокиси вольфрама.

В многочисленных проявлениях (I-1-17; I-2-1, 8, 14; I-4-11; II-1-22; II-3-15, 40, 56; III-2-6 и др.) содержание трехокиси вольфрама 0,01—5,84 %, редко до 27,5 % (IV-1-1). Они расположены как в пределах гранитовых массивов, так и во вмещающих разновозрастных породах, часто ороговикованных. Прогнозные ресурсы подсчитаны для проявления, золоторудное Сентябрьское (IV-1-21) — 476 т вольфрама, оловянно-вольфрамовое Пойсковое (IV-1-28) — 500 т вольфрама.

Шеелит и вольфрамит, частично с касситеритом, широко распространены в аллювии водотоков и делювиальных отложений территории. Пробладают оребры шеелита (I-2-4, 5, 8, 13, 14, 18, 21; II-3-11; III-1-4; III-2-10 и др.), реже вместе с вольфрамитом (IV-2-1; V-1-6, 8, 9, 28;

V-2-4), встречаются и вольфрамитовые (II-3-12; V-2-5) с содержанием компонентов от золотых до 3 г/м³, редко выше. Помимо них известно три литогеохимических ореола рассеяния вольфрама (II-3-9, 10; IV-1-22) с содержанием 0,01—0,06 %.

Олово является ведущим полезным ископаемым региона и в большинстве случаев ассоциирует с вольфрамом или свинцом и цинком. В связи с этим оловянные, оловянно-вольфрамовые и оловянно-полиметаллические месторождения и проявления описаны здесь без разделения по видам.

Подавляющее большинство месторождений и проявлений расположены в Арминском, Кавалеровском и Большо-Уссурийском районах, в меньшей степени — в Дальнегорском. Они относятся к кассiterит-кварцевой, касситерит-кварц-сульфидной, касситерит-силикатной, касситерит-силикатно-сульфидной формациям гидротермальной генетической группы. Особое место занимают оловянно-порфировые месторождения, которые вместе с месторождениями прожилково-штокверкообразного структурно-морфологического типа представляют наибольший промышленный интерес, так как при невысоких содержаниях полезных компонентов обладают значительными запасами руды. Ограничено распространены скарновые проявления. В пределах некоторых месторождений или в непосредственной близости к ним выявлены оловянные россыпи.

Касситерит-кварцевая и переходная касситерит-кварц-сульфидная формации проявлены исключительно в Арминском рудном районе. К первой относятся: Тигриное, Усть-Микулинское, Рудное, Еловское месторождения и оловянное оруденение на месторождении берилия Забытое, ко второй — Таборное, Тунгусинское, Куалинское и фланги Усть-Микулинского месторождения.

Оловянно-вольфрамовое м-ние Тигриное (III-1-44) находится на водоразделе клона Тигрины и Быстрый. В районе месторождения разбиты нижнемеловые осадочные, в различной степени ороговикованные породы, прорванные небольшими штоками гранит-порфиров. Оруденение приурочено к зоне трещиноватости в осадочных и интрузивных породах, вытянутой в северном — северо-западном направлении на 1,5 км, представленной серией кварцевых, кварц-полевошпатовых, кварц-топазовых и кварц-флюоритовых прожилков мощностью от 0,1 до 20 см. Редко встречаются кварцевые жилы с вольфрамитом мощностью 20—40 см. Протяженность штокверкообразных рудных зон (серий прожилков) 350—550 м, ширина 3,9—42,9 м, прослежены они на глубину до 60 м. Содержание олова в рудах 0,16—0,23 %, вольфрама 0,04 %. Помимо олова и вольфрама, установлено наличие инибия и скандия. Руды хорошо обогащены. Месторождение находится в стадии разведки.

Оловянно-вольфрамовое м-ние Усть-Микулинское (IV-1-12) находится на правобережье р. Арму, в 3 км ниже устья р. Микула, где среди интенсивно метаморфизованных осадочных пород валанжина, прорванных штоками гранит-порфиров, диоритов бачелаского комплекса и многочисленными дайками основного и среднего состава, вскрыто более 150 рудных тел протяженностью 100—620 м, мощностью 0,44—1,8 м. Они представлены минерализованными зонами дробления с жилами выполнения, прожилково-сетчатыми и штокверковыми зонами. Сохранение олова 0,01—3 %. Трехокись вольфрама 0,02—0,03 %. На флангах месторождения, в области развития касситерит-кварц-сульфидной формации содержание свинца 0,1—0,5 %. Общие запасы олова по зоне Арминской — 216 т, вольфрама — 83 т (Ю. Н. Размахин и др., 1964).

М-ние Рудное (IV-1-46) расположено в бас. р. Перевальная среди ороговикованных осадочных пород позднетриасового — раннекорского воз-

растя с наложенными метасоматическими изменениями. Рудные тела не больших размеров, сложной морфологии, представлены кварцевыми жилами и минерализованными зонами дробления. Вертикальный размах оруденения до 39,1 м. Содержание олова — 0,01—19,92 %, свинца (среднее) — 0,08 %, цинка (среднее) — 0,69 %, меди — 0,08 %. Руды легко обогащимые. Запасы олова по залежи Вершинная по категориям $C_1 + C_2 = 3768$ т, в том числе по группам $P_1 + P_2 = 9$ тыс. т олова [11].

М-ние Еловское (V-1-85) находится в окрестностях горы Рудная. Оно приурочено к штоку гранит-порфиров бачелаского комплекса, прорывающим осадочные породы валанжина. В грейзенизированных гранит-порфирах развиты зоны прожилково-сеччатого оруденения мощностью 0,8—1,3 м (мощность кварцевых прожилков 0,5—5,0 см). Содержание олова — 0,03—0,06 %, вольфрама — 0,01—0,06 %, пятиокиси тантала и ниobia — до 0,006 %, бериллия — до 0,003 %. За пределами штока вскрыты минерализованные зоны дробления осадочных пород мощностью 0,1—0,3 м с содержанием олова 0,13—0,7 %.

М-ние Таборное (III-2-57) находится в окрестностях горы Стланиковая среди терригенных пород раннемелового возраста. Рудное поле представлено несколькими разобщенными участками (Стланиковый, участок-1, Участок-2, Участок-5 и др.), находящихся в зоне пересечения разломов северо-восточного и северо-западного направлений, представленных ороговикованными городами, прорванными дайками и мелкими интрузиями гранитондов. Рудные тела, прослеженные на расстояние от нескольких десятков до 500 м (уч. Стланиковый) при мощности от 0,3 до нескольких десятков метров представляют собой зоны кварцево-топазовых, кварц-мусковитовых грейзенов с арсенопиритом, вольфрамитом и минерализованными зонами дробления с вкрапленностью сульфидов. Среди грейзенов отмечаются кварцево-турмалиновые прожилки и жилы с хлоритом и касситеритом. Содержание олова в рудах неравномерно и колеблется от сотых долей до 0,58 %.

М-ние Тунгусинское (IV-1-35) расположено на правобережье р. Лев. Тунгут в осадочных породах валанжина. Рудные тела представлены сложноветвящимися четковидными трещинными жилами выполнения мощностью 1—30 см, протяженностью 400—700 м. Содержание олова 0,01—0,4 %, в зоне окисления до 1,5—8 %. Запасы олова 101 т [129].

М-ние Куалинское (IV-1-44) находится на водоразделе рек Б. Уссурка и Колумбе, в 2,5 км северо-западнее горы Арму среди меловых осадочных пород, прорванных дайками дюритовых порфиров, рудных тел и множеством мелких, представленных минерализованными зонами дробления и на отдельных участках жилами выполнения. Мощность тел 0,05—10,0 м. Крупные тела прослежены на 200—1300 м по простирианию и до 400 м в глубину. Олово распространено крайне неравномерно. Пустые участки чередуются с обогащенными через 10—20 м. Среднее содержание олова 0,01—0,1 %. Запасы, подсчитанные по зоне Пятая на участке длиной 380 м (среднее содержание олова 0,55 % на мощность 0,54 м), составляют 66,4 т [31].

Касситерит-силикатная формация представлена тремя типами месторождений: турмалиновым бессульфидным, хлоритовым и хлоритово-сульфидным. К первому относятся: Горное, Эльдорадское и Темногорское месторождения.

М-ние Горное (IV-2-20) находится в бас. руч. Горный, где в нижнемеловых песчано-сланцевых отложениях, перекрытых эфузивами ботопольской свиты и прорванных поднемеловой интрузией кварцевых диоритов, выявлено 20 рудных тел. Они представлены минерализованными зонами дробления протяженностью 50—140 м, редко 200 м и мощностью

до 4,6 м. Содержание олова 1,05—4,93 %, с глубиной резко уменьшается. Запасы олова по категориям C_1 — 458 т, C_2 — 966 т [129]. В аллювиев руч. Горный содержание кассiterита до 24 г/м³. Месторождение законсервировано.

М-ние Эльдорадское (V-1-90) находится на горе Эльдорадо (правобережье р. Б. Уссуру). Площадь месторождения приурочена к антиклинальной структуре, сложенной песчаниками готерив-барремского возраста, прорваными интрузиями гранит-порфиров. Рудные тела представляют собой кварцево-турмалиновыми жилами, минерализованными зонами дробления, штокверковой зоной, сульфидно-карбонатной зоной. Протяженность тел 40—1800 м, мощность 0,1—1,0 м. Содержание олова — 0,003—1 %, свинца — 0,003—17,84 %. В шлихах из делювия содержание кассiterита до 95 г/м³, вольфрамита — до 30 г/м³.

М-ние Темногорское (V-1-91) находится в верховьях р. Лудье, в 1,5 км юго-западнее горы Темная в пределах Кавалеровского рудного района. На площади месторождения развиты осадочные породы триаса и юры, надвинутые на позднемеловые осадочные отложения, слагающие его центральную часть. Осадочный комплекс отложений прорван трехшинной интрузией гранодиорит-порфиров и серией мощных даек гранит-порфиров, кварцевых порфиров, фельзитов. Известно 22 рудных тела, представленных прожилковыми зонами, трещинными жилами, минерализованными зонами дробления. Мощность тел 0,1—5,0 м. Распределение олова неравномерное и составляет 0,03—0,58 %, свинца — 0,05—2,3 %, цинка — 0,01—7,29 %, меди — 0,01—1,0 %. В рудах отмечается повышенное содержание титана, ванадия, хрома, вольфрама, сурьмы, висмута и др. Запасы олова по категории C_1 — 420 т, свинца — 4600 т, цинка — 6700 т, по категории C_2 — олова 243 т, свинца — 1240 т, цинка — 5990 т.

Месторождения хлоритового типа касситерит-силикатной формации сосредоточены главным образом в Большуюссурском рудном районе (крайме М-ния Сухой Ключ). К нему относятся М-ние Сухой Ключ, Обычное, Ивановское, Октябрьское, кл. Светлого, Верхнемолодежное, Буреломное, Зарница и Нижнемолодежное.

М-ние Сухой Ключ (IV-2-40) расположено в бас. кл. Сухой среди нижнемеловых осадочных пород (Укутурская свита), перекрытых верхнемеловыми эфузивами и прорванными серией порфиритовых даек субширотного простирания. Рудные тела представлены минерализованными зонами дробления с маломощными жилками и жилами кварц-касситеритового состава. Протяженность зон 80—600 м, мощность 0,1—5,0 м. Среднее содержание олова по зонам 0,1—0,6 %. Кварц-касситеритовые жилы имеют длину до 10 м, мощность 10—12 см. Содержание олова в них достигает 23 %. Запасы олова около 1000 т [119].

М-ние Обычное (V-1-27) находится на правобережье р. Ороченка. Рудное поле приурочено к метаморфизованным породам раннего мезозоя. Среднее содержание олова по зонам 0,1—0,6 %. Кварц-касситеритовые жилы имеют длину до 10 м, мощность 10—12 см. Содержание олова в них достигает 23 %. Запасы олова около 1000 т [119].

М-ние Буреломное (V-1-41) расположено также на левобережье широкого простирации. Рудные тела представлены минерализованными зонами дробления с сериями сближенных кварцевых жил протяженностью 100—1000 м при средней мощности 1,1—1,5 м. Помимо касситерита в рудах содержится пирит, арсенопирит и галенит. Распределение олова неравномерное, среднее содержание 0,41 %.

Запасы составляют 271 т [119].

М-ние Ивановское (V-1-33) расположено в верховьях кл. Туланинского, в 3 км к северо-западу от Октябрьского. Оно локализовано в северо-западном крыле антиклинали, сложенной нижнемеловыми алевролитами с прослоями песчаников, прорваными дайками амфиболитовых и диоритовых порфиров. В пределах рудного поля выявлено 60 рудных тел, представленных минерализованными зонами дробления с участками

жил выполнения. Промышленные концентрации олова с содержанием 0,01—7,86 % отмечены только в трех зонах протяженностью до 320 м и мощностью 0,1—7,0 м. Распространение олова крайне неравномерное. Запасы его составляют 167 т [129].

М-ние Октябрьское (V-1-35) находится также в верховьях кл. Туланинского и приурочено к висячему боку разлома на юго-восточном крыле антиклинали, сложенной алевролитами и песчаниками готерив-барремского возраста. На месторождении известно 87 рудных тел, представленных минерализованными зонами дробления с жилами выполнения, из которых 16 промышленных. Протяженность их до 380 м. Зоны выклиниваются на глубине 20—30 м, реже 100—200 м и имеют мощность 0,1—34,6 м. Среднее содержание олова в зонах 0,12—0,59 %, в облагаженных участках до 54,32 %. Месторождение разрабатывалось до 1961 г.

М-ние кл. Светлый (V-1-36) находится в верховьях одноименного

ключа (бас. р. Б. Уссуру). Район месторождения сложен валанжинскими алевролитами с прослоями песчаников, прорваными позднесеноновыми дайками гранодиорит-порфиров, диоритовых порфиритов и латекских риолитов. В пределах рудного поля вскрыто 80 рудных тел мощностью 0,1—2,0 м, представленных минерализованными зонами дробления, невыдержаными по простирианию и небольшой протяженности. Содержание олова 0,2—3,52 %, свинца — 0,03—3,26 %. Прогнозные ресурсы месторождения около 6 тыс. т олова [101].

М-ние Буреломное (V-1-41) расположено также на левобережье р. Березовая, к югу от предыдущего. В пределах площасти месторождения отложены, прорванные дайками гранит-порфиров, диоритовых порфиритов и лампрофиров. В пределах рудного поля вскрыто и прослежено на 500—1200 м 34 рудных тела, представленных минерализованными, брекчированными, а на отдельных участках жилами выполнения. Орудление неравномерное — в виде гнезд, линз, рудных столбов прослеживается на глубину до 200 м. Промышленное оруджение распространено до глубины 60—70 м. Содержание олова 0,01—9,0 %. Месторождение разрабатывалось до 1961 г. На 1962 г. остаточные запасы по категории C_1 — 387 т олова [126].

М-ние Буреломное (V-1-41) расположено также на левобережье р. Березовая, к югу от предыдущего. В пределах площасти месторождения выявлены три асимметричные складки, ядра которых сложены алевролитами, а крылья правелито-сланцевыми отложениями готерив-барремского возраста. Известно 47 рудных тел, из которых практический интерес представляет только одно, приуроченное к склоновой трещине, опирающейся разломом северо-западного простирания. Оно представлено метасоматической зоной дробления хлоритизированных пород протяженностью 1200 м (промышленный участок 120 м, средняя мощность 0,94 м). Содержание олова крайне неравномерное — 0,004—0,99 %. В среднем для промышленного участка 0,53 %. Месторождение эксплуатировалось до 1961 г. Запасы олова на тот же год по категории C_1 — 103 т [129].

М-ние Зарница (V-1-44), расположенное также на левобережье р. Березовая, к югу от предыдущего. В пределах площасти месторождения нижнемеловыми осадочными породами, где вскрыто 15 рудных зон неизвестит. Содержание олова — 0,01—5,41 %, свинца — 0,01—0,13 %, цинка — до 0,2 %, золота — 0,1—3 г/т, серебра — до 9,6 г/т. Прогнозные ресурсы олова — 5100 т, свинца — 16,9 тыс. т [101].

Оловянно-вольфрамовое М-ние Нижнемолодежное (V-1-45) состоит из двух участков, несущих оловянную и вольфрамовую минерализацию. Описание вольфрамового участка дано в гл. «Вольфрам». Месторождение

ние расположено на левобережье среднего течения к.л. Продолжительный, в 4,5 км к юго-востоку от Верхнемолодежного. Рудное поле находится в контакто- и гидротермально измененных осадочных породах раннего мела, прорваных субинтрузией риолитов, мелкими телами кварцевых порфиров, диоритовых порфиритов и дайками фельзит-порфиров. В его пределах вскрыто 68 рудных тел, группирующихся в полосы сближенных зон северо-западного простирания. Представлены они минерализованными зонами дробления с участками жил выполнения, протяженность 1,0—1,8 м. Содержание олова неравномерное, от следов до 4,3%, среднее по телам — 0,34—0,72%, свинца — 0,01—1,31%, цинка — 0,02—0,05%, мышьяка — до 0,2%. Запасы олова по зонам №7 и 20 — 222 т [129]. Прогнозные ресурсы северного фланга месторождения оцениваются в 4970 т олова [65].

К хлоритово-сульфидному типу касситерит-силикатной формации относятся Тернистое, Верхнекинчукинское и Хрустальное месторождения. М-ние Тернистое (III-2-84) находится на водоразделе рек Березовая и Обильная. Оно приурочено к зоне разломов субмеридионального простирания в нижнемеловых осадочных породах, прорванных интрузией диоритов базальтового комплекса и дайками кварцевых порфиров, риолитовых порфиритов. В пределах рудного поля вскрыто и прослежено на расстояние 100—1290 м 28 рудных тел мощностью от 0,2—14 м. Протяженность на глубину до 350 м. Содержание олова 0,01—23,0%. Из сопутствующих элементов известны: медь, никель, золото, серебро, галлий. Запасы олова (содержание 0,01—4,39%), индий, селен, галур, галлий. Запасы олова по категориям В + C₁ — 7441 т, C₂ — 2068 т, меди по категории В — 65 т [126].

М-ние Верхнекинчукинское (VII-1-102) находится в бас. к.л. Кесинкин. Площадь месторождения приурочена к ядру антиклинальной складки, сложенной песчано-кремнистыми отложениями мезозойского возраста (гетюхинская и горбушинская свиты), прорванных дайками кварцевых порфиров, фельзитов, диабазовых порфиритов. Рудные тела представлены минерализованными зонами дробления и смятия мощностью от 0,3 до 20 м, длиной от 250 до 1400 м. В пределах рудного поля известно более 30 рудных тел, из которых 12 промышленных с содержанием олова 0,3—30%. Запасы олова по категориям А + В + C₁ составляют 1367 т [124].

М-ние Хрустальное (VII-1-108) находится в 3 км севернее пос. Хрустальный и приурочено к ядру антиклинальной складки, сложенной осадочными породами триаса и юры. Район распространения характеризуется ограниченным наличием изверженных пород, представленных дайбазовыми порфиритами и базальтами. В пределах рудного поля известно 87 рудных тел, представляющих собой маломощные круглогладкие жилы и минерализованные зоны дробления. Мощность жил колеблется от 2 см до 1 м. Рудные зоны большой мощности прослежены на расстояние до 3 км и в глубину на 500—700 м. На глубоких горизонтах месторождение развито рассеянное прожилково-вкрашенное оруджение. Руды представлены тремя типами: кварцево-касситеритовыми, кварцево-сульфидными и кварцево-галенит-сфалеритовыми с содержанием олова 0,01—68,8%, свинца — 0,02—10,37%, цинка — 0,1—6,0%, меди — 0,05—0,3%, титана до 1%.

К касситерит-силикатно-сульфидной формации относятся м-ния Трапеция, Великоманское, Ветвистое, Блеклое, Левинское и Лиственное.

М-ние Трапеция (III-2-74) находится на правобережье р. Арму, в 15 км ниже устья р. Березовая. Рудное поле приурочено к осадочным отложениям берриаса и валанжина (Гаухинская и ключевая свиты), прорванных многочисленными дайками диоритовых порфиритов, граноди-

оритов и штоками гранодиоритов бачелазского комплекса. В его пределах выявлено более 360 рудных тел протяженностью 60—1800 м, представленных сложноветвящимися жилами с многопластовыми апофитами и ответвлениями, часто расположеннымися вдоль контактов дайк, и минерализованными зонами дробления. Средняя мощность рудных тел 0,2—3,0 м. Они прослежены до глубины 270 м и содержат: олова — 0,2—2,88%; свинца — до 2,18%; цинка — до 7,3%. Запасы олова по категории C₁ — 112 т, C₂ — 321 т. Прогнозные ресурсы 3,5 тыс. т олова [99]. Самостоятельного значения не имеет, но в связи с близостью с Таежным, Молодежным и Голубым месторождениями считается перспективным.

М-ние Великоманское (V-1-19) расположено в окрестностях горы Великомань. Рудное поле площадью около 60 км² находится в зоне соединения двух крупных разрывных систем среди песчаников и алевролитов раннемелового возраста, прорванных интрузиями диоритов, гранодиоритов, дайками фельзитов, андезитов, диоритов. Рудные тела небольших размеров представлены минерализованными зонами дробления, жилами, прожилковыми и метасоматическими зонами. Распределение олова неравномерное, содержание от тысячных долей до 11,85%, в среднем по телам от 0,01 до 0,9%. В некоторых из них отмечены свинец и цинк до 1%. Прогнозные ресурсы олова 6,5 тыс. т [106]. Месторождение перспективное, требует доразведки.

М-ние Ветвистое (V-1-42) расположено в бассейне одноименного ключа. Оно приурочено к юго-западному крылу антиклинальной складки второго порядка, сложенной раннемеловыми осадочными породами, прорванными дайками среднего и кислого состава. На месторождении вскрыто 62 рудных тела протяженностью до 550 м, мощностью 0,2—7,5 м, тяготеющих к тектоническому нарушению северо-западного простирания и опирающихся на трещинам. Тела представляют жилами выполнения и минерализованными зонами дробления с участками прожилково-вкрашенных руд. Олово в них распределено крайне неравномерно, содержание от 0,01 до 5,09%, среднее по месторождению 1,32%. Помимо олова в рудах отмечен свинец (до 13%), цинк (до 26,89%). Запасы олова по категории C₁ — 483 т, C₂ — 137 т, свинца по категории C₁ — 437 т, C₂ — 216 т, цинка соответствственно 1920 и 1080 т [124].

М-ние Блеклое (V-1-47) с юга примыкает к м-нию Ветвистое и расположено в той же структуре. Вместе с тем оно осадочные породы его пропилитированы. Рудные тела (несколько десятков) прослежены на расстояние 120—520 м и представлены минерализованными зонами дробления мощностью 0,2—2,2 м (среднее по телам 0,58—1,71 м), содержит олова 0,04—0,5%, свинца — 0,17—10,23%. Прогнозные ресурсы по наиболее крупной зоне Чухой составляют 4 тыс. т [101].

М-ние Левинское (Лудьевское) (VI-1-114) находится на левобережье р. Кавалеровка среди терригенных пород юрского и раннемелового возраста, смытых в мелкие складки, осложненные разрывными нарушениями, к которым приурочены дайки основного и среднего состава и рудные тела. Тела представлены сульфидно-касситеритовыми жилами мощностью 0,2—1,5 м (редко 3—7 м) и протяженностью 200—3500 м. Содержание олова в них 0,4—0,8% (среднее 0,53%). Кроме олова, в рудах присутствуют свинец, цинк, скандий, индий, галлий, ниобий. Запасы олова составляют 9 тыс. т, свинца — 25 200 т, цинка — 34 080 т [126].

М-ние Лиственное (VI-1-136) приурочено к ядру синклинальной складки в бас. р. Зеркальная, сложенной алевролитами юрского возраста, несогласно перекрываемыми песчаниками, а на северо-западе кислыми эфузивами приморской серии. Осадочный комплекс прорван многочисленными дайками диоритовых, плагиоклазовых и роговобобман-

ковых порфиритов, фельзитов, фельзит-порфиров, кварцевых порфиров и андезитов. В пределах рудного поля вскрыто 12 рудных тел длиной до 900 м и мощностью от 0,5 до 20 м. Минерализованные зоны дробления и смятия прослежены на глубину до 300 м. Оруденение неравномерное.

Содержание олова 0,03—3,8%, цинка — 0,1—10,0%, свинца — 0,01—3,8%, меди и титана — 0,01—1,0%. Руды характеризуются высоким содержанием сульфидного олова (10—15%). Запасы по трем наиболее крупным зонам по категории C₁ — 950 т олова, забалансовые — 300 т.

Широко распространены на территории месторождения касситерит-сульфидной формации кольчеданного и галенит-сфалеритового типов. К первому относится М-ниe Сидатунское, Дальнегаежское и Дальнее, ко второму — Арминское, Голубое, Зимнее, Среднемикулинское, Ноябрьское, Верхниманское. Встречное, Смирновское, Заявочное, Эрдагуское, Верхнекинковое, Силинское, Ново-Монастырское, Кисинское.

М-ниe Сидатунское (IV-1-67) находится на левобережье р. Колумбе в 1,5 км западнее пос. Нижний Хутор и приурочено к толще осадочных пород валанжина. Рудные тела представлены кварц-арсенопиритовыми жилами и зонами оруденельных брекций небольших размеров. Содержание олова 0,72%, редко до 2,1%, золота — 0,03—2,3 г/т.

М-ниe Дальнегаежское (IV-2-29) выявлено в нижнем течении к.п. Дальнего, в 2 км к юго-востоку от пос. Таежный. Поле месторождения сложено песчанико-алевролитовыми отложениями юрского-мелового возраста, прорванными дайками диоритовых порфиритов, спессартитов и гранит-порфиров, среди которых вскрыто 28 рудных тел. Они представлены сложноветвящимися жилами выполнения и минерализованными зонами протяженностью 90—7800 м, мощностью 0,15—32,0 м. Содержание олова 0,15—13,6%. Запасы олова на 1960 г. — 27 773 т.

М-ниe Дальнее (V-1-55) находится в бас. к.п. Дальнего, в восточном крыле антиклинальной структуры, сложенной нижнемеловыми глинистыми сланцами и алевролитами с прослоями песчаников. Осадочный комплекс пород прорван большим количеством даек разного состава. На месторождении вскрыто около 70 рудных тел мощностью 1,0—24,0 м и протяженностью 100—2250 м. Сложноветвящиеся минерализованные зоны прослежены на глубину 300—490 м. Глубина зоны окисления до 20 м. Содержание олова в рудах 0,17—15,2%. Запасы олова общего 14 407 т (в том числе окисного 11 993 т), свинца — 19 262 т [119].

М-ниe Арминское (III-2-67) расположено на правобережье верхнего течения р. Арму. Рудное поле сложено осадочными породами нижнего мела, которые прорываются субинтрузии и дайками порфиритов. В пределах зоны трещиноватости длиной около 75 км и шириной до 1,5 км вскрыто и прослежено на расстояние 250—3400 м более 25 рудных тел мощностью 0,9—16,0 м. Сложноветвящиеся зоны дробления и смятия с жилами выполнения содержат олова 0,01—0,65%, свинца — 0,1—2,0%, цинка — 0,1—20,0%. Оруденение неравномерное, руды труднообогатимые (сульфидное олово составляет от 1 до 58%). Оперативные запасы на 1961 г. олова 4,1 тыс. т, свинца — 16 тыс. т [115].

М-ниe Голубое (III-2-68) выявлено в бассейне правых притоков р. Арму в осадочных породах валанжина, прорванных дайками диоритовых порфиритов, где обнаружено более 65 рудных тел (минерализованные зоны дробления с сульфидами и кварцево-карбонатно-сульфидными жилами) протяженностью от 10 до 200 м (редко до 1 км), мощность 0,05—9,5 м. Содержание олова в них 0,03—16,58%, свинца и цинка — 0,4—5,0%. Месторождение разведуется.

М-ниe Зимнее (IV-1-19) находится в верховых р. Микула и приурочено к крупной антиклинальной структуре, сложенной песчано-алевролитовыми отложениями юрско-мелового возраста, прорванными интрузиями гранитов бачелазского комплекса и дайками порфиритов, фель-

зитов и кварцевых порфиров. Рудные тела представлены минерализованными зонами дробления, реже кварцево-сульфидными жилами протяженностью 1800—4000 м и мощностью от 3 до 30 м. Они прослежены по падению на 400—420 м, их мощность с глубиной уменьшается.

Содержание олова 0,43—0,5%, свинца — 2,13—2,36%, цинка — 2,62%.

М-ниe Среднемикулинское (IV-1-22) расположено на левобережье Верхнекинкового, Силинского, Ново-Монастырского, Кисинского.

М-ниe Ноябрьское (V-1-8) находится в бас. р. Глухоманка, в зоне разлома, секущего ранненемеловые осадочные отложения. На месторождении известно 15 рудных тел небольших размеров, представленных окварцитами и лимонитизированными зонами дробления с кварц-лимонитовыми жилами. Длина их 140—620 м, мощность 0,35—5,65 м. Содержание олова 0,01—1,08 м, свинца — 0,14—5,57%.

М-ниe Верхнеуссурское (Верхнекинковское) (V-1-75) находится в долине р. Б. Уссурка, на обоих ее берегах, где среди песчано-алевролитовых отложений валанжина, прорванных мелкими интрузиями и дайками риолитов и диоритовых порфиритов, выявлено 40 рудных тел. Они представлены зонами дробления и смятия с участками жил выполнения протяженностью 190—850 м и мощностью 0,35—1,54 м. Тела прослежены до глубины 120 м, где отмечается резкое уменьшение мощности и содержания полезных компонентов. Содержание олова 0,01—1,55%, свинца — 0,6—24,75%, цинка — 0,05—5,18%. Запасы олова по жиле Новогодняя по категории C₁ — 100 т, C₂ — 200 т [124].

М-ниe Встречное (V-1-87) на водоразделе рек Красная и Б. Уссурка приурочено к синклинальной структуре, сложенной нижнемеловыми породами. В северо-восточной части ее обнаружена невскрытая интрузия гранитоидов. Рудное поле состоит более чем из 200 рудных тел, из которых 150 — слепые. Они образуют жильную серию, прослеженную на 2,5 км шириной около 400 м, и изучались до глубины 400 м. Содержание олова 0,29—0,73%, свинца — 1,64—3,03%, цинка — 1,4—2,52%, серебра — 64—260 г/т.

М-ниe Смирновское (Приморский рудник) (VI-1-1) находится в бас. ключей Дождевой, Тихий, Ежовый, Путеводный, в антиклинальной структуре, сложенной осадочными породами триаса и юры, прорванными дайками порфиритов. Рудные тела приурочены к системе круглогладящих трещин и представлены кулисообразными жилами и сетчатыми зонами, сложенными массивными и полосчатыми сульфидными рудами. Мощность тел 0,15—30,0 м, протяженность до 1,5 км. Содержание олова 0,01—6,79%, свинца — 2,0—7,53%, цинка — 2,7—14,11%. Запасы по категориям A+B+C₁ олова — 9 956 т, свинца — 104,7 тыс. т, цинка — 135,2 тыс. т [75].

М-ниe Заявочное (VI-1-11) находится в верховых р. Лидовка и приурочено к зоне контакта палеоценовых эфузивов с верхнемеловой туфогенно-осадочной толщей, прорванной дайкой плагиоторфиров. Рудное поле состоит из 24 рудных тел, представленных минерализованными зонами дробления сложной морфологии с разветвлениями и апофизами, мощностью 0,2—2,16 м. Протяженность тел 20—600 м. Они прослежены на глубину 30—145 м. Оруденение неравномерное. Содержание олова 0,02—2,3%, свинца — 0,01—11,0%. В рудах отмечен индий.

М-ниe Эрдагуское (VI-1-86) находится на правобережье р. Эрда-

го. Рудное поле сложено осадочными породами юрского (эрдагоуская свита) и раннемелового (таухинская свита) возраста, прорванными редкими сложнопостроенными дайками кварцевых порфиров. В его пределах вскрыто около 30 рудных тел, представленных минерализованными зонами брекчии системы жил и зон, кулисобразно сменяющих друг друга. Протяженность тел 150—400 м, мощность их неравномерная, от 0,1 до 5,0 м. Содержание олова 0,01—0,22% (среднее по телам 0,04—0,06%), свинца и цинка — 0,01—2,18%, иногда до 4,5%. Месторождение требует доизучения.

М-ние Верхнепинское (VI-1-103) выявлено на левобережье р. Калдеровка, на площади распространения мезозойских осадочных отложений, прорванных дайками кварцевых порфиров, гранит-порфиров и лампрофиров. В пределах рудного поля обнаружено свыше 50 рудных тел, представленных минерализованными зонами дробления протяженностью от 5 до 600 м и мощностью 0,1—2,5 м. Содержание олова 0,01—0,76% (среднее по телам 0,02—0,1%), свинца — 0,01—32,0%, цинка — 0,03—0,66%. Большинство тел прослежено только с поверхности. Месторождение требует доизучения.

М-ние Силинское (VI-1-105) расположено в верховых р. Прямая и приурочено к восточному крылу антиклинали второго порядка, сложенной осадочно-вулканогенными отложениями пермского и раннемелового возраста, прорванными дайками фельзитов, диоритовых и диабазовых порфиритов и андезитов. Рудные тела представлены жилами выполненных и минерализованными зонами дробления протяженностью 200—1000 м и мощностью 0,2—6,8 м. Они прослежены до глубины 250 м. Содержание олова 0,01—10,0%, свинца и цинка — 0,2—29,0%. С глубиной содержание олова увеличивается, свинца и цинка падает. Запасы, подсчитанные для жил Балаганная и Безымянная, по категориям $B+C_1$ составляют: свинца — 15,3 тыс. т, цинка — 20 тыс. т, олова по категории C_1 — 3 900 т [126].

М-ние Новомонастырское (Вагановское) (VI-1-113) находится в басс. р. Монастырки и приурочено к ядру антиклинальной структуры, сложенной осадочными породами таухинской свиты, прорванных штоком диоритов, дайками диорит-порфиров, андезитов и фельзитов. Рудные тела тяготеют к близмеридиональному разлому и оперяющим его трещинам северо-западного простирания. Они представлены минерализованными зонами дробления и смятия, жилами выполнения, линзообразными телами массивных и прожилково-вкрапленных руд. Минерализованные зоны протяженностью до 2200 м и мощностью 1—2 м прослежены до глубины 500 м. Содержание олова неравномерное — 0,01—0,23%, свинца и цинка — до 12%. Линзообразные тела имеют мощность от 0,5 м на флангах до 3—30 м в центре, протяженность до 130 м и прослежены в глубину до 185 м. Содержание олова — до 0,15%, свинца — до 17,86%, цинка — до 16,45%. Запасы по категориям $B+C_1+C_2$ олова — 1061 т, свинца — 53,1 тыс. т, цинка — 78,1 тыс. т, по категории C_2 — меди 3150 т [113].

М-ние Кисинское (VI-1-116) расположено в одиночной пади, в юго-западных монастырской свите, прорванных дайками фельзит-порфиров. Рудные тела представлены ветвящимися жилами в контакте эфузивной с дайками, реже прожилковой минерализацией в телах даек. Длина тел 80—560 м, мощность 0,05—3,7 м, они прослежены до глубины 700 м. Прогнозные ресурсы по группе P_2 составляют: олова — 3 тыс. т, свинца — 14 тыс. т, цинка — 21 тыс. т [113].

В 1983 г. в Сихотэ-Алине С. М. Родионовым и Н. П. Макеевым была выделена оловянно-порфировая формация, связанная с жерловыми аппаратами и субвуликаническими интрузиями. Ранее месторождения, отк-

ченные к этой формации, рассматривались как касситерит-силикатные или касситерит-сульфидные, образующие локальные богатые тела. Основная же часть запасов в них сосредоточена в виде рассеянного оруднения, в настоящее время слабо изучена. К этому типу месторождений относятся Янтарное, Ледяное, Звездное, Лысогорское и Красногорское.

М-ние Янтарное (III-2-31) находится на водоразделе рек Тавасикча и Валинку в поле развития нижнемеловых осадочных пород, прорванных неком риолитов и дайками фельзит-порфиров, риолитовых порфиров, диоритов, диоритовых и диабазовых порфиритов. Рудные тела в пределах некки приурочены к зонам хлорит-биотитовых метасоматитов, а в осадочных породах — к зонам дробления и тектоническим брекчиям. Обогащенные касситеритом гнейсобразные столбы и участки расположены в пересечениях трещин различного простирания. Тела в осадочных породах несут преимущественно полиметаллическую минерализацию. Содержание олова — 0,2—3,5%, меди — 0,55—2,11%, цинка — 2,22%, серебра — 50—60 г/т. Месторождение отрабатывается старательской артелью.

М-ние Ледяное (III-2-42) на правобережье р. Валинку выявлено в осадочных нижнемеловых отложениях, прорванных некком лавобреккий кварцевых порфиров и риолитов, штоком гранит-порфиров и дайками фельзит-порфиров и риолитовых порфиритов. Рудные тела представлены метасоматическими кварц-серпентитовыми зонами в породах некка с вкрапленностью касситерита, жилами выполнения и минерализованными зонами трещиноватости и брекчирования как в пределах некка, так и во вмещающих породах. Мощность минерализованных зон 0,2—1,0 м, содержание олова — 0,1—1,23%, свинца — 0,01—3,86%, цинка — 0,01%. Запасы по категории C_1 — 171,3 т олова [121]. Метасоматические зоны фельзит-порфиров и риолитовых порфиритов. Рудные тела прослежены до глубины 250 м, содержание олова до 0,1%.

М-ние Звездное (III-2-54) находится на левобережье р. Валинку и приурочено к штоку субвуликанических фельзит-порфиров, рвущих позднемеловые вулканомиктовые породы. Штокверкоподобные зоны в серпентизированных породах штока, несущие оловянно-порфировое оруднение, также изучены слабо. Оруднение во вмещающих породах представлено кварц-сульфидными и сульфидными жилами в зонах дробления. Рудные тела протяженностью 50—800 м и мощностью 0,01—15,0 м прослежены по падению на 150—200 м. Содержание олова — 0,01—9,23%, свинца — 0,01—63,35%, цинка — до 25,5%, меди — 0,01—0,9%. Руды труднообогащены. Запасы по зоне М. Медведица составляют: олова — 1,5 тыс. т, свинца — 1,4 тыс. т [126].

М-ние Лысогорское (V-1-6) расположено в верховых р. Серебрянка и приурочено к брахиантклинальной структуре, сложенной нижнемеловыми песчаниками и алевролитами, перекрытыми покровом сенонских порфиритов. Эффузивы прорваны субвуликанической интрузией андезит-базальтов, дайками основного состава. Интрузия окаймлена полосой брекчий, дайками основного состава. Каменка и Н. П. Макеева, на шириной 35—60 м и, по мнению С. М. Родионова и Н. П. Макеева, на глубине содержит оловянно-порфировое оруднение, в настоящее время не оцененное. Выявленные рудные тела имеют среднюю мощность 0,9 м длиной 100—960 м. Они прослежены до глубины 240 м. Мощность зоны окисления 120—140 м. Тела представлены минерализованными зонами дробления и ветвящимися четковидными жилами с содержанием олова 0,01—30,0% (среднее на поверхности 9,5%), с глубиной уменьшается до 2,3%). Запасы олова составляют 2801 т [129]. Месторождение законсервировано.

М-ние Красногорское (Красное, Мутухинское) (VI-1-52) обнаружено в 10 км северо-западнее пос. Каменка и приурочено к вулканическому аппарату в туках кварцевых порфиров приморской серии. В настоящее время это наиболее изученное месторождение оловянно-порфировой фор-

мации. На нем выделено три типа руд: оловянно-полиметаллические, оловянно-порфиревые и оловянно-полиметаллические порфиревые. Первые характерны для жильных тел протяженностью 10—4250 м и мощностью 0,2—18,2 м. Вертикальный размах оруднения 900 м. Глубина зоны окисления 20—40 м. Содержание олова — 0,002—1,5 %, цинка — до 62,49 % (среднее 2,51 %), цинка — до 39,58 % (среднее 3,79 %), меди — до 1 %, висмута — до 0,5 %, присутствуют сурьма, кадмий. Оловянно-порфировое оруднение сосредоточено в эксплюзивных брекчиях изометричного трубообразного тела площадью 5400 м². Текстура руд пяти-посыпчатая, содержание олова — от сотых до 26,74 %, цинка — до 2,31 %, цинка — до 38,5 %, меди — до 0,79 %, висмута — 0,001 %, сурьмы — 0,034 %. Оловянно-полиметаллическое порфировое оруднение приурочено к жерлу палеовулкана площадью 0,43 км² и прослежено скважинами на глубину 400 м, геофизическими методами (ВЭЗ ВП) на 600 м. Содержание олова — 0,03—0,1 %, цинка — 0,3—0,33 %. Запасы олова не подсчитаны. Запасы других металлов по категориям C₁+C₂ составляют: цинка — 120,48 тыс. т, цинка — 181,82 тыс. т, висмута — 292,2 т. Запасы серы — 99,37 тыс. т [113].

Наиболее сложным генезисом отличается месторождение Чремухово (Большесинчинское) (V-1-81), расположеннное на левобережье одноименной реки среди сплошных тuffов и риолитов Боготольской свиты, прорванных серией даек андезитов, андезитовых порфиритов и андезибазальтов. Рудные тела приурочены к зоне разрывного нарушения северо-западного простирания длиной 5 км и шириной до 40 м. Они представлены минерализованными зонами, линзовидными и жильными телами небольших размеров. На месторождении выделены: оловянно-полиметаллические сульфиевые, сульфиально-карбонатные и сульфиально-магнетитовые руды, синева — 5,12 %, цинка — 5,89 %, серебра — 154 г/т. Ранее месторождение относилось к галенит-сфalerитовому типу кассiterит-сульфиевой формации. По мнению П. Т. Коростелева и др. (1985), оно относится к оловянно-порфиревым. Месторождение эксплуатировалось с 1941 по 1955 г. Балансовые запасы на 1961 г. составляют 17 тыс. т цинка и 19,3 тыс. т цинка.

Помимо описанных месторождений на территории листа известно большое количество проявлений, относящихся к формациям кассiterит-кварцевой (I-4-4, 6; II-3-33; III-1-15; IV-1-20, 24; IV-2-31), кассiterит-кварц-сульфидной (III-1-6), кассiterит-сульфидной (III-3-1, 2, 13, 18; IV-3-28), кассiterит-сульфидной (I-4-7, 13; IV-1-20; V-1-22, 23), оловянно-порфирит-сульфидной (I-4-18; III-3-2; IV-2-32, 42, 43; V-1-62; VI-1-22). Редко встречаются скарновые проявления (IV-1-21, 50) и оловянноносные пегматиты (V-2-17). Содержание олова в проявлениях — тысячные и сотые доли процента, редко оно достигает 1 % и выше. Прогнозные ресурсы олова подсчитаны для проявлений: Кистренок (III-1-6) по группе Р₂ — 6 тыс. т; Верхнеарминское (III-2-78) — 400 т; Зурбаган (III-3-2) — 3,5 тыс. т; Сентябрьское (IV-1-21) — 3915 т; Колонковое (V-1-11) — 1600 т; Верхненеустроевое (V-1-22) — 550—3800 т; Колонковое (V-1-23) — 10—15 тыс. т; Скрытое (V-1-32) — 450—470 т; Скальное (V-1-34) — 9 тыс. т; Трудное (V-1-76) — 2,1 тыс. т; Ветродуй (V-2-44) — по группе Р₂ — 4,2 тыс. т; Березовое (VI-1-22) — 15 тыс. т; Дальнее (VI-2-5) по группе Р₂ — 4 тыс. т.

Территория богата оловянноносными россыпями. Кассiterитовые россыпи в промывально-делювиальных и аллювиальных отложениях известны как в пределах коренных месторождений и проявлений разных типов, так и образуют самостоятельные объекты с невыявленными коренным источниками (табл. 2).

Tafeln und Tabellen

Касситеритовые россыпи, находящиеся на площади месторождений, коренных гидропроявлений и за их пределами.

* Самостоятельные россыпи, находящиеся вне площади коренных месторождений и проявлений

** Сближенные россыпи, показанные на карте одним объектом.

сения олова. В шлиховых ореолах (I-2-1, 2, 7, 11, 12, 15, 16, I-4-1; II-3-13; III-1-7, 8, 9 и др.) содержание кассiterита от зоновых до 50 г/м³, редко достигает 480—500 г/м³ (III-2-3; IV-1-10). В литеохимических ореолах (I-2-9; II-3-5-8; IV-1-12, 21; IV-2-8; V-1-5, 11, 12, 16, 18, 23, 26; V-2-18 и др.) содержание олова 0,001—0,1 %.

Ртуть. Известно Павловское (Верхненефудзинское) месторождение, ряд проявлений и пунктов минерализации и большое количество ореолов рассеяния киновари.

М-ние Павловское (VI-1-139) находится в бас. кл. Отлогий, в юго-восточном крыле Хрустальненской антиклинали, вблизи крупного разлома, в осадочных породах средне-позднекарбонового и ранне-среднепротерозойского возраста, прорванных дайками разливного состава. Оруденение приурочено к прослоям и линзам грубозернистых полимиктовых окварцованных песчаников или к дайкам порфиритов и каолинизированных плагиопирофиров. Представлено малошошными киноварь-кальцит-анкеритовыми прожилками и частой тонкой вкрапленностью киновари. Мощность рудных зон 3,0—20,0 м, содержание ртути 0,01—0,5 %. Запасы по зоне Шестая по категории C₁ — 228,4 т ртути. Ориентировочные прогнозные ресурсы 3 тыс. т ртути [75].

Проявление ртути (II-4-6; V-1-67, 70, 71; VI-1-131 и др.) представлено зонами дробления и рассеянной вкрапленностью ртути и приурочены к полям развития лаек основного состава.

Шлиховые ореолы киновари (I-1-5; III-1-1, 2, 3; III-2-1, 4 и др.) распространены практически повсеместно. Содержание киновари в них от знаковых до 1—3 г/м³.

Мышьяк. Известно десять проявлений (I-3-22, 25; II-1-31; III-2-26, 79; V-1-13, 16; VI-1-64, 65, 149) и ряд пунктов минерализации, представленных кварц-арсенопиритовыми и сульфидными жилами и прожилковыми зонами с содержанием мышьяка 0,02—8,0 %. В виде примеси арсенопирит содержитя практически во всех полиметаллических и оловорудных месторождениях и проявлениях.

Сурьма. Выявлено четыре проявления (IV-2-47; VI-1-18, 31, 128), представленных кварц-антимонитовыми, кварц-стибитовыми жилами и зонами с содержанием сурьмы 0,02—4,57 %. В качестве сопутствующего элемента сурьма присутствует во многих полиметаллических, мелких и оловорудных месторождениях и проявлениях. Запасы сурьмы на полиметаллическом месторождении Южное по категории C₂ составляют 1400 т [124].

Висмут. Проявления и пункты минерализации (I-3-2, 4; II-3-34, 4, 46; VI-1-8, 125) представлены кварц-сульфидными, кварц-турмалиновыми с сульфидами жилами и минерализованными зонами дробления с содержанием 0,1—0,2 %. Запасы висмута подсчитаны на месторождениях: Восток-2 по категориям B+C₁+C₂ — 2,3 тыс. т; Новомастырское по категории C₂ — 78,4 т. Красное по категориям C₁+C₂ — 292,2 т; Лидовское — 48,1 т; Восточный Партизан — 12 т; Нижнее — 30 т.

В бас. Р. Средняя Колумбе обнаружен шлиховой ореол рассеяния висмутина (IV-3-3) со знаковыми содержаниями.

РЕДКИЕ МЕТАЛЛЫ И РЕДКОЗЕМЕЛЬНЫЕ ЭЛЕМЕНТЫ

Бериллий. Известно два месторождения, три проявления и множество ореолов рассеяния бериллия.

М-ние Забытое (IV-1-32) находится в бассейне одноименного ручья на правобережье р. Колумбе. Район месторождения сложен интенсивно ороговикованными породами горы и верхнего мела, прорванными штоком и дайками гранит-порфиров, риолитов и порфировидных гранитов бахчисарайского комплекса. Рудные тела в основном сосредоточены в северной и восточной частях штока и представлены трещинными жилами вытолченения, зонами сближения жил и прожилков мощностью 0,1—1,2 м, длиной 200—300 м. Берилл в них встречается в виде гнезд до 1—20 мм в перечнике, реже в виде отдельных кристаллов длиной до 3 см. Средние содержания окиси берилля — 0,184 %, трехокиси вольфрама — 0,7 %, молибдена — 0,023 %, олова — 0,05 %, висмута — 0,036 %, герmania — 4 г/т, скандия — 60 г/т. Запасы по четырем главным телам по категориям C₁+C₂ окиси берилля 665 т, олова — 278 т, висмута — 200 т (И. П. Рачинская и др., 1963), герmania — 2,21 т, скандия — 1,96 т. (Н. К. Флягя и др., 1964).

М-ние Якутинское (VI-1-66) находится на склоне горы Якут в верховьях р. Рудная среди андезитовых порфиритов, туфов и игнимбритов риолитовых порфиритов позднемелового возраста. Оруденение развито в виде штокверков размерами 1,2×1,0 км с двумя крупными зонами адуляр-флюорит-кварцевых жил с берtrandитом мощностью 0,1—1,2 м. Разведаны 11 рудных тел, прослеженных канавами на 50—360 м, по длине до 960 м. Оруденение крайне неравномерное, содержание берилля — 0,5—0,6 %, лития — 0,01—0,3 %, галлия — 0,001—0,01 %, иттрия — 0,003—0,01 %. Флюорит составляет до 30 % объема руд, среднее содержание 3—6 %. Прогнозные ресурсы окиси берилля 900—950 т (А. П. Колленко и др., 1969).

Все известные проявления (IV-1-41; V-2-36; VI-1-15) также приурочены к кислым интрузиям и субвулканическим телам. Содержание берилля в них 0,001—0,03 %.

Литогеохимические ореолы рассеяния берилля (IV-1-1, 3, 6, 13, 16, 23; IV-2-17, 19; V-1-3, 4; V-2-13, 15, 19) находятся в бас. рек Б. Уссурка и Джалгитовка. Они имеют небольшие размеры и, как правило, простираются ассоциируют с кислыми изверженными породами. Содержание берилля в пробах 0,0001—0,02 %. Бериллий в количестве 0,003—0,01 % содержится в проявлениях лигнита.

Литий. Проявления (VI-1-119, 132, 133) приурочены к кислым эфузионам метрового возраста и представлены минерализованными зонами дробления мощностью 0,15—2,5 м. Содержание лития — 0,1 %, бериллия — 0,003—0,01 %. На месторождении бериллия Забытое в грейзенах присутствует цинваллит, в котором содержание двухокиси лития достигает 2,13 %. В проявлении Гранитное (IV-1-7) содержание двухокиси лития до 0,1 %. В ореолах рассеяния берилля (IV-1-13, 16) содержание лития в отдельных пробах до 0,01 %.

Тантал, ниобий. Проявления (V-2, 12, 19, 23) находятся на побережье Японского моря в зоне Восточно-Сихотэалинского вулканогена и приурочены к измененным верхнемеловым эфузивам с вкрапленностью сульфидов. Содержание пятиокисей тантала и ниobia от 0,003 до 0,006 %. Южнее пос. М. Кема находится шлиховой ореол рассеяния (IV-3-8) со знаковыми содержаниями тантало-ниобатов. Тантал и ниобий также со-

держатся в рудах некоторых проявлений олова (V-1-34 и др.), оловорудного Еловского и молибденового Озерковского месторождений.

Кадмий. Самостоятельный проявления на территории кадмий не образует, встречается как сопутствующий элемент в рудах многих оловорудных, полиметаллических, вольфрамовых месторождений и проявлений. Запасы кадмия подсчитаны для следующих месторождений: Нижнее — 160 т, Восточный Партизан — 120 т, Второй Советский рудник — 37 т (Р. И. Соколов, 1960); Лидское — 190,9 т, Новомонастырское — 325,4 т (В. А. Михайлов и др., 1985).

Редкие земли. Из редкоземельных элементов известны галлий, индий, иттербий, иттрий, лантан, скандий, таллий и церий. Установлено формирование редкоземельной минерализации не выяснены. Она встречается среди измененных вулканогенно-осадочных и осадочных пород разного возраста, в разновозрастных интузиях различного состава, в рудах месторождений и проявлений разных типов.

Наиболее крупным рудным объектом, содержащим редкоземельные элементы, является м-ние Партизанское (IV-1-43), расположение на правобережье р. Перевальная. Район месторождения сложен осадочными породами валанжинского возраста, прорванными субвулканическими телами андезитовых порфиритов, интузиями и дайками гранитов, риолитов, гранит-порфиров и диоритовых порфиритов. Рудные тела представлены скарноидами на контакте гранитов и андезитовых порфиритов и зонами дробления скарнов и вмещающих пород. Содержания индия — до 0,01 %, трехокиси вольфрама — 0,001—0,32 %, олова — 0,02—0,07 %, цинка — 0,59—2,62 %, свинца — 0,002—1,43 %, серебра — до 24,7 г/т. Запасы на 1984 г. составляют: Индия — 135 т, вольфрама — 4500 т, свинца — 13 500 т, цинка — 87 750 т. Прогнозные ресурсы индия — 400 т, вольфрама — 13—15 тыс. т, олова — 8—10 тыс. т, свинца — 50 тыс. т, цинка — 250—300 тыс. т (А. А. Селько и др., 1984).

Запасы редкоземельных элементов подсчитаны для следующих месторождений. Забытое — скандия 4 т (Ю. Н. Размахин и др., 1966); Смирновское — по категории C_2 галлия 9,1 т, таллия 6,9 т (Р. И. Соколов, 1960); Индия по категории C_1 460,3 т, по категории C_2 133,7 т. Верхнее — по категориям $A+B+C_1$ галлия 500 кг, таллия 800 кг, по категории C_2 галлия 10 кг; Нижнее — по категориям $A+B+C_1$ галлия 1,38 т, индия 7,36 т, таллия 460 кг; Лидовое — по категориям C_1+C_2 индия 28,3 т. Силинское — индия по категориям $B+C_1$ 180 кг, по категории C_2 3,68 т; Хрустальное — по категории $A+B+C_1$, индия 10,1 т (Р. И. Соколов, 1960); Новомонастырское — индия 125 т (кроме особо оговоренных случаев запасы приведены по И. П. Рачинской и др., 1963).

Содержание в проявлениях (V-1-66, 89, V-2-8, 16, 31, 33, 35 и др.) галлия — 0,006—0,03 %, индия — 0,001—0,01 % (редко до 0,38 %), иттербия — 0,01—0,03 %, иттрия — 0,01—0,6 %, лантана — 0,003—0,1 %. Скандия — до 0,006 %, таллия — 1—6 г/т, церия — до 0,1 %. Часто вместе с редкоземельными элементами встречаются свинец, цинк, марганец, и др.) содержания минералов редких земель знаковые, только в ореоле химических ореолов (III-1-11, IV-1-4) содержание церия — 0,01—0,1 %, иттрия — 0,001 % (IV-1-15), индия — 0,001 % (IV-1-19).

Германия. Повышенные содержания германия приурочены к бурым углам верховьев р. Бикин и некоторым оловянным, вольфрамовым, реже полиметаллическим месторождениям и проявлениям. Содержание герmania 0,001—0,05 %. Запасы германия подсчитаны для м-ния Забытое и составляют 2210 кг (Н. К. Фляга и др., 1964).

Цирконий. Единственное проявление (V-2-47) приурочено к зоне пиритизации и окремнения вулканогенно-осадочных пород подземного вулкана. В качестве элемента спутника цирконий присутствует в рудах некоторых оловянных, полиметаллических месторождений и проявлений в количестве до 0,01 %. В россыпи р. Уотчо (I-2-22) его содержание до 16 г/м³. Запасы циркона на месторождении Бесселль Яр (IV-2-25) составляют 1389 кг. В шлиховых ореолах (IV-2-11 и др.) содержания его достигают 5,8 г/м³.

Стронций. Два пункта минерализации (II-1-69, 75), находящиеся в бас. р. Бикин, приурочены к зонам дробления юрских песчаников. Содержание стронция в зонах 0,05—0,2 %.

Благородные металлы

Золото. Это одно из основных полезных ископаемых территории. Здесь известно пять коренных месторождений, большое количество россыпей, множество проявлений, пунктов минерализации и шлиховых ореолов рассеяния.

Месторождения Дурминское, Приморское, Салют-Орион, Майское относятся к низкотемпературной золото-серебряной формации. Благодатное — к среднетемпературной золото-сульфидной.

Месторождение Дурминское (I-1-10) находится в бассейне одноименной реки в пропилитизированных андезитах маломихайловской свиты, выполняющих узкий грабен среди нижнемеловых терригенных пород. На месторождении выделяются две рудные зоны — Северная и Центральная, с минерализацией штокверкового типа. Северная зона прослежена на 320 м при ширине 1—35 м. Она представлена пропилитами, рассеянными кварцевыми жилами и прожилками мощностью 0,01—7,0 м. Центральная зона представляет собой поясу лимонитизированных пород длиной 650 м, шириной 40—270 м, пронизанную серой кварцевых жил и прожилков мощностью до 0,5 м. Содержание золота 0,2—120,8 г/т, серебра — 10—723 г/т. На флангах месторождения отмечена медно-молибдевая минерализация с содержанием меди до 0,8 %, молибдена — 0,01—0,6 %, приуроченная к Оборскому массиву верхнемеловых гранитов.

М-ние Приморское (II-4-15) находится в бас. р. Кабаньи и сложено верхнемеловыми эфузивами (самаргинская свита), прорванными субвулканическими телами позднемеловых гранит-порфиров и риолитов, палеогеновыми кварцевыми диоритами и гранодиоритами (прибрежный комплекс) и малоизмененными дайками базальтов. Рудное поле находится в пределах крупной вулканогенно-тектонической депрессии. Вмешодействие породы пропилитизованы. Поле месторождения пересечено разломами сдвигового характера северо-восточного простирания и более мелкими северо-западного простирания, контролирующими оруденение. На месторождении выявлено 50 рудных тел, представленных сближенными жилами, прожилковыми зонами, минерализованными зонами брекчирования. Мощность тел 0,1—4,8 м. Руды кварцевые, адуляр-кварцевые с сульфидной минерализацией. Из рудных минералов преобладают пирит и аргентит. Золото тонколистерное, невидимое. Попутно с золотом могут быть извлечены из руд серебро, свинец, цинк и медь. Месторождение находится в стадии разведки.

М-ние Салют-Орион (III-3-3) находится на водоразделе рек Светловодная и Соболевка и приурочено к восточному обрамлению Салютской интузивно-купольной структуры. Район месторождения сложен эфузивами приморской серии, прорванными экструзией дацитов, дайками

Россыпные месторождения золота

Таблица 3

Название или географическая привязка объекта	Номер на карте	Длина, м	Ширина, м	Мощность, м		Содержание, мг/м³	Запасы или прогнозные ресурсы (категория или группа)
				массы	песков		
<i>Неогеновые погребенные наложенные прогибы</i>							
Медвежий	III-4-10		Площадь 22 км²	—	—	1—150	—
<i>Четвертичные русловые и долинные</i>							
Принниковый, руч.*	I-1-8	—	20—90	4,5—6,0	0,5—1,5	—	—
Хицкий, руч.*	I-1-13	—	20—140	—	0,5—1,5	—	—
Леднева, руч.*	I-1-19	—	40—80	5,0—8,0	1,5—2,5	209—335	—
Долми, р.*	I-1-20	—	40	5,0	0,5	60	—
Ворошиловский, руч.*	II-1-2	—	1200	—	0,5—2,5	До 608 (в плотике до 36)	—
Матай, р.	II-1-6	21 000	40—300	3,4—6,0	0,2—1,0	До 1818	—
Иванов, кл.	II-1-45	1 600	50—140	2,4—4,6	2,4—3,4	До 1529	1 т
М. Тахало, руч.	II-1-61	6 000	40	—	—	220	170 кг (Р₂)
Амба, р.	II-1-62	250	20	3,2	—	До 66,6	—
М. Говорунья, р.	II-1-67	2 800	25	до 3,4	—	До 64,9	—
Корневое	II-1-74	1 600	40	4,4	—	35	—
Катан. р.**	II-2-1	75 000	26	2—16	0,6	До 15 200	350 кг (промышленная часть)
Фартовый, руч.	—	—	—	5	0,5—0,1	До 2140	—
Коллективка, р.*	II-4-7	—	—	—	—	До 100	—
Малоголубинское	III-1-42	400	81	3—8	4,3	533	—
Кремнистый, кл.	III-1-47	—	—	—	4—10	2,7—104	—
Светловодная, р.**	III-2-14	2 200	20—150	—	6,3	150	1023,352 кг (C₁)
Вешний, кл.	—	240	40	—	4,46	436	526,3 кг (C₂)
Мшанка, руч.	—	1 400	27,1	—	2,48	553	51,996 кг (C₃)
притоки кл. Вешнего	—	900	20—25	—	—	До 565	—
Подкосная (террасовая)	—	3 000	10—180	8,0—26,0	0,4—3,6	70—41620	209,02 кг
Вострецовское**	III-2-16	—	—	—	—	—	—
Красная, р.	—	5,400	10—30	—	3,0—8,0	597	—
Лев. Красная, р.	—	4 300	34,0	—	—	645	—
Лев. Красная, р. (террасовая)	—	2 400	54,5	—	2,77	861	—
Пр. Красная, р.	—	1,800	9,1	—	3,4	524	—
Предгорный, кл.	—	3 200	30	—	2,3	450	—

* — вскрыты в единичных скважинах;

** — сближенные россыпи, показанные на карте одним объектом;

Мельничный, кл.	—	3 200	15	—	—	—	—
Тавасикча, р.	III-2-28	1 800	10	—	—	775	—
Бобкова, р.**	III-4-5	4 170	74—143	4,87	0,5—3,0	133	281 кг
Перевалный, руч.	—	2 000	62,5	6,1	1,3	186	—
Пологий, кл.***	IV-1-9	140	—	—	—	300—3333	58 кг
Дорожный, кл.	IV-1-48	—	—	2,2—4,6	—	35—890	—
Благодарный**	IV-1-53	—	—	—	—	299	2195,1 кг (B+C)
Сло-Бейча	—	9 000	60	3—12	—	—	—
Титовского, кл.	—	1 300	—	—	—	—	—
Седьмой, кл.	—	302	10—27	—	—	—	—
Комсомольский, кл.	IV-1-54	4 130	30—80	1,6—6,6	0,2—0,8	237	129 кг
Нежданский, кл.	IV-1-55	4 580	20—140	—	0,2—1,4	302	159 кг (C₁)
Бейча-III, р.	IV-1-57	4 720	56	3,0—6,5	0,2—3,5	198—2324	735,1 кг (B+C)
Б. Северная, р.	IV-1-59	3 400	63,5	4,6	—	До 500	79,8 кг
Б. Принниковая, р.	IV-1-61	9 000	20—120	4,0—7,2	0,4—2,0	320	454,8 кг (B)
М. Принниковая, р.	IV-1-64	6 390	32	—	0,3—2,5	230	225 кг
Безымянный, кл.	IV-1-68	—	5—20	—	0,5—0,8	500—1100	Добыто 18 кг
Фазингбу, р.	IV-1-71	—	—	—	0,8	касситерит 4—53 г/м³	—
Золотой, кл.	IV-1-72	1 000	30—40	до 10,0	—	—	—
Ушканий, кл.	IV-1-73	1 100	30—60	5,0—6,5	0,2—0,8	227 1063	100,1 кг (C₁) 4,8 кг
<i>Четвертичные террасовые</i>							
Лев. Подхоренок, р.*	I-1-19	—	160—400	4,75—6,5	0,5—4,0	300—350	—
Пр. Подхоренок, р.*	II-1-1	—	1300—1600	—	0,5—5,0	238—342	—
Пр. подхоренок, р.*	II-1-3	—	до 1300	—	0,5—5,0	238—342	—
<i>Современные морские</i>							
Участок шельфа Японского моря от М. Сосуново до м. Белкина	III-3-18 III-3-23 III-3-24 III-4-6 III-4-9 III-4-12	— — 8 500 — — —	300—2000 — 500 — — —	— — — до 2,0 до 2,0 до 2,0	— — — — — —	5—20 и выше до 0,5 до 5 до 5 до 5 5—40	—

риолитов и андезитов палеогенового возраста. Широко развиты тектонические нарушения. Рудные тела представлены сериями крутона-закапных жил, прожилков и жильно-метасоматических зон. Содержание золота и серебра крайне неравномерные и составляют: золото — 0,1—17,8 г/т, серебро — 1—1155 г/т. Промышленные содержания концентрируются в обогащенных участках тел протяженностью 60—400 м.

Минея Благодатное (рудник Пионер) (IV-1-62) находится на правом берегу р. Колумб в тектонической зоне, секущей нижнемеловые осадочные породы. На месторождении вскрыто 214 рудных тел протяженностью 10—40 м, редко до 500 м. 133 тела представлены минерализованными зонами дробления мощностью 0,2—3,5 м, 81 тело — кварцевыми, кварц-сульфидными, кварц-карбонатными сложноветвящимися жилами с апофизами и пережимами, мощностью 0,1—0,6 м. Содержание золота от следов до 34,4 г/т. Часть рудных тел в бас. к. Чигонский отработаны с поверхности в 1937—1942 гг. Добыто около 100 кт золота. Запасы на 1952 г. — 190 кт золота (Ю. Н. Размахин и др., 1966).

Минея Майское (VI-1-75) находится на водоразделе рек Рудам и Лидовка, в 7 км к северу от пос. Мономахово. Площадь сложной терригенными породами раннего мела (таухинская свита), перекрытыми вулканогенно-осадочными образованиями петрозаводской свиты и вулканическими приморской серии. Широко развиты субинтрузии, экструзии и дайки мелового возраста различного состава — от андезитов до риолитов. Орудение приурочено к полю развиции серпентитово-кварц-гидрослюдистых метасоматитов. Известно восемь рудных тел, локализованных в узкой полосе, приуроченной к экструзии риолитов. Протяженность этой полосы 1,5 км, ширина до 200 м. Главное рудное тело, зона Майская, включает обогащенный участок протяженностью 140 м и мощностью 1,1 м, по падению прослеженный на 140 м. Средние содержания в нем золота 11,6 г/т, серебра — 474 г/т. По месторождению содержания свинца — до 0,3 %, цинка — до 1 %, по жиле Сульфидной свинца — 2,73 %, цинка — 6,6 %. Запасы по категории C_2 золота — 507 кг, серебра — 20,7 т, прогнозные ресурсы по группе P_2 золота — 5 т, серебра — 125 т (В. А. Михайлов и др., 1985).

На территории находится большое количество россыпных месторождений золота (табл. 3) разного местоположения (русловые, долинные, террасовые, морские, наложенных прогибов) и возраста (от неогеновых до современных). Единичными скважинами вскрыты отдельно золотоносные струи.

Коренные проявления золота пространственно ассоциируют либо с гранитоидами, либо с вулканическими телами позднемелового, а в пределах вулканического пояса — палеогенового возраста и относятся к среднетемпературному золото-сульфидному (I-1-5; I-4-19; II-3-48; II-2-8; III-4-4 и др.) и низкотемпературному золото-серебряному (II-2-9, 12, 17; I-4-8; II-4-18; III-3-6, VI-1-97 и др.), реже высокотемпературному золото-кварцевому (I-1-9, III-1-4 и др.) типам. Содержание золота в них колеблется от 0,01 до 10 г/т. Масштабы проявлений незначительны. Прогнозные ресурсы подсчитаны по проявлениям: Корневое (II-1-76) — по группе P_2 — около 10 т (Н. Г. Сутурина и др., 1983), Скальные (III-3-11) — 1125 кг (Г. П. Антонов и др., 1975), Сентябрьское (IV-1-21) — 790 кг (А. А. Сисеко и др., 1984).

Шлиховые опреснения (I-1-2, 9; I-2-3, 6, 10, 20 и др.) содержат в основном знаковое золото, реже весовое до 0,6 г/м³ (I-1-12 и др.). Золото как сопутствующий элемент встречается в рудах многих оловянных, вольфрамовых и полиметаллических месторождений. Запасы

месторождения Восток-2 по категориям $B+C_1+C_2$ составляют 11 т (Ю. Н. Размахин и др., 1966).

Серебро. На территории известно Арциевское месторождение, I-5 проявлений и пунктов минерализации и два литогеохимических ореола рассеяния серебра.

Серебряно-полиметаллическое месторождение Арциевское (VI-1-23) находится в среднем течении одноименной реки и приурочено к тектоническим нарушениям в эфузивах приморской серии, прорванных дайками андезитов и риолитов и экструзий андезитов позднемелового возраста. На месторождении обнаружено восемь рудных тел, представленных минерализованными зонами дробления. Протяженность тел 70—700 м (предполагается до 2,3 км), мощность 0,35—2,0 м. Средние содержания по зонам серебра — 38—206 г/т, свинца — 0,86—4,8 %, цинка — 0,74—3,9 %, редко олова — до 0,1 %. Прогнозные ресурсы по группе P_2 серебра — 260 т, свинца — 42 тыс. т, цинка — 84 тыс. т (В. А. Михайлов и др., 1985).

Проявления и пункты минерализации относятся к серебряно-полиметаллической (IV-2-26, IV-3-5, 25, VI-1-32 и др.), реже к золото-серебряной (IV-3-24, 27 и др.) формациям.

Прогнозные ресурсы подсчитаны только для Трехреченского проявления VI-1-32, где составляют по группе P_2 по четырем наиболее изученным телам 130—260 т, по всему проявлению 500—1000 т серебра (В. А. Михайлов и др., 1985).

В литогеохимических ореолах I-3-15, II-2-9 содержание серебра 0,01—2,0 г/т.

В качестве сопутствующего элемента серебро находится в рудах практически всех свинцово-цинковых, оловянно-полиметаллических и золото-серебряных месторождений и проявлений.

Платина, платиноиды. Самостоятельных проявлений металлов платиновой группы не обнаружено. Повышенные их содержания приурочены к ультраосновным породам и отмечены на двух проявлениях. На проявление Сигтуу (III-1-1) содержание платины до 0,5 г/т, палладия — 0,001—0,01 %, в девонии платины до 0,001 %, на проявлении Магнитном (IV-1-13) содержание платины до 0,001 %.

НЕМЕТАЛЛИЧЕСКИЕ ИСКОПАЕМЫЕ

Оптические материалы

На территории известны проявления оптического кальцита, шъзооптического кварца и оптического флюорита.

Проявления оптического кальцита горы Сахарная (VI-1-62) представляют собой свалы исландского шпата в осадочных породах южного склона. Проявление дана отрицательная оценка.

Проявления пьезооптического кварца по ключам Кочетов (IV-1-29), Партизанский (IV-1-31), Скалистый (IV-1-34), Чайный (IV-1-39) и руч. Путеводный (V-1-79) представлены хусталеноносными пегматитовыми жилами и кварцевыми жилами с пустотами, выполнеными горным хрусталем, реже морионом и раухтопазом. Из-за малых размеров практического интереса не представляет.

В качестве оптического сырья может представлять интерес крупный зеленый флюорит зоны Флюоритовая оловянного проявления Крайнее (III-2-50) и мелкие кристаллы флюорита проявления к. Кварцевый (VI-1-57).

Химическое сырье

Сера. В Дальнегорском рудном районе находится м-ние Серное (Тетюхинское) и проявление Довгалевское.

М-ние Серное (VI-1-129) приурочено к полю вторичных кварцитов, разбитых по верхнемеловым эфузивам в районе Берегового интрузивного массива. Главнымрудным телом является грибообразная залежь, простирающаяся на 320 м в северо-восточном направлении по левому берегу к.л. Серный. Сера желтоватого или зеленовато-желтого цвета развита в виде мелкокристаллических импрегнаций и тонких бессторицовых прожилков. Содержание серы в залежи до 30 %, в прожилковых зонах 1—3 %, мышьяка 0,01—1,0 %. В богатых серных рудах отсутствует кварц. Прогнозные ресурсы месторождения по группе Р₂ — 17 700 т серы.

Довгалевское проявление серы (VI-1-24) в вулканогенно-осадочных породах мелового возраста находится на западном фланге Довгалевско-Кинчукинского рудного поля. Масштабы оруднения незначительны. В качестве сырья для производства серы и серной кислоты можно использовать пиритовые и пирротиновые концентраты оловянно-полиметаллических месторождений: Зимнего, Смирновского, Дальнегорского, Красногорского, Новомонастырского, Лидовского, вольфрамового месторождения Восток-2.

Флюорит. Выделяются две площади развития флюоритовой минерализации: Кузнецковская — бас. рек Максимовка, Светловодская и Дальнегорская — бас. рек Рудная, Зеркальная, Лидовка. Наиболее крупным объектом Кузнецковской площади является золото-серебрянокорнишне Салют-Орион, где флюорит вместе с квартцем слагает жилы и зоны протяженностью 150—1000 м, мощностью 3—26 м с содержанием до 20 %. Запасы флюорита по крупнейшей зоне Стланниковой 540 тыс. т, а всего по флюоритовым рудам месторождения прогнозные ресурсы группы Р₂ — 3,3 млн т.

Помимо месторождения, на этой площади находятся проявления: Средекузнецковское (III-3-6), Скальное (III-3-11), Нестеровское (III-3-21), локализующиеся преимущественно в разновозрастных вулканитах, и шлиховой ореол рассеяния флюорита (III-4-1) на правобережье р. Светлая с содержанием до 20 знаков на шлих. Прогнозные ресурсы Кузнецковской площади по группе Р₃ составляют 6 млн т. В пределах Дальнегорской площади флюорит встречается в рудах почти всех месторождений. Наибольшие концентрации его отмечены на Якутском бериллиевом месторождении, представляющем собой своеобразный штокверк по вулканитам с крупными зонами дробления, контролируемыми флюорит-адуляр-кварцевую минерализацию, и малоомощными флюорит-кварцевыми жилами. Всего выявлено 11 зон протяженностью 200—1200 м, мощностью 2—25 м с содержанием флюорита 10—30 %. Прогнозные ресурсы месторождения по группе Р₂ — 2,3 млн т.

Проявления Дальнегорской площади также связаны с верхнемеловыми вулканитами кислого состава и представлены серией жил, проявленных кварц-флюоритовым составом (VI-1-14, 81, 89, 109), реже чисто флюоритовым составом (VI-1-30) в зонах метасоматических преобразований и дробления пород. Мощность жил 0,1—0,3 м, редко до 2,5 м, протяженность 100—1000 м. Содержание флюорита от 1 до 20 %, при проявлении к.л. Малютка (VI-1-14) — до 74,5 %. Запасы флюорита пока считаются на проявлении к.л. Кварцевый, где составляют 7787,4 кг. Суммарные прогнозные ресурсы Дальнегорской площади по группе Р₃ до глубины 100 м 5 млн т.

Единичные проявления флюорита обнаружены также в бас. рек Дальняя (III-1-27), Арму (III-2-71, 77), к.л. Петрованова (IV-2-60),

Джигитовка (V-1-38), руч. Источный (V-2-26). Все они характеризуются низкими содержаниями (до 1 %, редко 1—10 %) и промышленного интереса не представляют.

В бас. р. Перевальная обнаружены металлометрические ореолы с содержанием фтора 0,01—0,1 %.

Барит. Известно одно месторождение — Туманный перевал и два проявления барита. Кроме того, он содержится в рудах практических всех месторождений и проявлений ртути и сурьмы.

М-ние Туманный перевал (III-1-41) приурочено к прионтактовой части покрова верхнемеловых порфиритов с осадочными породами нижнеплиоценового возраста. Баритизированный (BaO до 8 %) зоне. Линзы втянуты в северо-восточном направлении. Две главные — протяженностью 15 и 40 м имеют мощность 0,2 и 1,7 м и содержат BaO соответственно 56,68 и 52 %. Две другие — длиной около 5 м при мощности 0,2 м содержат BaO до 17,61 %. Ориентировочные запасы до глубины 40 м — 9300 т.

Проявления барита III-2-33, IV-2-61 характеризуются малыми содержаниями (BaO — 0,1 и 1 %) и представлены минерализованными зонами дробления. Промышленного интереса не представляют.

В верхнем течении р. Б. Уссурка известно два шлиховых ореола рассеяния барита (V-1-20, 21) с содержанием до 2 г/м³.

Алунит. Известно семь проявлений алунита, сосредоточенных в пределах Восточно-Сихотэалинского вулканогена (I-4-23; II-4-11, 14; IV-3-23; V-2-3, 4, 24). Все они приурочены ко вторичным алунитовым, алунит-дикитивным, алунит-каолинитовым кварцитам, образованным по верхнемеловым вулканитам. Содержание алунита в них до 10 %. Крупнейшим является проявление к.л. Шумный, занимающее площадь 1,5—2 км² с содержанием алунита до 52,5 %.

Алунит содержится в рудах северного фланга м-ния серы Серное.

Боросиликаты. На территории находится единственное боросиликатное месторождение Дальнегорское (Хрустальный отвод) (VI-1-43), приуроченное к антиклинали, ось которой проходит по долине р. Рудная. Сложенено оно скарнизованными известняками триаса (тетюхинская свита), алевролитами и песчаниками юры (горбушинская свита), прорванными дайками основных пород. Общая длина скарнового массива по простирианию более 3 км, максимальная ширина 640 м, прослежен на глубину до 1100 м. Скарны представлены геденбергитовыми, гранатовыми, реже актинитовыми и волластонитовыми разностями (всего около 20 разновидностей), с крупносферолитовыми и волнисто-полосатыми текстурами. Сплошные боросиликатные и боросиликатно-кальцитовые скарны имеют массивную текстуру. В отличие от других месторождений Дальнегорского района, для боросиликатного характерно почти полное отсутствие сульфидов.

В скальном поле выделяют шесть промышленных рудных залежей, из них две на Левобережном участке. Руды характеризуются непостоянством минерального состава, высоким содержанием граната и кальцита. Руды Правобережного участка содержат в среднем 47 % датолита, Левобережного участка — 31 % датолита и 9 % датолита. Содержание B₂O₃ в датолитовых рудах 3—20 %, в данбуритовых 8,5—16,7 %.

В небольших количествах датолит встречается в рудах многих месторождений Дальнегорского района. Из других боросиликатов заслуживают внимания актинит и турмалин. Аксинит содержится практически во всех скарновых месторожде-

Опоки

нижних, реже образует самостоятельные кварц-аксениновые жилы и зоны. Так, на свинцовом проявлении Длинное (II-3-17) известна такая зона мощностью около 20 м. Турмалин содержится в рудах многих оловянных и оловянно-полиметаллических месторождений и проявлений.

Минеральные удобрения фосфатные

Апатит, как аксессорный минерал, содержится в коре выветривания монцонитоидов бас. р. Б. Светловодная в вермикулите обнаружен в зоне II-2-37. На левобережье верхнего течения р. Максимовка обнаружен шлиховой ореол рассеяния (IV-3-2) со знаковыми содержаниями апатита.

Керамическое и огнеупорное сырье

Керамическое сырье представлено месторождением фарфорового камня Брусничное, месторождением огнеупорных глин Матайское, проявлением II-2-37. На левобережье верхнего течения р. Максимовка обнаружены шлиховой ореол рассеяния (IV-3-2) со знаковыми содержаниями апатита.

Керамическое сырье представлено месторождением фарфорового камня Брусничное, месторождением огнеупорных глин Матайское, проявлением II-2-37. На левобережье верхнего течения р. Максимовка обнаружены шлиховой ореол рассеяния (IV-3-2) со знаковыми содержаниями апатита.

Керамическое сырье представлено месторождением фарфорового камня Брусничное, месторождением огнеупорных глин Матайское, проявлением II-2-37. На левобережье верхнего течения р. Максимовка обнаружены шлиховой ореол рассеяния (IV-3-2) со знаковыми содержаниями апатита.

Керамическое сырье представлено месторождением фарфорового камня Брусничное, месторождением огнеупорных глин Матайское, проявлением II-2-37. На левобережье верхнего течения р. Максимовка обнаружены шлиховой ореол рассеяния (IV-3-2) со знаковыми содержаниями апатита.

Керамическое сырье представлено месторождением фарфорового камня Брусничное, месторождением огнеупорных глин Матайское, проявлением II-2-37. На левобережье верхнего течения р. Максимовка обнаружены шлиховой ореол рассеяния (IV-3-2) со знаковыми содержаниями апатита.

Абразивные материалы

Корунд в количестве нескольких десятков зерен на шлихе встречен на участке побережья между бух. Лудза и мысом Гуманский (I-5-3) в виде крупных (0,5—2 мм) неправильных зерен.

Поделочные камни

В районе обнаружены проявления ювелирно-поделочного и технического халцедона, агата, сердолика, сапфира, яшмы, аметиста, яшмоидов и родонита. Подавляющее большинство их сосредоточено в Алчанском агатоносном районе и приурочено к площади распространения золеновых андезибазальтов. В качестве ювелирно-поделочного сырья используются крупносферолитовые и волнисто-полосчатые разности воластонит-геденбергитовых и датолит-геденбергитовых скарнов боросиликатного и полиметаллических месторождений Дальнегорского рудного района, мелкие кристаллы аквамарина и топаза месторождения бериллия (Забытое) и небольшие включения янтаря каменоугольного м-ния Ташаньского (пласт «Первенец»).

Халцедон, сердолик и агат в проявлениях (II-1-7, 10, 19, 27, 29, 33, 36, 38, 39, 43, 48, 49, 55, 56, 58; III-2-55; III-3-12), как правило, встречаются совместно и образуют гнезда и линзы размером от 1 до 15 см в вмещающих породах, реже представлены галькой (от 1 до 30 см) разной степени окатанности в речных и береговых отложениях (I-1-11; II-4-3; IV-3-11), а в проявлении руч. Четвертый (IV-1-5) образуют две жилы

Известно четыре проявления опок (опаломитов), расположенных в левобережье р. Б. Светловодная и приурочено к коре выветривания монцонитоидов, где содержание светло-коричневого вермикулита достигает 27 %. Прокаленный вермикулит имеет желтовато-серебристый цвет, объемный вес 0,13—0,16 г/см³. Коэффициент вспучивания 10—15. Общий выход вспученного вермикулита 84—93,6 %. Он относится к марке «150»—«200». Сведений о запасах нет.

Тальк. Проявление кл. Новостей (IV-1-6) представляет собой уплощенный шток ультраосновных пород, переработанный до тальк-тремолит-хлоритовых и тальк-хлоритовых сланцев. Протяженность его 3,5 км ширина 300—400 м. Содержание талька от 3 до 41 %.

Цеолиты. Проявление Чугуту (I-4-5) расположено в бас. р. Самара, где цеолиты группы шабазита образуют густую вкрапленность в рыхлых пепловых туфах мощностью 70 м и перекрывающих их андезибазальтах. Площадь цеолитизации 2 км². Содержание цеолитов достигает 30—40 %. Проявление р. Кривая (VI-1-83) представлено собой зону дробления в туфах риолитов, cementированных цеолит-кварцевым агрегатом. Зона мощностью 40 м прослежена по простиранию на 200 м. Содержание цеолитов неравномерное — от 7 до 50 %. Цеолиты содержатся также в рудах золото-серебряного м-ния Салют-Орион, во многих свинцово-цинковых месторождениях Дальнегорского района.

трещиноватых переливтов (агатов, состоящих из полосчатого халцедона) в гранитах мелового возраста.

Наиболее перспективными в промышленном отношении считаются проявления участка Надежда и Сактымар.

Проявление участка Надежда (II-1-11) находится на правобережье руч. Рогатый и приурочено к северо-западной зоне дробления и аргиллитизации андезитобазальтов протяженностью 300 м и мощностью около 5,5 м. Прожилково-гнездовые выделения халцедона содержат промсыры 0,43–3,8 кг/м³. Халцедон светло-серый однородный, соответствует марке АТ-1. Выход сортового камня из промсыря равен 75 %, из которых 20 % принадлежит к первому сорту, 25 % — ко второму и 30 % — к третьему. Прогнозные ресурсы группы Р₁, по данным В. С. Нурахнова (1983), равны 335,2 т. Проявление находится в стадии дозыния.

Проявление участка Сактымар (II-1-54) расположено в бассейне одинименной реки и представлено двумя штокверковыми зонами в вулканическом основном и среднем составе, приуроченными к субширотной зоне разлома, двумя делювиальными и аллювиальными россыпями. Зона Горячая-1, размером 1000×700 м сложена дроблеными и дезинтегрированными андезитбазальтами с блоками мощностью до 10 м неизмененных пород, содержит гнезда и прожилки мощностью 2–12 см однородного халцедона серой, зеленоватой и медово-желтой окраски в количестве 0,2–4,0 кг/м³. Зона Горячая-2 размером 1000×500 м имеет такое же строение, но содержание халцедона в ней 0,1–1,8 кг/м³. Выход сортового камня по проявлению марки АТ-2 — 95 %, из которых 25 % относится к первому сорту, 30 % — ко второму и 40 % — к третьему.

Делювиальные россыпи, расположенные ниже штокверковых зон, имеют размеры: Горячая — 1500×600 м, Заманчивая — 1200×700 м. Содержания агата и халцедона в них соответственно равны 0,2–10 и 0,1–2 кг/м³.

Аллювиальная россыпь площадью 20 000 м² содержит 1–2 обломка халцедонов и агатов на 1 м², из которых сортовому сырью соответствует всего 5–10 % преимущественно II сорта. На участке планируется проведение детальных поисков.

Обломки яшмоидов и яшм размером от 3×7 до 5×20 находящиеся совместно с халцедоном, обнаружены в делювиальных и аллювиальных отложениях в полях развития вулканитов основного и среднего состава на правобережье р. Пряная (II-1-16), в верховых р. Алчан (II-1-30) и вруч. Приемный (II-1-40). Яшмы и яшмоиды — однотонные, реже полосчатые, имеют красную, зеленую, желтую окраску и, по заключению В. Ю. Забродина, соответствуют яшмам высшего и I сорта. Могут быть использованы в художественном промысле (мозаичные панно и т. д.), для изготовления ювелирных изделий, ступок.

Проявление родонита (II-2-23) в виде единичного обломка размером 8×20 см выявлено в аллювии руч. Хмурый, размывающего марганец. На южную зону в кремнистых породах джаурской свиты. По заключению В. Ю. Забродина, родонит по художественно-декоративной характеристике соответствует I сорту. Кроме того, обломки пиролюзит-родонит-кварцевой породы наблюдаются в делювии левого берега этого ручья.

Проявление аметиста (VI-1-25) обнаружено по руч. Березовый, где оно представлено небольшой кварцевой жилой с мелким аметистом.

Представляет минералогический интерес.

Строительные материалы

Магматические породы. На территории широко распространены разновозрастные граниты, гранодиориты, диориты, габбро, базальты и ан-

дезиты, перлиты и порфириты, туфы, пригодные для использования в качестве строительных материалов. Запасы их практически неограниченные. Месторождения строительных материалов детально исследованы только в экономически освоенных районах, вблизи железных или щоссейных дорог. Некоторые из них периодически эксплуатируются для местных нужд.

Основные интрузивные породы. М-ние Тарнестое (III-2-85) находится в пределах рудного поля одноименного оловорудного месторождения и приурочено к штоку габбро-диоритов с объемным весом 2,68–2,85 г/см³, удельным весом 2,72–2,87 г/см³, водопоглощением 0,24–0,45 %, прочностью 0,72–3,30 %. Предел прочности пород при сжатии 1000–1100 кг/см². Они могут использоваться для производства щебня марки «200» и в качестве заполнителя в бетон марок «200» и «300». Запасы месторождения по категории В — 233,6 тыс. м³. Объем вскрытия 35,5 тыс. м³.

Эффузивные породы. М-ние Тахало (II-1-57) расположено в междуречье Дымный — Строительный, приурочено к склону, сложенному андезитами, риолитами и итниморитами алчансской свиты. С поверхности породы выветрельте, разбиты трещинами на глыбы, на глубине более 100 м литы. Мощность вскрыши 1–2,3 м. По износу строительный камень относится к марке И-1, по прочности — «800»—«1200», реже «600», по морозостойкости — к марке МРЗ-25 и МРЗ-50, по прочности — к I—3 классам. Содержание обломков пластинчатой формы 26–50 %. При испытании на скрепление необходимо вводить активизирующие добавки. Для улучшения сцепления необходимо вводить активизирующие добавки. Разработка месторождения с запасами около 200 млн м³ возможна открытым способом круглогодично.

Перлиты. Из четырех известных месторождений перлитов (I-4-21; VI-1-50, 84, 135) наиболее изученными являются Чашеватое, Нежданковское и Боготольское. Первое и последнее находятся в Кавалеровском районе, Нежданковское — в Дальнегорском.

М-ние Чашеватое (VI-1-50) расположено на западном склоне одноименной горы в бас. р. Высокогорская и приурочено к палеогеновым эффузивно-липкластическим породам. Перлиты образуют покров длиной 250 м, средней шириной 50 м и мощностью 14,5 м, а также линзу длиной 750 м, мощностью 23,0 м. Мощность вскрышных пород 0,1–1,7 м. Перлиты состоят из вулканического стекла (до 70 %), вкрашенников плагиоказа, санидина, кварца — от 5 до 30 %. Удельный вес — 2,35–2,50 г/см³, объемный вес — от 1,99 до 2,48 г/см³. Оптимальная температура вскипивания — 1200 °C с выдержкой 1 мин. Из вскипевшего перлитового материала получены перлитобетон марки «100» и «50». В смеси с датолитовым концентратом или боратом кальция перлиты пригодны для изготовления глазурей. Запасы месторождения по категории А+В+C₁ — 581 тыс. м³ [4]. Месторождение не эксплуатируется.

М-ние Нежданковское (VI-1-84) расположено на вершине одноименной горы в палеогеновых вулканогенных породах. Полезные ископаемые представлены разобщенными телами длиной до 180 м и мощностью 5–10 м, сложенными перлитами воско-желтого и бутылочно-зеленого цвета. Мощность вскрыши 0,15–1,7 м. Перлиты состоят из частично раскристаллизованного вулканического стекла с вкраплениками кварца и полевых шпатов от 5 до 15 %. Вспучиваются они при температуре 1150 °C и продолжительности обжига 30 с. Средний коэффициент вспучивания 3,6. Вспученный перлит пригоден для производства теплоизоляционного материала и для приготовления перлитобетонных изделий открытым способом круглогодично.

реждающих поверхностей. Запасы месторождения по категориям А+В+C₁ составляют 150 тыс. м³, по категории С₂ — 41 тыс. м³. Месторождение эксплуатируется с 1964 г. перлитовым заводом треста «Дальметаллургстрой».

М-ние Богословское (VI-1-135), расположено на склоне сопок Б. и М. Перлитовые, на правом берегу долины пади Колобенкова среди палеогеновых эфузивно-пирокластических пород. Полезным ископаемым является горизонт черных и темно-зеленых перлитов мощностью от 2,0 до 30 м (средняя 8 м). Вскрышии деловитые отложения средней мощностью 0,8 м. Основная масса перлитов представлена частично раскристаллизованным стеклом, содержащим вкрапленника плагиоказа, кварца, гиперстена, биотита (5—10%). Коэффициент вспучивания 1,6—3,8. Вспучиваются они при температуре 1000—1200 °С при продолжительности вспучивания 3—5 мин. Перлитобетон пригоден для применения в однослойных стенных панелях, несущих перегородки и перекрытия; перлит с межзерновой пустотностью — в качестве теплоизоляционного конструктивного бетона. Запасы месторождения по категориям А+В+C₁ — 811 тыс. м³, по категории С₂ — 467 тыс. м³. Пригодно, как и вышеописанные месторождения, для отработки открытых карьеров.

Туфы. М-ние базальтовых туфов Святогорское (I-1-7) приурочено к шлаковому конусу раннечетвертичного вулкана диаметром 750 м и высотой 60 м на левобережье р. Хор, СЗ пос. Святогорье. Конус сложен агломератовыми и псевдитовыми туфами, причем последние развиты в виде маломощных линз (2—3 м) по периферии. Агломератовый тuff состоит из большого количества бомб и лапиллов (2 см до 1 м) разнообразной формы, скрепленных продуктами разложения мелкого пеплового материала. Псевдитовый тuff состоит из угловатых пористых обломков базальтов (5—10 см), скементированных аналогичным цементом. Мощность вскрыши колеблется от 0,0 до 1,5 м. Туфы центральной части конуса могут использоваться в качестве заполнителей бетонов и теплоизоляционного материала. Туфы южной части конуса, перекрытые продуктами разложения, обладают адсорбционными свойствами, а развитые по периферии — гидравлическими и могут использоваться для производства известняко-тушшолованых пементов II сорта. Запасы месторождения по категориям А+В+C₁ — 7872 тыс. м³ [53].

Карбонатные породы. М-ние известняка Мономаховское (VI-1-99) расположено в Дальнегорском районе, в 1,5 км к северо-западу от пос. Мономахово. Известняки триасового возраста средней мощности 250 м слагают крыло антиклинальной складки. Они пронизаны прожилками и жилами мощностью до 0,5 м. Отмечается трещиноватость и слабая их закристаллизованность. На месторождении выделены светло-серые, темно-серые и черные известняки с кристаллической, пелитоморфной и оолитовой структурами. Средняя мощность вскрытых пород 1,5 м. Содержание CaO+MgO составляет 90—96,4 %. Объемный вес их 2740 кг/м³, предел прочности 500—800 кг/см². Они пригодны для производства известняков при скорости гашения 26—36 с, температура гашения 96—102 °С. Выход известкового теста 2,3—2,8 л/кг, количество непогасившихся частиц 0,35—1,35 %. Балансовые запасы известняка на 1970 г. составляют по категориям А+В+C₁ — 16 673 тыс. т. Месторождение эксплуатируется с 1959 г. Приморским горнохимическим комбинатом.

Глинистые породы

кирпича, отмечаются во многих местах, где развиты коры выветривания, хотя специальных исследований проведено явно недостаточно.

Месторождения кирпичных и гончарных глин в Приморском и Хабаровском краях (III-4-4; III-4-7; IV-2-13; V-2-19; VI-1-37, 56, 134; VI-2-8) связаны в основном с четвертичными отложениями различных генетических типов и расположены в наиболее освоенных районах. Большинство их периодически разрабатываются для местных нужд. Наиболее изученными являются м-ния Бобковское и Нижнеберезовское.

М-ние кирпичных суглинков Бобковское (III-4-7), расположенного в 1,8 км южнее с. Бобково, представлено деловитыми суглинками с простыми песка, перекрывающими третью морскую террасу. Гранулеметрический состав суглинков: 5—3 мм — 0,3%; 3—1 мм — 4,2%; 1—0,5 мм — 3,5%; 0,5—0,25 — 2,9%; 0,25—0,05 мм — 11,5%; 0,05—0,01 мм — 30,1%; 0,01—0,005 мм — 14,1%; 0,005—0,001 мм — 21,4%.

Качество суглинков, как кирпичного сырья, плохое ввиду значительной примеси алевритового и паммитового материала. Они периодически разрабатываются местным населением карьером высотой 2 м и протяженностью 150 м. Запасы месторождения не подсчитаны.

М-ние Нижнеберезовское (VI-1-37) расположено на правобережье р. Рудная, в приустьевой части правого притока к.л. Березовый и приурочено ко второй надпойменной террасе, сложенной четвертичными зернисто-речными глинистыми породами. Промышленное значение имеют желто-серые и желтые суглинки, образующие пласто-линзовую залежь средней мощностью 2,5 м и горизонт мощностью 0,4—2,5 м, залегающий на размытой поверхности валуно-гальечниковых отложений. Средняя мощность вскрыши 0,3 м. По химическому составу обе разновидности суглинков — полулюстрические с высоким содержанием красящих окислов. Гранулометрический состав: 20—55 мм — до 10,2%; 5—0,5 мм — до 53,6%; 0,05—0,005 мм — до 68,0%; менее 0,005 мм — до 30,9%. Число пластичности от 6,2 до 18,5, формовочная влажность от 16, 18, до 24,7%. Они являются среднечувствительными к сушке, оптимальная температура обжига 1020 °С. При испытаниях получен морозостойкий кирпич марки «100». Запасы по категориям В+C₁ составляют 239 тыс. м³. Месторождение эксплуатируется Дальнегорским кирпичным заводом.

Обломочные породы

Песчано-гравийные и гравийно-галечные отложения широко распространены и связаны с деятельностью водных потоков. Ими сложены прибрежные районы береговых валов, пляжи, русла рек и отлогие берега. Большинство их периодически эксплуатируется для местных нужд.

Из 11 месторождений (I-1-3, 6; II-1-25, 53, 70; II-4-1, 5; V-2-22; VI-1-106; VII-2-4, 7) наибольший промышленный интерес представляют м-ния Переяславское (I-1-3), Хорское (I-1-6), Изобринос (II-1-70) и Усть-Кривое (VI-1-106), где полезным ископаемым являются смеси песка и гравия, галечника и песка (Хорское), гравия и галечника (Переяславское) и гравия, гальки и валунов (Изобринос), пригодные в качестве заполнителей бетонов марок «100» и «150», в дорожном строительстве. Все они обладают значительными запасами и могут отгружаться открытым способом.

Шебень. В водораздельной части руч. Тихонов и М. Черемшанка (IV-1-14), а также на левобережье М. Черемшанки в 1,5 км выше устья руч. Желна (IV-1-15) расположены два карьера по добыванию из толщи алевролитов и аргиллитов с обломками кремней и песчаников. Шебень используется для дорожного покрытия.

Песок строительный. Разведано и периодически разрабатываются пять месторождений строительного песка. Четыре из них находятся в пределах береговых валов и одно — морской террасы побережья (Джигитовское). Пески мелко-, средне- и крупнозернистые разного состава с включениями гальки и гравия (до 38%). Мелкозернистые пески м-ния Джигитовское не удовлетворяют ГОСТ по модулю крупности и при использовании требуют добавки крупной фракции. Пески пригодны для изготовления кирпича марок до «150», пеносиликатных изделий марки «200» и общестроительных работ. Запасы месторождений по категориям: Джигитовское (V-2-41) $C_1+C_2 = 308$ тыс. м³; Лидовское (VI-1-93) — 250,5 тыс. м³; Пристанское (VI-1-115) $A+B+C_1 = 1762$ тыс. м³; Зеркальное (VI-1-141) $A_2 = 729$ тыс. м³; Духовское (VI-2-4) $B+C_1 = 421,1$ тыс. м³; $C_2 = 163$ тыс. м³. М-ние Лидовское отработано в 1965 г.

Прочие породы

Камень облицовочный и декоративный. Известно два месторождения облицовочно-декоративных камней, представленных риолитами мелового возраста.

М-ние руч. Ударный (I-1-14) находится на водоразделе рек Хор и Кия. Представлено тремя потоками сферолитовых риолитов протяженностью 300—400 м, мощностью 10—40 м. Риолиты отличаются пестрой окраской, неравномерным распределением мелких сферолитов, отсутствием трещиноватости. Они могут использоваться в качестве высокодекоративных поделочных и облицовочных материалов.

М-ние Бриннеровское (VI-1-117) находится в 2,5 км к югу от мыса Бриннера и приурочено к экструзии риолитов размером 2×4 км. В качестве поделочных и облицовочных материалов могут использоваться пестроокрашенные риолиты с плоско-параллельным, волнистым и вихревым расположением полос, прослеженные на 700 м при мощности 50—70 м. Рисунок на приподняванных плоскостях сходен с рисунком скарнов месторождений Дальнегорского рудного узла. Прогнозные ресурсы группы Р₂ около 8 млн м³ при выходе блоков 50—70% [113].

Красочные глины. М-ние красочных глин Переяславское расположено в окрестностях пос. Переяславка на правом берегу р. Кия, где развит покров базальтов и андезибазальтов совгаванской свиты мощностью свыше 30 м. Краски приурочены к коре выветривания базальтов и представляют собой рыхлые глины вишнево-красного и желтовато-бурового цвета. Мощность залежи 0,5—6,2 м. Разведенная площадь 0,5 км².

Таблица 4

Характеристика источников минеральных вод

Источник, географическая и геологическая привязка	Номер на карте	Дебит, л/с	Температура, °C	Формула химического состава	Минерализация, г/л	pH	Преобладающий газ	Содержание специфических компонентов, мг/л
Линейный, руч. Кремнисто-терригенные отложения (T)	II-1-12	0,05—0,1	Хол.	$\begin{array}{l} \text{HCO}_3\text{98} \\ \text{Ca45 Mg39 Na12} \end{array}$	0,363	5,9	CO_2	$\text{Fe}_2\text{O}_3 - 0,43$
Тюбиль, руч. Алевролиты, туфы (RZ ₃)	II-1-26	1—2	Хол.	$\begin{array}{l} \text{HCO}_3\text{81 CO}_3\text{12} \\ \text{Ca75 Mg17} \end{array}$	0,149	8,37	CO_2	—
Пр. Нешерка, р. Эффузивы (K ₂)	III-3-8	до 1	Хол.	$\begin{array}{l} \text{HCO}_3\text{99} \\ \text{Na65 Ca30} \end{array}$	0,18	—	CO_2	—
Хунтун. Осадочные отложения (T ₃ —J ₁)	IV-1-76	0,05	5	$\begin{array}{l} \text{HCO}_3\text{97} \\ \text{Ca52 Mg44} \end{array}$	1,245—1,42	6,4—6,6	CO_2	$\text{CO}_2 440—545;$ $\text{Fe}^{2+} 1,0—5,0$
Приточная, р. Осадочные отложения (T ₃ —J ₁)	IV-1-77	—	5	$\begin{array}{l} \text{HCO}_3\text{99} \\ (\text{Na}+\text{K})\text{39 Ca36 Mg23} \end{array}$	1,22—1,34	6,0—6,4	CO_2	$\text{CO}_2 1340—1950;$ $\text{Fe}^{2+} 0,1$
Живописная, р. Эффузивы (K ₂ —P ₂)	IV-3-3	0,5	25	$\begin{array}{l} \text{HCO}_3\text{76 Cl15} \\ (\text{Na}+\text{K})\text{95} \end{array}$	0,27—0,31	8,0—8,2	N_2	$\text{H}_2\text{SiO}_3 - 36,4;$ $\text{As}0,068; \text{Pb}0,12$ $\text{Zn}0,025$
Амгинский. Эффузивы (K ₂ —P ₁)	IV-3-10	0,3	36,5	$\begin{array}{l} \text{HCO}_3\text{76 SO}_4\text{14} \\ (\text{Na}+\text{K})\text{90} \end{array}$	0,2	8,6	N_2	$\text{H}_2\text{SiO}_3 36,4;$ $\text{As}0,68; \text{Pb}0,12$ $\text{F}1,25$
Теплый Ключ. Эффузивы (пK ₂ —P ₁)	IV-3-12	0,5	28	$\begin{array}{l} \text{HCO}_3\text{86 Cl14} \\ (\text{Na}+\text{K})\text{72 Ca26} \end{array}$	0,185	8,35	N_2	$\text{H}_2\text{SiO}_3 23,4$
Николаевские. Эффузивы (K ₂)	VI-1-41	—	до 1	$\begin{array}{l} \text{HCO}_3\text{61 Cl38} \\ (\text{Na}+\text{K})\text{98} \end{array}$	1,3	7,4—8,4	CO_2	$\text{CO}_2 792$
Скв. 70 глубина 427 м	—	—	до 1	$\begin{array}{l} \text{HCO}_3\text{70 Cl18 SO}_4\text{12} \\ (\text{Na}+\text{K})\text{78} \end{array}$	0,26	7,4—8,4	CO_2	$\text{CO}_2 350$
Скв. 183, глубина 133 м	—	—	11					

Глинистое сырье пригодно для производства густотертых масляных красок, эмалей, сухих клеевых красок марки Б. Запасы по категориям А+В+C₁ на 1972 г. — 200 тыс. т, забалансовые — 76 тыс. т. Прогнозные ресурсы площадей, прилегающих с востока, — 1 млн т. Участок Восточный, расположенный в 1,5 км к востоку от поселка, представлен коричневыми с буроватым оттенком и вишневыми глинами коры выветривания базальтов мощностью 0,2—5,5 м, пригодными для производства глинисто-известковых клеевых и масляных красок. Качество красок низкое, запасы по категории С₁ — 339 тыс. м³ [53].

ИСТОЧНИКИ МИНЕРАЛЬНЫХ ЛЕЧЕБНЫХ ВОД

Известно девять источников минеральных вод. Три из них (Амгинская группа) — р. Живописная, Амгинский, Теплый Ключ относятся к провинции сезонных термальных вод, а остальные к провинции холодных углекислых вод. Характеристика источников приведена в табл. 4.

Амгинская группа источников расположена на восточном склоне хр. Сихотэ-Алинь, вблизи бухты Амгу. В районе широко развиты разрывные тектонические нарушения, по которым разгружаются термальные воды. Возможно, что эти источники связаны с северо-восточным проложением Колумбинского разлома [27]. Они слабоминерализованные щелочные гидрокарбонатные натриевые, характеризуются повышенным содержанием фтора (до 1,25 мг/л) и кремния (H_2SiO_3 до 36,4 мг/л). По химическому составу аналогичны водам курорта Кульдур. На Амгинском источнике функционирует водолечебница «Теплый Ключ» на 25 мест, где лечат кожные заболевания, ревматизм и радикулит.

Источники холодных углекислых вод расположены как в западной части территории, так и в зоне Прибрежного антиклинария. Выходы минеральных вод приурочены также к тектоническим разрывным нарушениям. По химическому составу воды источника р. Гр. Пещерка относятся к балейскому, Хунтун — к дарасунскому, а руч. Тобиль, руч. Линейный и р. Приотчная — к нарзанскому типам. Воды самоизливающихся Николаевских источников, вскрытые скважинами на глубинах 133—427 м, являются субтермальными и по своему химическому составу близки к боржомскому типу.

ЗАКОНОМЕРНОСТИ РАЗМЕЩЕНИЯ ПОЛЕЗНЫХ ИСКОПАЕМЫХ

Рассматриваемая территория входит в состав внешней олово-вольфрамовой зоны Тихоокеанского Рудного пояса и принадлежит к числу наиболее изученных областей. Тем не менее вопросы ее минератации во многом носят дискуссионный характер и еще далеки от разрешения. Размещение месторождений и проявления полезных ископаемых обусловлено прежде всего сочетанием разнообразных геологических процессов, а также различной освоенностью отдельных районов. Характерной особенностью геологического развития южной части Дальневосточного региона является неоднократное проявление тектально-магматической деятельности, которое затрагивало ранее сформированные структуры и привело к наложению разновозрастных минерализаций. В выделении минератических зон и более дробных подразделений решающее значение отводится структурно-формационным зонам, так как состав структурных комплексов во многом определяет характер магматизма на определенном этапе развития и связанную с ним рудоносность. Большое влияние на распределение полезных ископаемых оказали долгоживущие региональные разломы (Центральный Сихотэ-Алинский, Арсеньевский, Прибрежный, Приморский) часто свивговой природы, ограничивающие структурно-формационные зоны, предопределившие развитие магматизма и, как следствие, локализацию месторождений. Кроме того, необходимо учитывать и тектонические зоны более мелкого порядка, отражающие различные ориентированные расколы фундамента, проявленные в верхнем структурном этаже в виде зон повышенной трещиноватости, благоприятных для образования рудных объектов.

Минерагенические схемы, имеющиеся в настоящее время, незначительно отличаются друг от друга, так как базируются на одних и тех же данных. Однако авторы этих схем (Е. А. Радкевич, Е. С. Павлов, М. П. Материков, Ю. Г. Иванов и др.) по-разному понимают основные черты геологического строения региона, различно оценивают роль тех или иных рудоконтролирующих факторов. Наиболее удачным, на наш взгляд, является деление описываемой территории на две Минерагенические провинции — Сихотэ-Алинскую и Хоккайдо-Сахалинскую. В пределах первой условно выделяются Западно-Сихотэалинская Центрально-Сихотэалинская, Восточно-Сихотэалинская и Тагарская структурно-минералогические зоны, отделенные друг от друга региональными разломами. Кроме того, Восточно-Сихотэалинская зона подразделяется на две подзоны — Главную и Прибрежную. Западно-Сахалинская структурно-минерагеническая зона охватывает краевую часть Хоккайдо-Сахалинской провинции.

Западно-Сихотэалинская структурно-минералогическая зона расположена в северо-западной части территории листа и отделена от соседней Центрально-Сихотэалинской Арсеньевским разломом. Из-за развития

мощных толщах рыхлых отложений в Вяземском и Алчанском прогибах эндогенная минерализация зоны изучена недостаточно. В западной части соседней территории Самурская металлогеническая зона геосинклинального этапа развития средне-позднепалеозойской складчатой области с маргансовой минерализацией. Металлогенический профиль Западно-Сихотэ-алинской зоны определяется наличием большого количества проявленной золота и вольфрама, связанных, очевидно, с раннеорогенным этапом развития района, сопровождавшимся внедрением гранитондов местного возраста. С поздней лейкократовой фазой интрузий хунгарийского комплекса за пределами листа связано, предположительно, формирование промышленных скоплений вольфрама, а с гранитоидами таганского и нижнеамурского комплексов — золотая и золото-вольфрамовая минерализация. Не исключено обнаружение здесь месторождений с золото-вольфрамовой минерализацией, аналогичных Лермонтовскому, выявленному на соседней с запада территории. Помимо золотых и вольфрамовых проявлений, в этой зоне установлены единичные проявления олова и ртути, а в южной части находится Алчанский агатоносный район, где в палеогеновых базальтах выявлено большое количество проявлений полезных и технических камней. Экзогенные полезные ископаемые представлены буровугольным месторождением с. Екатериновка, расположенным в пределах Оборо-Уссурийской угленосной площади, Переяславским месторождением керамзитовых и красочных глин. В долинах основных водотоков выявлены золоторудные россыпи и ряд месторождений гальки и гравия.

Центрально-Сихотэалинская структурно-минералогическая зона охватывает Главный антиклинальный Сихотэ-Алини и отделяется от Восточно-Сихотэалинской зоны Центральным структурным цвлом и опоряющей его системой разломов. Развитие в составе геосинклинального комплекса зоны основных эффузивов и сопровождающих их кремнистых образований позволяет считать ее перспективной на обнаружение колчеданно-полиметаллических и осадочных месторождений марганца. С небольшими по размеру массивами ультраосновных пород и габроидов позднепалеозойского возраста генетически связанны проявления никеля, кобальта, хрома, возможно вермикулита и платиноидов. В южной части зоны на пересечении продольных глубинных разломов с попечечными залегающими мелкими массивами щелочных пород юрского возраста, обра- зованными по размаху массивами ультраосновных пород и габроидов предположительно, в дюроценную эпоху. С этими массивами генетически связаны проявления редких земель и, возможно, титана, рудной зоны Иденту. Широко проявленный интрузивныймагматизм орогенной стадии развития региона (татибинский и бачелазский комплексы) сказалась и на металлогенической специализации Центрально-Сихотэалинской структурно-минералогической зоны. Здесь прослеживается восточная окраина Алчано-Магадской раннеорогенной металлогенической зоны с золото-вольфрамовым оруднением (м-ние Кафенское), западная же часть которой входит в состав позднепалеогенового Восточно-Сихотэалинского металлогенической зоны, где со сложными и многофазными интрузиями мелкого возраста ассоциируют месторождения и проявления золота, олова и вольфрама. При этом золото обнаруживает пространственную и генетическую связь с мелкими интрузивными телами кислого и среднего состава (м-ние Благодатное), а олово и вольфрам связаны с более поздними кислыми производными гранитных интрузий. Поля развития карбонатных пород перспективны на обнаружение шеелитоносных скарнов (м-ние Восток-2) и, возможно, полиметаллических месторождений.

Эндогенная минерализация представлена месторождением бурых углей Среднебикинское, проявлениями каменных углей и торфа Среднебикинской и отчасти Верхнебикинской угленосных площадей. В долинах

рек известны россыпные месторождения и проявления золота, месторождения строительных материалов (песок, гравий и др.).

Восточно-Сихотэалинская структурно-минералогическая зона находится восточнее предыдущей и ограничена с востока Приморским разломом. Прибрежный разлом делит ее на две половины — Главную и Прибрежную.

Главная подзона приурочена к Восточно-Сихотэалинскому синклиниорию. В ее пределах расположены наибольшие золоторудные месторождения юга Дальнего Востока России. Формирование их происходило в основном в орогенный этап развития региона на разных уровнях от рудоносных очагов, разных уровнях глубинности, в различных физико-химических условиях и отличающихся по своим физико-химическим свойствам вмещающих породах, что отразилось на количественно-стороне рудоотложения и минеральном составе руд. К западной части зоны приурочены наиболее глубоко эродированные гранитные массивы, с которыми связана редкометалльная (м-ние бериллия Забытое) и оловянно-вольфрамовая (Тигриное, Усть-Микулинское м-ния) минерализация кварцевой формации. По мере продвижения на восток с погружением гранитных массивов происходит постепенная смена оловянно-вольфрамовых месторождений оловянных и оловянно-полиметаллическими, соответствующими касситерит-силикатной, касситерит-силикато-сульфидной и касситерит-сульфидной формаций. Существующее представление о наличии в зоне синклиниория скрытых поперечных глубинных разломов и крупных интрузивных массивов, а также вулканоструктур объясняет более сложный характер распределения месторождений различной формационной принадлежности, когда даже в пределах одного рудного узла встречаются не типичные для него месторождения (Краснореченский рудный узел). Необходимо учитывать и напожение оторванной во времени минерализации, связанной с разновозрастными и различными по составу татибинского и бачелазского комплексов западной части зоны связана золотая и золото-вольфрамовая минерализация, а с наиболее поздними кислыми дифференциатами гранитноймагмы — оловянно-вольфрамовая. С небольшими интрузиями повышенной основности (монцонитоиды) ассоциируют оловянные месторождения и проявления касситерит-силикатно-сульфидной группы формаций (Тернистое, Зимнее, Среднемикулинское, Горное и др.) Центральной части Главного синклиниория. В пределах вулкано-тектонических структур вулканогенного пояса и вблизи его с интузивными массивами приморского и, главным образом, прибрежного комплексов олово ассоциирует со свинцом и цинком или с вольфрамом и молибденом (м-ние Озерковское). Здесь же сосредоточены и золото-серебряные месторождения (Приморское, Салют-Орион) и проявления эпимермального типа, связанные с палеогеновыми вулканиками и суббулканическими образованиями (Приморская металлогеническая зона). В южной части подзоны продолжается Курортная рудная зона с ртутной минерализацией.

Прибрежной палеогенового возраста.

Прибрежная подзона приурочена к одноименному антиклинальному поднятию, в пределах которого имеются карбонатные толщи, предпревившие преимущественно свинцово-цинковую минерализацию. Причем в южной части подзоны (Ольгинский район) распространены высокотемпературные проявления свинца и цинка, связанные с гранитоидами позднемелового возраста, а в северной (Дальнегорский район) — инфильтрационные скарны с полиметаллическим наложенным оруднением палеогенового возраста. В полях развития терригенных толщ сосредоточены касситерит-сульфидные, олово-полиметаллические месторождения (Новомонастырское и др.), аналогичные месторождениям Главной подзоны. В северном обрамлении Прибрежной подзоны среди покровов

эффузивов известны многочисленные проявления свинцово-цинковой минерализации, иногда содержащие серебро и сурьму и относящиеся к близповерхностному низкотемпературному типу. С палеогеновым активным этапом развития территории, вероятно, связано Майское золото-серебряное, Ариевское серебряно-полиметаллическое месторождение.

В пределах Восточно-Сихотэалинской структурно-минерагенической зоны расположены Самаргинский, Верхнебикинский, Арминский, Большие-Уссурийский, Дальнегорский, Кавалеровский и Ольгинский (северное окончание) рудные районы с многочисленными рудными узлами, в которых заключено подавляющее большинство промышленных месторождений олова, вольфрама, свинца, цинка, золота, серебра.

Следует особенно отметить наличие на щельфе Японского моря вблизи побережья непромышленных россыпей титаномагнетита и золота. Самостоятельного значения россыпи не имеют, но полезное ископаемое может с успехом извлекаться как попутный компонент при добывке рыхлых строительных материалов, потребность в которых на Дальнем Востоке из года в год возрастает.

Неметаллические полезные ископаемые представлены проявлениями алунита (Блеск, Зынкин Луг и др.), оптического кварца и кальцита (кл. Чайный, гора Сахарная), флюорита (Якутийский Перевал), боросиликатов, иями серы (Серное), барита (Гуманный Перевал), боросиликатов, строительных камней и бурых углей (Зеркальненская угленосная площадь), известняков, песчано-гравийного материала.

Татарская структурно-минерагеническая зона занимает центральную часть одноименного пролива на восточной окраине Сихотэ-Алинской провинции. В минерагеническом отношении она практически не изучена. В качестве полезного ископаемого могут рассматриваться глины, распространенные в глубоководных частях, а результаты геофизических исследований свидетельствуют о перспективности на углеводородное сырье, особенно северная часть.

Хоккайдо-Сахалинская провинция с Западно-Сахалинской структурно-минерагенической зоной охватывает в пределах листа подводные возвышенности, прилегающие к островам Хоккайдо и Сахалин. В минерагеническом отношении этот район также не практически не изучен. Перспективы его на комплекс полезных ископаемых не ясны и могут рассматриваться в связи с известными на соседней с Востоком территории. Не исключено обнаружение здесь в полях развития вулканитов золото-серебряных месторождений эпимерального типа, аналогичных месторождению о. Монерон, ртутных месторождений и проявлений, связанных с активизационным палеоген-неогеновым этапом развития территории, месторождений каменных и бурых углей, известняков, рыхлых строительных материалов.

Оценивая перспективы рассматриваемой территории на комплекс полезных ископаемых достаточно высоко, следует отметить необходимость детального изучения площадей выхода мелких массивов габбро-монцонит-сиенитовой и габбро-диорит-гранодиоритовой интрузивных ассоциаций восточной части Восточно-Сихотэалинского синклинория (особенно в Арминском, Верхнебикинском и Самаргинском рудных районах), eruptивных вулканических аппаратов, участков плоскодного оротовико-терригенных пород, дайковых полей, где возможно обнаружение промышленных рудных объектов с оловянной, олово-вольфрамовой и оловянно-полиметаллической минерализацией. В зоне Центрального структурного шва необходимо провести детальное исследование гранодиорит-гранитных массивов и их обрамления, где возможность обнаружения месторождений и проявлений с оловянно-вольфрамовой, редкометалльной и золоторудной минерализациями еще далеко не исчерпана.

Западная часть Восточно-Сихотэалинского вулканогенного пояса перспектина на оловянно-полиметаллические, а восточная — на полиметаллические, молибденовые и золото-серебряные месторождения, а также месторождения ртути. Особое внимание следует обратить на северные, еще мало изученные районы, где выявлено большое количество шлиховых и металлометрических орудлов рассеяния вольфрама, золота, олова, а промышленных объектов пока не обнаружено.

Здесь же распространены субшелочные вулканиты триасового возраста, в связи с которыми не исключена редкометалльная минерализация.

Неметаллические полезные ископаемые территории к настоящему времени изучены слабо. Единичные месторождения, а в большинстве случаев отдельные проявления, не позволяют объективно судить о перспективах ее на многие виды минерального сырья.

сивов осложняется телескопированием разновозрастного оруденения.

Перспективы открытия новых месторождений на данной территории не исчерпаны. Представляется, что необходимо проведение дополнительных металлогенических исследований, в первую очередь на участках широкого развития роговиков среди осадочных пород, над не вскрытыми интрузиями и гидротермально-измененных пород в полях развития вулканогенных образований. Требуется более углубленное изучение конкретных вулканско-структур разного типа с целью установления возможной приуроченности к ним определенных рудных формаций. Более детальные исследования для установления перспектив на полезные ископаемые, в том числе и месторождений стратиформного типа, следует провести в районах

ОСНОВНЫЕ ВЫВОДЫ

Территория листа L-(53), (54) полностью изучена в среднем масштабе и в значительной степени покрыта геологическими съемками крупного масштаба. Однако при подготовке комплекта карт этого листа выявился целый ряд недостаточно решенных геологических вопросов, от которых зависит правильная расшифровка структуры региона и, соответственно, дальнейшая его прогнозная оценка.

В первую очередь следует отметить слабую разработанность района и недостаточно тщательное изучением формы и вещественного состава геологических тел. Слабо анализируются условия захоронения ископаемых органических остатков и возможность их переотложения. При трактовке возраста стратиграфических и магматических подразделений порой используется существующие на данный момент теоретические представления о тектонической структуре без попыток установления причин несовпадения фактов с представлениями, например, находящихся в древних органических остатков среди более молодых отложений и т. п. Практически не изучаются опорные разрезы с анализом и монографическим описанием органических остатков. Недостаточная критичность подхода к установлению значимости различных групп фауны для определения возраста вмещающих пород приводит к ошибкам при геологическом картографировании. Так, часто делаются категорические выводы о возрасте отложений на основании таких плохо изученных групп органических остатков, как радиолярии и конодонты, без учета возможности их переотложения и «вывывания» в более молодые отложения. Это приводит порой к не очень обоснованным выводам о необходимости пересмотра тектонической структуры региона. Особенно это касается распространения палеозойских толщ, часть из которых без достаточного убедительных фактов переводится в мезозой. Представляется неправомерным изменение возраста отдельных толщ и более крупных частей разреза палеозоя на основании единичных находок остатков фауны, разточной расшифровки ее геологического положения в разрезе и без учета разрывной тектоники.

Одним из наиболее сложных вопросов в Сихотэ-Алине является установление внутренней структуры мощных, близких по составу, толщ нижнего мета. Слабая изученность разрывной тектоники, в том числе и надвиговых, шаряджевых, покровных структур приводит, по-видимому, в ряде случаев к неправильной трактовке общей структуры отдельных зон и завышению мощностей разрезов.

Хотя в целом вопросымагматизма изучены удовлетворительно, но до сих пор не всегда уверенно выделяются интрузивные комплексы и устанавливаются их возраст. Более четкое определение метатектонической специализации комплексов имеет большое практическое значение при прогнозной оценке отдельных районов. Установление же металлогенической специализации интрузивных комплексов и отдельных мас-

У КАЗАТЕЛЬ
К КАРТЕ ПОЛЕЗНЫХ ИСКОПАЕМЫХ

Продолжение

Индекс квадрата и номер объекта	Полезное ископаемое	Название или географическая привязка объекта	Характер объекта	Номер протыкательного источника	Номера литеатурного источника	
					Протыкательная основность	Протыкательная основность
I-1-1	Глины керамзитовые	Переславское	ММ — 3	53	I-1-5 Свинец Шеелит Свинец	67 67 67
I-1-2	Глины красочные	Переславское	МК — 3	53, 67	I-1-6 Капитоновка, р. Кирюка, р.	67 67
I-1-3	Галька, гравий	Переславское	ММ Р	53, 67	I-1-7 Полгольбеток, р. Оло, р. Долми, р.	67 67 67
I-1-4	Уголь буровый	Екатеринославка, с.	МС — 3	67	I-1-8 Золото Солнечный, кл.	67 110
I-1-5	Золото	Солнечный, кл.	П	125	I-1-9 Золото Больфрам Молибден Молибден Титан, железо	103 103 103 103
I-1-6	Галька, гравий	Хорское	МС — 3	53, 67	I-1-10 Свинец Свинец Золото Альбит Соловецкий Соловецкий Соловецкий Арса Манганин, руч.	103 103 103 103 103 103 103
I-1-7	Туфы	Святогорское	ММ, 1 — 3	53, 67	I-1-11 Больфрам, молибден Золото Никель Вольфрам Молибден	127 103 103 103 103 103
I-1-8	Золото	Приисковый, руч.	П	127	I-1-12 Больфрам, молибден Ороченское Орловградский, руч.	103 103
I-1-9	Золото	Переселенка	П	77	I-1-13 Золото Больфрам Молибден	127 103 103
I-1-10	Золото	Дурминское	ММ, 5 — 3	67, 127	I-1-14 Больфрам, олово Золото Золото	127 103 103
I-1-11	Агат	Киянское	П	77	I-1-15 Глины отечественные	103
I-1-12	Золото	Кутузовка	П	77	I-1-16 Свинец, цинк	103
I-1-13	Золото	Хицкий, руч.	П	127	I-1-17 Больфрам	103
I-1-14	Обсидиановый камень	Ударный, руч.	ММ, 1 — 3	77	I-1-18 Титан	103
I-1-15	Глины отечественные	Магайское	ММ — 3	53, 67	I-1-19 Титан	103
I-1-16	Свинец, цинк	Кедровое	П	127	I-1-20 Свинец, цинк	103
I-1-17	Больфрам	Светлое	П	77	I-1-21 Золото	103
I-1-18	Золото	Изюбинное	П	77	I-1-22 Титан	103
I-1-19	Золото	Лепешев, руч.	П	127	I-1-23 Свинец, цинк	103
I-1-20	Золото	Долмы, р.	П	127	I-1-24 Золото	103
I-1-1	Свинец	Верховья рек Собор и Дурмин	ОЛ	67	I-1-25 Больфрам	103
I-1-2	Золото	Кия, р.	ОШ	67	I-1-26 Касситерит	103
I-1-3	Свинец	Магай, р.	ОЛ	67	I-1-27 Касситерит	103
I-1-4	Ильменит	Черный 2-й, кл.	ОИ	77	I-1-28 Золото	103

Приимечание. Принятые сокращения: *Месторождения*, МК — крупные, МС — средние, ММ — малые, МН — непромысленные (малые россыпи); П — промысел; ПМ — пункт минерализации; ИМ — источник минеральный; ИТ — источник термальный; ОИ — ореол шлиховой; ОЛ — ореол литохимический; ОГ — ореол гидрогеологический. Генетические типы месторождений: 1 — магматические, 2 — скарново-гидротермальные, 3 — скарново-гребенчатые, 4 — грейзеновые, 5 — гидротермальные, 6 — пневматогенные, 7 — россыпные. Промышленная изученность месторождений: Р — разрабатываемые, З — законсервированные, О — отработанные; Н — находящиеся в разведке и изучении.

Индекс квадрата и номер объекта	Полезное ископаемое	Название или географическая привязка объекта	Характер объекта	Номера литеатурного источника	Номера литеатурного источника	
					Протыкательная основность	Протыкательная основность
I-2-5	Шеелит, касситерит	Хор, р.	М. Сидими, р.	ОИ	103	103
I-2-6	Золото	Кизами, р.	ОИ	103	103	103
I-2-7	Касситерит	Кизами, р.	ОИ	103	103	103
I-2-8	Шеелит	Туломи, р.	ОИ	103	103	103
I-2-9	Олово	Станниковка, руч.	ОИ	103	103	103
I-2-10	Золото	Вторая Князами, р.	ОИ	103	103	103
I-2-11	Касситерит	Лев, Тыкта, р.	ОИ	103	103	103
I-2-12	Шеелит	Бетвистый, руч.	ОИ	103	103	103
I-2-13	Шеелит	Няха, р.	ОИ	103	103	103
I-2-14	Джагасу, руч.	Джагасу, руч.	ОИ	103	103	103
I-2-15	Касситерит	Длинный, руч.	ОИ	103	103	103
I-2-16	Касситерит	Длинный, руч.	ОИ	103	103	103

Продолжение

Продолжение

Индекс квартера и номер объекта	Полезное ископаемое	Название или географическое имя признака объекта	Характер объекта	Номер признака литературного источника	Индекс квартера и номер объекта		Название или географическая имя признака объекта	Характер объекта	Номер признака литературного источника
					Полезное ископаемое	Название или географическая имя признака объекта			
I-2-17	Молиолен	Саг-Биоса, руч.	ОЛ	103	I-4-3	Бурый уголь	Мунинское	П	71
I-2-18	Шеелит	Лафи, р.	ОЛ	103	I-4-4	Олово	Горючес	П	88
I-2-19	Никель	Угндичи, р.	ОГ	103	I-4-5	Цеолиты	Чутугу	П	88
I-2-20	Золото	Кафэн, р.	ОЗ	103	I-4-6	Олово, свинец, цинк	Верхнетукнинское (Кук- сийское 1-е) Кукчинское 2-е	П	71, 88
I-2-21	Шеелит	Скалистый, руч.	ОИ	103	I-3-1	Уголь бурая	Пуха, р.	П	114
I-3-2	Уголь	Кабуди, р.	ПМ	114	I-3-2	Виноград	Кабуди, р.	П	114
I-3-3	Свинец	Кабуди, р.	ПМ	114	I-3-3	Свинец	Кабуди, р.	П	114
I-3-4	Висмут	Сукий, р.	ПМ	114	I-3-4	Висмут	Сукий, р.	П	114
I-3-5	Серебро	Сукий, р.	ПМ	114	I-3-5	Серебро	Сукий, р.	П	114
I-3-6	Свинец	Пуха, р.	ПМ	114	I-3-6	Свинец	Пуха, р.	П	114
I-3-7	Бурый уголь	Лев. Сагы-Джагасу, р.	П	114	I-3-7	Бурый уголь	Лев. Сагы-Джагасу, р.	П	114
I-3-8	Вольфрам	Сукий, р.	П	114	I-3-8	Вольфрам	Сукий, р.	П	114
I-3-9	Мышьяк	Сукий, р.	П	114	I-3-9	Мышьяк	Сукий, р.	П	114
I-3-10	Олово	Пр. Тыкли, р.	П	114	I-3-10	Олово	Пр. Тыкли, р.	П	114
I-3-11	Медь	Боненку, р.	П	114	I-3-11	Медь	Боненку, р.	П	114
I-3-12	Олово	Сагды-Джава, р.	П	114	I-3-12	Олово	Сагды-Джава, р.	П	114
I-3-13	Золото	Сагды-Джава, р.	П	114	I-3-13	Золото	Сагды-Джава, р.	П	114
I-3-14	Вольфрам	Науха, р.	П	114	I-3-14	Вольфрам	Науха, р.	П	114
I-3-15	Монибден	Денкого, р.	П	114	I-3-15	Монибден	Денкого, р.	П	114
I-3-16	Золото	Сагды-Джава, р.	П	114	I-3-16	Золото	Сагды-Джава, р.	П	114
I-3-17	Вольфрам	Сагды-Биоса, р.	П	114	I-3-17	Вольфрам	Сагды-Биоса, р.	П	114
I-3-18	Олово	Колу, р.	П	114	I-3-18	Олово	Колу, р.	П	114
I-3-19	Олово	Сагды-Джава, р.	П	114	I-3-19	Олово	Сагды-Джава, р.	П	114
I-3-20	Серебро	Колу, р.	ПМ	114	I-3-20	Серебро	Колу, р.	ПМ	114
I-3-21	Вольфрам	Сагды-Джава, р.	ПМ	114	I-3-21	Вольфрам	Сагды-Джава, р.	ПМ	114
I-3-22	Мышьяк	Сагды-Джава, р.	ПМ	114	I-3-22	Мышьяк	Сагды-Джава, р.	ПМ	114
I-3-23	Вольфрам	Сагды-Джава, р.	П	114	I-3-23	Вольфрам	Сагды-Джава, р.	П	114
I-3-24	Олово, свинец	Ча, р.	П	114	I-3-24	Олово, свинец	Ча, р.	П	114
I-3-25	Мышьяк	Сагды-Джава, р.	П	114	I-3-25	Мышьяк	Сагды-Джава, р.	П	114
I-3-26	Серебро	Белонка, уч.	П	114	I-3-26	Серебро	Белонка, уч.	П	114
I-3-27	Олово	Белонка, уч.	П	114	I-3-27	Олово	Белонка, уч.	П	114
I-3-28	Олово	Махакитовий	П	114	I-3-28	Олово	Махакитовий	П	114
I-3-29	Медь	Белонка, уч.	П	114	I-3-29	Медь	Белонка, уч.	П	114
I-3-30	Олово	Белонка, уч.	П	114	I-3-30	Олово	Белонка, уч.	П	114
I-3-31	Олово	Белонка	П	114	I-3-31	Олово	Белонка	П	114
I-3-32	Медь	Белонка	П	114	I-3-32	Медь	Белонка	П	114
I-3-33	Касситерит	Белонка, руч.	П	114	I-3-33	Касситерит	Белонка, руч.	П	114
I-3-34	Шеелит	Пуха, р.	П	114	I-3-34	Шеелит	Пуха, р.	П	114
I-3-35	Шеелит	Пуха, р.	П	114	I-3-35	Шеелит	Пуха, р.	П	114
I-3-36	Касситерит	Суктай, р.	П	114	I-3-36	Касситерит	Суктай, р.	П	114
I-3-37	Касситерит	Джобо, руч.	П	114	I-3-37	Касситерит	Джобо, руч.	П	114
I-3-38	Золото	Судачинку, руч.	П	114	I-3-38	Золото	Судачинку, руч.	П	114
I-3-39	Шеелит	Лев. Тыкли, р.	П	114	I-3-39	Шеелит	Лев. Тыкли, р.	П	114
I-3-40	Касситерит	Лосиний, руч.	П	114	I-3-40	Касситерит	Лосиний, руч.	П	114
I-3-41	Шеелит	Няуха, р.	П	114	I-3-41	Шеелит	Няуха, р.	П	114
I-3-42	Шеелит	Перевалный, руч.	П	114	I-3-42	Шеелит	Перевалный, руч.	П	114
I-3-43	Шеелит	Сагды-Джава, р.	П	114	I-3-43	Шеелит	Сагды-Джава, р.	П	114
I-3-44	Шеелит	Чакожа, руч.	П	114	I-3-44	Шеелит	Чакожа, руч.	П	114
I-3-45	Серебро	Я, р.	П	114	I-3-45	Серебро	Я, р.	П	114
I-3-46	Свинец	Сагды-Джава, р.	П	114	I-3-46	Свинец	Сагды-Джава, р.	П	114
I-3-47	Шеелит	Сосдний, руч.	П	114	I-3-47	Шеелит	Сосдний, руч.	П	114
I-3-48	Касситерит	Сагды-Джава, р.	П	114	I-3-48	Касситерит	Сагды-Джава, р.	П	114
I-3-49	Касситерит	Лев. Я, р.	П	114	I-3-49	Касситерит	Лев. Я, р.	П	114
I-3-50	Шеелит, галенит	Лягат, руч.	П	114	I-3-50	Шеелит, галенит	Лягат, руч.	П	114
I-3-51	Цинк, свинец	Джахари, руч.	П	114	I-3-51	Цинк, свинец	Джахари, руч.	П	114
I-4-1	Монибден, вольфрам	Монибден, вольфрам	П	112	I-4-1	Монибден, вольфрам	Монибден, вольфрам	П	112
I-4-2	Золото	Нисими, р.	П	112	I-4-2	Золото	Нисими, р.	П	112

Продолжение

Индекс номера и номера объекта	Полезное ископаемое	Название или географическая принадлежность объекта	Характер объекта	Номер литературного источника	Продолжение		
					Индекс номера и номера объекта	Название или географическая принадлежность объекта	
II-1-20	Золото		Хима 3-я	II-1-65	Уголь бурый	Тахало Нижний	
II-1-21	Олово		Петр.	II-1-66	Золото	М. Говорунья	
II-1-22	Вольфрам, олово		Хима 3-я, р.	II-1-67	Золото	Бикин, р. Бикин, р.	
II-1-23	Медь		Махахитовый	II-1-68	Гравий, галька	Бикин, р. Бикин, р.	
II-1-24	Золото		Магайский	II-1-69	Гравий, галька	Бикин, р. Бикин, р.	
II-1-25	Галька, гравий		Балаза	II-1-70	Гравий, галька	Бикин, р. Бикин, р.	
II-1-26	Вода углекислая		Тюбиль, руч.	II-1-71	Золото	Тахало Нижний	
II-1-27	Халидон		Правая, р.	II-1-72	Золото	М. Говорунья	
II-1-28	Золото		Снежный	II-1-73	Золото	М. Говорунья	
II-1-29	Агат, халидон		Цветочный	II-1-74	Золото	Изобразное	
II-1-30	Ячма		Алчан, р.	II-1-75	Строний	М. Говорунья	
II-1-31	Мышкияк		Семеновский	II-1-76	Золото	М. Говорунья	
II-1-32	Вольфрам		Семеновский, руч.	II-1-77	Золото	М. Говорунья	
II-1-33	Халидон		Сухалинский, руч.	II-1-78	Золото	М. Говорунья	
II-1-34	Вольфрам		Алчан, р.	II-1-79	Строний	М. Говорунья	
II-1-35	Золото		Правая, р.	II-1-80	Золото	М. Говорунья	
II-1-36	Агат		Третий, руч.	II-1-81	Золото	М. Говорунья	
II-1-37	Марганец		Семеновский	II-1-82	Золото	М. Говорунья	
II-1-38	Халидон		Сухалинский, руч.	II-1-83	Строний	М. Говорунья	
II-1-39	Халидон		Алчан, р.	II-1-84	Золото	М. Говорунья	
II-1-40	Ячма		Борисовка, руч.	II-1-85	Золото	М. Говорунья	
II-1-41	Вольфрам		Приенский, руч.	II-1-86	Золото	М. Говорунья	
II-1-42	Золото		Суккильский, руч.	II-1-87	Золото	М. Говорунья	
II-1-43	Халидон		Ударный	II-1-88	Золото	М. Говорунья	
II-1-44	Вольфрам		Алчан, р.	II-1-89	Золото	М. Говорунья	
II-1-45	Золото		Сукильский, руч.	II-1-90	Золото	М. Говорунья	
		Иванов, кл.	ММ.7	II-1-91	Золото	М. Говорунья	
			3	II-1-92	Золото	М. Говорунья	
II-1-46	Марганец		Кабыбыла, р.	II-1-93	Золото	М. Говорунья	
II-1-47	Уголь каменный		Борисовка, руч.	II-1-94	Касситерит	Киноварь	
II-1-48	Халидон		Алчан, р.	II-1-95	Касситерит	Киноварь	
II-1-49	Агаты		Пт. Тахало, р.	II-1-96	Касситерит	Киноварь	
II-1-50	Свинец		Иванов, руч.	II-1-97	Касситерит	Киноварь	
II-1-51	Мolibден		Балаза, р.	II-1-98	Касситерит	Киноварь	
II-1-52	Халидон		Алчан, р.	II-1-99	Касситерит	Киноварь	
II-1-53	Гравий, галька		Тахало	II-1-100	Касситерит	Киноварь	
			3	II-1-101	Касситерит	Киноварь	
II-1-54	Агат		Сактымар, р.	II-1-102	Касситерит	Киноварь	
II-1-55	Агат, сердолик		Сактымар, р.	II-1-103	Касситерит	Киноварь	
II-1-56	Олово		Сактымар, р.	II-1-104	Касситерит	Киноварь	
			3	II-1-105	Касситерит	Киноварь	
II-1-57	Яшма		Тахало	II-1-106	Касситерит	Киноварь	
			3	II-1-107	Касситерит	Киноварь	
II-1-58	Агат, сердолик		Сактымар, р.	II-1-108	Касситерит	Киноварь	
II-1-59	Олово		Пт. Тахало	II-1-109	Касситерит	Киноварь	
II-1-60	Яшма		Большой Ключ, руч.	II-1-110	Касситерит	Киноварь	
II-1-61	Золото		М. Тахало, руч.	II-1-111	Касситерит	Киноварь	
			3	II-1-112	Касситерит	Киноварь	
II-1-62	Золото		Группа россыпей,	II-1-113	Касситерит	Киноварь	
			3	II-1-114	Касситерит	Киноварь	
II-1-63	Никель		Амба, р.	II-1-115	Золото	Бикин, р.	
II-1-64	Никель		Амба, р.	II-1-116	Золото	Бикин, р.	
			3	II-1-117	Золото	Бикин, р.	
II-1-65	Золото		М. Тахало, руч.	II-1-118	Золото	Бикин, р.	
			3	II-1-119	Золото	Бикин, р.	
II-1-66	Олово		Сактымар, р.	II-1-120	Золото	Бикин, р.	
			3	II-1-121	Золото	Бикин, р.	
II-1-67	Ячма		Пт. Тахало	II-1-122	Золото	Бикин, р.	
			3	II-1-123	Золото	Бикин, р.	
II-1-68	Золото		Киноварь	II-1-124	Золото	Бикин, р.	
			3	II-1-125	Золото	Бикин, р.	
II-1-69	Золото		Киноварь	II-1-126	Касситерит	Сактымар	
			3	II-1-127	Касситерит	Сактымар	
II-1-70	Золото		Киноварь	II-1-128	Касситерит	Сактымар	
			3	II-1-129	Касситерит	Сактымар	
II-1-71	Золото		Киноварь	II-1-130	Касситерит	Сактымар	
			3	II-1-131	Касситерит	Сактымар	
II-1-72	Золото		Киноварь	II-1-132	Касситерит	Сактымар	
			3	II-1-133	Касситерит	Сактымар	
II-1-73	Золото		Киноварь	II-1-134	Касситерит	Сактымар	
			3	II-1-135	Касситерит	Сактымар	
II-1-74	Золото		Киноварь	II-1-136	Касситерит	Сактымар	
			3	II-1-137	Касситерит	Сактымар	
II-1-75	Золото		Киноварь	II-1-138	Касситерит	Сактымар	
			3	II-1-139	Касситерит	Сактымар	
II-1-76	Золото		Киноварь	II-1-140	Касситерит	Сактымар	
			3	II-1-141	Касситерит	Сактымар	
II-1-77	Золото		Киноварь	II-1-142	Касситерит	Сактымар	
			3	II-1-143	Касситерит	Сактымар	
II-1-78	Золото		Киноварь	II-1-144	Касситерит	Сактымар	
			3	II-1-145	Касситерит	Сактымар	
II-1-79	Золото		Киноварь	II-1-146	Касситерит	Сактымар	
			3	II-1-147	Касситерит	Сактымар	
II-1-80	Золото		Киноварь	II-1-148	Касситерит	Сактымар	
			3	II-1-149	Касситерит	Сактымар	
II-1-81	Золото		Киноварь	II-1-150	Касситерит	Сактымар	
			3	II-1-151	Касситерит	Сактымар	
II-1-82	Золото		Киноварь	II-1-152	Касситерит	Сактымар	
			3	II-1-153	Касситерит	Сактымар	
II-1-83	Золото		Киноварь	II-1-154	Касситерит	Сактымар	
			3	II-1-155	Касситерит	Сактымар	
II-1-84	Золото		Киноварь	II-1-156	Касситерит	Сактымар	
			3	II-1-157	Касситерит	Сактымар	
II-1-85	Золото		Киноварь	II-1-158	Касситерит	Сактымар	
			3	II-1-159	Касситерит	Сактымар	
II-1-86	Золото		Киноварь	II-1-160	Касситерит	Сактымар	
			3	II-1-161	Касситерит	Сактымар	
II-1-87	Золото		Киноварь	II-1-162	Касситерит	Сактымар	
			3	II-1-163	Касситерит	Сактымар	
II-1-88	Золото		Киноварь	II-1-164	Касситерит	Сактымар	
			3	II-1-165	Касситерит	Сактымар	
II-1-89	Золото		Киноварь	II-1-166	Касситерит	Сактымар	
			3	II-1-167	Касситерит	Сактымар	
II-1-90	Золото		Киноварь	II-1-168	Касситерит	Сактымар	
			3	II-1-169	Касситерит	Сактымар	
II-1-91	Золото		Киноварь	II-1-170	Касситерит	Сактымар	
			3	II-1-171	Касситерит	Сактымар	
II-1-92	Золото		Киноварь	II-1-172	Касситерит	Сактымар	
			3	II-1-173	Касситерит	Сактымар	
II-1-93	Золото		Киноварь	II-1-174	Касситерит	Сактымар	
			3	II-1-175	Касситерит	Сактымар	
II-1-94	Золото		Киноварь	II-1-176	Касситерит	Сактымар	
			3	II-1-177	Касситерит	Сактымар	
II-1-95	Золото		Киноварь	II-1-178	Касситерит	Сактымар	
			3	II-1-179	Касситерит	Сактымар	
II-1-96	Золото		Киноварь	II-1-180	Касситерит	Сактымар	
			3	II-1-181	Касситерит	Сактымар	
II-1-97	Золото		Киноварь	II-1-182	Касситерит	Сактымар	
			3	II-1-183	Касситерит	Сактымар	
II-1-98	Золото		Киноварь	II-1-184	Касситерит	Сактымар	
			3	II-1-185	Касситерит	Сактымар	
II-1-99	Золото		Киноварь	II-1-186	Касситерит	Сактымар	
			3	II-1-187	Касситерит	Сактымар	
II-1-100	Золото		Киноварь	II-1-188	Касситерит	Сактымар	
			3	II-1-189	Касситерит	Сактымар	
II-1-101	Золото		Киноварь	II-1-190	Касситерит	Сактымар	
			3	II-1-191	Касситерит	Сактымар	
II-1-102	Золото		Киноварь	II-1-192	Касситерит	Сактымар	
			3	II-1-193	Касситерит	Сактымар	
II-1-103	Золото		Киноварь	II-1-194	Касситерит	Сактымар	
			3	II-1-195	Касситерит	Сактымар	
II-1-104	Золото		Киноварь	II-1-196	Касситерит	Сактымар	
			3	II-1-197	Касситерит	Сактымар	
II-1-105	Золото		Киноварь	II-1-198	Касситерит	Сактымар	
			3	II-1-199	Касситерит	Сактымар	
II-1-106	Золото		Киноварь	II-1-200	Касситерит	Сактымар	
			3	II-1-201	Касситерит	Сактымар	
II-1-107	Золото		Киноварь	II-1-202	Касситерит	Сактымар	
			3	II-1-203	Касситерит	Сактымар	
II-1-108	Золото		Киноварь	II-1-204	Касситерит	Сактымар	
			3	II-1-205	Касситерит	Сактымар	
II-1-109	Золото		Киноварь	II-1-206	Касситерит	Сактымар	
			3	II-1-207	Касситерит	Сактымар	
II-1-110	Золото		Киноварь	II-1-208	Касситерит	Сактымар	
			3	II-1-209	Касситерит	Сактымар	
II-1-1							

Продолжение

Индекс кварта и номер объекта	Полезное ископаемое	Название или географическая принадлежность объекта		Характер объекта	Номер источника	Промышленная ценность	Название или географическая принадлежность объекта	Характер объекта	Номер источника	Промышленная ценность
		кварта объекта	Полезное ископаемое							
II-2-2	Марганец	Айн-Бисса, руч.		ПМ	110	II-3-17	Свинец	Длинное	II	73, 82
II-2-3	Марганец	Маффанга, р.		П	110	II-3-18	Олово	Алинское	II	73, 84
II-2-4	Марганец	Светлый, руч.		ПМ	110	II-3-19	Золото	Сихотэ-Алиня	II	73, 84
II-2-5	Вольфрам, олово, берил-			П	110	II-3-20	Золото	Белое	II	73, 82
лий										
II-2-6	Серебро	Динизанни, руч.		ПМ	110	II-3-21	Свинец, цинк, золото	Топографическое	II	73, 82
II-2-7	Никель	Ко, р.		ПМ	110	II-3-22	Свинец, цинк	Скалистое	II	73, 82
II-2-8	Вольфрам	Лусабасани, руч.		ПМ	110	II-3-23	Свинец, цинк	Находка	II	73, 82
II-2-9		Ко, гора		ПМ	110	II-3-24	Медь	Нижнелесное	II	73, 82
II-2-10	Марганец	Кедими, р.		ПМ	110	II-3-25	Золото	Ожиганские, руч.	II	96
II-2-11	Олово	Гесчанни, руч.		П	110	II-3-26	Золото, вольфрам	Кедровый	II	82
II-2-12	Серебро	Мокховой, руч.		П	110	II-3-27	Вольфрам	Навеллярный	II	82
II-2-13	Золото	Хасатов Клон		ПМ	110	II-3-28	Вольфрам, олово	Чухломское	II	73, 82
II-2-14	Титан	Кедиминские		П	110	II-3-29	Свинец, цинк	Лисичинское	II	73, 82
II-2-15	Цинк	Лиственичный, руч.		ПМ	110	II-3-30	Медь, мышьяк	Бесымянное	II	84
II-2-16	Сребро	Дурье, руч.		ПМ	110	II-3-31	Свинец, цинк	Боголюбское	II	84
II-2-17		Черносмородиновый, руч.		ПМ	110	II-3-32	Свинец	Боголюбский, руч.	II	73, 84
II-2-18	Олово	Лиственичный, руч.		ПМ	110	II-3-33	Олово	Сремпитецкий	II	73, 84
II-2-19	Свинец, цинк	Малиновый, руч.		ПМ	110	II-3-34	Висмут	Волорадельное	II	73, 82
II-2-20	Никель	Лиственичный, руч.		ПМ	110	II-3-35	Золото	Бикинское	II	73, 82
II-2-21	Олово	Бетвисторий		П	110	II-3-36	Олово	Бесымянное	II	84
II-2-22	Цинк	Черносмородиновый, руч.		ПМ	110	II-3-37	Вольфрам, литий	Боголюбское	II	84
II-2-23	Марганец	Хмурый, руч.		П	110	II-3-38	Золото	Чудное	II	73, 82
II-2-24	Марганец	Бя, руч.		П	110	II-3-39	Медь	Среднекунгурское	II	73, 82
II-2-25	Олово	Сагата-Джава, руч.		ПМ	110	II-3-40	Вольфрам	Второе	II	73, 82
II-2-26	Свинец, цинк	Хурианга, руч.		П	110	II-3-41	Висмут	Среднекунгурское	II	73, 82
II-2-27	Золото	Хумурой, руч.		ПМ	110	II-3-42	Свинец, цинк	Бикинское	II	73, 82
II-2-28	Свинец, цинк	Гондзловский, руч.		П	110	II-3-43	Олово	Перспективный	II	73, 82
II-2-29		Пр. Клонгеваза, р.		ПМ	110	II-3-44	Висмут	Кунгурское II	II	73, 82
II-2-30	Золото	Хиденка, р.		ПМ	110	II-3-45	Медь	Среднекунгурское	II	73, 82
II-2-31	Золото	Хонгай, руч.		П	110	II-3-46	Висмут	Кунгурское	II	73, 82
II-2-32	Цинк	Меченый, руч.		ПМ	110	II-3-47	Молибден	Дяды I	II	73, 82
II-2-33		Меченый, руч.		П	110	II-3-48	Золото	Плотниковское	II	73, 82
II-2-1	Вольфрамит, шеелит	Витенка, р.		ПМ	110	II-3-49	Висмут	Рогатое	II	73, 82
II-2-2	Хром	Чукен, р.		ПМ	110	II-3-50	Висмут	Западно-Жильное	II	73, 82
II-2-3	Никель	Маффанга, р.		П	110	II-3-51	Висмут	Незаметное	II	73, 82
II-2-4	Вольфрамит, шеелит	Никаин, р.		ПМ	110	II-3-52	Висмут	Дяды I	II	73, 82
II-2-5	Вольфрамит, шеелит	Соконтовый, пос.		П	110	II-3-53	Молибден	Плотниковское	II	73, 82
II-2-6				ПМ	110	II-3-54	Золото	Кунгурское	II	73, 82
II-2-7	Киноварь	Маффанга, р.		П	110	II-3-55	Висмут	Кунгурское	II	73, 82
II-2-8	Больфрамит, шеелит	Кадэ, р.		ПМ	110	II-3-56	Висмут	Лягитов Ключ	II	73, 82
II-2-9		Катэн, р.		П	110	II-3-57	Висмут	Лягитов Ключ	II	73, 82
II-2-10	Молибден	Ко, р.		ПМ	110	II-3-58	Золото	Чундовское	II	73, 82
II-2-11	Кассiterит	Катэн, р.		П	110	II-3-59	Висмут	Правобережное	II	73, 82
II-2-12	Больфрамит, шеелит	Биккин, р.		ПМ	110	II-3-60	Золото	Заводское	II	73, 82
II-2-13				П	110	II-3-61	Висмут	Заводское	II	73, 82
II-2-14	Больфрамит, шеелит	Биккин, р.		ПМ	110	II-3-62	Висмут	Бернхесдинский	II	73, 82
II-3-1	Олово	Ходжакари I		П	110	II-3-63	Свинец	Анникский I	II	73, 82
II-3-2	Олово	Джакхари I		П	110	II-3-64	Свинец	Анникский II	II	73, 82
II-3-3	Свинец			П	110	II-3-65	Свинец	Анникский III	II	73, 82
II-3-4	Цинк, олово, свинец			П	110	II-3-66	Свинец	Бернхесдинский	II	73, 82
II-3-5	Больфрам	Тагмуу I		П	110	II-3-67	Свинец	Левобережный	II	73, 82
II-3-6	Олово, вольфрам	Северное		П	110	II-3-68	Свинец	Бикинский	II	73, 82
II-3-7	Цинк, свинец	Джакхари III		П	110	II-3-69	Олово	Извилистый I	II	73, 82
II-3-8	Олово	Темное		П	110	II-3-70	Висмут	Извилистый II	II	73, 82
II-3-9				П	110	II-3-71	Висмут	Плотниковская, р.	II	73, 82
II-3-10	Цинк, олово, свинец	Малютка		П	110	II-3-72	Висмут	Брановский	II	73, 82
II-3-11				П	110	II-3-73	Висмут	Биккин, р.	II	73, 82
II-3-12	Олово			П	110	II-3-74	Висмут	Ольховский	II	73, 82
II-3-13				П	110	II-3-75	Висмут	Ольховский	II	73, 82
II-3-14	Олово			П	110	II-3-76	Висмут	Ольховский	II	73, 82
II-3-15	Олово	Лесное		П	110	II-3-77	Висмут	Сухостой	II	73, 82
II-3-16	Вольфрам, олово			П	110	II-3-78	Висмут	Сухостой	II	73, 82
II-3-17	Свинец, цинк			П	110	II-3-79	Висмут	Сухостой	II	73, 82

Продолжение

Индекс номера объекта	Полезное ископаемое	Название или географическая привязка объекта	Характер объекта	Номер промышленной литографии источника	Индекс номера объекта		Название или географическая привязка объекта	Характер объекта	Номер промышленной литографии источника
					ПМ	ММ			
II-4-6	Ртуть	Пригор, руч.	ПМ	92	III-1-36	69	Вольфрам	Радужное	П
II-4-7	Золото	Колицкитика, р.	ПМ	92	III-1-37	123	Медь	Малахитовое	П
II-4-8	Синий, золото, медь	Единка, р.	ПМ	92	III-1-38	69	Вольфрам	Гранитный, кл.	П
II-4-9	Синий, цинк	Шумный	ПМ	104	III-1-39	69	Синий	Прямое	ПМ
II-4-10	Золото, серебро	Бурматов Ключ	ПМ	104	III-1-40	69	Синий	Дальниня, р.	П
II-4-11	Алунит	Зинкин Луг	ПМ	104	III-1-41	III-1-42	Барит	Туманный, перевал	ММ, 5
II-4-12	Свинец, цинк	Приметный	ПМ	104	III-1-43	Золото	Золото	Малоголубинское	ММ, 7
II-4-13	Ртуть	Шустрый	ПМ	104	III-1-44	Свинец	Свинец	Голубинское	3
II-4-14	Алунит	Комское	ПМ	104	III-1-45	Олово	Свинец	Голубинское	П
II-4-15	Золото	Приморское	МС, 5 Н	104	III-1-46	Свинец, цинк	Олово, вольфрам	Голубинское	69
II-4-16	Вольфрам, олово	Трифоновский	П	104	III-1-47	Золото	Свинец	Радужное	П
II-4-17	Золото, серебро	Ахамы	П	105	III-1-48	Золото, серебро	Золото, вольфрам	Малахитовое	П
II-4-18	Золото	Быстрый	П	105	III-1-49	Юльевский	Юльевский	Гранитный, кл.	П
II-4-19	Касситерит	Едина, р.	П	105	III-1-50	Киноварь	Киноварь	Прямое	П
II-4-20	Золото	Шельф Японского моря	ПМ	76	III-1-51	Киноварь	Киноварь	Дальниня, р.	ПМ
II-4-21	Никель, платина	Сигуу	ПМ	104	III-1-52	Киноварь	Киноварь	Дальниня, р.	П
II-4-22	Уголь каменный	Орторая, р.	ПМ	69, 123	III-1-53	Киноварь	Киноварь	Дальниня, р.	П
II-4-23	Хром	Сигуу	ПМ	123	III-1-54	Киноварь	Киноварь	Дальниня, р.	П
II-4-24	Золото	Уголь	ПМ	107	III-1-55	Киноварь	Киноварь	Дальниня, р.	П
II-4-25	Олово	Олово	ПМ	107	III-1-56	Киноварь	Киноварь	Дальниня, р.	П
II-4-26	Олово	Вольфрам	ПМ	107	III-1-57	Киноварь	Киноварь	Дальниня, р.	П
II-4-27	Хром	Ферсман	ПМ	107	III-1-58	Киноварь	Киноварь	Дальниня, р.	П
II-4-28	Свинец, золото	Лунаса	ПМ	107	III-1-59	Киноварь	Киноварь	Дальниня, р.	П
II-4-29	Титан	Олонка, р.	ПМ	69, 123	III-1-60	Киноварь	Киноварь	Дальниня, р.	П
II-4-30	Олово	Бензинка	ПМ	123	III-1-61	Киноварь	Киноварь	Дальниня, р.	П
II-4-31	Золото, серебро	Удачный	ПМ	107	III-1-62	Киноварь	Киноварь	Дальниня, р.	П
II-4-32	Вольфрам	Конгутацкое	МС 3	69, 123	III-1-63	Киноварь	Киноварь	Дальниня, р.	П
II-4-33	Свинец	Среднебайкинское	П	69, 123	III-1-64	Киноварь	Киноварь	Дальниня, р.	П
II-4-34	Золото	Хромка, р.	П	123	III-1-65	Киноварь	Киноварь	Дальниня, р.	П
II-4-35	Олово	Ферсман	ПМ	107	III-1-66	Киноварь	Киноварь	Дальниня, р.	П
III-1-9	Уголь бурый	Среднебайкинское	МС 3	69, 123	III-1-67	Киноварь	Киноварь	Дальниня, р.	П
III-1-10	Железо	Хром	П	69, 123	III-1-68	Киноварь	Киноварь	Дальниня, р.	П
III-1-11	Хром	Больфрам	П	123	III-1-69	Киноварь	Киноварь	Дальниня, р.	П
III-1-12	Больфрам	Свинец, золото	П	107	III-1-70	Киноварь	Киноварь	Дальниня, р.	П
III-1-13	Свинец	Титан	П	69, 123	III-1-71	Киноварь	Киноварь	Дальниня, р.	П
III-1-14	Хром	Олово	П	123	III-1-72	Киноварь	Киноварь	Дальниня, р.	П
III-1-15	Олово	Олово	П	107	III-1-73	Киноварь	Киноварь	Дальниня, р.	П
III-1-16	Золото, серебро	Удачный	П	107	III-1-74	Церий	Церий	Дальниня, р.	П
III-1-17	Торф	Конгутацкое	ММ	69	III-2-1	Уголь каменный	Гандининское	Гандининское	ММ
III-1-18	Вольфрам, медь, золото	Восток-2	МС, 2 Р	69	III-2-2	Золото, серебро	Ключевая, р.	Ключевая, р.	3
III-1-19	Цинк	Спутница, р.	ПМ	69	III-2-3	Олово, свинец	Каягу, р.	Каягу, р.	ПМ
III-1-20	Олово	Балунный, кл.	П	69	III-2-4	Золото	Прегорное	Прегорное	ПМ
III-1-21	Никель	Заломки	П	69	III-2-5	Свинец	Верблюжья, р.	Верблюжья, р.	П
III-1-22	Уголь каменный	Ближний, кл.	П	78	III-2-6	Вольфрам	Тиссюе	Тиссюе	ПМ
III-1-23	Уголь каменный	Дальняя, р.	П	123	III-2-7	Вольфрам, олово	Каягу, р.	Каягу, р.	ПМ
III-1-24	Свинец	Ореховый	П	69	III-2-8	Золото	Ключевая, р.	Ключевая, р.	ПМ
III-1-25	Вольфрам	Дальняя, р.	П	69	III-2-9	Уголь каменный	Ташанзакское	Ташанзакское	ММ
III-1-26	Золото	Загорное	П	69	III-2-10	Уголь бурый	Бикин, р.	Бикин, р.	3
III-1-27	Флюорит	Дальняя, р.	П	69	III-2-11	Уголь каменный	Шимукшинское	Шимукшинское	ПМ
III-1-28	Свинец	Ладыни, р.	П	69	III-2-12	Марганец	Оморочка, р.	Оморочка, р.	П
III-1-29	Золото	Изобиный, кл.	П	69	III-2-13	Свинец, цинк	Бикин, р.	Бикин, р.	П
III-1-30	Вольфрам	Нацельное	П	69	III-2-14	Золото	Светловодная, р.	Светловодная, р.	ММ, 7 3
III-1-31	Вольфрам	Попутное	П	69					121
III-1-32	Свинец	Солнечное	П	69					91, 109
III-1-33	Золото	Дальняя, р.	ПМ	69					121
III-1-34	Никель	Маревское	ПМ	69					
III-1-35	Свинец	Верный	П	69					

П р о д о л ж е н и е

Индекс кварта и номер объекта	Показное ископаемое	Название или географическая привязка объекта	Характер объекта	Номер противо- литигатурного источника	Индекс кварта и номер объекта		Название или географическая привязка объекта	Характер объекта	Номер противо- литигатурного источника	
					Номер освоенности	источника				
III-2-15	Олово	Междуречное	П	121	III-2-62	Серебро	ПМ	121		
III-2-16	Золото	Востриковское.	ММ.7	121	III-2-63	Олово	П	121		
III-2-17	Цинк	Ниж. Оморочка, р.	3	121	III-2-64	Свинец	ПМ	121		
III-2-18	Золото	Каменистое	П	121	III-2-65	Молиоден	ПМ	121		
III-2-19	Золото	Ниж. Оморочка, р.	ПМ	121	III-2-66	Свинец	П	121		
III-2-20	Вольфрам	Снеговое	П	121	III-2-67	Олово, свинец	Армическое	ММ.5	99, 121	
III-2-21	Медь, золото	Таваскини, р.	П	121	III-2-68	Олово	Голубое	3	99, 121	
III-2-22	Свинец	Лев. Красная, р.	ПМ	121	III-2-69	Медь	ПМ	121		
III-2-23	Свинец	Оморочка, р.	ПМ	121	III-2-70	Золото	ПМ	121		
III-2-24	Свинец	Таваскини, р.	П	121	III-2-71	Флюорит	П	121		
III-2-25	Олово	Крикша, Паль, к.п.	П	121	III-2-72	Золото	Березовая, р.	ПМ	121	
III-2-26	Мильзак	Нижнее	П	121	III-2-73	Олово	Рогатое	П	99, 121	
III-2-27	Олово	Таваскини, р.	М. Светловодская, р.	ПМ	III-2-74	Олово	Трапеция	МС.5	99, 121	
III-2-28	Золото	Олово, свинец	П	121	III-2-75	Олово	Ветристое	3	99, 121	
III-2-29	Олово	Водораздельное	ПМ	121	III-2-76	Олово	Лабазное-Ржавое	ПМ	99, 121	
III-2-30	Золото	М. Светловодская, р.	П	121	III-2-77	Флюорит	П	121		
III-2-31	Олово	Янтарное	Р	121	III-2-78	Олово	Арму, р.	ПМ	99, 121	
III-2-32	Свинец, цинк	Таваскини, р.	П	121	III-2-79	Мильзак	Кема, р.	П	108	
III-2-33	Барит	Дальняя, р.	П	121	III-2-80	Свинец	Арму, р.	ПМ	108	
III-2-34	Свинец	Зеленый, к.п.	П	121	III-2-81	Золото, серебро	Березовая, р.	ПМ	108	
III-2-35	Олово	Памятное	П	121	III-2-82	Олово	Левая Мечта, к.п.	П	121	
III-2-36	Медь	Верхнезолотое	П	121	III-2-83	Олово	Ветристый, руч.	П	121	
III-2-37	Вермикулит	Б. Светловодская, р.	П	121	III-2-84	Олово, медь	Красное	П	121	
III-2-38	Золото	Таваскини, р.	П	121			Белкое	П	121	
III-2-39	Свинец	Дальняя, р.	П	121				П	121	
III-2-40	Свинец	Ракета, к.п.	П	121				ПМ	99, 121	
III-2-41	Золото	Дальняя, р.	П	121				МС.5	99, 121	
III-2-42	Олово	Ледяное	ММ.5	121				3	99, 121	
III-2-43	Золото	Левобережье р. Дальняя	3	121	III-2-85	Габбро-диориты	Терристичное	ПМ	99, 121	
III-2-44	Серебро	М. Светловодская, р.	П	121	III-2-1	Киноварь	Бикин, р.	П	99, 121	
III-2-45	Свинец, цинк, олово	Золотой, к.п.	ПМ	121	III-2-2	Кассiterит	Бикин, р.	П	121	
III-2-46	Свинец	Левадальинское	П	121	III-2-3	Кассiterит	Оморочка, р.	П	99, 121	
III-2-47	Золото	Веселое	П	121	III-2-4	Киноварь	Бикин, р.	П	121	
III-2-48	Медь	Валинко, р.	ПМ	121	III-2-5	Киноварь	Таваскини, р.	П	121	
III-2-49	Золото	Буровое	П	121	III-2-6	Киноварь	Дальняя, р.	П	121	
III-2-50	Олово	Краине	П	121	III-2-7	Ильменит	Золотой, к.п.	П	91	
III-2-51	Олово	Солониное	П	121	III-2-8	Киноварь	Валинко, р.	П	121	
III-2-52	Свинец	Праводальнинское	П	121	III-2-9	Кассiterит	Краинская, р.	П	121	
III-2-53	Золото	Носок	П	121	III-2-10	Шеллит	Обильная, р.	П	121	
III-2-54	Олово, свинец, цинк	Звездное	ММ.5	121	III-2-11	Золото	Упорный, р.	П	109	
III-2-55	Хальцедон	Волчушка, р.	3	121	III-3-2	Олово	Эдробаган	П	100	
III-2-56	Олово	Базовское	П	121	III-3-3	Золото, серебро, флюорит	Салют-Орион	ММ.5	98	
III-2-57	Олово	Таборное	П	121	III-3-4	Свинец, цинк	Байковское	3	98	
			M.M.5	121	III-3-5	Золото, серебро	Чайное	П	100	
			3	121	III-3-6	Флюорит	Среднеокунцовское	П	98	
				121	III-3-7	Олово, свинец, цинк	Шараповское	ПМ	97	
				121	III-3-8	Вода углекислая	П. Пещера, р.	ММ	100	

Продолжение

Продолжение

Индекс кварата и номер объекта	Полезное ископаемое	Название или географическая приязька объекта	Характер объекта	Номер промышленного источника	Индекс калдара и номер обьекта		Название или географическая приязька объекта	Характер объекта	Номер промышленной источника
					Полезное ископаемое	Название или географическая приязька объекта			
III-3-9	Свинец, цинк	Террасное	IV-1-7						
III-3-10	Свинец, цинк, золото	Фартовое	IV-1-8						
III-3-11	Золото, серебро, флюорит	Скальное	IV-1-9						
III-3-12	Хальцедон	Забытое	IV-1-10						
III-3-13	Олово	Сухой Ключ	IV-1-11						
III-3-14	Золото, серебро, молибден	Фунтикское	IV-1-11						
III-3-15	Олово	Верхнебалмаское	IV-1-12						
III-3-16	Уголь бурый	Лосевское	IV-1-12						
III-3-17	Золото	Нижнегахобинское	IV-1-12						
III-3-18	Золото	Шельф Японского моря	IV-1-13						
III-3-19	Уголь бурый	Максимовское	IV-1-13						
III-3-20	Железо	(уступ р. Максимовка)	IV-1-13						
III-3-21	Медь, флюорит	Нестеровское	IV-1-14						
III-3-22	Золото	Береговое	IV-1-14						
III-3-23	Золото	Шельф Японского моря (южнее устья р. Максимовка)	IV-1-15						
III-3-24	Золото	Шебень	IV-1-15						
III-3-25	Вольфрам	М. Чевемшанка, р.	IV-1-16						
III-3-26	Свинец, цинк, серебро	Вольфрам, олово	IV-1-16						
III-3-27	Свинец, цинк	Луговая, р.	IV-1-17						
III-3-28	Золото	Олово, свинец	IV-1-18						
III-3-1	Касситерит	Брунидное	IV-1-18						
III-4-1	Золото	Грушевское	IV-1-19						
III-4-2	Золото	Луговая, р.	IV-1-19						
III-4-3	Золото, ртуть	Колида	IV-1-19						
III-4-4	Золото, серебро	Б. Светловодная, р.	IV-1-20						
III-4-5	Золото	Скальный	IV-1-20						
III-4-6	Золото	Овал	IV-1-21						
III-4-7	Глины кирпичные	Золото	IV-1-21						
III-4-8	Железо	Прозрачный	IV-1-22						
III-4-9	Золото	Бобковское	IV-1-22						
III-4-10	Золото	Бобкова, р.	IV-1-23						
		Шельф Японского моря (севернее устья р. Каенка)	IV-1-24						
		MН,7	IV-1-25						
		MН,7	IV-1-25						
		MН,7	IV-1-26						
		MН,7	IV-1-27						
		MН,7	IV-1-28						
		MН,7	IV-1-29						
		MН,7	IV-1-30						
		MН,7	IV-1-31						
		MН,7	IV-1-32						
		MН,7	IV-1-33						
		MН,7	IV-1-34						
		MН,7	IV-1-35						
		Олово	Болыкрам						
		Олово	Скалистое						
		Олово	Скалистый, к.л.						
		Олово	Туентинское						
		Олово	Чайный, к.л.						
		Олово	Рогатый, к.л.						
		Олово	Начальный, к.л.						
		Олово	Ключ Новострой						
		Олово	Тальк						
		Олово	ММ,7						
		Олово	3						
		Олово	IV-1-33						
		Олово	IV-1-34						
		Олово	IV-1-35						
		Олово	Олово						
		Олово	Скалистое						
		Олово	Скалистый, к.л.						
		Олово	Туентинское						
		Олово	Чайный, к.л.						
		Олово	Рогатый, к.л.						
		Олово	Начальный, к.л.						
		Олово	Ключ Новострой						
		Олово	Тальк						
		Олово	ММ,7						
		Олово	3						
		Олово	IV-1-33						
		Олово	IV-1-34						
		Олово	IV-1-35						
		Олово	Олово						
		Олово	Скалистое						
		Олово	Скалистый, к.л.						
		Олово	Туентинское						
		Олово	Чайный, к.л.						
		Олово	Рогатый, к.л.						
		Олово	Начальный, к.л.						
		Олово	Ключ Новострой						
		Олово	Тальк						
		Олово	ММ,7						
		Олово	3						
		Олово	IV-1-33						
		Олово	IV-1-34						
		Олово	IV-1-35						
		Олово	Олово						
		Олово	Скалистое						
		Олово	Скалистый, к.л.						
		Олово	Туентинское						
		Олово	Чайный, к.л.						
		Олово	Рогатый, к.л.						
		Олово	Начальный, к.л.						
		Олово	Ключ Новострой						
		Олово	Тальк						
		Олово	ММ,7						
		Олово	3						
		Олово	IV-1-33						
		Олово	IV-1-34						
		Олово	IV-1-35						
		Олово	Олово						
		Олово	Скалистое						
		Олово	Скалистый, к.л.						
		Олово	Туентинское						
		Олово	Чайный, к.л.						
		Олово	Рогатый, к.л.						
		Олово	Начальный, к.л.						
		Олово	Ключ Новострой						
		Олово	Тальк						
		Олово	ММ,7						
		Олово	3						
		Олово	IV-1-33						
		Олово	IV-1-34						
		Олово	IV-1-35						
		Олово	Олово						
		Олово	Скалистое						
		Олово	Скалистый, к.л.						
		Олово	Туентинское						
		Олово	Чайный, к.л.						
		Олово	Рогатый, к.л.						
		Олово	Начальный, к.л.						
		Олово	Ключ Новострой						
		Олово	Тальк						
		Олово	ММ,7						
		Олово	3						
		Олово	IV-1-33						
		Олово	IV-1-34						
		Олово	IV-1-35						
		Олово	Олово						
		Олово	Скалистое						
		Олово	Скалистый, к.л.						
		Олово	Туентинское						
		Олово	Чайный, к.л.						
		Олово	Рогатый, к.л.						
		Олово	Начальный, к.л.						
		Олово	Ключ Новострой						
		Олово	Тальк						
		Олово	ММ,7						
		Олово	3						
		Олово	IV-1-33						
		Олово	IV-1-34						
		Олово	IV-1-35						
		Олово	Олово						
		Олово	Скалистое						
		Олово	Скалистый, к.л.						
		Олово	Туентинское						
		Олово	Чайный, к.л.						
		Олово	Рогатый, к.л.						
		Олово	Начальный, к.л.						
		Олово	Ключ Новострой						
		Олово	Тальк						
		Олово	ММ,7						
		Олово	3						
		Олово	IV-1-33						
		Олово	IV-1-34						
		Олово	IV-1-35						
		Олово	Олово						
		Олово	Скалистое						
		Олово	Скалистый, к.л.						
		Олово	Туентинское						
		Олово	Чайный, к.л.						
		Олово	Рогатый, к.л.						
		Олово	Начальный, к.л.						
		Олово	Ключ Новострой						
		Олово	Тальк						
		Олово	ММ,7						
		Олово	3						
		Олово	IV-1-33						
		Олово	IV-1-34						
		Олово	IV-1-35						
		Олово	Олово						
		Олово	Скалистое						
		Олово	Скалистый, к.л.						
		Олово	Туентинское						
		Олово	Чайный, к.л.						
		Олово	Рогатый, к.л.						
		Олово	Начальный, к.л.						
		Олово	Ключ Новострой						
		Олово	Тальк						
		Олово	ММ,7						

Продолжение

Продолжение

Индекс и наиме- ние объекта	Полезное ископаемое	Название или географическая принадлежность	Характер объекта	Номер источника	Индекс кварта и номер объекта		Название или географическая принадлежность	Характер объекта	Номер источника
					Природного источника	Природного источника			
IV-1-39	Кварц пьезооптический	Чайный, кл.	П	74	IV-1-65	IV-1-65	Боливарит, олово, свинец	П	74
IV-1-40	Молибден	Петростовский, кп.	П	74, 132	IV-1-66	IV-1-66	Поларное	П	74
IV-1-41	Бериллий	Ростиславское	П	74, 131			Колумбе, р.	П	74
IV-1-42	Золото	Первое	П	131	IV-1-67	IV-1-67	Сидатунское	П	74
IV-1-43	Редкие земли, вольфрам	Партизанское	<u>MC,2</u> <u>H</u>	111	IV-1-68	IV-1-68	Золото	<u>O</u>	74
IV-1-44	Олово	Куалинское	<u>MM,5</u> <u>3</u>	74, 119, 129, 131	IV-1-69	IV-1-69	Олово	П	74
IV-1-45	Вольфрам	Кварцевое	П	132	IV-1-70	IV-1-70	Вольфрам, олово	П	74
IV-1-46	Олово	Рудное	<u>MM,5</u> <u>3</u>	111	IV-1-71	IV-1-71	Золото	<u>MM,5</u> <u>3</u>	74
IV-1-47	Олово	Б. Присковая, р.	П	74, 132	IV-1-72	IV-1-72	Золото	П	74
IV-1-48	Золото	Дорожный, кп.	<u>MM,7</u> <u>3</u>	118	IV-1-73	IV-1-73	Золото	<u>MM,7</u> <u>3</u>	74
IV-1-49	Ольховое	Ольховое, свинец, цинк	П	74, 132	IV-1-74	IV-1-74	Олово, свинец, цинк	П	74
IV-1-50	Ольхово, цинк	Ольховое, кп.	П	74, 132	IV-1-75	IV-1-75	Олово, свинец	П	74
IV-1-51	Агат	Четвертый, руч.	П	111	IV-1-76	IV-1-76	Вола углекислая	П	74
IV-1-52	Вольфрам, олово	Марейкина, кп.	П	74	IV-1-77	IV-1-77	Бериллий	П	74
IV-1-53	Золото	Благодатный	<u>MM,7</u> <u>P</u>	74, 131	IV-1-78	IV-1-78	Бериллит	<u>MM,7</u> <u>3</u>	74
IV-1-54	Золото	Комсомольский, кп.	<u>MM,7</u> <u>3</u>	74, 131	IV-1-79	IV-1-79	Бериллит	П	74
IV-1-55	Золото	Нежданчий, кп.	<u>MM,7</u> <u>3</u>	74, 131	IV-1-80	IV-1-80	Бериллит	П	74
IV-1-56	Серебро	Победы, кп.	П	118	IV-1-81	IV-1-81	Бериллит	П	74
IV-1-57	Золото	Бенча III	<u>MM,7</u> <u>P</u>	74, 131	IV-1-82	IV-1-82	Бериллит	П	74
IV-1-58	Свинец	Б. Северная, р.	П	74	IV-1-83	IV-1-83	Бериллит	П	74
IV-1-59	Золото	Б. Северная, р.	<u>MM,7</u> <u>3</u>	129	IV-1-84	IV-1-84	Бериллит	П	74
IV-1-60	Золото, свинец, цирконий	Лавовый, кп.	<u>PM</u>	74	IV-1-85	IV-1-85	Бериллит	П	74
IV-1-61	Золото	Б. Присковая, р.	<u>MM,7</u> <u>P</u>	74, 129, 132	IV-1-86	IV-1-86	Бериллит	П	74
IV-1-62	Золото	Благодатное (Пионер)	<u>MM,5</u> <u>3</u>	74, 131	IV-1-87	IV-1-87	Бериллит	П	74
IV-1-63	Олово	Камчадал	П	74	IV-1-88	IV-1-88	Бериллит	П	74
IV-1-64	Золото	М. Присковая, р.	<u>MM,7</u> <u>O</u>	74	IV-1-89	IV-1-89	Бериллит	П	74
IV-2-13	Кирпичные глины						Узкий, кп.	<u>MM</u> <u>3</u>	68

П р о д о л ж е н и е

Индекс квадрата и номер объекта	Полезное ископаемое	Название или географическая признаки объекта	Характер объекта	Номер литературного источника	Индекс квадрата и номер объекта		Полезное ископаемое	Название или географическая признаки объекта	Характер объекта	Номер литературного источника
					Промышленная особенность	литературный источник				
IV-2-14	Олово, вольфрам		Водопадное	IV-2-64	Свинец	Прозрачное			П	68
IV-2-15	Свинец, цинк		Ячное	IV-2-65	Свинец, цинк	Шестое			П	68
IV-2-16	Олово		Балаганное	IV-2-66	Свинец	Светлый, кл.			П	68
IV-2-17	Золото		Желтое	IV-2-67	Олово, цинк, свинец	Памятое			П	68
IV-2-18	Олово, серебро		Узкое	IV-2-68	Медь	Перевальная, кл.			П	68
IV-2-19	Олово, свинец		Медвежье	IV-2-69	Олово, свинец	Носырея, кл.			П	68
IV-2-20	Олово		Горное	IV-2-70	Золото, серебро	Березовый			П	117
IV-2-21	Олово, вольфрам		ММ,5	IV-2-71	Олово, цинк, свинец	Сахалинское			П	68
IV-2-22	Свинец, цинк		3	IV-2-72	Шеэпит, вольфрамит	Серебрянка, р.			П	68
IV-2-23	Свинец, цинк, золото			IV-2-73	Морибдан	Встречный, кл.			П	68
IV-2-24	Олово			IV-2-74	Киноварь	Чудный, кл.			П	68
IV-2-25	Медь			IV-2-75	Молибден	Мильин, кл.			П	68
IV-2-26	Серебро			IV-2-76	Касситерит, вольфрамит	Томинский, кл.			П	68
IV-2-27	Олово, серебро, медь			IV-2-77	Свинец	Буянова, кл.			П	68
IV-2-28	Золото, свинец, цинк			IV-2-78	Олово, свинец	Мотинка, р.			П	68
IV-2-29	Олово			IV-2-79	Свинец	Незинмова, кл.			П	68
IV-2-30	Золото, свинец, цинк			IV-2-80	Киноварь	Незинмова, кл.			П	68
IV-2-31	Олово			IV-2-81	Хромит	Колумб, р.			П	68
IV-2-32	Олово, свинец, цинк			IV-2-82	Свинец, цинк	Колумбес, р.			П	68
IV-2-33	Свинец, цинк			IV-2-83	Никель, хром	Колумбеский, кл.			П	68
IV-2-34	Свинец			IV-2-84	Молибден, иттрий, бе-	Мартенеский, кл.			П	68
IV-2-35	Свинец			IV-2-85	Рильян	Мартенеский, кл.			П	68
IV-2-36	Олово, свинец			IV-2-86	Бериллий, молибден	Бериллий, молибден			П	68
IV-2-37	Свинец, цинк			IV-2-87	Ильменит	Колумб, р.			П	68
IV-2-38	Свинец, цинк			IV-2-88	Бериллий	Резувшка, р.			П	68
IV-2-39	Олово, редкие земли, свинец			IV-2-89	Свинец, цинк	Резувшка, р.			П	68
IV-2-40	Олово			IV-2-90	Золото	Пруденция, р.			П	68
IV-2-41	Олово, свинец, цинк			IV-2-91	Свинец	Седло, Руч.			П	68
IV-2-42	Олово, свинец, золото			IV-2-92		Жильное			П	108
IV-2-43	Олово, редкие земли, свинец			IV-3-3					П	108
IV-2-44	Свинец, цинк, золото			IV-3-4					П	108
IV-2-45	Свинец, цинк, золото			IV-3-5					П	108
IV-2-46	Свинец, цинк, олово			IV-3-6					П	66
IV-2-47	Сурьма			IV-3-7					П	108
IV-2-48	Больфрам			IV-3-8					П	108
IV-2-49	Медь, титан			IV-3-9					П	66
IV-2-50	Свинец			IV-3-10					П	66
IV-2-51	Свинец, цинк			IV-3-11					П	66
IV-2-52	Свинец, цинк			IV-3-12					П	66
IV-2-53	Свинец								П	108
IV-2-54	Редкие земли								П	66
IV-2-55	Железо								П	66
IV-2-56	Олово, вольфрам								П	108
IV-2-57	Олово								П	66
IV-2-58	Свинец, цинк, кадмий								П	108
IV-2-59	Титан								П	66
IV-2-60	Флюорит								П	108
IV-2-61	Барит								П	66
IV-2-62	Свинец, цинк								П	108
IV-2-63	Свинец, цинк								П	66
									П	66

П р о д о л ж е н и е

П р о д о л ж е н и с

Индекс квадрата и номер объекта	Полезное ископаемое	Название или географическая принадлежность	Характер объекта	Номер литературного источника	Название или географическая принадлежность	
					Номер квадрата и номер объекта	Номер литературного источника
IV-3-23 IV-3-24	Алунит Серебро, молибден, зо- лото	Шумятый, кз. М. Пещерная, р.	П ПМ	66 108	V-1-32 Олово, свинец, цинк	Скрытое
IV-3-25 IV-3-26 IV-3-27	Серебро, золото, серебро, золото	Малопечерное Первая Учтанская Гольный, руч.	ПМ ПМ ПМ	108 108 108	V-1-33 Олово	Ивановское
IV-3-28 IV-3-29 IV-3-30	Олово Олово	Пихтовое Кемское	П П	66 66	V-1-34 Олово, свинец, цинк	Скальное
IV-3-31 IV-3-32	Больфрамит, висмутин Апатит	Селенгинское Амгинский	П П	66 66	V-1-35 Олово	Октябрьское
IV-3-33 IV-3-34	Висмутин Вольфрамит	Максимовка, р. Пещерная, р.	П П	66 66	V-1-36 Олово, свинец	Олово
IV-3-35 IV-3-36	Вольфрамит, висмутин Халькопирит	Левокумынский Левоминский	П П	66 66	V-1-37 Олово	Светлый, кз.
IV-3-37 IV-3-38	Халькопирит, колумбит Золото	Маячный, мыс Шумный, руч.	П П	66 66	V-1-38 Флюорит	Верхнемолодежное
IV-3-39 IV-3-40	Свинец, цинк Свинец, цинк	Глухоманская, р. Негорчий, кз.	П П	65 65	V-1-39 Свинец, цинк, мель	Джигитовка, р. Джигитовка, р.
V-1-1 V-1-2	Свинец, цинк	Накома, руч.	П	87	V-1-40 Золото	Железный, руч.
V-1-3 V-1-4	Свинец, цинк	Лысогорское	П П	65 65	V-1-41 Олово	Берхемолодежное
V-1-5	Золото	Хеза, руч.	П П	87 65	V-1-42 Олово, свинец, цинк	Буреломное
V-1-6	Олово	Ноябрьское	П П	65 65	V-1-43 Золото	Бетвистое
V-1-7	Олово, свинец, цинк	Б. Усурка, р. Глухоманская, р. Соболинский, кз.	П П П	86 65 65	V-1-44 Олово, свинец	Ягодный, руч.
V-1-8	Уголь каменный Олово, молибден, свинец Олово, свинец, цинк	Заросший, руч. Ороченка, р. Таборный, кз.	П П П	85 65 65	V-1-45 Олово, вольфрам	Зарница
V-1-9	Мышьяк	Тихое	П П П	85 65 65	V-1-46 Золото	Нижнемолодежное
V-1-10 V-1-11	Свинец Свинец, цинк	Болотный, кз. Ороченка, гора	П П П	85 106 106	V-1-47 Олово, свинец	Лебедяньское
V-1-12 V-1-13 V-1-14 V-1-15 V-1-16 V-1-17 V-1-18	Свинец Свинец, цинк Свинец Мышьяк, медь Свинец, золото Олово	Стремительный	П П П П П П П	65 65 65 65 65 65 65	V-1-48 Свинец, цинк	Малыжевое
V-1-19	Олово, свинец, цинк	Великоманьское	П П П П П П П	65 65 65 65 65 65 65	V-1-49 Золото	Заболоченный, руч.
V-1-20 V-1-21 V-1-22 V-1-23 V-1-24 V-1-25 V-1-26 V-1-27	Олово Олово, свинец Олово, свинец Олово, свинец Истрий Олово Олово, свинец	Чапахаское Ветреное Колонковое Усурка, р. Беличье Камнистый, кз.	П П П П П П П	65 65 65 65 65 65 65	V-1-50 Олово	Северянка, р.
V-1-28 V-1-29 V-1-30 V-1-31	Олово, бериллий Железо Свинец Цинк, свинец	Правое Бересковое Паков, кз. Федорова, кз. Перевальное	П П П П	101 101 101 101	V-1-51 Золото	Правое Бересковое
V-1-52 V-1-53 V-1-54	Свинец, цинк Олово Свинец, олово	Паков, кз. Федорова, кз. Перевальное	П П П	101 101 101	V-1-55 Свинец, цинк	Паков, кз.
V-1-56 V-1-57 V-1-58 V-1-59	Золото Олово, свинец, цинк Свинец, цинк Редкие земли	Дальнее	П П П П	65 65 65 65	V-1-56 Олово, свинец, цинк	Бетечная, гора
			П П П П	101 101 101 101	V-1-57 Монкариное	Монкариное
			П П П П	65 65 65 65	V-1-58 Изакова, кз.	Изакова, кз.
			П П П П	101 101 101 101	V-1-59 Первой, кз.	Первой, кз.

Г р о д о л ж е н и е

П р о д о л ж е н и е

Индекс кварта и номер объекта	Полезное ископаемое	Название или географическая привязка объекта	Характер объекта		Номер литературного источника	Индекс кварта и номер объекта	Полезное ископаемое	Название или географическая привязка объекта	Характер объекта		Номер литературного источника
			Промышленная сущность	литературного источника					Промышленная сущность	литературного источника	
V-1-60	Свинец, цинк Олово, свинец, цинк Олово	Золото, олово, флюорит Олово Редкие земли	Солн-Гора Пылки-Гора Евлалиевское	П ПМ П	65 65 65, 101	V-1-7	Хром Бериллий Бериллий	Б. Южная, р. Пр. Пригожая, р.	ОЛ ОЛ	65 65	V-1-3
V-1-61		Ртуть, олово	Березники, руч.	П	101	V-1-8	Шеелит, вольфрамит	П. Глуховская, р.	ОШ	64	V-1-9
V-1-62		Ртуть, олово	Верх. Перелаз	П	101	V-1-9	Шеелит, вольфрамит	Лев. и Пр.	ОЛ	65	V-1-4
V-1-63	Свинец, цинк	Олово, свинец, цинк Свинец, олово Ртуть, олово	Белчич, руч. Бериллий, руч. Сокатинский, руч.	П П П	65 101 101	V-1-10	Олово Свинец	Приамурка, реки	ОЛ	65	V-1-5
V-1-64		Золото, олово, флюорит	Бериллий, руч.	П	101	V-1-11	Олово Свинец	Б. Уссурия, р.	ОЛ	65	V-1-6
V-1-65			Озертское	П	101	V-1-12	Свинец Талакон, ксеноит, фер- госсит	Большой, шеелит	ОШ	65	V-1-7
V-1-66			Березники, руч.	П	65	V-1-13	Свинец Талакон, ксеноит, фер- госсит	Вольфрамит, шеелит	ОШ	64	V-1-8
V-1-67			Верх. Перелаз	П	101	V-1-14	Киноварь Олово	Шеелит, вольфрамит	ОШ	65	V-1-9
V-1-68			Белчич, руч. Бериллий, руч.	П П	65 101	V-1-15	Свинец	Приамурка, реки	ОЛ	65	V-1-10
V-1-69			Бериллий, руч.	П	101	V-1-16	Олово Свинец	Б. Уссурия, р.	ОЛ	65	V-1-11
V-1-70			Сокатинский, руч.	П	101	V-1-17	Свинец	Исакова, к.л.	ОШ	65	V-1-12
V-1-71			Зандин, к.л.	П	101	V-1-18	Свинец Олово	Приамурка, реки	ОЛ	65	V-1-13
V-1-72			Зандин, к.л.	П	65	V-1-19	Свинец Киноварь	Б. Уссурия, р.	ОШ	65	V-1-14
V-1-73			Черемуховая, р.	П	101	V-1-20	Свинец Барит	Шеелит, вольфрамит	ОЛ	65	V-1-15
V-1-74			Медвежья, гора	П	65	V-1-21	Свинец Барит	Шеелит, вольфрамит	ОЛ	65	V-1-16
V-1-75	Олово, свинец, цинк	Венгнеусурское (Верх- неманское)	ММ.5	3	65, 101, 119, 124	V-1-22	Свинец Олово, свинец	Шеелит, вольфрамит	ОЛ	65	V-1-17
V-1-76	Олово, свинец	Трудное	Черемуховая, р.	П	101	V-1-23	Свинец Олово	Шеелит, вольфрамит	ОЛ	65	V-1-18
V-1-77	Свинец	Сафандровая, гора	Сафандровая, гора	П	65	V-1-24	Свинец Олово	Шеелит, вольфрамит	ОЛ	65	V-1-19
V-1-78		Пуговочный, руч.	Пуговочный, руч.	П	65	V-1-25	Свинец Олово	Шеелит, вольфрамит	ОЛ	65	V-1-20
V-1-79		Болодное	Болодное	П	65	V-1-26	Свинец Молибден	Шеелит, вольфрамит	ОЛ	65	V-1-21
V-1-80			Черемуховое	П	65, 101	V-1-27	Свинец Молибден	Шеелит, вольфрамит	ОЛ	65	V-1-22
V-1-81	Олово, свинец, цинк	Черемуховое	Черемуховое	МС.5	65, 101	V-1-28	Фергансонит, малакон, барит	Шеелит, вольфрамит	ОЛ	65	V-1-23
V-1-82	Серебро	Бесконный, руч.	Бесконный, руч.	3		V-1-29	Свинец Барит	Шеелит, вольфрамит	ОЛ	65	V-1-24
V-1-83	Хром	Б. Уссурука, р.	Б. Уссурука, р.	П	101	V-1-30	Свинец Олово	Шеелит, вольфрамит	ОЛ	65	V-1-25
V-1-84	Золото	Муравьевное	Муравьевное	ПМ	65	V-2-1	Свинец Алунит	Шеелит, вольфрамит	ОЛ	65	V-1-26
V-1-85	Олово, бериллий, тантал	Еловское	Еловское	П	101	V-2-2	Свинец Алунит	Шеелит, вольфрамит	ОЛ	65	V-1-27
V-1-86	Свинец, цинк, сурьма	Южное	Южное	ММ.5	65, 101, 123	V-2-3	Свинец Алунит	Шеелит, вольфрамит	ОЛ	65	V-1-28
V-1-87	Олово, свинец, цинк	Ветреное	Ветреное	3		V-2-4	Свинец Алунит	Шеелит, вольфрамит	ОЛ	65	V-1-29
V-1-88	Олово, свинец, цинк	Покеек	Покеек	ММ.5	65, 101,	V-2-5	Свинец Алунит	Шеелит, вольфрамит	ОЛ	65	V-1-30
V-1-89	Иттрий	Травнистый, к.л.	Травнистый, к.л.	H	101	V-2-6	Свинец Алунит	Шеелит, вольфрамит	ОЛ	65	V-2-1
V-1-90	Олово, свинец	Эльдорадское	Эльдорадское	ММ.5	65, 101,	V-2-7	Свинец, цинк Свинец, цинк, олово	Шеелит, вольфрамит	ОЛ	65	V-2-2
V-1-91	Свинец, цинк			3	123	V-2-8	Свинец, цинк Свинец, цинк, олово	Шеелит, вольфрамит	ОЛ	65	V-2-3
V-1-92	Титан			П	65, 101	V-2-9	Свинец, цинк Свинец, цинк, олово	Шеелит, вольфрамит	ОЛ	65	V-2-4
V-1-93	Свинец, цинк, редкие земли	Майминовское	Майминовское	П	65	V-2-10	Свинец, цинк Свинец, цинк, олово	Шеелит, вольфрамит	ОЛ	65	V-2-5
V-1-94		Путеводный, руч.	Путеводный, руч.	П	65	V-2-11	Свинец, цинк, олово Тантал, никобий	Шеелит, вольфрамит	ОЛ	65	V-2-6
V-1-95						V-2-12	Свинец, цинк Свинец, цинк, олово	Шеелит, вольфрамит	ОЛ	65	V-2-7
V-1-96						V-2-13	Свинец, цинк Свинец, цинк, олово	Шеелит, вольфрамит	ОЛ	65	V-2-8
V-1-97						V-2-14	Свинец, цинк Свинец, цинк, олово	Шеелит, вольфрамит	ОЛ	65	V-2-9
V-1-98						V-2-15	Свинец, цинк Свинец, цинк, олово	Шеелит, вольфрамит	ОЛ	65	V-2-10
V-1-99						V-2-16	Свинец, цинк Свинец, цинк, олово	Шеелит, вольфрамит	ОЛ	65	V-2-11
V-1-100						V-2-17	Свинец, цинк Свинец, цинк, олово	Шеелит, вольфрамит	ОЛ	65	V-2-12
V-1-101						V-2-18	Тантал, лантан, свинец	Шеелит, вольфрамит	ОЛ	65	V-2-13
V-2-19	Глины кирпичные	Гаврилское				V-2-19	Глины кирпичные	Шеелит, вольфрамит	ОЛ	64	V-2-14
V-2-20	Ванадий, свинец	Мосолова, мыс				V-2-20	Ванадий, свинец	Шеелит, вольфрамит	ОЛ	64	V-2-15
V-2-21	Железо	Абрек, гора				V-2-21	Железо	Шеелит, вольфрамит	ОЛ	64	V-2-16
V-2-22	Галька, гравий	Тернейское				V-2-22	Галька, гравий	Шеелит, вольфрамит	ОЛ	64	V-2-17
V-2-23	Тантал, никобий, свинец	Первенец, мыс				V-2-23	Тантал, никобий, свинец	Шеелит, вольфрамит	ОЛ	64	V-2-18

П р о д о л ж е н и е

Индекс квадра- т и номер объекта	Полезное ископаемое	Название или географическая привязка объекта		Характер объекта	Номер литературного источника	Индекс квадра- т и номер объекта		Название или географическая привязка объекта	Характер объекта	Номер литературного источника
		Промышленная освещенность	Полезное ископаемое			Промышленная освещенность				
V-2-24	Алунит	Перисел, мыс	П	64	V-2-10	Шеэлиг, флюорит	Курума, р.	Ош	64	V-2-10
V-2-25	Олово, свинец, цинк	Страшный, мыс	П	64	V-2-11	Касситерит	Суняя, р.	Ош	64	V-2-11
V-2-26	Флюорит	Источник, руч.	П	64	V-2-12	Орбит	Голубинчая, р.	Ош	64	V-2-12
V-2-27	Свинец, цинк, серебро	Пр. Жадонок, р.	П	64	V-2-13	Бериллий	Джигитовка, р.	ОЛ	64	V-2-13
V-2-28	Вольфрам, олово, мо- либден	Верблюд, гора	П	64	V-2-14	Свинец	Чашеватый, руч.	ОЛ	64	V-2-14
V-2-29	Свинец, цинк	Филин, р.	П	64	V-2-15	Бериллий	М. Курума, р.	ОЛ	64	V-2-15
V-2-30	Свинец, олово, бериллий	Джигитовка, р.	П	64	V-2-16	Свинец	Курума, р.	ОЛ	64	V-2-16
V-2-31	Редкие земли, марганец,	Удобная, бухта	П	64	V-2-17	Молибден	Молибдинский, руч.	ОЛ	64	V-2-17
V-2-32	Свинец	Ханова, р.	П	64	V-2-18	Олово	Черемуховая, р.	ОЛ	64	V-2-18
Mолибден	Молибден	Татарского, руч.	П	64	V-2-19	Бериллий	Джигитовка, р.	ОЛ	64	V-2-19
V-2-33	Редкие земли	М. Курума, р.	П	64	V-2-20	Свинец	Пластун, пос.	ОЛ	64	V-2-20
V-2-34	Цирконий, церий	Яблоневый, кал.	П	64	V-2-21	Бериллий	Ветродай, р.	ОШ	64	V-2-21
V-2-35	Бериллий	Кустовой, кал.	П	64	V-2-22	Свинец	Пластунка, р.	ОШ	64	V-2-22
V-2-36	Железо	Виноградный, кал.	П	64	V-2-23	Орбит	Кедровый, Ключ, руч.	П	64	V-2-23
V-2-37	Свинец, цинк, олово	Джигитовка, р.	П	64	V-3-1	Свинец, медь, олово	Таежная, р.	П	64	V-3-1
V-2-38										
V-2-39	Свинец, цинк	Иерусалимовское	<u>ММ,5</u> 3	64, 113	VII-1-1	Олово, свинец, цинк	Смирновское	MC,5 р.	65, 75, 101, 119,	VII-1-1
V-2-40	Свинец, цинк, серебро	Углестное	<u>ММ,5</u> 3	64, 113	VII-1-2	Свинец, цинк	Смеха, руч.	П	126	VII-1-2
V-2-41	Песок строительный	Джигитовское	<u>ММ</u> 3	113	VII-1-3	Свинец, цинк	Высокое	П	120	VII-1-3
V-2-42	Свинец, цинк, серебро	Безымянное	<u>ММ,5</u> 3	64, 113	VII-1-4	Олово, мышьяк	Довгалевская падь	П	113	VII-1-4
V-2-43	Медь, свинец	Елизаветинское	<u>ММ,5</u> 3	64, 113	VII-1-5	Свинец	Пр. Березовский, кал.	П	75	VII-1-5
V-2-44	Олово, свинец, цинк	Берродий	<u>ММ,5</u> 3	64, 113	VII-1-6	Свинец, цинк, медь	Осенине	П	120	VII-1-6
V-2-45	Медь	Джигитская, сопка	<u>ММ</u> 3	113	VII-1-7	Свинец, цинк	Платонова, кал.	П	75	VII-1-7
V-2-46	Свинец	Керровый, кал.	<u>ММ</u> 3	64	VII-1-8	Висмут, молибд	Интересный, кал.	П	75	VII-1-8
V-2-47	Цирконий	Черемховый, кал.	<u>ММ</u> 3	64	VII-1-9	Олово, свинец, цинк	Бараний, кал.	П	75	VII-1-9
V-2-48	Молибден	Якубовского, мыс	<u>ММ,5</u> 3	64, 113	VII-1-10	Олово, цинк	Рудная, р.	П	75	VII-1-10
V-2-49	Свинец, цинк	Озерковское	<u>ММ,5</u> 3	64, 113, 129	VII-1-11	Олово, свинец	Заячье	<u>ММ,5</u> 3	75, 119, 126	VII-1-11
V-2-50	Свинец, цинк	Пластунское	<u>ММ,5</u> 3	64, 113, 129	VII-1-12	Свинец, цинк	Смеха, руч.	П	75, 113	VII-1-12
V-2-51	Свинец, цинк	Бархатный, руч	<u>ММ,5</u> 3	64, 113, 129	VII-1-13	Свинец, цинк	Высокое	П	75	VII-1-13
V-2-52	Молибден	Озерковское	<u>ММ,5</u> 3	64, 113	VII-1-14	Флюорит	Малютка, кал.	П	75	VII-1-14
V-2-53	Касситерит	Резувушка, р.	<u>ММ,5</u> 3	64, 113	VII-1-15	Бериллий	Дорожная, р.	П	116	VII-1-15
V-2-54	Касситерит	Белобородовский, руч.	<u>ММ,5</u> 3	64, 113	VII-1-16	Свинец, цинк, серебро	Шептуцкое (Малоси- нанчикское)	<u>ММ,5</u> 3	75, 113	VII-1-16
V-2-55	Монацит	Фата, р.	<u>ММ,5</u> 3	64, 113	VII-1-17	Свинец, цинк	Николаевское	<u>МС,2</u> р.	113	VII-1-17
V-2-56	Щеллит, вольфрамит	Серебряный, руч.	<u>ММ,5</u> 3	64, 113	VII-1-18	Сурма	Беноковка, р.	П	75	VII-1-18
V-2-57	Вольфрамит, ферберрит	Серебрянка, р.	<u>ММ,5</u> 3	64, 113	VII-1-19	Свинец, цинк	Горбушинское	<u>ММ,2</u> 3	75, 129	VII-1-19
V-2-58	Кильвар	Горемянка, р.	<u>ММ,5</u> 3	64, 113	VII-1-20	Свинец, мышьяк, олово	Шенгуты, р.	П	75	VII-1-20
V-2-59	Органит	Устиновка, р.	<u>ММ,5</u> 3	64, 113	VII-1-21	Свинец, цинк	Довгалевское	<u>ММ,2</u> 3	75	VII-1-21
V-2-60	Щеллит	Сунья, р.	<u>ММ,5</u> 3	64, 113	VII-1-22	Олово, свинец, цинк	Березовое	П	75, 113	VII-1-22
V-2-61	Каситерит	Серебрянка, р.	<u>ММ,5</u> 3	64, 113	VII-1-23	Серебро, свинец, цинк	Ариевское	<u>ММ,5</u> 3	75, 113	VII-1-23

П р о д о л ж е н и е

Продолжение

Индекс квадата и номер объекта	Полезное ископаемое	Название или географическая привязка объекта	Характер объекта	Номер литературного источника	Индекс квадата и номер объекта		Название или географическая привязка объекта	Характер объекта	Номер литературного источника
					Промышленная основность	Происшествия источника			
VI-1-24	Сера	Довгатевское	П	75	VI-1-52	Олово, свинец, цинк	Красногорское (Красное)	М.М.5 3	75, 113
VI-1-25	Аметист	Березовый, руч.	П	113	VI-1-53	Свинец, цинк	Западный Партизан	М.М.2 Р	75
VI-1-26	Свинец, цинк	Рудниковский, к.л.	П	78					
VI-1-27	Железо	Ахобинское	П	75					
VI-1-28	Уголь каменный	Дорожный, к.л.	П	120					
VI-1-29	Свинец, цинк	Нососелтовское	П	75					
VI-1-30	Флюорит	Копактовый, руч.	П	115	VI-1-54	Свинец, цинк, мышьяк	Третий развед	П	75
VI-1-31	Сурьма	Петюхинское	П	75	VI-1-55	Железо, марганец	Мутуинское	П	75
VI-1-32	Серебро	Трещеческое	П	113	VI-1-56	Глина кирпичная	Петюхинское	М.М. 3	75
VI-1-33	Свинец, цинк	Жильное							
VI-1-34	Флюорит	ММ.5 3	75, 113,	VI-1-57	Флюорит	Кварцевый, к.л.	П	75	
VI-1-35	Березовское	П	116	VI-1-58	Свинец, цинк	Светлый отвод	М.М.2 3	75	
VI-1-36	Свинец, цинк	Верхнее (Верхний Рудник)	МС.2 Р	75	VI-1-59	Свинец, цинк	Кл. 27-й	П	75
VI-1-37	Свинец, цинк	Коллектив, пос.	П	75	VI-1-60	Свинец, цинк, мышьяк	Тировое	П	75
VI-1-38	Глина кирпичная	Нижнеберезовское	ММ Р	4, 75	VI-1-61	Цинк	Нежданка, р.	П	75
VI-1-39	Уголь каменный	Малышевское	П	75, 113	VI-1-62	Кальцит оптический	Сахрана, гора	П	75
VI-1-40	Свинец, цинк	Звериний, к.л.	ММ.5 3 Р	75, 120	VI-1-63	Ртуть	Петюхинское	П	75
VI-1-41	Вода углекислая	Оричицкое (Муту- хинское)	П	113, 115	VI-1-64	Мышьяк	Ахобинское	П	75
VI-1-42	Свинец, цинк	Николаевские источники	П	27	VI-1-65	Мышьяк	Третий, к.л.	П	75
VI-1-43	Боросиликаты	Нижнее (Первый Совет- ский рудник)	ММ.2 О	75, 126	VI-1-66	Бериллий, флюорит	Якутинское	М.М.5 3	116
VI-1-44	Свинец, олово	Дальнегорское (Хру- стальный отвал)	МС.2 Р	75, 113	VI-1-67	Ртуть	Малиновский, к.л.	П	75
VI-1-45	Свинец, цинк	Бербюжий, к.л.	П	75	VI-1-68	Свинец, цинк	Садовое	М.М.2 3	75
VI-1-46	Свинец, цинк	Прямая падь	П	75	VI-1-69	Свинец, цинк	Южно-Соловецкое	П	113
VI-1-47	Свинец	Листовской	П	75	VI-1-70	Свинец, цинк	Поповщина	П	113
VI-1-48	Свинец, цинк	Дальний (Хру- стальный отвал)	П	75	VI-1-71	Свинец, цинк	Кровавая падь	П	75
VI-1-49	Басточный Партизан	Бербюжий, к.л.	ММ.2 Р	75	VI-1-72	Железо	Железней, к.л.	П	124
VI-1-50	Свинец, цинк	Мутухинское	П	113	VI-1-73	Глины керамические	Лидовское	П	113
VI-1-51	Перлиты	Второй Советский рудник	ММ.2 Р	75, 113	VI-1-74	Перлит	Кинчукинское	М.М.1 3	80
	Чашеватое	Средний Партизан	ММ.2 Р	75	VI-1-75	Золото	Майское	М.М.5 3	113
	Олово, свинец, мышьяк	Моленский, к.л.	П	75	VI-1-76	Свинец, цинк	Лодю, к.л.	П	75
					VI-1-77	Олово, свинец, цинк	Северное		
					VI-1-78	Железо	Кривая падь		
					VI-1-79	Медь	Пойковский, к.л.		
					VI-1-80	Олово, свинец	Скучный, к.л.		
					VI-1-81	Флюорит	Кривая, р.		
					VI-1-82	Глины керамзитовые	Нижнетохинское		
					VI-1-83	Цеолиты	Криня, р.		
					VI-1-84	Перлиты	Нежданковское		

П р о д о л ж е н и е

卷之三

Индекс квадрата и номер объекта	Назначение ископаемое	Название или географическая приязка объекта	Характер признаков	Номер интегрального источника	Индекс квадрата квадрата и номер объекта	Назначение ископаемое	Название или географическая приязка объекта	Характер объекта	Промышленная освоенность	Номер интегрального источника
VI-1-85	Кварцит керамический	Медвежье	П	113	VI-1-112	Олово, свинец, цинк	Мирная, р.	П	75	
VI-1-86	Олово, свинец, цинк	Эрдагоуское	ММ,5 3	75	VI-1-113	Олово, свинец, цинк	Ново-Монастырское (Багановское)	ММ,5 3	75, 113, 126, 129	
VI-1-87	Свинец, цинк	Лиговское (Ахобинское)	ММ,5 Р	75, 113, 126, 129	VI-1-114	Олово, свинец, цинк	Левникове (Лудьевское)	ММ,5 Р	75, 126	
VI-1-88	Цинк, свинец, мышьяк	Холодный, кл.	П	75	VI-1-115	Песок строительный	Пристанское	ММ	75, 113	
VI-1-89	Флюорит	Медеждяя, р.	П	115						
VI-1-90	Медь, свинец	Двойной, кл.	П	113						
VI-1-91	Олово, свинец, цинк	Темногорское	ММ,5 3	75, 119	VI-1-116	Олово, свинец, цинк	Кисинское	ММ,5 3	75, 113, 115, 119	
VI-1-92	Фарфоровый камень	Брусиное	МК,5 3	80	VI-1-117	Камень облицовочный	Бриннеровское	МК,1	113	
VI-1-93	Песок строительный	Лидовское (Ахобинское)	ММ 0	75, 113	VI-1-118	Свинец, цинк	Монастырское	ММ,5 3	75, 113, 129	
VI-1-94	Водоиздат, олово	Ласерий, кл.	П	75	VI-1-119	Литый, бериллий, флю-	Пада Кисина	П	128	
VI-1-95	Олово	Лудте, р.	П	75		оргит	Сафонова, кл.	П	75	
Медь	Золото, свинец	Лидовское (Ахобинское)	ММ,2	75		Олово	Монастырка, р.	П	75	
	Олово, свинец, цинк	Пасечное	3	75, 113		Свинец, цинк	Монстырька, р.	П	128	
		Лудте, р.	П	75		Свинец, серебро	Киенский Ключ	П	128	
		Мономаховское (Гавай-	ММ	75, 113		Железо	Кедровый, кл.	П	75	
		зинское)	3			Висмут	Близкий, кл.	П	75	
						Свинец	Паралельный, кл.	П	75	
						Уголь бурый				
I-1-100	Марганец	Ясный, кл.	П	75	VI-1-127					
I-1-101	Олово, медв.	Медвежье	П	80	VI-1-128	Сурьма	Таушинское	ММ 3	75, 79, 113,	
I-1-102	Олово	Верхнекинчунское	ММ,5 Р	75, 80, 124, 126	VI-1-129	Сера	Устиновка, р.	П	128	
I-1-103	Олово, свинец	Верхнечинковое	ММ,5 3	75, 119		Серное (Петрохинское)	Серное (Петрохинское)	ММ,6 3	128	
I-1-104	Свинец, цинк, медь	Прямой, кл.	П	75		Цинк, серебро, никель	Устиновский, кл.	П	75	
-I-105	Олово, свинец, цинк	Силинское	ММ,5 3	75, 119, 126		Ртуть	Погорное	П	75	
-I-106	Песок строительный	Усть-Кривое	ММ 3	113		Литий	Паль Корейская	П	128	
-I-107	Олово, свинец, цинк	Перевальский, кл.	П	75		Литий, бериллий	Паль Паятская, сопка	П	79	
I-1-108	Олово, редкие земли	Хрустальное	МС,5 3	75, 119, 126	VI-1-134	Глина кирпичная	Кавалеровское	ММ 3	75	
I-1-109	Флюорит				VI-1-135	Перлит	Богопольское	ММ,1 3	4, 75, 79	
I-1-110	Олово, свинец, цинк									
I-1-111	Олово, свинец, цинк	Беляевского, кл.	П	75, 80	VI-1-136	Олово, свинец, цинк	Лиственное	ММ,5 Р	75, 119	
		Сухой, кл.	П	75			Зеркальная, р.	П	75	
		Павалльский, кл.	П	75			Лев Курчумка, р.	П	79	
							Павловское (Верхнедул-зинское)	ММ,5 3	75, 81	

Продолжение

Индекс объекта и номер	Полезное ископаемое	Название и местоположение привязка объекта	Характер объекта		Номер тетрагонального масштабника	Протяженность остановки
			ММ	П		
VI-1-140	Серебро, иттрий	Имманский перевал	П	79		
VI-1-141	Песок строительный	Зеркальное	ММ	75, 128		
VI-1-142	Свинец, олово, медь	Имманское	П	83		
VI-1-143	Ртуть	Устиновка, р.	П	81		
VI-1-144	Олово	Базовое	П	81		
VI-1-145	Перлит	Брусятовское	П	75, 83		
VI-1-146	Свинец	Вымойная падь	П	75, 81		
VI-1-147	Олово, свинец	Падь Серафимовская	П	83		
VI-1-148	Свинец	Падь Меникская	П	75, 83		
VI-1-149	Мышьяк	Падь Меникская	П	75		
VI-1-150	Свинец	Венера, руч.	П	81		
VI-1-151	Олово, вольфрам	Каменистый, руч.	П	81		
VI-1-152	Олово, свинец, цинк	Южное	П	75		
VI-1-1	Киоварь	Хutor Лунина	П	75		
VI-1-2	Киоварь	Кавалеровский	П	75		
VI-1-3	Киоварь	Монастырка, р.	П	75		
VI-1-4	Каситерит	Зеркальная, р.	П	75		
VI-1-5	Мolibден	Падь Вымойная	П	75		
VI-1-6	Каситерит	Зуор, гора	П	75		
VI-1-7	Вольфрамит, шеелит	Тумановка, р.	П	75		
VI-1-8	Каситерит	Базовая, р.	П	75		
VI-1-9	Каситерит	Брусиловский	П	75		
VI-2-1	Свинец, цинк	Лудевая, р.	П	75		
VI-2-2	Свинец, цинк, молибден	Лудевая, р.	П	75		
VI-2-3	Свинец, цинк, молибден	Кедровое	П	75		
VI-2-4	Песок строительный	Духовское	ММ	113		
VI-2-5	Олово, свинец, цинк	Дальнее	ММ	113		
VI-2-6	Свинец, цинк, серебро	Второй ключ, руч.	П	113		
VI-2-7	Галька, гравий	Каменка, пос.	ММ	64		
VI-2-8	Глина кирпичная	Каменка, пос.	ММ	64		

СПИСОК ЛИТЕРАТУРЫ

1. Анерг Э. Э. Богатство недр Дальнего Востока. Хабаровск—Владивосток, Изд-во Книжное дело, 1928. 898 с.
2. Анерг Э. Э. Краштофович А. Н. Геологический очерк Приморья. — В кн.: Климатические установки Приморья. Б. м., 1923. с. 51—61.
3. Армано Д. Л. Наука о лапишахте М. Мыслиль, 1975. 286 с.
4. Астапенко Л. П. Шубников Т. В., Кукнилова Т. К. Объяснятельная записка к обзорной карте месторождений строительных материалов Приморского края м.ба 1 : 500 000. М., 1974. 322 с.
5. Белогорский Н. А., Громов Ю. Я. Центральный Сихотэ-Алинский структурный шов — Докл. АН СССР, 1954, т. 103, № 1, с. 109—111.
6. Белогорский Н. А., Громов Ю. Я., Баскаков Л. А. История тектонического разви-тия Сихотэ-Алиния. — В кн.: Материалы к 1-й Всесоюзной конференции по геологии и металлогении Тихоокеанского рудного пояса. М., Изд-во АН СССР, 1963, с. 405—422.
7. Берсенев И. А. Итоги геологического изучения Приморского края за сорок лет Советской власти. — Сов. геология, 1962, № 11, с. 6—14.
8. Берсенев И. А. Основные черты геологии Приморского края. — В кн.: Геология и металлогения Советского сектора Тихоокеанского рудного пояса. М., Изд-во АН СССР, 1963, с. 52—60.
9. Бурдя А. А. И. Формационный анализ осадочных отложений при палеодинами-ческих реконструкциях. — Сов. геология, 1986, № 6, с. 62—74.
10. Бурда А. А., Лыжий В. Б., Чарасевич Ю. Н. Принципы и задачи геологического карттирования шельфа на современном этапе. — В кн.: Карттирование шельфов. Л., Географ. об-во СССР, 1974, с. 52—60.
11. Бурдя И. В., Жарникова Н. К. Возраст карбонатных толщ террихинской синги-дальвегорского района (Приморье). — Сов. геология, 1986, № 7, с. 75—78.
12. Бурдя И. В., Жарникова Н. К., Бурдя Г. И. Триасовые отложения правобережья р. Нежданка (Приморье). — Сов. геология, 1986, № 7, с. 50—58.
13. Васильковский Н. П., Беизверкий В. Л., Деркачев А. Н. Основные черты гео-логического строения дна Японского моря. М., Наука, 1978. 264 с.
14. Ветренко В. В. Тектоническое строение Сихотэ-Алинского государственного заповедника и Центрального Сихотэ-Алиния. Владивосток, Дальнеэсток, кн. изд-во, 1976, вып. VI, 167 с.
15. Винчко В. А., Горбатов А. И., Яблоков К. В. Условия формирования морских отложений в прибрежной части шельфа Японского моря (Приморье). — В кн.: Проблемы геологии шельфа. М., Наука, 1975, с. 132—135.
16. Волковцов Ф. К., Диана И. Л., Тимофеев И. А. Проблема комплексности при геологическом картировании шельфа. — В кн.: Карттирование шельфов. Л., Географ. об-во СССР, 1974, с. 61—65.
17. География Приморского края. Дальнеэсток. кн. изд-во, 1965. 351 с.
18. Геология СССР. Т. 19. Хабаровский край и Амурская область, ч. I. М., Недра, 1966. 736 с.
19. Геология СССР. Т. 32/Под ред. И. И. Берсенева, М. Недра, 1969. 635 с.
20. Геология Северо-Восточного Азии. Т. 3. Магматизм Сихотэ-Алинской складчатой системы/Е. В. Быковская, Э. П. Илох, Г. И. Насовская, В. В. Русс и др. Л., Недра, 1973, с. 212—242.
21. Геология и состав самаринского вулкано-плутонического комплекса (Ф. Г. Федо-чик, В. П. Симоненко, Н. И. Архипов и др.— В кн.: Изверженные породы Востока Азии. Владивосток, 1976, с. 37—45.
22. Геологическая карта СССР. М-б 1 : 1 000 000 (новая серия). Лист L-(52), (53) — Пограничный. Объяснительная записка/Отв. редактор Р. Соколов. Л., 1980. 113 с.
23. Геологическое строение дна Японского моря. Стратиграфия локально-изогенных/Н. И. Берсенев, В. Л. Беизверкий, Л. П. Лыжикова и др. Владивосток, ДВНИЦ АН СССР, 1983. 28 с.
24. Геологическое строение дна Японского моря. Стратиграфия кайнозойских отложений/Н. И. Берсенев, В. Л. Беизверкий, Е. П. Лыжиков и др.— Владивосток, ДВНИЦ АН СССР, 1983. 54 с.
25. Геологическое строение дна Японского моря. Интузивные образования, тектоника, история геологического развития и полезные ископаемые/Н. И. Берсенев, В. Л. Беизверкий, Е. П. Лыжиков и др.— Владивосток, ДВНИЦ АН СССР, 1983. 53 с.
26. Гидрогеология СССР. Т. 23. Хабаровский край и Амурская область/Отв. ред.

- Н. А. Маринов, М., Недра, 1971, 512 с.
27. Гидрогеология СССР. Т. 25. Приморский край/Отв. ред. Н. А. Маринов. — М., Недра, 1968, 519 с.
28. Гранитоиды и монцонитоиды рудных районов Приморья/В. С. Иванов, И. З. Бурбакова, Б. Л. Залищак и др. — М., Наука, 1980, 158 с.
29. Жамалда А. Д. Биостратиграфия мезозойских кремнистых толщ Востока СССР (на основе изучения радиолюрий). — Л., Недра, 1972, 243 с.
30. Зайцев И. К. Тектоника и классификация подземных вод и горных пород — основа гидрогеологического картирования и районирования. — Л., Географ. об-во СССР, 1971, с. 4—16.
31. Зайцев И. К. Тектоника Н. И. Закономерности распространения и формирования минеральных подземных вод. — М., Недра, 1972, 280 с.
32. Иванов Б. А. Центральный Сихотэ-Алинский разлом. — Владивосток, 1972, 115 с.
33. Иванов Б. А., Фиртов Л. В., Овчинников Э. С. О возрасте гранитов центрального шва Сихотэ-Алиня. — В кн.: Известственные породы Востока Азии. Владивосток, 1976, с. 81—84.
34. История развития рельефа Сибири и Дальнего Востока. Юг Дальнего Востока. — М., Наука, 1972, 423 с.
35. К вопросу об абсолютной геохронологии магматизма в Приморье/Н. П. Васильевский, М. С. Лапо, В. П. Васильенко и др. — В кн.: Известственные породы Востока Азии. Владивосток, 1976, с. 74—80.
36. Киреева Е. А., Буцилка Л. В., Афракасеева В. М. Основные особенности геологического развития Южного Сихотэ-Алиня в позднем палеозое. — В кн.: Геологические и палеонтологические аспекты развития Дальнего Востока. Владивосток, 1976, с. 20—27.
37. Коновалов В. И. Актионетовые стены Сихотэ-Алиня. — В кн.: Очерки геологии и палеонтологии Дальнего Востока. Владивосток, 1976, с. 39—45.
38. Короткий А. М., Карапанов Л. П. Радиогеохронологический (C^{14}) контроль четвертичной стратиграфии Приморья. — В сб.: Геокорфология и четвертичная геология Дальнего Востока. Владивосток, 1976, с. 98—110.
39. Красильников В. А., Парнеков В. П. Рудноносная тектоническая свита — олистостромовый комплекс — Докл. АН СССР, 1984, т. 277, № 3, с. 669—671.
40. Красильников А. М. Геолого-структурная схема Дальнего Востока СССР и сопредельных с юга территорий. 1957, т. 117, № 3.
41. Кристофорович А. Н. Успехи геологического изучения Дальнего Востока. — В кн.: За первую 1918—1922 гг. — В кн.: Приморье, его природа и хозяйство. Владивосток, 1923, с. 63—72.
42. Криштобович А. Н. Успехи геологического изучения Дальнего Востока. — В кн.: Советская геология за 30 лет. М.-Л. Госгеодизлит, 1947, с. 112—120.
43. Кропоткин П. Н. Краткий очерк тектоники и палеогеографии южной части Советского Дальнего Востока. — В кн.: Вопросы геологии Азии. т. I. М., 1954, с. 736—764.
44. Математические комплексные Приморья/М. Д. Рязанцева, В. И. Рыбакко, Н. Г. Мелникова и др. — В кн.: Математические комплексы Дальнего Востока и их рудоносность (тезисы докл. III ДВ РГС, ч. 2). Хабаровск, 1981, с. 33—34.
45. Мартыничук М. В., Михаилов Ю. А., Попеко В. А. Rb-Sr-возраст древнейшего комплекса Харского блока кристаллических пород в Сихотэ-Алинской зоне синклиналии. — Тихоокеанская геология, 1986, № 3, с. 91—98.
46. Никитина А. П., Соснина М. И. Биостратиграфия карбона Приморского края — В кн.: Региональная биостратиграфия карбона современных континентов, т. 2. М., Наука, 1979, с. 211—215.
47. Николаев В. А. Новые данные по стратиграфии Среднего Сихотэ-Алиня. — В кн.: Стратиграфия Дальнего Востока (Тезисы докладов III ДВ стратиграфического совещания). Владивосток, 1978, с. 103—104.
48. Обручев В. А. История геологического исследования Сибири. Первый, второй, третий, четвертый и пятый М.—Л. Изд-во АН СССР, 1931—1947, 214 с.
49. Обручев В. А. История геологического исследования Сибири. Первый пятый (1918—1940); М.—Л. Изд-во АН СССР, 1946, вып. 7, 116 с.
50. Особенностимагматизма ирудной минерализации Среднего Сихотэ-Алиня. — В кн.: Магматизм, метаморфизм и оружиение Дальнего Востока/В. С. Иванов, Г. Н. Степанов, В. Г. Сахко и др. Владивосток, 1976, с. 50—67.
51. Павлов А. Руб М. Г. Главные формационные типы гранитоидов Приморья. — В кн.: Магматические комплексы Дальнего Востока и их рудоносность. Хабаровск, 1981, с. 35—36.
52. Павлов В. А., Руб М. Г. Основные этапы развития гранитоидного магматизма Приморья. — В кн.: Магматические комплексы Дальнего Востока и их рудоносность. Хабаровск, 1981, с. 36—38.
53. Пелюхов Б. А., Рацкова А. И., Ловашук Л. Н. Объяснительная записка к обзорной карте месторождений строительных материалов Хабаровского края. м-ба 1:1500 000. М., 1974, 338 с.
54. Позднечебзонские интрузии Центрального Сихотэ-Алиня и связь с ними орудиенными. — В. И. Коллах, В. Ф. Русс и др. — М., Госгеотехиздат, 1957, 247 с.
55. Половинки И. И. Полнеистые ископаемые Дальнего Востока. — Материалы по геологии и палеогеологии Дальнего Востока. — Владивосток, 1923, № 27.

Дополнительная литература

64. Ветренников В. В. Геологическая карта СССР м-ба 1: 200 000. Серия Сихотэ-Алинская. Лист L-53-XXX, XXXI, XXXV. Объяснительная записка. М., 1972.
65. Касьян Е. Д. при участии Грибко Л. И. Геологическая карта СССР м-ба 1: 200 000. Серия Сихотэ-Алинская. Лист L-53-XXXVIII. Объяснительная записка. М., Недра, 1967.
66. Касьян Е. Д. при участии Грибко Л. И. Геологическая карта СССР м-ба 1: 200 000. Лист L-53-XXXIV. Объяснительная записка. М., 1981.
67. Козлов А. А., Масиброва Г. В., Никитин В. Г. Геологическая карта СССР м-ба 1: 200 000. Лист L-53-IV. Объяснительная записка. М., 1972.
68. Мостовой В. К., Бурд А., Кирчик В. С. Геологическая карта СССР м-ба 1: 200 000. Лист L-53-XXXIII. Объяснительная записка. М., 1984.
69. Надежкин В. И. при участии Белностого Г. С. Киржалова Е. Ф. Государственная геологическая карта СССР м-ба 1: 200 000. Лист L-53-XVI. Объяснительная записка. М., 1981.
70. Пахоткин В. Г., Тишина А. С. Геологическая карта СССР м-ба 1: 200 000. Листы L-53-VIII, L-54 XIII. Объяснительная записка. М., 1982.
71. Пахоткин В. Г., Тишина А. С. Геологическая карта СССР м-ба 1: 200 000. Лист L-54-I. Объяснительная записка. М., 1984.
72. Пахоткин В. Г., Тишина А. С. Ахметьев М. А. Геологическая карта СССР м-ба 1: 200 000. Серия Сихотэ-Алинская. Лист L-54-II. Объяснительная записка. М., Недра, 1965.
73. Пущин И. К., Красильникова А. И. Геологическая карта СССР м-ба 1: 200 000. Лист L-53-ХII. Объяснительная записка. М., 1984.
74. Рамзакин Ю. Н. Геологическая карта СССР м-ба 1: 200 000. Лист L-53-XXII. Объяснительная записка. М., Недра, 1966.
75. Соколов Р. И. Геологическая карта СССР м-ба 1: 200 000. Лист L-53-ХХIX. Серия Сихотэ-Алинская. Лист L-54-VII (Единка). Объяснительная записка. М., 1957.
76. Трепалкина А. А., Засимова Е. А. Геологическая карта СССР м-ба 1: 200 000. Серия Сихотэ-Алинская. Лист L-54-VII (Единка). Объяснительная записка. М., 1957.

Фондовая*

77. Алексеев М. И., Ложкин К. В., Мочалов В. И. Геологическое строение и полезные ископаемые бассейнов р. Хор и верхних течений рек Дурмин, Киря, Хасым. (Отчет о результате ГТС м-ба 1: 50 000 и поисковых работ, проведенных Ходынской партией в 1981—1986 гг. в пределах трапеций L-53-8-Б, в. 8-Г-а, в. г.; 20-Б-Г; 21-А). Хабаровск, 1986.
78. Геологическое строение и полезные ископаемые бассейнов среднего течения р. Тайды и первых рук Байкалезы и Митхазы. 1966. (Авт.: В. А. Николаев, М. И. Назаренко, М. К. Тяжкин и др.).
79. Геологическое строение и полезные ископаемые бассейна среднего течения р. Тайды. 1966. (Авт.: В. Ф. Матюшин, В. А. Сапожников, Т. К. Гаврилов и др.).
80. Геологическое строение и полезные ископаемые верховьев рек Кинчухе и Кривой. 1966. (Авт.: А. Н. Кильчиц, Н. Н. Кильчиц, Ю. Ф. Адамович и др.).
81. Геологическое строение и полезные ископаемые южной части Кавалеровского района (бассейны рек Фузан, Сайбитуй, Кошантуй, Арзамасовки и левых притоков Японского моря и Филиппинского моря). Владивосток, ДВИИ АН СССР, 1978, с. 45—83.
82. Юнод А. Ю. Структуры континентального и островного склонов северной части Японского моря и Татарского пролива. — В сб.: Морская геология и геофизика, вып. 2. Л., Недра, 1971, с. 79—86.

* Работы, для которых не указано место хранения, находятся в геологических фондах докторио и фанрозою Дальнего Востока СССР. Владивосток, 1978; Магадан, 1982, 183 с.

57. Родников С. М., Макеев Н. П. Оловянно-порфировое оруденение Сихотэ-Алиня. В кн.: Металлогения осадков и фауны Японского моря/Ф. Р. Лихт, А. С. Астахов, А. И. Бондарев и др. Владивосток, ДВИИ АН СССР, 1983, 287 с.

58. Родников С. М. Шлочевые интрузивные породы Приморского края. Изв. АН СССР, сер. геол., 1966, № 10, с. 80—102.

59. Салын С. А. Тектоника и история развития Сихотэ-Алинской геосинклиниальной складчатой системы. М., Недра, 1978, 183 с.

60. Стрижкова А. А. Петрология и геохимия гипабиссальных гранитов Цингицанского Сихотэ-Алиня. М., Наука, 1980, 123 с.

61. Структура осадков и фауны Японского моря/Ф. Р. Лихт, А. С. Астахов, А. И. Бондарев и др. Владивосток, ДВИИ АН СССР, 1983, 287 с.

62. Четвертичные отложения северной части Японского моря/О. Д. Марков, Н. К. Багина, В. С. Пушкин и др. — В кн.: Палеогеология и стратиграфия кайнозойских отложений Японского и Филиппинского морей. Владивосток, ДВИИ АН СССР, 1978, с. 45—83.

63. Юнод А. Ю. Структуры континентального и островного склонов северной части Японского моря и Татарского пролива. — В сб.: Морская геология и геофизика, вып. 2. Л., Недра, 1971, с. 79—86.

- Р. Аввакумов). 1968. (Авт.: Ю. Ф. Адамовский, А. И. Бураго, А. Н. Шапотин и др.).
82. Геологическое строение и полезные ископаемые верховьев рек Ады, Джахары, Единки, Кипбу и Бикин. 1969. (Авт.: В. С. Кирichenко, Н. К. Шелепин и др.).
83. Геологическое строение и полезные ископаемые бассейнов рек Лев, Менний, Холувай и Топаузя, поймы Османчиково, Нерпа и Болотурова. 1970. (Авт.: В. В. Ветренников, А. Н. Шапотин, Т. М. Стрельченко и др.).
84. Геологическое строение и полезные ископаемые верховьев рек Бикин, Тагэму, Катен и Кунтузаза. 1970. (Авт.: И. К. Пудиц, Г. В. Дегтярев и др.).
85. Геологическое строение и полезные ископаемые бассейна р. Оренчена, верхнего течения рек Прав. Синана, Тудо-Вака, Табайча и Бересовка. 1971. (Авт.: А. Г. Дудко, Ф. Ф. Чипкин и др.).
86. Геологическое строение и полезные ископаемые бассейнов рек Лючихезы и Аннексы (Трапеции L-53-104-А). 1971. (Авт.: А. А. Сясько, А. А. Лебедев, И. О. Соколовский и др.).
87. Геологическое строение и полезные ископаемые бассейнов рек Левая, Правая, Нижняя Синана и Тудо-Вака. 1972. (Авт.: А. Г. Канает, Л. Я. Горбунова и др.).
88. Геологическое строение и полезные ископаемые бассейна среднего течения р. Сармарги (геологический отчет Элазавской партии за 1969—1972 гг.). 1972. (Авт.: А. В. Олейник, Ю. Ф. Адамовский, В. Ф. Голик и др.).
89. Геологическое строение и полезные ископаемые бассейнов рек Хулуми, Заами, Болюни и Юхе. 1972. (Авт.: И. Н. Шелепин, Н. К. Істарский, В. П. Давыдов и др.).
90. Геологическое строение и полезные ископаемые бассейнов рек Ягуми, Газы, Колу, Хулуми, Азгу и Дзолу. 1972. (Авт.: А. В. Сясько, В. В. Иголкин, В. А. Салевор и др.).
91. Геологическое строение и полезные ископаемые бассейна нижнего течения рек Биамо, Чинга (Бол. и Мал. Светловодная) и бассейна р. Хаплагуо (Герраская). 1973. (Авт.: В. И. Надежкин, В. Ф. Лушников и др.).
92. Геологическое строение и полезные ископаемые бассейнов нижнего течения рек Самарги и Единки. 1975. (Авт.: А. В. Олейников, И. С. Соколовский, А. М. Короткий и др.).
93. Геологическое строение и полезные ископаемые бассейнов рек Бикина, Зевы и Ключевой. Трапеции L-53-47-В, Г, L-53-48-В (а, в). 1975. (Авт.: А. А. Сясько, В. Г. Мелник, Г. А. Селенко и др.).
94. Геологическое строение и полезные ископаемые бассейнов рек Желтой, Тогтишки, Самарги Второй и мыса Туманного. 1975. (Авт.: А. В. Олейников, И. С. Соколовский, А. М. Короткий и др.).
95. Геологическое строение и полезные ископаемые бассейнов рек Кемы и Мал. Кемы. (Авт.: В. Н. Овсянкин, А. Ф. Лысоков, Н. С. Тимофеев и др.).
96. Геологическое строение и полезные ископаемые верховьев рек Единки и Кабаней. Трапеции L-53-36-Б и L-53-36-Г. 1975. (Авт.: А. Н. Шапотин, С. В. Коценко, З. Е. Надежкина и др.).
97. Геологическое строение и полезные ископаемые бассейна верхнего течения рек Б. Светловодной, М. Светловодной и Волтуши, трапеции I-53-70-Б и L-53-71-А. (Отчет Бершинской партии за 1972—1975 гг.). 1975. (Авт.: Г. П. Акимов, В. Г. Кравченко, М. Г. Павленко и др.).
98. Геологическое строение и полезные ископаемые Кузнецковского рудного района (бассейны рек Буривой, Кузнецова, Соболевки, Максимовки). Листы L-53-60-В, Г, L-53-72-А, Б, L-54-49-В, L-54-61-А). 1976. (Авт.: Г. Л. Амеличенко, В. Н. Королев, Ф. И. Ростовский и др.).
99. Геологическое строение и полезные ископаемые центральной части Арминского рудного района. Трапеции L-53-69-В, Г, L-53-70-В, а, в, L-53-81-А, Б. 1976. (Авт.: Л. Ф. Назаренко, В. П. Уткин, А. В. Судаков и др.).
100. Геологическое строение и полезные ископаемые бассейнов рек Светловодной, Максимовки, Амгу, Шербатовки. Листы L-53-59-В, Г, L-53-71-Б, Г, L-53-72-В, Г, L-53-84-А, В. 1978. (Авт.: В. Н. Овсянкин, Н. И. Архипов, В. И. Рыбаков и др.).
101. Геологическое строение и полезные ископаемые Верхнеямского рудного района (бассейны рек Бол, Северянки, Черемшанки и Рунной). Листы L-53-115-А, Б, В, Г; L-53-116-В, Г; L-53-127-Б (а, б). 1978. (Авт.: Н. К. Істарский, Н. И. Шелепин, В. А. Михайлова и др.).
102. Геологическое строение и полезные ископаемые юго-западной части Арминского рудного района (трапеции L-53-80-Б, В (б, г), Г; 81-В, Г). 1978. (Авт.: Л. Ф. Назаренко, В. Н. Никиторов, А. В. Судаков и др.).
103. Геологическое строение и полезные ископаемые бассейна среднего течения р. Хор. (Материалы к Государственной геологической карте СССР м-6а 1: 200 000, лист L-53-128). 1979. (Авт.: В. И. Айдикин, Н. Г. Годжан, В. Н. Михеев и др.).
104. Геологическое строение и полезные ископаемые бассейнов рек Веноковки, Капанской, Кипбу. Листы L-54-25-Б, Г, -26-В, L-54-34-А, Б, -38-А; L-53-48-А, Б. (Отчет Северной партии о результатах ГГС м-6а 1: 200 000, лист L-53-92-Г). 1979. (Авт.: А. В. Олейников, А. С. Старченко, Т. К. Кутуб-Заде и др.).
105. Геологическое строение и полезные ископаемые бассейнов рек Светлой, Плитниковой, Пен и Зеевы. Листы L-53-48-Г, восточная половина L-53-48-В, L-53-60-А, Б, L-54-37-Г, Т, L-54-49-А, Б. 1980. (Авт.: Г. Л. Амеличенко, В. Н. Королев и др.).
106. Геологическое строение и полезные ископаемые Верхнеямского рудного района (бассейны рек Орончика, Средники, Иртыш, Базовой и Исааков Ключи). Листы L-53-103-Г, 107. Геологическое строение и полезные ископаемые бассейна среднего течения р. Ин-кин. 1983. (Авт.: Г. Г. Сурик, Н. К. Мелников, Л. А. Гасак и др.).
108. Геологическое строение и полезные ископаемые бассейнов рек Максименки, Амгу, Пещерной, Утесной и Кеята. 1983. (Авт.: В. Ф. Луцик, В. А. Якушев, В. Н. Лапид и др.).
109. Геологическое строение и полезные ископаемые междууречья Бикина и Сунгаливойной. Листы L-53-59-А, Б. 1983. (Авт.: Г. Л. Амеличенко, В. Н. Окуневский, В. Н. Рыбаков и др.).
110. Геологическое строение и полезные ископаемые территории листов L-53-X, XI. (Отчет Катунской партии о результате геологического дознания м-ба 1: 200 000 трапеции листов L-53-X, XI в 1978—1983 гг.). 1983. (Авт.: В. И. Аноин, Е. К. Шестаков, Н. Г. Мельников и др.).
111. Геологическое строение и полезные ископаемые бассейнов рек Переваловой и Черемшанка (L-53-79-В (а, в), L-53-91-А). 1984. (Авт.: А. А. Сясько, И. О. Соколовский, В. И. Чечетка и др.).
112. Геологическое строение и полезные ископаемые бассейнов рек Дагда, Коппи, Богчи, М-54-1-Б (б); L-54-2-А. 1984. (Авт.: А. В. Олейников, С. В. Коваленко, Т. К. Кутуб-Заде и др.).
113. Геологическое строение и полезные ископаемые бассейнов рек Джигитовки, Оприники, Литовки, Рудной. Отчет Каменской партии о результатах геологического дознания м-ба 1: 50 000 за 1980—1985 гг. 1985. (Авт.: В. А. Михайлов, М. М. Смирнов и др.).
114. Геологическое строение и полезные ископаемые территории листов М-53-ХХХVI и L-53-VI. 1985. (Авт.: В. А. Домбрович, А. В. Матвеев, В. И. Еноклад и др.).
115. Журавлев В. Н., Бой Л. Г., Ильинко Р. А. Закономерности размещения эндогенных минерализаций в бассейнах рек Акобз и Крилов. Обыкненная записка к промышленно-металлогеническим картам м-ба 1: 50 000 листов Г-54-123-В, Г-54-133-А, Б, В, Г; М-54-131-В, Г-54-1-Б (б); L-54-2-А. 1984. (Авт.: А. П. Соколевский, С. Л. Отчет о геологических работах, Приморье и Л-53-VI. 1985. (Авт.: В. А. Домбрович, А. В. Матвеев, В. И. Еноклад и др.).
116. Козаценко А. П., Соколевский С. Л. Отчет о геологических работах, Приморье и Л-53-ХХХVII. 1985. (Авт.: В. А. Домбрович, С. С. Кавалериков и Кавалериков). 1986. Геологическое строение и полезные ископаемые бассейнов рек Тетюхинской и Кавалериковской районов в 1966—1968 гг. 1969.
117. Козацков В. Н., Мирзов В. Н., Мезенцев В. А. Геологическое строение и полезные ископаемые бассейнов среднего течения рек Беломое и Киль. Березового. 1973.
118. Кизиленко Н. И., Матушкин В. К., Жердевская Е. С. Геологическое описание правобережья среднего течения р. Колумп (трапеция L-53-92-Б). 1963.
119. Ладрик В. В. Рекомендации по методике ведения детальных поисковых работ на оловорудных месторождениях Приморья. 1969.
120. Найдров Б. С., Айдико В. В., Сясько И. С. Геологическое строение и полезные ископаемые бассейнов рек Танани, Дорожной и Березовой. 1967.
121. Надежкин В. И., Мирков В. Н., Вяткин А. Н. Материалы к Государственной геологической карте СССР м-ба 1: 200 000. Лист L-53-XVII. (Отчет Бикинского карточного междууречья за 1974—1977 гг.). 1978.
122. Олешев В. Е., Южаков И. Г. Геологическое строение и полезные ископаемые части междууречья нижнего течения рек Арму и Тагибе (бассейны рек Бол и Мал. Мудачен, Бол. и Мал. Сибончи, Валяхже и Далинто). Трапеции L-53-80-А и L-53-79-Б (б, г). 1967.
123. Особенности геологии и металлогении Иланто-Линсано-Биканского междууречья. 1966. (Авт.: Ю. Н. Раззакханов, Э. М. Раззакханова, В. Н. Назаренко и др.).
124. Островский Р. Е., Южаков И. Г. Геологическое строение и полезные ископаемые бассейнов рек Терлюк, Ахобе, Иорбек и Тадыши (бассейны рек Бол и Мал. Мудачен, Бол. и Мал. Сибончи, Валяхже и Далинто). Трапеции L-53-80-А и L-53-79-Б (б, г). 1967.
125. Отчет о результатах геологического и металлогенического изучения Иланто-Линсано-Биканского междууречья. 1966. (Авт.: Ю. Н. Раззакханов, Э. М. Раззакханова, В. Н. Назаренко и др.).
126. Осенка перспектив территории Приморского края на редкие и рассеянные элементы. 1963. (Авт.: И. П. Раинская и др.).
127. Платников И. А., Маринченко Э. О. Отчет по теме № 105 «Выявление перспектив рудоносности Западного Сихотэ-Алиня с составлением прогнозно-металлогенической карты м-ба 1: 200 000. (Объяснительная записка к прогнозно-металлогенической карте Западного Сихотэ-Алиня м-ба 1: 200 000). 1972.
128. Ростовский Ф. И., Гаврилов Т. А., Марченко В. Г. Геологическое строение и полезные ископаемые бассейнов р. Монастырки и нижнего течения р. Тадыши. 1965.
129. Рудные месторождения и проявления цветных и редких металлов Приморья. Объяснительная записка к карте рудных полезных ископаемых Приморского края м-ба 1: 500 000 и 1: 2 500 000. 1961. (Авт.: В. В. Чекановский, Г. Г. Иванов и др.).
130. Рыбаков В. И., Канинникова А. В. Геологическое строение и полезные ископаемые бассейн р. Мутула, 1-53-29-А, В. 1963.
131. Флуга Н. К., Олеев В. Е. Геологическое описание правобережья среднего течения р. Имана (трапеция L-53-92-А). 1962.
132. Флуга Н. К., Олеев В. Е. Геологическое описание Приморского края на р. Иман. 1964.

ОГЛАВЛЕНИЕ

Введение. Р. И. Соколов	3
Стратиграфия	6
Каменноугольная система. Н. Н. Святогорова	7
Пермская система. Н. Н. Святогорова	8
Палеозой нерасщепленный. Н. Н. Святогорова	10
Триасовая система. Н. Н. Святогорова	11
Верхний триас — нижняя юра. Н. Н. Святогорова	12
Юрская система. Н. Н. Святогорова	13
Меловая система. Н. Н. Святогорова. Е. В. Быковская	15
Палеогеновая система. Е. В. Быковская	23
Палеогеновая — неогеновая система. Е. В. Быковская	25
Неогеновая — четвертичная системы. Е. В. Быковская, О. Р. Коробова	26
Четвертичная система. О. Р. Коробова	26
Интузийные образования. В. А. Селиванов. Л. М. Колмак	34
Особенности отображения геологической информации на дне моря. Р. И. Голодин	53
Геологическое строение дна северо-западной части Японского моря. В. Л. Беверхний, И. И. Берсечев	54
Четвертичные отложения в пределах акватории Японского моря. Р. И. Голодин	57
Тектоника. Р. И. Соколов	61
Геоморфология. Н. И. Степанов. О. Р. Коробова	70
Гидрогеология. С. Н. Суриков. Т. К. Иванова	77
История геологического развития. Р. И. Соколов	85
Полезные ископаемые	90
Горючие ископаемые. А. С. Стуканов	90
Металлические ископаемые. А. С. Стуканов, А. А. Быков	93
Редкие металлы и редкоземельные элементы	117
Неметаллические ископаемые. А. А. Быков	123
Источники минеральных лечебных вод. Т. К. Иванова	134
Закономерности размещения полезных ископаемых. А. С. Стуканов, О. Н. Кабаков	135
Основные выводы. Р. И. Соколов	140
Указатель к карте полезных ископаемых. А. А. Быков, А. С. Стуканов	142
Список литературы	171

ГОСУДАРСТВЕННАЯ ГЕОЛОГИЧЕСКАЯ КАРТА

Масштаб 1 : 1 000 000 (новая серия)

Лист 1-(53), (54) — Кавалерово

Объяснительная записка

Редактор *T. B. Бражнева*

Технический редактор *A. A. Иванова*

Подписано в печать 15.02.94. Формат 70×108/16. Гарнитура Литературная. Усл. печ. л. 15,4.
Усл. кр.-отт. 16,36. Уч. изд. л. 16,85. Тираж 200 экз. Знак 926. Цена договорная.

Всероссийский научно-исследовательский геологический институт имени А. П. Карпинского
(ВСЕГЕИ). 199026, Санкт-Петербург. Средний пр., 14.
Санкт-Петербургская картографическая фабрика ВСЕГЕИ. 199178, Санкт-Петербург.
Средний пр., 72.